

odpovědný projektant		Ing. Jan Lukáš		GSM +420 724 791 227, email: jan.lukas@lostade.cz		<div><div>STA DE</div></div>		LOstade CZ s.r.o.	
kontroloval								Na Burni 1497/39, 710 00 Ostrava IC: 01427571 / DIC: CZ01427571	
vypracoval								lostadecz@gmail.com www.lostade.cz	
investor	Statutární město Brno, Dominikánské náměstí 192/1, 602 00 Brno					12 2021		datum	
místo stavby	Brno, ul. Šámalova 729/87; parc. č. 1425, 1429 v k.ú. Zábrdovice					A4 - txt		formát	
generální projektant	IS-ARCH s.r.o., Slavíčková 827/1a, 638 00 Brno					DSP		stupeň	
zpracovatel části	LOstade CZ s.r.o., Na Burni 1497/39, 710 00 Ostrava					-		měřítko	
akce	Mateřská a základní škola Šámalova, Brno - Židenice					arch. č. 21 014		paré	
část	d.1.2 stavebně konstrukční řešení SO.01					číslo přílohy / revize			
obsah	statický výpočet					02 / 00			

d.1.2 stavebně konstrukční řešení

d.1.2.02 statický výpočet

obsah:

1	úvod, popis stavby, koncepce Skř	3
1.1	statická koncepce a systém HNK	3
1.2	zatřídění nosné konstrukce stavby	3
1.3	normové předpisy, standardy, literatura	4
1.4	materiály HNK	4
1.5	výpočetní programy, princip výpočtů	5
1.6	konstrukce z hlediska požární ochrany	5
1.7	zatížení	5
1.7.1	stálá zatížení - G	6
1.7.2	proměnná, nahodilá zatížení	7
1.7.3	zatížení sněhem	8
1.7.4	zatížení větrem	9
1.7.5	jiná zatížení a mimořádné situace	9
2	OB skelet - globální výpočtový model (GSM)	10
2.1	statický model a vstupní data	10
2.1.1	model, geometrie, zadání	10
2.1.2	průřezy	14
2.1.3	zadání zatížení, kombinace	18
2.2	výsledky z GSM	21
2.2.1	reakce na základy / kotvení	21
2.2.2	deformace	23
2.2.3	vnitřní síly (N-V-M)	27
2.3	kompozitní OB průřezy – SNK (sloupy)	32
2.3.1	SL1 – TR 273	32
2.3.2	SL2 – TR 245	35
2.3.3	SL4 – H 240	42
2.3.4	SL5 – H 220	48
2.4	kompozitní OB průřezy – VNK (průvlaky a příčle)	55
2.4.1	SP22.10	55
2.4.2	SP22.20	58
2.4.3	SP27.10	61
2.4.4	SP27.20	65
2.4.5	SP27.30	68
2.4.6	SP27.35	72
2.4.7	SP27.40	75
2.5	posouzení atypických OK	79
2.5.1	speciální SP22-X.1	79
2.5.2	průvlak PR 47	79
2.5.3	průvlak PR 60	80
2.6	monolitické stropní desky	81
2.6.1	Model	81
2.6.2	Vnitřní síly na deskách	82
2.6.3	Posudky stropní desky	92
3	venkovní montovaná ŽB konstrukce (prefa)	97
3.1	Data modelu	97
3.2	Lineární statická analýza	101
4	spodní stavba a ZK – statické výpočty a posouzení	106
4.1	Inženýrsko-geologický průzkum	106
4.1.1	geologie, IG profil, provedené průzkumy	106
4.2	spodní stavba	107
4.3	založení - piloty	107
4.3.1	Tabulka pilot	108
4.3.2	výpočet a posouzení pilot	110
4.3.3	výpočet a posouzení mikropilot	124
1.1.1	Anglický dvorek	127
5	závěr	131

1 úvod, popis stavby, koncepce Skř

Statické a konstrukční řešení novostavby mateřské a základní školy na ulici Šámalova v Brně, Židenicích. Škola bude stát na místě původního bytového domu v linii se stávající řadovou zástavbou a bude rozšířena směrem do dvorního traktu. Stávající objekt bytového domu č.p. 87 je určen k celkové demolici. Nový objekt školy má mít tři nadzemní, jedno podzemní podlaží (suterén) a plochou vegetační střechu s nízkou obvodovou atikou. Jedná se o trvalou stavbu budovy, která bude sloužit pro školství.

Část plochy přízemí bude ponechána jako krytý venkovní prostor určený pro příjezd a parkování osobních vozidel. Ústí sem oba oddělené hlavní vstupy do MŠ a ZŠ, vchod na zahradu a také obslužná chodníková zdviž ze suterénu. Do suterénu jsou koncentrována technická a obslužná zázemí, skladové prostory, odpadové hospodářství i strojovny. Ve vnitřních prostorech přízemí jsou umístěny vstupní haly s navazující chodbou, šatny a jídelna. Druhé nadzemní podlaží je celé vyčleněno provozu mateřské školy. Ve třetím podlaží jsou 3 učebny základní školy společně s pracovišti pedagogů a hygienickým zázemím. Z úrovně 2. podlaží je přístupná venkovní terasa obíhající kolem severní a západní strany budovy. Jelikož je přes terasu vedena druhá úniková trasa z MŠ, tak je se zahradou za domem spojena dvojicí dvouramenných venkovních schodišť. Schodiště jsou vykonzolidována před montovanou ŽB konstrukcí, která vynáší zastřešení terasy i vertikální stínící lamely. Vnitřní vertikální komunikace jsou zde v podobě 2 schodišť a 1 osobního výtahu sdruženy v centrální části objektu.

Celkové půdorysné rozměry stavby jsou přibližně 44,2 x 27,2 m (šíře uliční fasády), kdy dvorní trakt je se severní strany o cca 5,2 m zúžen. Výškově není budova nijak členitá, podlahové plochy jednotlivých podlaží zachovávají jednotnou výšku. Horní hrana atiky má také po celém obvodu konstantní úroveň a dosahuje výšky 11,5 m nad okolním terénem.

1.1 statická koncepce a systém HNK

Stavba je koncipována jako samostatně stojící bez statických návazností na okolní objekty a bez členění na více dilatačních celků. Primární nosnou konstrukci zde představuje sloupový ortogonální skelet s bezprůvlakovými betonovými deskami. Podrobnější statickou analýzou komplexního prostorového modelu v komparaci s dílčími rovinnými prutovými modely rozhodujících elementů HNK jsme navrhli základní tvary a dimenze skeletové konstrukce doplněné o ztužující betonové stěny.

Bylo snahou navrhnout obdélníková modulová pole s poměrem stran blízko 1:1 (čtverec), kdy dochází k stejnoměrnému roznosu zatížení na oba směry ortogonálního roštu skrytých příčlů. Pole stropních desek pak fungují s menší mírou ortotropie. V úrovni 1.pp je potřeba zajistit i opěrnou funkci obvodových konstrukcí a bylo výhodné nahradit obvodové sloupy ŽB monolitickými stěnami s kotvením sloupů až na stropní desce suterénu. Stěny budou pevně spojeny s monolitickou podlahovou deskou suterénu a tuto část označujeme jako spodní stavbu. I podélná vnitřní stěna suterénu je čistě monolitická, a to z důvodu vyšších požadavků požární odolnosti (až 120 minut). Monolitická betonová spodní stavba je uvažovaná jako konstrukce izolovaná od podzemní vody.

Globální stabilitu a prostorovou tuhost skeletu zajistí především systém betonových stěn, vždy minimálně 3 svíslé ztužující betonové stěny v každém podlaží, které musí být pevně provázány s tuhými diafragmy horizontálních desek. Tyto ztužující betonové stěny se nachází v ose 1 a kolem vertikálních komunikací, tzn. kolem schodišť a výtahových šachet. Koncepce statického řešení počítá i s menším přispěním rámové tuhosti skeletu. Pro globální SA se skelet považuje za prostorovou rámovou konstrukci s neposuvnými styčníky.

Obvodový plášť ani vnitřní dělicí konstrukce nebudou mít nosnou funkci. Ve zhlaví budou pružně odděleny od nosného systému, aby nedocházelo k jejich praskání vlivem nechtěného přetížení.

Primární nosné konstrukce stavby jsou z pohledu výrobní technologie kombinací čtyř typů - kompozitních ocelobetonových konstrukcí, monolitických železobetonových konstrukcí, montovaných prefabrikovaných betonových konstrukcí a ocelových konstrukcí.

Na základě statických modelů a výpočtů byly navrženy základní tvary a dimenze HNK.

1.2 zatřídění nosné konstrukce stavby

Zatřídění nosné konstrukce určuje způsob a intenzitu kontrol i pravidelné údržby a závisí na požadované spolehlivosti, účelu, druhu namáhání a především třídě následků, do které konstrukce spadá.

třída následků:

CC2, dle ČSN EN 1990, příloha B – střední následky s ohledem na ztráty lidských životů nebo značné následky ekonomické, sociální nebo pro prostředí

<u>zařídění dle druhu namáhání:</u>	běžné namáhání konstrukce – pouze normová kvazistatická zatížení (viz kapitola – zatížení konstrukcí)
<u>zařídění podle účelu stavby:</u>	novostavba budovy pro školství; skeletová nosná konstrukce zasazená do proluky v uliční zástavbě
<u>návrhová životnost:</u>	kat. 4 – 50 let (informativní údaj), dle ČSN EN 1990, tab. 2.1
<u>třída spolehlivosti:</u>	RC2 $\beta > 3,8$, dle ČSN EN 1990, příloha B, tab. B.2
<u>úroveň kontroly při navrhování:</u>	DSL2 , dle ČSN EN 1990, příloha B, tab. B.4
<u>úroveň kontroly při provádění:</u>	IL2 , dle ČSN EN 1990, příloha B, tab. B.5

1.3 normové předpisy, standardy, literatura

Pro návrh a posouzení stavebních konstrukcí byly použity níže vypsané platné ČSN normy, včetně všech obsažených částí a odkazů na související technické předpisy. Jsou zde uvedeny také vybrané normové předpisy pro provádění.

- ČSN EN 1990 Zásady navrhování konstrukcí
- ČSN EN 1991 (EC1) Zatížení konstrukcí
- ČSN EN 1992 (EC2) Navrhování betonových konstrukcí
- ČSN EN 1993 (EC3) Navrhování ocelových konstrukcí
- ČSN EN 1994 (EC4) Navrhování spřažených ocelobetonových konstrukcí
- ČSN EN 1997 (EC7) Navrhování geotechnických konstrukcí
- ČSN 73 1001 Zakládání staveb
Základová půda pod plošnými základy (z r. 1987)
- ČSN ISO 13822 Zásady navrhování konstrukcí – Hodnocení existujících konstrukcí
- ČSN EN 13791 Posuzování pevnosti betonu v tlaku v konstrukcích
a v prefabrikovaných betonových dílcích
- ČSN EN 10025-1 Výrobky válcované za tepla z konstrukčních ocelí
Část 1: Všeobecné technické dodací podmínky.
- ČSN EN 10025-2 Výrobky válcované za tepla z konstrukčních ocelí
Část 2: Technické dodací podmínky pro nelegované konstrukční oceli
- ČSN EN 206 Beton – Specifikace, vlastnosti, výroba a shoda (07/2014)
- ČSN 73 1201 Navrhování betonových konstrukcí pozemních staveb
- ČSN EN 13 670 Provádění betonových konstrukcí
- ČSN EN 10 080 Ocel pro výztuž do betonu – Svařitelná betonářská ocel
- ČSN EN 1536 Provádění speciálních geodetických konstrukcí – Vrtané piloty
- ČSN 73 1004 Velkopřůměrové piloty
- Prof. Jiří Bradáč Základové konstrukce, VUT Brno 1995
- Ing. Jan Masopust Vrtané piloty

1.4 materiály HNK

Konstrukční oceli dle EN 10025-2:

- S 355 J2W (11 523)
- S 235 J2 (11 373)

Beton – pevnostní třídy dle ČSN EN 206:

- C 25/30 XC2 XA2- beton ZK - pilot
- C 12/15 – podkladní beton
- C 30/37 - beton konstrukcí horní i spodní stavby (ŽB i OB, stěny, desky, spojovací k.ce)
- C 40/50 - výplňový beton OB sloupů
- C 40/50 – prefabrikované betonové konstrukce

Betonářská výztuž dle ČSN EN 10080:

- B 500 b / B 500 a – veškeré ŽB konstrukce; spřahovací výztuž OBK; armokoše pilot

Zdivo:

- zděné konstrukce zde neplní statickou funkci.

1.5 výpočetní programy, princip výpočtů

Výpočty vnitřních sil a deformací byly provedeny programy Axis VM (verze X5), IDEA StatiCa (verze 9.1) a SCIA Nexis 32 (verze 3.60). Ocelové a železobetonové konstrukce/prvky/průřezy byly posouzeny pomocí programů IDEA StatiCa (verze 9.1, od firmy IDEA RS, s.r.o.) a/nebo moduly pro posudky průřezů v primárním statickém softwaru (Axis VM, Nexis32, apod.). Návrh dimenzí a posudky kompozitních profilů (OBK), spřažené ocelobetonové průřezy jsou převážně počítány v programu Microsoft EXCEL. Stejný software, tedy MS EXEL, byl použit k sestavení výpočetních tabulek, řešení obecných algoritmů a matematických operací. Základové konstrukce byly počítány pomocí softwaru GEO5 od FINE.

Statický výpočet a konstrukční řešení je v souladu s platnými normami pro návrh ocelových, betonových, spřažených ocelobetonových a geotechnických konstrukcí (ČSN EN).

U navržených konstrukcí je statickým výpočet prokázána dostatečná mechanická odolnost a stabilita (I. MS) za normální teploty a také za požární situace (dle požadavků PBŘ). V případě ŽB konstrukcí byly dodrženy minimální normou předepsané rozměry a konstrukční zásady pro dosažení normové požární odolnosti bez prokazování výpočtem. SV uvádí posudek kritických průřezů OBK za požární situace.

Rovněž byla kontrolována stability a celkové projevy chování nosných systémů analýzou prostorové deformace. Prvky hlavních NK musí splňovat omezení průhybů a vychýlení daná normami pro návrh všech zastoupených typů konstrukcí (II. MS).

Podrobné výpočty a posouzení se zahrnutím dat ze STP, výpočty spojů, návrh stěžejných detailů, atd. doplní až následující stupeň PD – dok. pro provedení stavby (DPS).

1.6 konstrukce z hlediska požární ochrany

ŽB konstrukce jsou navrženy pro požární odolnost $30 \div 120$ minut dle požadavků PBŘ (část PD d.1.3; podle stanovených požárních úseků, [4]), umístění a funkce v souladu s ČSN EN 1992-1-2. Přesná specifikace požární odolnosti u jednotlivých konstrukčních prvků bude podrobněji řešena až v DPS.

Spřažené ocelobetonové průřezy jsou navrženy na požární odolnost v souladu s požadavky požární bezpečnostního řešení stavby [4] a není nutná jejich druhotná ochrana. Navržené požární odolnosti (R; „fi.Res.“) jednotlivých prvků: - OB sloupy/pilíře (C) R30÷60. Požární odolnost OBK je dle ČSN EN 1994-1-2 prokázána statickým výpočtem anebo byly dodrženy minimální normou předepsané rozměry a konstrukční zásady pro dosažení normové požární odolnosti bez prokazování výpočtem.

Ocelové konstrukce, pokud není výslovně uvedeno a specifikováno, tak jsou navrženy bez požární odolnosti a SKř počítá s druhotnou ochranou OK v podobě protipožárních obkladů. Na základě podrobnější specifikace PBŘ v navazujícím stupni lze SV prokázat, případně upgradovat dimenze OK pro kritérium R15. Požadavek vyšší požární odolnosti vede u běžných otevřených průřezů ke značnému předimenzování a neekonomičnosti.

1.7 zatížení

Pro stavební objekt se uvažuje se standardním souborem stálých a užitných zatížení, které udávají technické normy v závislosti na účelu jednotlivých částí stavby. Konstrukce budou také odolávat klimatickým zatížením, které jsou rovněž předepsány normou a závisí především na lokalitě a charakteru stavby. Zde je lokalitou intravilán města Brno – městská část Židenice, ul. Šámalova 729/87, p.č. 1425 k.ú. Zábrdovice.

Stálá zatížení představují především vlastní tíha nosných (G0) i trvale zabudovaných nenosných konstrukcí (Gi) – stavební skladby podlah, zastřešení, vertikálních opláštění, výplně otvorů, podhledy, technologické instalace, atd. Stálá zatížení jsou spočtena na základě udávaných objemových hmotností jednotlivých materiálů, případně podle technických informací referenčních výrobků. Do skupiny stálých zatížení se řadí i zděné, nepřemístitelné dělicí konstrukce a příčky, jejichž hmotnosti jsou modelovány liniovým spojitým zatížením.

1.7.1 stálá zatížení - G

(skladby stropů, podlah, střech; příčky, stěny, fasády, atd.)

podlaha na terénu	tl.	ρ	f_k	γ_f	f_d
skladba P1/P2	[mm]	[kN/m ³]	[kN/m ²]		[kN/m ²]
pochozí vrstva - ker. dlažba + lepidlo	15	18	0,270		
HI stěrka + penetrace + PE folie	3	5	0,015		
cement. mazanina _např. CF30	66	22	1,452		
Tepelná izolace - podlahový EPS	160	0,28	0,045		
Hydro.+radon izolace _3x SBS asf. pásy	6	12,0	0,072		
podlaha	250		1,85	1,35	2,50
nosná bet. - ZD	300	25,0	7,50	1,35	10,13
suma stálého zatížení G.1	550		9,35		12,63

strop suterénu - venkovní	tl.	ρ	f_k	γ_f	f_d
skladba VOZ / chod	[mm]	[kN/m ³]	[kN/m ²]		[kN/m ²]
pochozí vrstva - žulové řez. dlažba	60	27,5	1,650		
lože - štěrkopísek	40	16,5	0,660		
podsypaný štěrkok fr. 0-32	150	17	2,550		
Tepelná izolace - podlahový XPS	200	0,35	0,070		
spád. cem. potěr (min/max): 0 /	94	22	1,034		
Hydro. izolace _SBS asf. pásy	6	12,0	0,072		
podlaha/skladba	550		6,04	1,35	8,15
nosná bet. SD	270	25,0	6,75	1,35	9,11
suma stálého zatížení G.1	820		12,79		17,26

vnitřní podlaha - PVC na stropě	tl.	ρ	f_k	γ_f	f_d
skladba P3	[mm]	[kN/m ³]	[kN/m ²]		[kN/m ²]
pochozí vrstva - PVC + lep.	5	18	0,090		
anhydrit. / cement. mazanina	45	22	0,990		
sys. deska + podlah. topení	20		0,300		
kročejová izolace - MW (isover T-P)	40	1,5	0,060		
izolace EPS	10	0,25	0,003		
podlaha	120		1,44	1,35	1,95
nosná bet. SD	270	25,0	6,75	1,35	9,11
OBK _průvlaky a nosníky		generuje výp. soft.		1,35	
podhledy - akustický / SDK _50 ÷ 140 mm	140	0,0	0,300		
(rezerva / lokálně snižená S.V. - SDK)					
podhledové konstrukce _suma	140		0,300	1,35	0,41
suma stálého zatížení G.1	530		8,49		11,46

venkovní terasa 2.24	tl.	ρ	f_k	γ_f	f_d
skladba P5 (žulové desky)	[mm]	[kN/m ³]	[kN/m ²]		[kN/m ²]
pochozí vrstva - žulové desky tl. 40 mm	50	27,5	1,375		
stavitelné terče - mezera 48 ÷ 120	48		0,050		
folie PVC-P	2	12	0,024		
filtr., separ., apod. vrstvy	6		0,050		
TI - EPS 150S	120	0,28	0,034		
+ spád. klíny (min/max): 80 /	140	0,28	0,031		

parotěs vr. _SBS mod. asf. + AL vl.	4	12,0	0,048		
podlaha -terasa	370		1,61	1,35	2,18
nosná bet. SD	220	25,0	5,50	1,35	7,43
OBK _průvlaky a nosníky		generuje výp. soft.		1,35	
podhledy - akustický / SDK _50 ÷ 140 mm	140	0,0	0,300		
(rezerva / lokálně snižená S.V. - SDK)					
podhledové konstrukce _suma	140		0,300	1,35	0,41
suma stálého zatížení G.1	730		7,41		10,01

střecha _veget./kačírek nad 3.np skladba S1a/b	tl. [mm]	ρ [kN/m ³]	f_k [kN/m ²]	γ_f	f_d [kN/m ²]
extenz. ZS / pranné kam. Fr. 16-32	100	15	1,500		
filtr., separ., apod. vrstvy	20		0,050		
folie PVC-P pro ZS	2	12	0,024		
TI - EPS 150S	180	0,28	0,050		
+ spád. klíny (min/max): 40 /	420	0,28	0,064		
parotěs vr. _SBS mod. asf. + AL vl.	4	12,0	0,048		
střecha S1	726		1,74	1,35	2,34
nosná bet. SD	270	25,0	6,75	1,35	9,11
OBK _průvlaky a nosníky		generuje výp. soft.		1,35	
podhledy - akustický / SDK _50 ÷ 140 mm	140	0,0	0,300		
(rezerva / lokálně snižená S.V. - SDK)					
podhledové konstrukce _suma	140		0,300	1,35	0,41
suma stálého zatížení G.1	1136		8,79		11,86

střecha _kšilt nad terasou skladba S2	tl. [mm]	ρ [kN/m ³]	f_k [kN/m ²]	γ_f	f_d [kN/m ²]
folie PVC-P pro ZS	2	12	0,024		
separ., apod. vrstvy	4		0,050		
TI - EPS 150S	0	0,28	0,000		
+ spád. klíny (min/max): 20 /	50	0,28	0,010		
TI - EPS 150S	90	0,28	0,025		
parotěs vr. _SBS mod. asf. + AL vl.	4	12,0	0,048		
střecha S2	150		0,16	1,35	0,21
nosná bet. D / panely	200	25,0	5,00	1,35	6,75
OBK _průvlaky a nosníky		generuje výp. soft.		1,35	
bez podhledu	0	0,0	0,000		
podhledové konstrukce _suma	0		0,000	1,35	0,00
suma stálého zatížení G.1	350		5,16		6,96

1.7.2 proměnná, nahodilá zatížení

Užitná zatížení podlahových ploch se řídí zařazením podlaží a dílčích dispozic do užitných kategorií ve smyslu ČSN EN 1991-1-1 a s přihlédnutím k doporučeným hodnotám uvedených v národní příloze (NAD).

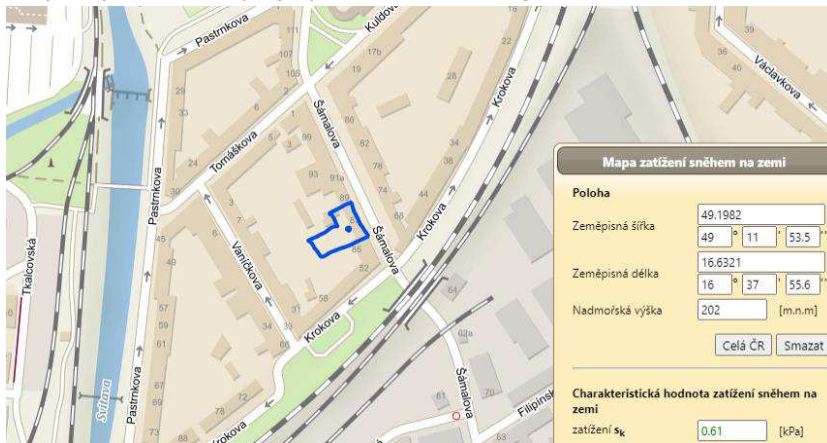
- užitná kategorie C1 dle ČSN EN 1991-1-1 – shromaždiště, plochy se stoly – jídelna, učebny, ostatní plochy ve školách _ hodnota rovnoměrného plošného užitného zatížení stropních konstrukcí 3,0 kN/m² (soustředěné zatížení $Q_k=3,0$ kN).
- užitná kategorie C3 dle ČSN EN 1991-1-1 – plochy pro shromáždění, přístupové prostory bez překážek pro pohyb osob (chodby, vstupní haly, schodiště) _ hodnota rovnoměrného plošného

užitného zatížení $5,0 \text{ kN/m}^2$ (soustředěné zatížení $Q_k=4,0 \text{ kN}$). Tuto hodnotu užitného zatížení aplikujeme i na podlahu multifunkčního sálu a na venkovní terasu ve 2. np.

- nepochozí střecha, kat. H – nahodilé zatížení od údržby $0,75 \text{ kN/m}^2$, působící současně na max. ploše 10 m^2 ; zatížení od lokálního břemene $1,0 \text{ kN}$. Část střechy nad schodištěm (mezi osami 3-4) je vyhrazena pro VZT zařízení a přidružený servisní prostor – zde je počítáno s plošným užitným zatížením $3,0 \text{ kN/m}^2$ (soustředěné zatížení $Q_k=5,0 \text{ kN}$).
- K užitným zatížením stropů budou přičtena ekvivalentní plošná zatížení simulující nenosné vnitřní příčky s vlastní tíhou $< 2,0 \text{ kN/m}$.

1.7.3 zatížení sněhem

Charakteristická hodnota zatížení sněhem na zemi byla odečtena v souladu se změnou Z4 normy ČSN EN 1991-1-3 z digitální mapy ČHMU (www.snehovamapa.cz). V této mapě je pro danou lokalitu garantovaná charakteristická hodnota zatížení sněhem – $s_k = 0,61 \text{ kPa}$; přenásobením tvarovým souč. pro ploché střechy s vnitřními spády dostaneme char. zatížení sněhem na střechách – $s = 0,49 \div 0,52 \text{ kN/m}^2$. Ve statických modelech jsou nosné prvky střech zatíženy rozhodujícími (nejméně příznivým) schémata zatížení, která zahrnují i sněhové návěje v blízkosti sousedící vyšší budovy, dle výše uvedené normy může hodnota zatížení sněhem při návěji dosahovat až $s = 1,22 \text{ kN/m}^2$.



výpočet zatížení sněhem dle ČSN EN 1991-1-3

lokalita: Brno, ul. Šámalova 729/87, p.č. 1425 k.ú. Zábrdovice

sněhová oblast: **II.**

plochá střecha

$$s_k = 0,61 \text{ kN/m}^2$$

$$\alpha_1 = \alpha_2 = 3,00\% = 1,7^\circ$$

dle "www.snehovamapa.cz"

$$C_e = 1,0$$

$$\mu_1 = 0,8$$

$$b = 5,50 \text{ m}$$

$$C_t = 1,0$$

$$\mu_2 = 0,8 \cdot 0,8 \cdot \alpha / 30 = 0,8459$$

$$h/b = 0,313$$

$$s = \mu_i \cdot C_e \cdot C_t \cdot s_k$$

$$l_s = b$$

Výpočet návějí:

1. Střecha u vyšší stavby

$$\mu_2 = \mu_w + \mu_s$$

$$\mu_w = (b_1 + b_2) / 2h \leq \gamma h / s_k ; 0,8 \leq \mu_w \leq 4,0$$

l_s ...délka návěje

$$\gamma = 2,00 \text{ kN/m}^3$$

2. Návěje na výstupy a překážky

$$\mu_2 = \gamma h / s_k ; 0,8 \leq \mu_2 \leq 2,0$$

l_s ...délka návěje

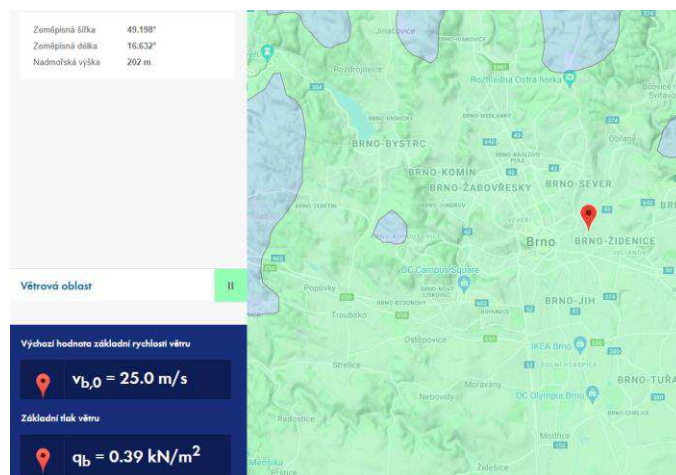
$$\gamma = 2,00 \text{ kN/m}^3 \text{ ...uvažovaná hustota sněhu (návěj)}$$

Zatížení sněhem			S [kN/m ²]	γ_f	S_d [kN/m ²]
střecha, neg. sedlo	nenavátý sníh (i)	$\mu_1(\alpha_i)$	0,49	1,5	0,73
	navátý sníh (ii)/(iii)	$\mu_2(\alpha_i)$	0,52	1,5	0,77
	(sníh v úžlabí)				

střecha u vyšší stavby							
Výpočet 1	b_1 [m]	25,0	l_s [m]	8,4	1,22	1,5	1,83
část střechy přiléhá ke štítu SB	b_2 [m]	22,00	μ_w [-]	2,00			
	h' [m]	4,20	μ_s [-]	0,40			

1.7.4 zatížení větrem

Charakteristická hodnota dynamického tlaku vzduchu – $q_{p(z)} = 0,495 \text{ kPa}$ (= ca. 50 kg/m^2).
Hodnota byla spočítána podle ČSN EN 1991-1-4 na základě lokality stavby, která se nachází ve II. větrové oblasti s referenční rychlostí větru $25,0 \text{ ms}^{-1}$ a pro IV. kategorii terénu (městská zástavba) a s uvažováním referenční výšky stavby nad terénem max. $11,5 \text{ m}$. Základní hodnota dyn. tlaku je aplikována na jednotlivé konstrukční prvky a celky se započítáním relevantních tvarových součinitelů, které uvádí kapitola č. 7 výše uvedené normy.



výpočet zatížení větrem dle ČSN EN 1991-1-4

lokality:	Brno, ul. Šámalova 729/87, p.č. 1425 k.ú. Zábrdovice		
wind zone:	II.	$v_{b,0} = 25,0 \text{ ms}^{-1}$	terrain category: IV.
$w_e = q_b \cdot c_e(z) \cdot c_{pe}$			height (H): 11,5 m
$q_b = \rho/2 \cdot v_b^2 =$		391 Pa	$C_{DIR} = 1,0$
$v_b = C_{DIR} \cdot C_{season} \cdot v_{ref,0} =$		25,0 ms^{-1}	$C_{season} = 1,0$
$v_{m(z)} = \text{formula [4.3]} =$		14,3 ms^{-1}	$z_0 = 1,00$
$k_r = \text{formula [4.5]} =$		0,2343 [-]	$z_{0,II} = 0,05$
$C_r(z) = \text{formula [4.4]} =$		0,5723 [-]	$z_{min} = 10,0$
$I_v(z) = \text{formula [4.7]} =$		0,4094 [-]	$k_i = 1,0$
$q_{p(z)} = [1 + 7I_v(z)] \cdot 0,5 \cdot \rho \cdot v_{m(z)}^2 =$		494,7 = 0,495 kPa	$C_o = 1,0$
$c_e = \text{acc. pic. 4.2 (graph)}$		1,266 $\rightarrow 495 \text{ Pa}$ (= $49,5 \text{ kg/m}^2$)	
building geometry (wind effect)			
$h =$	11,5 m	$d = 27,0 \text{ m}$	$\rightarrow d/5 = 5,4 \text{ m}$
$b =$	43,0 m	$e = 23,0 \text{ m}$	$\rightarrow d/10 = 2,7 \text{ m}$
roof-slope 1:	$\alpha = 0,0^\circ$	$e < d$ $h/d = 0,426$	$\rightarrow b/10 = 4,3 \text{ m}$

$$w_n = q_{p(z)} \cdot C_{pe} \dots \text{characteristic wind load}$$

relevant shape factors- $C_{p,net}/ C_{pe}/ C_{pi}/ C_f$ - designed acc. chapter 7 - EN 1991-1-4:

1.7.5 jiná zatížení a mimořádné situace

Při návrhu nosného systému byly rovněž zohledněny požadavky na odolnost konstrukcí za požární situace a to dle PBŘ, které požaduje průkaz normové požární odolnosti v rozsahu R30 ÷ R90 (...30 až 90 minut).

V současném stavu projektové přípravy nebylo uvažováno s dalším nestandardním ani mimořádným zatížením nosných konstrukcí.

2 OB skelet - globální výpočtový model (GSM)

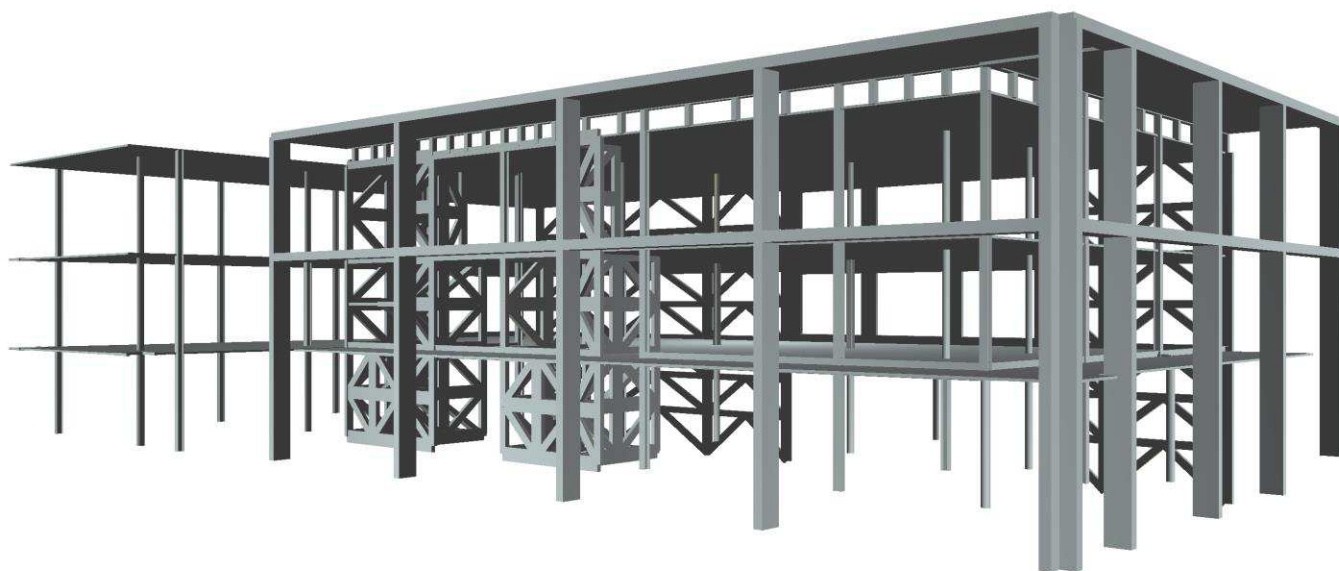
- modelována celá nosná konstrukce budovy, použita přípustná zjednodušení pro statické modelování propojení/přechodových prvků
- dostačující rozsah a podrobnost pro výpočet vnitřních sil, na které jsou dimenzovány příslušné konstrukce/prvky/průřezy
- dostačuje pro kontrolu statického chování HNK – deformace, prokázání tuhosti a integrity HNK

Kombinovaná HNK (skelet) - kompozitní OBK + ŽB konstrukce (desky, stěny, pilíře) - byla modelována jako prostorová rámová konstrukce se skutečnou geometrií. OB průřezy byly zadány číselnými charakteristikami / ocel. průřezy s odpovídajícími parametry (průřez plocha, moduly setrvačnosti, atd.), vztaženo k materiálovým char. konstrukční oceli (S235/S355). Roznos zatížení na jednotlivé SP a PR byl namodelován pomocí izotropních spojitých desek s fiktivními parametry (idealizovaný model SD).

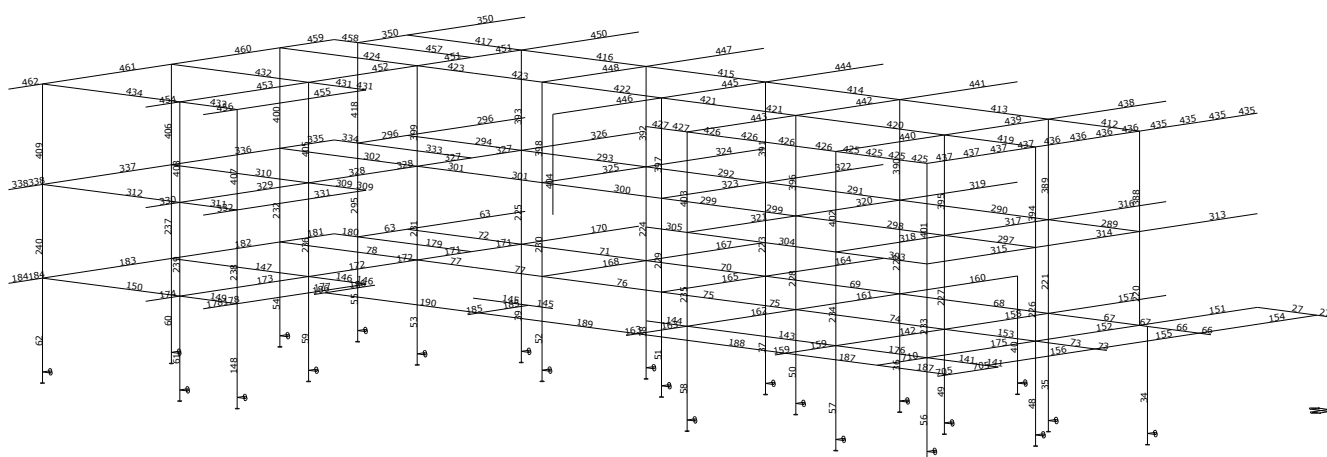
2.1 statický model a vstupní data

2.1.1 model, geometrie, zadání

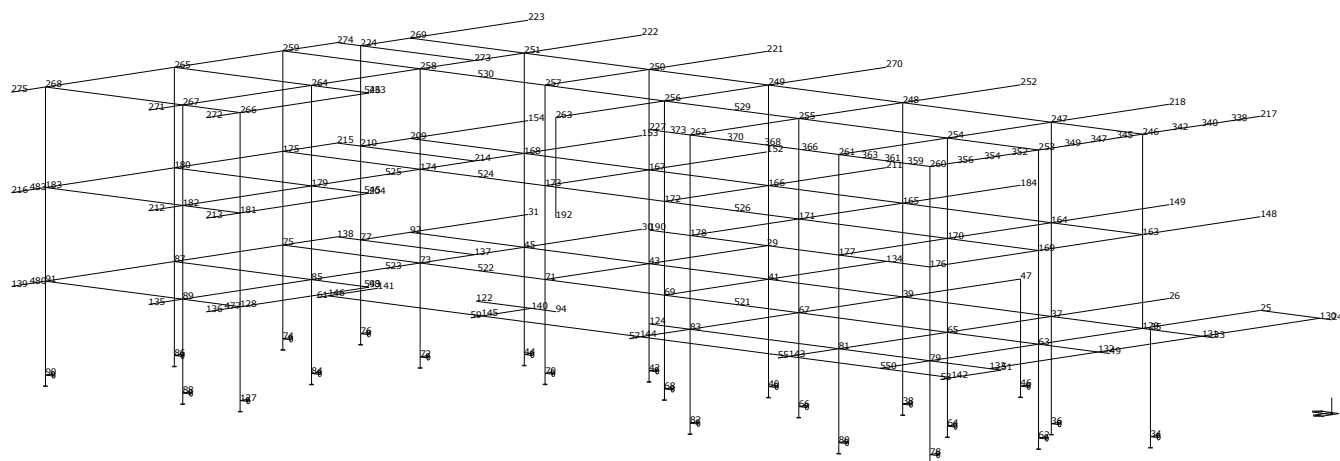
rendering GSM _komplet:



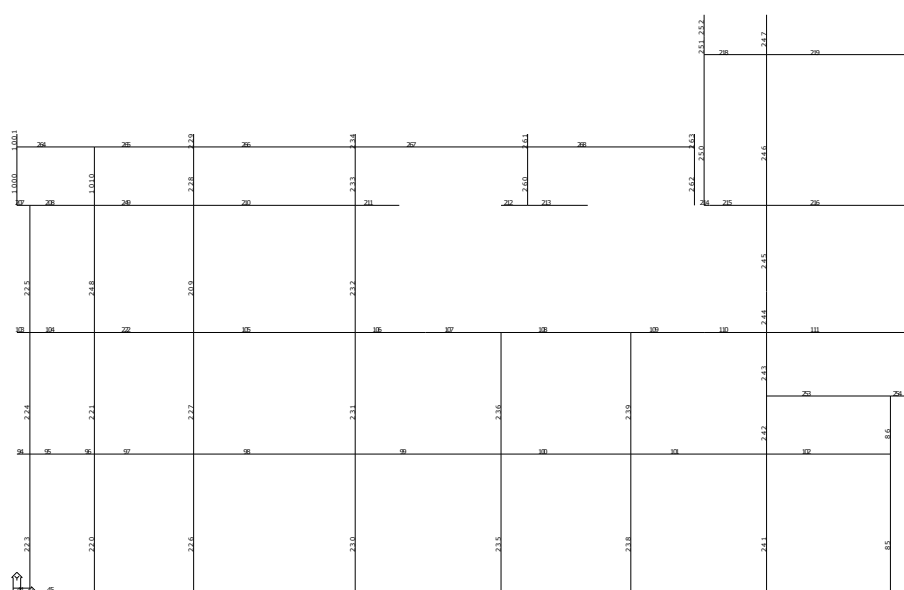
OBK – prutový model _číslování prvků



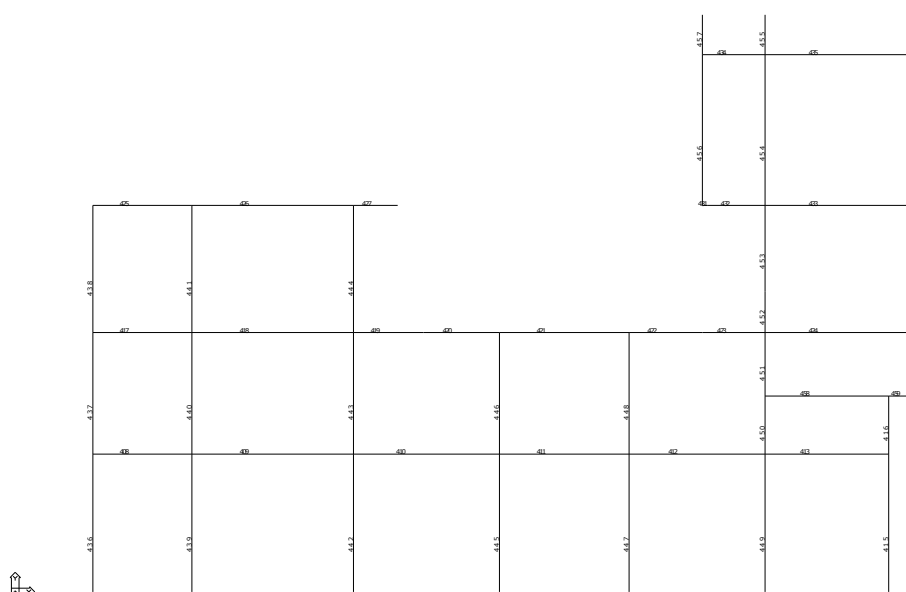
OBK _čísla maker



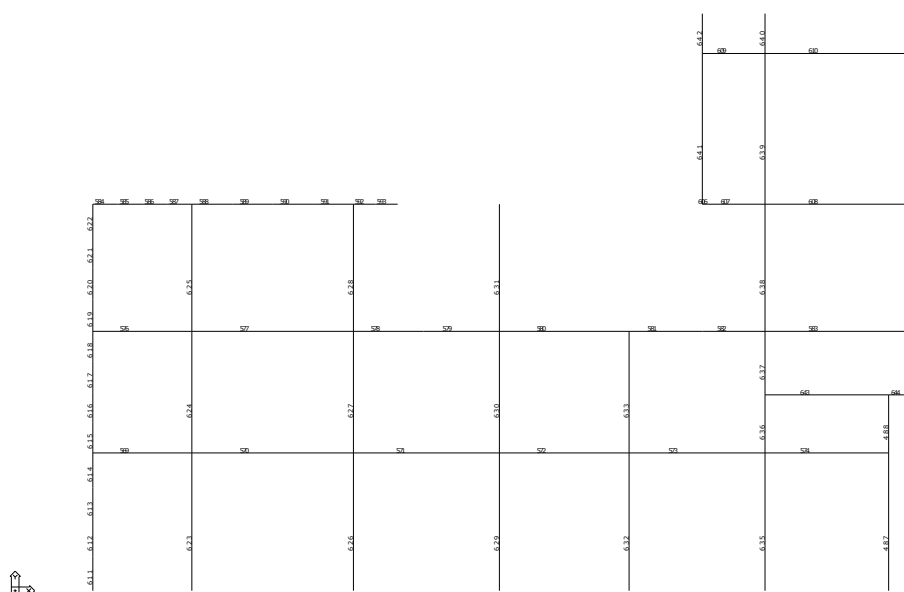
OBK_číslo uziů



OBK_pruty_2.np (+3,130 ÷ 3,380)



OBK_pruty_3.np (+6,880)



OBK_pruty_4.np (+10,680, strecha)

Podpory

podpora	uzel	typ	Velikost mm
1	1	XYZ	200.00
2	3	XYZ	200.00
3	5	XYZ	200.00
4	7	XYZ	200.00
5	9	XYZ	200.00
6	11	XYZ	200.00
7	13	XYZ	200.00
8	15	XYZ	200.00
9	16	XYZ	200.00
10	17	XYZ	200.00
11	18	XYZ	200.00
12	19	XYZ	200.00
13	20	XYZ	200.00
14	21	XYZ	200.00
15	22	XYZ	200.00
16	23	XYZRxRyRz	200.00
17	32	XYZRxRyRz	200.00
18	34	XYZ	200.00
19	36	XYZ	200.00
20	38	XYZ	200.00
21	40	XYZ	200.00
22	42	XYZ	200.00
23	44	XYZ	200.00
24	46	XYZ	200.00
25	48	XYZRxRyRz	200.00
26	50	XYZRxRyRz	200.00
27	52	XYZRxRyRz	200.00
28	54	XYZRxRyRz	200.00
29	56	XYZRxRyRz	200.00
30	58	XYZRxRyRz	200.00
31	60	XYZ	200.00
32	62	XYZ	200.00
33	64	XYZ	200.00
34	66	XYZ	200.00
35	68	XYZ	200.00
36	70	XYZ	200.00
37	72	XYZ	200.00
38	74	XYZ	200.00
39	76	XYZ	200.00

podpora	uzel	typ	Velikost mm
40	78	XYZ	200.00
41	80	XYZ	200.00
42	82	XYZ	200.00
43	84	XYZ	200.00
44	86	XYZ	200.00
45	88	XYZ	200.00
46	90	XYZ	200.00
47	104	XYZ	200.00
48	108	XYZ	200.00
49	112	XYZ	200.00
50	116	XYZ	200.00
51	117	XYZ	200.00
52	119	XYZ	200.00
53	121	XYZ	200.00
54	123	XYZ	200.00
55	127	XYZ	200.00

Materiál

Jméno		
S 355		
	Pevnost v tahu	510.000 MPa
	Mez kluzu	355.000 MPa
	Modul E	210000.00 MPa
	Poissonův souč.	0.30
	Objemová hmotnost	0.000 kg/mm ³
	Roztažnost	1.2e-005 mm/mm.K
C12/15		
	Modul E	26000.00 MPa
	Poissonův souč.	0.20
	Objemová hmotnost	0.000 kg/mm ³
	Roztažnost	1e-005 mm/mm.K
C30/37		
	Modul E	32000.00 MPa
	Poissonův souč.	0.20
	Objemová hmotnost	0.000 kg/mm ³
	Roztažnost	1e-005 mm/mm.K
C40/50		
	Modul E	35000.00 MPa
	Poissonův souč.	0.20
	Objemová hmotnost	0.000 kg/mm ³
	Roztažnost	1e-005 mm/mm.K
S 235		
	Pevnost v tahu	360.000 MPa
	Mez kluzu	235.000 MPa
	Modul E	210000.00 MPa
	Poissonův souč.	0.30
	Objemová hmotnost	0.000 kg/mm ³
	Roztažnost	1.2e-005 mm/mm.K

Základní data

Typ konstrukce : Obecný XYZ

Počet uzlů :	550
Počet prutů :	1010
Počet maker 1D:	710
Počet linií :	349
Počet 2D maker :	86
Počet průřezů :	24
Počet stavů :	11
Počet materiálů:	6

2.1.2 průřezy

Průřez č. 1 - sp (100,100)

Průřez č. 4 - prefa1 (700,300)

Materiál : 139 - C40/50

A :	2.100000e+005 mm ²		
Ay/A :	0.833	Az/A :	0.833
Iy :	8.575000e+009 mm ⁴	Iz :	1.575000e+009 mm ⁴
Iyz :	0.000000e+000 mm ⁴	It :	4.540410e+009 mm ⁴
Iw :	0.000000e+000 mm ⁶		
Wely :	2.450000e+007 mm ³	Welz :	1.050000e+007 mm ³
Wply :	3.675000e+007 mm ³	Wplz :	1.575000e+007 mm ³
cy :	150.00 mm	cz :	350.00 mm
iy :	202.07 mm	iz :	86.60 mm
dy :	0.00 mm	dz :	0.00 mm
Obrys :		2000.00 mm	

Druh posudku : Netypický průřez

Průřez č. 5 - panel (130,1200)

Materiál : 137 - C30/37

A :	1.560000e+005 mm ²		
Ay/A :	0.833	Az/A :	0.833
Iy :	2.197000e+008 mm ⁴	Iz :	1.872000e+010 mm ⁴
Iyz :	0.000000e+000 mm ⁴	It :	8.148707e+008 mm ⁴
Iw :	0.000000e+000 mm ⁶		
Wely :	3.380000e+006 mm ³	Welz :	3.120000e+007 mm ³
Wply :	5.070000e+006 mm ³	Wplz :	4.680000e+007 mm ³
cy :	600.00 mm	cz :	65.00 mm
iy :	37.53 mm	iz :	346.41 mm
dy :	0.00 mm	dz :	0.00 mm
Obrys :		2660.00 mm	

Druh posudku : Netypický průřez

Průřez č. 6 - L (700,700,300,300)

Materiál : 139 - C40/50

A :	3.300000e+005 mm ²		
Ay/A :	1.000	Az/A :	1.000
Iy :	1.787500e+010 mm ⁴	Iz :	7.184091e+009 mm ⁴
Iy0 :	1.252955e+010 mm ⁴	Iz0 :	1.252955e+010 mm ⁴
alfa :	45.000 deg		
Iyz :	-5.345455e+009 mm ⁴	It :	1.538986e+010 mm ⁴
Iw :	0.000000e+000 mm ⁶		
Wely :	3.611296e+007 mm ³	Welz :	1.832102e+007 mm ³
Wply :	6.576093e+007 mm ³	Wplz :	4.003996e+007 mm ³
cy :	277.27 mm	cz :	277.27 mm
iy :	232.74 mm	iz :	147.55 mm
dy :	0.00 mm	dz :	0.00 mm
Obrys :		2800.00 mm	

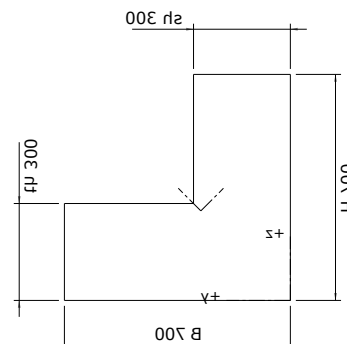
Druh posudku : Netypický průřez

Průřez č. 11 - SL001-c273 (B273/16)

Materiál : 3 - S 355

A :	1.279286e+004 mm ²		
Ay/A :	0.637	Az/A :	0.637
Iy :	1.067964e+008 mm ⁴	Iz :	1.067964e+008 mm ⁴
Iyz :	1.691112e-005 mm ⁴	It :	2.133090e+008 mm ⁴
Iw :	0.000000e+000 mm ⁶		
Wely :	7.692440e+005 mm ³	Welz :	7.692440e+005 mm ³
Wply :	1.042803e+006 mm ³	Wplz :	1.042803e+006 mm ³
cy :	-0.00 mm	cz :	-0.00 mm
iy :	91.37 mm	iz :	91.37 mm
dy :	0.00 mm	dz :	0.00 mm
Obrys :		856.57 mm	

Druh posudku : Kruhové uzavřené průřezy



Průřez č. 12 - SL002-c245 (B244.5/11)
Materiál : 3 - S 355

A :	8.007981e+003 mm ²		
Ay/A :	0.637	Az/A :	0.637
Iy :	5.532943e+007 mm ⁴	Iz :	5.532943e+007 mm ⁴
Iyz :	-5.696826e-007 mm ⁴	It :	1.106955e+008 mm ⁴
Iw :	0.000000e+000 mm ⁶		
Wely :	4.440790e+005 mm ³	Welz :	4.440790e+005 mm ³
Wply :	5.940180e+005 mm ³	Wplz :	5.940180e+005 mm ³
cy :	-0.00 mm	cz :	-0.00 mm
iy :	83.12 mm	iz :	83.12 mm
dy :	0.00 mm	dz :	0.00 mm
Obrys :		768.71 mm	

Druh posudku : Kruhové uzavřené průřezy

Průřez č. 13 - SL004-Ha24 (230,26,240,14)
Materiál : 142 - S 235

A :	1.197200e+004 mm ²		
Ay/A :	0.457	Az/A :	0.374
Iy :	9.635040e+007 mm ⁴	Iz :	3.255186e+007 mm ⁴
Iyz :	0.000000e+000 mm ⁴	It :	1.704512e+006 mm ⁴
Iw :	3.773471e+011 mm ⁶		
Wely :	8.378295e+005 mm ³	Welz :	2.712655e+005 mm ³
Wply :	9.909860e+005 mm ³	Wplz :	4.373380e+005 mm ³
cy :	-13.00 mm	cz :	101.00 mm
iy :	89.71 mm	iz :	52.14 mm
dy :	-0.00 mm	dz :	0.00 mm
Obrys :		1368.00 mm	

Druh posudku : průřez I

Průřez č. 14 - SL005-Ha22 (210,23,220,13)
Materiál : 142 - S 235

A :	9.952000e+003 mm ²		
Ay/A :	0.468	Az/A :	0.364
Iy :	6.751731e+007 mm ⁴	Iz :	2.325723e+007 mm ⁴
Iyz :	0.000000e+000 mm ⁴	It :	1.121193e+006 mm ⁴
Iw :	2.244996e+011 mm ⁶		
Wely :	6.430220e+005 mm ³	Welz :	2.114293e+005 mm ³
Wply :	7.580920e+005 mm ³	Wplz :	3.389340e+005 mm ³
cy :	-11.50 mm	cz :	92.00 mm
iy :	82.37 mm	iz :	48.34 mm
dy :	0.00 mm	dz :	0.00 mm
Obrys :		1254.00 mm	

Druh posudku : průřez I

Průřez č. 15 - sp27_10 (Číselný)
Materiál : 142 - S 235

A :	1.396000e+004 mm ²		
Ay/A :	0.448	Az/A :	0.170
Iy :	2.020000e+008 mm ⁴	Iz :	7.100000e+009 mm ⁴
Iyz :	0.000000e+000 mm ⁴	It :	5.891667e+005 mm ⁴
Iw :	1.661249e+012 mm ⁶		
Wely :	1.490000e+006 mm ³	Welz :	1.490000e+006 mm ³
Wply :	1.490000e+006 mm ³	Wplz :	1.490000e+006 mm ³
cy :	-0.00 mm	cz :	-0.00 mm
iy :	120.29 mm	iz :	713.16 mm
dy :	0.00 mm	dz :	75.75 mm
Obrys :		2210.00 mm	

Druh posudku : Netypický průřez
Průřez č. 16 - sp27_20 (Číselný)
Materiál : 142 - S 235

A :	1.281600e+004 mm ²		
Ay/A :	0.437	Az/A :	0.151
Iy :	1.810000e+008 mm ⁴	Iz :	4.420000e+009 mm ⁴
Iyz :	0.000000e+000 mm ⁴	It :	1.154000e+006 mm ⁴
Iw :	3.337504e+012 mm ⁶		
Wely :	1.360000e+006 mm ³	Welz :	1.360000e+006 mm ³
Wply :	1.360000e+006 mm ³	Wplz :	1.360000e+006 mm ³
cy :	-0.00 mm	cz :	-0.00 mm
iy :	118.84 mm	iz :	587.27 mm
dy :	-0.00 mm	dz :	97.46 mm
Obrys :			2734.00 mm

Druh posudku : Netypický průřez

Průřez č. 17 - sp27_30 (Číselný)

Materiál : 142 - S 235

A :	9.692000e+003 mm ²		
Ay/A :	0.396	Az/A :	0.179
Iy :	1.440000e+008 mm ⁴	Iz :	3.470000e+009 mm ⁴
Iyz :	0.000000e+000 mm ⁴	It :	5.813333e+005 mm ⁴
Iw :	1.917011e+012 mm ⁶		
Wely :	1.010000e+006 mm ³	Welz :	1.010000e+006 mm ³
Wply :	1.010000e+006 mm ³	Wplz :	1.010000e+006 mm ³
cy :	-0.00 mm	cz :	-0.00 mm
iy :	121.89 mm	iz :	598.35 mm
dy :	0.00 mm	dz :	53.33 mm
Obrys :			2068.00 mm

Druh posudku : Netypický průřez

Průřez č. 18 - sp27_40 (Číselný)

Materiál : 142 - S 235

A :	8.232000e+003 mm ²		
Ay/A :	0.391	Az/A :	0.213
Iy :	1.240000e+008 mm ⁴	Iz :	3.040000e+009 mm ⁴
Iyz :	0.000000e+000 mm ⁴	It :	1.043000e+006 mm ⁴
Iw :	2.271692e+012 mm ⁶		
Wely :	8.630000e+005 mm ³	Welz :	8.630000e+005 mm ³
Wply :	8.630000e+005 mm ³	Wplz :	8.630000e+005 mm ³
cy :	-0.00 mm	cz :	-0.00 mm
iy :	122.73 mm	iz :	607.69 mm
dy :	0.00 mm	dz :	50.27 mm
Obrys :			2068.00 mm

Druh posudku : Netypický průřez

Průřez č. 19 - sp27_45 (Číselný)

Materiál : 142 - S 235

A :	8.060000e+003 mm ²		
Ay/A :	0.400	Az/A :	0.217
Iy :	1.160000e+008 mm ⁴	Iz :	1.070000e+009 mm ⁴
Iyz :	0.000000e+000 mm ⁴	It :	6.553333e+005 mm ⁴
Iw :	2.484114e+012 mm ⁶		
Wely :	8.340000e+005 mm ³	Welz :	8.340000e+005 mm ³
Wply :	8.340000e+005 mm ³	Wplz :	8.340000e+005 mm ³
cy :	-0.00 mm	cz :	-0.00 mm
iy :	119.97 mm	iz :	364.35 mm
dy :	0.00 mm	dz :	86.63 mm
Obrys :			2512.00 mm

Druh posudku : Netypický průřez

Průřez č. 20 - pr47_Z1 (470,8,240,14,240,14)

Materiál : 142 - S 235

1	P8/442 - S 235
2	P14/240 - S 235
3	P14/240 - S 235

A :	1.025600e+004 mm ²		
Ay/A :	0.551	Az/A :	0.338
Iy :	4.070095e+008 mm ⁴	Iz :	3.227486e+007 mm ⁴
Iyz :	5.966288e-008 mm ⁴	It :	5.168640e+005 mm ⁴
Iw :	1.693906e+012 mm ⁶		
Wely :	1.731955e+006 mm ³	Welz :	2.689571e+005 mm ³
Wply :	1.922888e+006 mm ³	Wplz :	4.102720e+005 mm ³
cy :	-4.00 mm	cz :	221.00 mm
iy :	199.21 mm	iz :	56.10 mm
dy :	0.00 mm	dz :	-0.00 mm
Obrys :		1884.00 mm	

Druh posudku : Netypický průřez

Průřez č. 21 - pr60X (600,10,280,20,280,20)
Materiál : 142 - S 235

1	P10/560 - S 235
2	P20/280 - S 235
3	P20/280 - S 235

A :	1.680000e+004 mm ²		
Ay/A :	0.560	Az/A :	0.330
Iy :	1.088640e+009 mm ⁴	Iz :	7.322000e+007 mm ⁴
Iyz :	1.219727e-007 mm ⁴	It :	1.686667e+006 mm ⁴
Iw :	6.216672e+012 mm ⁶		
Wely :	3.628800e+006 mm ³	Welz :	5.230000e+005 mm ³
Wply :	4.032000e+006 mm ³	Wplz :	7.980000e+005 mm ³
cy :	-5.00 mm	cz :	280.00 mm
iy :	254.56 mm	iz :	66.02 mm
dy :	-0.00 mm	dz :	0.00 mm
Obrys :		2300.00 mm	

Druh posudku : Netypický průřez

Průřez č. 22 - sp22_10 (Číselný)
Materiál : 142 - S 235

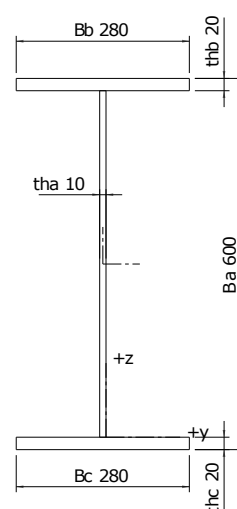
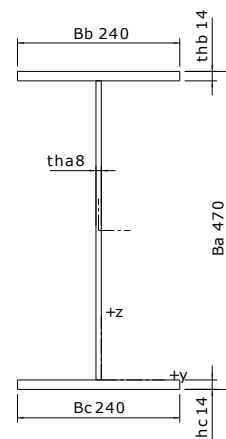
A :	9.381000e+003 mm ²		
Ay/A :	0.438	Az/A :	0.125
Iy :	9.090000e+007 mm ⁴	Iz :	2.360000e+009 mm ⁴
Iyz :	0.000000e+000 mm ⁴	It :	3.499020e+005 mm ⁴
Iw :	7.974519e+011 mm ⁶		
Wely :	8.100000e+005 mm ³	Welz :	8.100000e+005 mm ³
Wply :	8.100000e+005 mm ³	Wplz :	8.100000e+005 mm ³
cy :	-0.00 mm	cz :	-0.00 mm
iy :	98.44 mm	iz :	501.57 mm
dy :	0.00 mm	dz :	78.42 mm
Obrys :		2416.00 mm	

Druh posudku : Netypický průřez

Průřez č. 23 - sp22_20 (Číselný)
Materiál : 142 - S 235

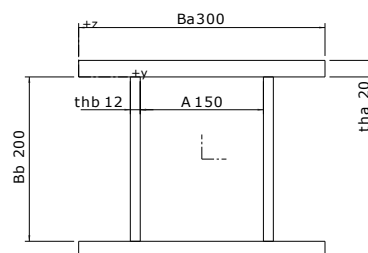
A :	7.464000e+003 mm ²		
Ay/A :	0.383	Az/A :	0.209
Iy :	6.540000e+007 mm ⁴	Iz :	5.990000e+008 mm ⁴
Iyz :	0.000000e+000 mm ⁴	It :	1.192400e+005 mm ⁴
Iw :	3.201681e+011 mm ⁶		
Wely :	6.050000e+005 mm ³	Welz :	6.050000e+005 mm ³
Wply :	6.050000e+005 mm ³	Wplz :	6.050000e+005 mm ³
cy :	-0.00 mm	cz :	-0.00 mm
iy :	93.61 mm	iz :	283.29 mm
dy :	0.00 mm	dz :	31.96 mm
Obrys :		1574.00 mm	

Druh posudku : Netypický průřez



Průřez č. 24 - sp22_X1 (300,20,200,12,150)
Materiál : 144 - S 355

1	P20/300 - S 355
2	P12/200 - S 355
3	P12/200 - S 355
4	P20/300 - S 355



A :	1.680000e+004 mm ²	Az/A :	0.314
Ay/A :	0.386	Iz :	1.215504e+008 mm ⁴
Iy :	1.616000e+008 mm ⁴	It :	9.610665e+007 mm ⁴
Iyz :	0.000000e+000 mm ⁴		
Iw :	3.112013e+011 mm ⁶		
Wely :	1.346667e+006 mm ³	Welz :	8.103360e+005 mm ³
Wply :	1.560000e+006 mm ³	Wplz :	1.288800e+006 mm ³
cy :	150.00 mm	cz :	-100.00 mm
iy :	98.08 mm	iz :	85.06 mm
dy :	0.00 mm	dz :	0.00 mm
Obrys :		1332.00 mm	

Druh posudku : Netypický průřez

2.1.3 zadání zatížení, kombinace

Zatěžovací stavy

Stav	Jméno	Popis
1	G0_vlastní tíha	Stálé - Zatížení
2	G1_skladby	Stálé - Zatížení
3	G2_sekundární stálé	Stálé - Zatížení
4	G3_stálé liniové	Stálé - Zatížení
5	Q1.1_užitné full	Nahodilé - C1 Výběr.
6	Q1.2_užitné šach 1	Nahodilé - C1 Výběr.
7	Q1.3_užitné šach 2	Nahodilé - C1 Výběr.
8	Qw.1_vítr	Nahodilé - wind Výběr.
9	Qw.2_vítr	Nahodilé - wind Výběr.
10	Qs.1_sníh full	Nahodilé - snow Výběr.
11	Qs.2_sníh part	Nahodilé - snow Výběr.

Skupina nahodilých zatížení

Jméno		Popis
C1	Výběr.	EC1 - typ zatížení Kat A : obytné
wind	Výběr.	EC1 - typ zatížení Kat A : obytné
snow	Výběr.	EC1 - typ zatížení Kat A : obytné

Kombinace

Kombi	Norma	Stav	souč.
1.	Zadaná - únosnost	1 G0_vlastní tíha	1.00
		2 G1_skladby	1.00
		3 G2_sekundární stálé	1.00
		4 G3_stálé liniové	1.00
		5 Q1.1_užitné full	0.70
		6 Q1.2_užitné šach 1	0.70
		7 Q1.3_užitné šach 2	0.70
		8 Qw.1_vítr	0.60
		9 Qw.2_vítr	0.60
		10 Qs.1_sníh full	0.70
		11 Qs.2_sníh part	0.70

Kombi	Norma	Stav	souč.
2.		1 G0_vlastní tíha	0.85
		2 G1_skladby	0.85
		3 G2_sekundární stálé	0.85
		4 G3_stálé liniové	0.85
		5 Q1.1_užitné full	1.00
		6 Q1.2_užitné šach 1	1.00
		7 Q1.3_užitné šach 2	1.00
		8 Qw.1_vítr	0.60
		9 Qw.2_vítr	0.60
		10 Qs.1_sníh full	0.50
		11 Qs.2_sníh part	0.50
3.		1 G0_vlastní tíha	0.85
		2 G1_skladby	0.85
		3 G2_sekundární stálé	0.85
		4 G3_stálé liniové	0.85
		5 Q1.1_užitné full	0.70
		6 Q1.2_užitné šach 1	0.70
		7 Q1.3_užitné šach 2	0.70
		8 Qw.1_vítr	1.00
		9 Qw.2_vítr	1.00
		10 Qs.1_sníh full	0.50
		11 Qs.2_sníh part	0.50
4.		1 G0_vlastní tíha	0.85
		2 G1_skladby	0.85
		3 G2_sekundární stálé	0.85
		4 G3_stálé liniové	0.85
		5 Q1.1_užitné full	0.70
		6 Q1.2_užitné šach 1	0.70
		7 Q1.3_užitné šach 2	0.70
		8 Qw.1_vítr	0.60
		9 Qw.2_vítr	0.60
		10 Qs.1_sníh full	1.00
		11 Qs.2_sníh part	1.00
5.	Zadaná - použitelnost	1 G0_vlastní tíha	1.00
		2 G1_skladby	1.00
		3 G2_sekundární stálé	1.00
		4 G3_stálé liniové	1.00
		5 Q1.1_užitné full	1.00
		6 Q1.2_užitné šach 1	1.00
		7 Q1.3_užitné šach 2	1.00
		8 Qw.1_vítr	1.00
		9 Qw.2_vítr	1.00
		10 Qs.1_sníh full	1.00
		11 Qs.2_sníh part	1.00

Výpis nebezpečných kombinací na únosnost

- 1/ 2 : +1.15*ZS1+1.15*ZS2+1.15*ZS3+1.15*ZS4
- 2/ 1 : +1.35*ZS1+1.35*ZS2+1.35*ZS3+1.35*ZS4
- 3/ 2 : +1.15*ZS1+1.15*ZS2+1.15*ZS3+1.15*ZS4+1.50*ZS5
- 4/ 2 : +1.15*ZS1+1.15*ZS2+1.15*ZS3+1.15*ZS4+1.50*ZS6
- 5/ 2 : +1.15*ZS1+1.15*ZS2+1.15*ZS3+1.15*ZS4+1.50*ZS7
- 6/ 3 : +1.15*ZS1+1.15*ZS2+1.15*ZS3+1.15*ZS4+1.50*ZS8
- 7/ 3 : +1.15*ZS1+1.15*ZS2+1.15*ZS3+1.15*ZS4+1.50*ZS9
- 8/ 4 : +1.15*ZS1+1.15*ZS2+1.15*ZS3+1.15*ZS4+1.50*ZS10
- 9/ 4 : +1.15*ZS1+1.15*ZS2+1.15*ZS3+1.15*ZS4+1.50*ZS11
- 10/ 1 : +1.35*ZS1+1.35*ZS2+1.35*ZS3+1.35*ZS4+0.90*ZS8
- 11/ 1 : +1.35*ZS1+1.35*ZS2+1.35*ZS3+1.35*ZS4+0.90*ZS9
- 12/ 1 : +1.35*ZS1+1.35*ZS2+1.35*ZS3+1.35*ZS4+1.05*ZS5
- 13/ 1 : +1.35*ZS1+1.35*ZS2+1.35*ZS3+1.35*ZS4+1.05*ZS6
- 14/ 1 : +1.35*ZS1+1.35*ZS2+1.35*ZS3+1.35*ZS4+1.05*ZS7
- 15/ 1 : +1.35*ZS1+1.35*ZS2+1.35*ZS3+1.35*ZS4+1.05*ZS10
- 16/ 1 : +1.35*ZS1+1.35*ZS2+1.35*ZS3+1.35*ZS4+1.05*ZS11
- 17/ 2 : +1.15*ZS1+1.15*ZS2+1.15*ZS3+1.15*ZS4+1.50*ZS5+0.75*ZS10
- 18/ 2 : +1.15*ZS1+1.15*ZS2+1.15*ZS3+1.15*ZS4+1.50*ZS5+0.75*ZS11

- 19/ 2 : +1.15*ZS1+1.15*ZS2+1.15*ZS3+1.15*ZS4+1.50*ZS6+0.75*ZS10
- 20/ 2 : +1.15*ZS1+1.15*ZS2+1.15*ZS3+1.15*ZS4+1.50*ZS6+0.75*ZS11
- 21/ 2 : +1.15*ZS1+1.15*ZS2+1.15*ZS3+1.15*ZS4+1.50*ZS7+0.75*ZS10
- 22/ 3 : +1.15*ZS1+1.15*ZS2+1.15*ZS3+1.15*ZS4+1.50*ZS8+0.75*ZS10
- 23/ 2 : +1.15*ZS1+1.15*ZS2+1.15*ZS3+1.15*ZS4+1.50*ZS7+0.75*ZS11
- 24/ 3 : +1.15*ZS1+1.15*ZS2+1.15*ZS3+1.15*ZS4+1.50*ZS8+0.75*ZS11
- 25/ 3 : +1.15*ZS1+1.15*ZS2+1.15*ZS3+1.15*ZS4+1.50*ZS9+0.75*ZS10
- 26/ 3 : +1.15*ZS1+1.15*ZS2+1.15*ZS3+1.15*ZS4+1.50*ZS9+0.75*ZS11
- 27/ 2 : +1.15*ZS1+1.15*ZS2+1.15*ZS3+1.15*ZS4+1.50*ZS5+0.90*ZS8
- 28/ 2 : +1.15*ZS1+1.15*ZS2+1.15*ZS3+1.15*ZS4+1.50*ZS6+0.90*ZS8
- 29/ 2 : +1.15*ZS1+1.15*ZS2+1.15*ZS3+1.15*ZS4+1.50*ZS5+0.90*ZS9
- 30/ 2 : +1.15*ZS1+1.15*ZS2+1.15*ZS3+1.15*ZS4+1.50*ZS7+0.90*ZS8
- 31/ 2 : +1.15*ZS1+1.15*ZS2+1.15*ZS3+1.15*ZS4+1.50*ZS6+0.90*ZS9
- 32/ 2 : +1.15*ZS1+1.15*ZS2+1.15*ZS3+1.15*ZS4+1.50*ZS7+0.90*ZS9
- 33/ 4 : +1.15*ZS1+1.15*ZS2+1.15*ZS3+1.15*ZS4+0.90*ZS8+1.50*ZS10
- 34/ 4 : +1.15*ZS1+1.15*ZS2+1.15*ZS3+1.15*ZS4+0.90*ZS8+1.50*ZS11
- 35/ 4 : +1.15*ZS1+1.15*ZS2+1.15*ZS3+1.15*ZS4+0.90*ZS9+1.50*ZS10
- 36/ 4 : +1.15*ZS1+1.15*ZS2+1.15*ZS3+1.15*ZS4+0.90*ZS9+1.50*ZS11
- 37/ 3 : +1.15*ZS1+1.15*ZS2+1.15*ZS3+1.15*ZS4+1.05*ZS5+1.50*ZS8

38/ 3 : +1.15*ZS1+1.15*ZS2+1.15*ZS3+1.15*ZS4+1.05*ZS6+1.50*ZS8
 39/ 3 : +1.15*ZS1+1.15*ZS2+1.15*ZS3+1.15*ZS4+1.05*ZS5+1.50*ZS9
 40/ 3 : +1.15*ZS1+1.15*ZS2+1.15*ZS3+1.15*ZS4+1.05*ZS6+1.50*ZS9
 41/ 3 : +1.15*ZS1+1.15*ZS2+1.15*ZS3+1.15*ZS4+1.05*ZS7+1.50*ZS8
 42/ 4 : +1.15*ZS1+1.15*ZS2+1.15*ZS3+1.15*ZS4+1.05*ZS5+1.50*ZS10
 43/ 3 : +1.15*ZS1+1.15*ZS2+1.15*ZS3+1.15*ZS4+1.05*ZS7+1.50*ZS9
 44/ 4 : +1.15*ZS1+1.15*ZS2+1.15*ZS3+1.15*ZS4+1.05*ZS5+1.50*ZS11
 45/ 4 : +1.15*ZS1+1.15*ZS2+1.15*ZS3+1.15*ZS4+1.05*ZS6+1.50*ZS10
 46/ 4 : +1.15*ZS1+1.15*ZS2+1.15*ZS3+1.15*ZS4+1.05*ZS6+1.50*ZS11
 47/ 4 : +1.15*ZS1+1.15*ZS2+1.15*ZS3+1.15*ZS4+1.05*ZS7+1.50*ZS10
 48/ 4 : +1.15*ZS1+1.15*ZS2+1.15*ZS3+1.15*ZS4+1.05*ZS7+1.50*ZS11
 49/ 1 : +1.35*ZS1+1.35*ZS2+1.35*ZS3+1.35*ZS4+1.05*ZS5+0.90*ZS8
 50/ 1 : +1.35*ZS1+1.35*ZS2+1.35*ZS3+1.35*ZS4+1.05*ZS6+0.90*ZS8
 51/ 1 : +1.35*ZS1+1.35*ZS2+1.35*ZS3+1.35*ZS4+1.05*ZS5+0.90*ZS9
 52/ 1 : +1.35*ZS1+1.35*ZS2+1.35*ZS3+1.35*ZS4+1.05*ZS7+0.90*ZS8
 53/ 1 : +1.35*ZS1+1.35*ZS2+1.35*ZS3+1.35*ZS4+1.05*ZS6+0.90*ZS9
 54/ 1 : +1.35*ZS1+1.35*ZS2+1.35*ZS3+1.35*ZS4+1.05*ZS7+0.90*ZS9
 55/ 1 : +1.35*ZS1+1.35*ZS2+1.35*ZS3+1.35*ZS4+0.90*ZS8+1.05*ZS10
 56/ 1 : +1.35*ZS1+1.35*ZS2+1.35*ZS3+1.35*ZS4+0.90*ZS8+1.05*ZS11
 57/ 1 : +1.35*ZS1+1.35*ZS2+1.35*ZS3+1.35*ZS4+0.90*ZS9+1.05*ZS10
 58/ 1 : +1.35*ZS1+1.35*ZS2+1.35*ZS3+1.35*ZS4+0.90*ZS9+1.05*ZS11
 59/ 1 : +1.35*ZS1+1.35*ZS2+1.35*ZS3+1.35*ZS4+1.05*ZS5+1.05*ZS10
 60/ 1 : +1.35*ZS1+1.35*ZS2+1.35*ZS3+1.35*ZS4+1.05*ZS5+1.05*ZS11
 61/ 1 : +1.35*ZS1+1.35*ZS2+1.35*ZS3+1.35*ZS4+1.05*ZS6+1.05*ZS10
 62/ 1 : +1.35*ZS1+1.35*ZS2+1.35*ZS3+1.35*ZS4+1.05*ZS7+1.05*ZS10
 63/ 1 : +1.35*ZS1+1.35*ZS2+1.35*ZS3+1.35*ZS4+1.05*ZS6+1.05*ZS11
 64/ 1 : +1.35*ZS1+1.35*ZS2+1.35*ZS3+1.35*ZS4+1.05*ZS7+1.05*ZS11
 65/ 2 : +1.15*ZS1+1.15*ZS2+1.15*ZS3+1.15*ZS4+1.50*ZS5+0.90*ZS8+0.75*ZS10
 66/ 2 : +1.15*ZS1+1.15*ZS2+1.15*ZS3+1.15*ZS4+1.50*ZS6+0.90*ZS8+0.75*ZS10
 67/ 2 : +1.15*ZS1+1.15*ZS2+1.15*ZS3+1.15*ZS4+1.50*ZS5+0.90*ZS9+0.75*ZS10
 68/ 2 : +1.15*ZS1+1.15*ZS2+1.15*ZS3+1.15*ZS4+1.50*ZS5+0.90*ZS8+0.75*ZS11
 69/ 2 : +1.15*ZS1+1.15*ZS2+1.15*ZS3+1.15*ZS4+1.50*ZS5+0.90*ZS9+0.75*ZS11
 70/ 2 : +1.15*ZS1+1.15*ZS2+1.15*ZS3+1.15*ZS4+1.50*ZS7+0.90*ZS8+0.75*ZS10
 71/ 2 : +1.15*ZS1+1.15*ZS2+1.15*ZS3+1.15*ZS4+1.50*ZS6+0.90*ZS9+0.75*ZS10
 72/ 2 : +1.15*ZS1+1.15*ZS2+1.15*ZS3+1.15*ZS4+1.50*ZS6+0.90*ZS8+0.75*ZS11
 73/ 2 : +1.15*ZS1+1.15*ZS2+1.15*ZS3+1.15*ZS4+1.50*ZS7+0.90*ZS9+0.75*ZS10
 74/ 2 : +1.15*ZS1+1.15*ZS2+1.15*ZS3+1.15*ZS4+1.50*ZS7+0.90*ZS8+0.75*ZS11
 75/ 2 : +1.15*ZS1+1.15*ZS2+1.15*ZS3+1.15*ZS4+1.50*ZS6+0.90*ZS9+0.75*ZS11
 76/ 2 : +1.15*ZS1+1.15*ZS2+1.15*ZS3+1.15*ZS4+1.50*ZS7+0.90*ZS9+0.75*ZS11
 77/ 3 : +1.15*ZS1+1.15*ZS2+1.15*ZS3+1.15*ZS4+1.05*ZS5+1.50*ZS8+0.75*ZS10
 78/ 3 : +1.15*ZS1+1.15*ZS2+1.15*ZS3+1.15*ZS4+1.05*ZS5+1.50*ZS8+0.75*ZS11
 79/ 3 : +1.15*ZS1+1.15*ZS2+1.15*ZS3+1.15*ZS4+1.05*ZS5+1.50*ZS9+0.75*ZS10
 80/ 3 : +1.15*ZS1+1.15*ZS2+1.15*ZS3+1.15*ZS4+1.05*ZS6+1.50*ZS8+0.75*ZS10
 81/ 3 : +1.15*ZS1+1.15*ZS2+1.15*ZS3+1.15*ZS4+1.05*ZS5+1.50*ZS9+0.75*ZS11
 82/ 3 : +1.15*ZS1+1.15*ZS2+1.15*ZS3+1.15*ZS4+1.05*ZS7+1.50*ZS8+0.75*ZS10
 83/ 3 : +1.15*ZS1+1.15*ZS2+1.15*ZS3+1.15*ZS4+1.05*ZS6+1.50*ZS8+0.75*ZS11
 84/ 3 : +1.15*ZS1+1.15*ZS2+1.15*ZS3+1.15*ZS4+1.05*ZS6+1.50*ZS9+0.75*ZS10
 85/ 3 : +1.15*ZS1+1.15*ZS2+1.15*ZS3+1.15*ZS4+1.05*ZS6+1.50*ZS9+0.75*ZS11
 86/ 3 : +1.15*ZS1+1.15*ZS2+1.15*ZS3+1.15*ZS4+1.05*ZS7+1.50*ZS9+0.75*ZS10
 87/ 3 : +1.15*ZS1+1.15*ZS2+1.15*ZS3+1.15*ZS4+1.05*ZS7+1.50*ZS8+0.75*ZS11
 88/ 3 : +1.15*ZS1+1.15*ZS2+1.15*ZS3+1.15*ZS4+1.05*ZS7+1.50*ZS9+0.75*ZS11
 89/ 4 : +1.15*ZS1+1.15*ZS2+1.15*ZS3+1.15*ZS4+1.05*ZS5+0.90*ZS8+1.50*ZS10
 90/ 4 : +1.15*ZS1+1.15*ZS2+1.15*ZS3+1.15*ZS4+1.05*ZS6+0.90*ZS8+1.50*ZS10
 91/ 4 : +1.15*ZS1+1.15*ZS2+1.15*ZS3+1.15*ZS4+1.05*ZS5+0.90*ZS9+1.50*ZS10
 92/ 4 : +1.15*ZS1+1.15*ZS2+1.15*ZS3+1.15*ZS4+1.05*ZS5+0.90*ZS8+1.50*ZS11
 93/ 4 : +1.15*ZS1+1.15*ZS2+1.15*ZS3+1.15*ZS4+1.05*ZS6+0.90*ZS9+1.50*ZS10
 94/ 4 : +1.15*ZS1+1.15*ZS2+1.15*ZS3+1.15*ZS4+1.05*ZS6+0.90*ZS8+1.50*ZS11
 95/ 4 : +1.15*ZS1+1.15*ZS2+1.15*ZS3+1.15*ZS4+1.05*ZS7+0.90*ZS8+1.50*ZS10
 96/ 4 : +1.15*ZS1+1.15*ZS2+1.15*ZS3+1.15*ZS4+1.05*ZS5+0.90*ZS9+1.50*ZS11
 97/ 4 : +1.15*ZS1+1.15*ZS2+1.15*ZS3+1.15*ZS4+1.05*ZS6+0.90*ZS9+1.50*ZS11
 98/ 4 : +1.15*ZS1+1.15*ZS2+1.15*ZS3+1.15*ZS4+1.05*ZS7+0.90*ZS8+1.50*ZS11
 99/ 4 : +1.15*ZS1+1.15*ZS2+1.15*ZS3+1.15*ZS4+1.05*ZS7+0.90*ZS9+1.50*ZS10
 100/ 4 :

+1.15*ZS1+1.15*ZS2+1.15*ZS3+1.15*ZS4+1.05*ZS7+0.90*ZS9+1.50*ZS11
 101/ 1 :
 +1.35*ZS1+1.35*ZS2+1.35*ZS3+1.35*ZS4+1.05*ZS5+0.90*ZS8+1.05*ZS10
 102/ 1 :
 +1.35*ZS1+1.35*ZS2+1.35*ZS3+1.35*ZS4+1.05*ZS5+0.90*ZS9+1.05*ZS10
 103/ 1 :
 +1.35*ZS1+1.35*ZS2+1.35*ZS3+1.35*ZS4+1.05*ZS6+0.90*ZS8+1.05*ZS10
 104/ 1 :
 +1.35*ZS1+1.35*ZS2+1.35*ZS3+1.35*ZS4+1.05*ZS5+0.90*ZS8+1.05*ZS11
 105/ 1 :
 +1.35*ZS1+1.35*ZS2+1.35*ZS3+1.35*ZS4+1.05*ZS7+0.90*ZS8+1.05*ZS10
 106/ 1 :
 +1.35*ZS1+1.35*ZS2+1.35*ZS3+1.35*ZS4+1.05*ZS5+0.90*ZS9+1.05*ZS11
 107/ 1 :
 +1.35*ZS1+1.35*ZS2+1.35*ZS3+1.35*ZS4+1.05*ZS6+0.90*ZS8+1.05*ZS11
 108/ 1 :
 +1.35*ZS1+1.35*ZS2+1.35*ZS3+1.35*ZS4+1.05*ZS6+0.90*ZS9+1.05*ZS10
 109/ 1 :
 +1.35*ZS1+1.35*ZS2+1.35*ZS3+1.35*ZS4+1.05*ZS7+0.90*ZS9+1.05*ZS10
 110/ 1 :
 +1.35*ZS1+1.35*ZS2+1.35*ZS3+1.35*ZS4+1.05*ZS6+0.90*ZS9+1.05*ZS11
 111/ 1 :
 +1.35*ZS1+1.35*ZS2+1.35*ZS3+1.35*ZS4+1.05*ZS7+0.90*ZS8+1.05*ZS11
 112/ 1 :
 +1.35*ZS1+1.35*ZS2+1.35*ZS3+1.35*ZS4+1.05*ZS7+0.90*ZS9+1.05*ZS11

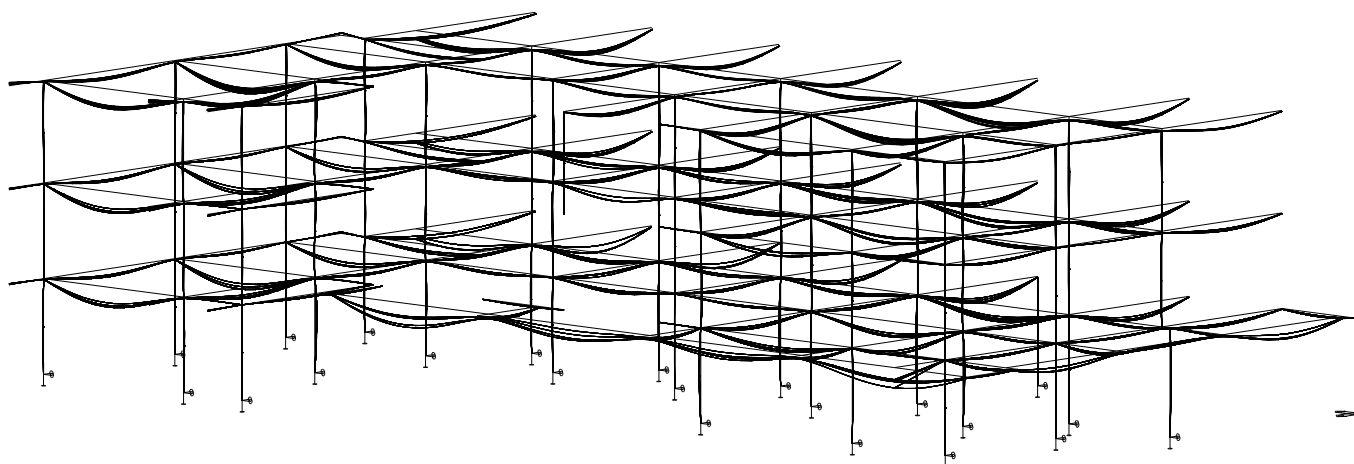
Výpis nebezpečných kombinací na použitelnost

1/ 1 : +1.00*ZS1+1.00*ZS2+1.00*ZS3+1.00*ZS4
 2/ 1 : +1.00*ZS1+1.00*ZS2+1.00*ZS3+1.00*ZS4+1.00*ZS5
 3/ 1 : +1.00*ZS1+1.00*ZS2+1.00*ZS3+1.00*ZS4+1.00*ZS6
 4/ 1 : +1.00*ZS1+1.00*ZS2+1.00*ZS3+1.00*ZS4+1.00*ZS7
 5/ 1 : +1.00*ZS1+1.00*ZS2+1.00*ZS3+1.00*ZS4+1.00*ZS8
 6/ 1 : +1.00*ZS1+1.00*ZS2+1.00*ZS3+1.00*ZS4+1.00*ZS9
 7/ 1 : +1.00*ZS1+1.00*ZS2+1.00*ZS3+1.00*ZS4+1.00*ZS10
 8/ 1 : +1.00*ZS1+1.00*ZS2+1.00*ZS3+1.00*ZS4+1.00*ZS11
 9/ 1 : +1.00*ZS1+1.00*ZS2+1.00*ZS3+1.00*ZS4+1.00*ZS5+1.00*ZS8
 10/ 1 : +1.00*ZS1+1.00*ZS2+1.00*ZS3+1.00*ZS4+1.00*ZS6+1.00*ZS8
 11/ 1 : +1.00*ZS1+1.00*ZS2+1.00*ZS3+1.00*ZS4+1.00*ZS5+1.00*ZS9
 12/ 1 : +1.00*ZS1+1.00*ZS2+1.00*ZS3+1.00*ZS4+1.00*ZS7+1.00*ZS8
 13/ 1 : +1.00*ZS1+1.00*ZS2+1.00*ZS3+1.00*ZS4+1.00*ZS6+1.00*ZS9
 14/ 1 : +1.00*ZS1+1.00*ZS2+1.00*ZS3+1.00*ZS4+1.00*ZS5+1.00*ZS10
 15/ 1 : +1.00*ZS1+1.00*ZS2+1.00*ZS3+1.00*ZS4+1.00*ZS7+1.00*ZS9
 16/ 1 : +1.00*ZS1+1.00*ZS2+1.00*ZS3+1.00*ZS4+1.00*ZS5+1.00*ZS11
 17/ 1 : +1.00*ZS1+1.00*ZS2+1.00*ZS3+1.00*ZS4+1.00*ZS6+1.00*ZS10
 18/ 1 : +1.00*ZS1+1.00*ZS2+1.00*ZS3+1.00*ZS4+1.00*ZS6+1.00*ZS11
 19/ 1 : +1.00*ZS1+1.00*ZS2+1.00*ZS3+1.00*ZS4+1.00*ZS7+1.00*ZS10
 20/ 1 : +1.00*ZS1+1.00*ZS2+1.00*ZS3+1.00*ZS4+1.00*ZS8+1.00*ZS10
 21/ 1 : +1.00*ZS1+1.00*ZS2+1.00*ZS3+1.00*ZS4+1.00*ZS7+1.00*ZS11
 22/ 1 : +1.00*ZS1+1.00*ZS2+1.00*ZS3+1.00*ZS4+1.00*ZS8+1.00*ZS11
 23/ 1 : +1.00*ZS1+1.00*ZS2+1.00*ZS3+1.00*ZS4+1.00*ZS9+1.00*ZS10
 24/ 1 : +1.00*ZS1+1.00*ZS2+1.00*ZS3+1.00*ZS4+1.00*ZS9+1.00*ZS11
 25/ 1 : +1.00*ZS1+1.00*ZS2+1.00*ZS3+1.00*ZS4+1.00*ZS5+1.00*ZS8+1.00*ZS10
 26/ 1 : +1.00*ZS1+1.00*ZS2+1.00*ZS3+1.00*ZS4+1.00*ZS5+1.00*ZS9+1.00*ZS10
 27/ 1 : +1.00*ZS1+1.00*ZS2+1.00*ZS3+1.00*ZS4+1.00*ZS6+1.00*ZS8+1.00*ZS10
 28/ 1 : +1.00*ZS1+1.00*ZS2+1.00*ZS3+1.00*ZS4+1.00*ZS5+1.00*ZS8+1.00*ZS11
 29/ 1 : +1.00*ZS1+1.00*ZS2+1.00*ZS3+1.00*ZS4+1.00*ZS5+1.00*ZS9+1.00*ZS11
 30/ 1 : +1.00*ZS1+1.00*ZS2+1.00*ZS3+1.00*ZS4+1.00*ZS7+1.00*ZS8+1.00*ZS10
 31/ 1 : +1.00*ZS1+1.00*ZS2+1.00*ZS3+1.00*ZS4+1.00*ZS6+1.00*ZS8+1.00*ZS11
 32/ 1 : +1.00*ZS1+1.00*ZS2+1.00*ZS3+1.00*ZS4+1.00*ZS6+1.00*ZS9+1.00*ZS10
 33/ 1 : +1.00*ZS1+1.00*ZS2+1.00*ZS3+1.00*ZS4+1.00*ZS7+1.00*ZS9+1.00*ZS10
 34/ 1 : +1.00*ZS1+1.00*ZS2+1.00*ZS3+1.00*ZS4+1.00*ZS6+1.00*ZS9+1.00*ZS11
 35/ 1 : +1.00*ZS1+1.00*ZS2+1.00*ZS3+1.00*ZS4+1.00*ZS7+1.00*ZS8+1.00*ZS11
 36/ 1 : +1.00*ZS1+1.00*ZS2+1.00*ZS3+1.00*ZS4+1.00*ZS7+1.00*ZS9+1.00*ZS11

podpora	uzel	kombi	Rx [kN]	Ry [kN]	Rz [kN]
		7	1.40	-6.73	1393.70
23	44	31	3.59	-18.80	1880.78
		70	0.33	-7.96	1628.83
		6	1.19	-7.73	1477.64
		71	3.59	-18.81	1914.85
		104	2.19	-13.62	2187.43
		7	1.40	-7.86	1476.02
24	46	26	0.06	-0.04	726.88
		80	-0.77	0.01	805.68
		22	-0.58	0.04	740.37
		85	-0.14	-0.07	792.19
		105	-0.62	0.03	983.09
		7	0.05	-0.04	726.31
32	62	21	-2.01	0.18	537.42
		69	-3.57	0.35	718.74
		28	-2.87	0.75	628.17
		88	-2.12	0.09	537.81
		102	-3.49	0.31	773.01
		30	-2.01	0.26	527.15
33	64	108	15.16	2.49	1780.57
		24	9.67	2.85	1364.71
		70	13.26	4.86	1607.14
		75	14.93	1.75	1569.43
		59	14.43	4.15	1909.18
		6	9.68	2.86	1364.47
34	66	7	-3.23	1.42	1362.88
		66	-5.30	-0.23	1608.80
		70	-4.19	8.50	1662.02
		75	-5.22	-0.53	1585.61
		101	-4.97	2.69	1893.86
		36	-3.26	1.47	1362.24
35	68	69	1.76	-6.76	1347.79
		22	0.48	-3.82	981.58
		41	0.99	-3.31	1081.55
		102	1.50	-6.93	1419.50
		101	1.43	-6.39	1425.66
		7	0.61	-4.67	953.59
36	70	75	-0.76	-4.18	949.41
		70	-1.87	-4.43	1047.94
		28	-0.84	-3.83	941.50
		69	-1.57	-9.02	1296.98
		104	-1.61	-8.54	1320.12
		7	-0.87	-5.44	837.05
37	72	112	15.17	3.04	1540.13
		28	8.96	1.42	1239.28
		30	14.67	3.89	1334.33
		69	12.23	0.16	1627.35
		104	13.16	0.76	1732.23
		7	10.08	0.92	1212.66
38	74	41	0.05	4.29	514.24
		26	-0.03	3.40	479.98
		106	0.01	5.01	639.49
		4	0.03	2.74	498.96

podpora	uzel	kombi	Rx [kN]	Ry [kN]	Rz [kN]
		104	0.05	5.00	639.95
		7	-0.03	3.39	473.03
39	76	32	-3.69	-1.37	718.96
		68	-6.33	-2.57	867.69
		43	-3.75	-1.31	705.30
		101	-6.32	-2.58	935.79
		104	-6.32	-2.58	938.90
		7	-3.91	-1.37	675.13
40	78	8	-1.76	2.42	398.50
		69	-3.18	3.84	526.66
		27	-3.17	4.06	523.00
		75	-2.89	1.37	440.86
		102	-3.06	3.82	559.28
		30	-1.78	2.22	367.72
41	80	21	4.15	1.30	921.20
		7	2.00	0.91	733.56
		65	3.18	1.74	970.11
		26	2.00	0.91	740.47
		59	3.21	1.67	1038.54
		6	2.02	1.09	733.54
42	82	7	-2.04	-11.78	576.21
		111	-3.22	-18.59	844.09
		83	-2.67	-11.14	646.83
		73	-3.17	-18.97	815.56
		109	-3.20	-18.85	851.58
		6	-2.08	-11.35	571.83
43	84	109	28.19	4.05	1952.83
		6	18.18	3.07	1401.95
		72	22.47	10.03	1778.02
		7	18.39	2.88	1402.39
		59	26.97	5.03	1965.68
44	86	37	0.13	2.95	840.89
		26	-0.02	2.33	731.31
		72	0.11	5.64	904.34
		1	0.07	2.31	720.86
		111	0.12	3.28	1002.77
		7	-0.02	2.32	720.44
45	88	102	23.71	-8.54	1700.96
		6	16.45	-3.88	1240.15
		75	20.25	-14.30	1487.58
		59	23.63	-8.52	1701.34
46	90	37	0.13	-6.23	704.44
		26	-0.09	-4.37	625.77
		7	-0.09	-4.35	621.10
		72	0.12	-8.69	736.11
		102	0.01	-6.97	826.19
		6	0.09	-4.45	619.02
55	127	49	0.24	-1.18	181.53
		26	0.01	-0.33	146.88
		74	0.21	0.68	124.94
		19	0.17	-2.23	143.45
		102	0.13	-1.21	186.02

2.2.2 deformace



Deformace v uzlu(ech). Použ. kombi : 1/36

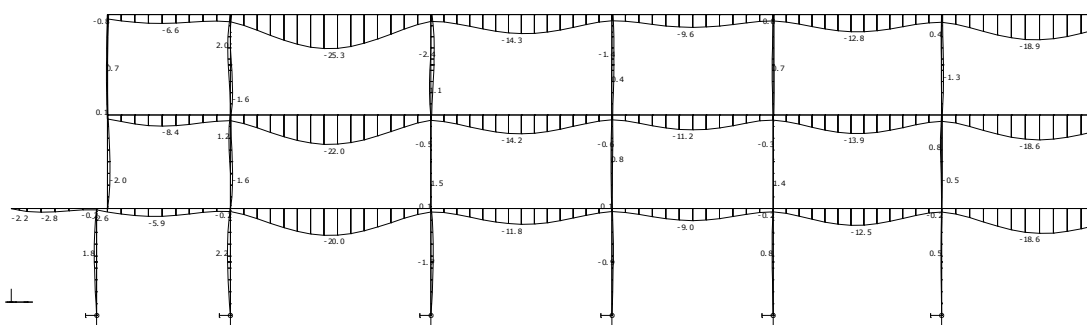
Deformace v uzlu(ech). Globální extrém

Lineární statický - nebezpečné nebo všechny kombinace

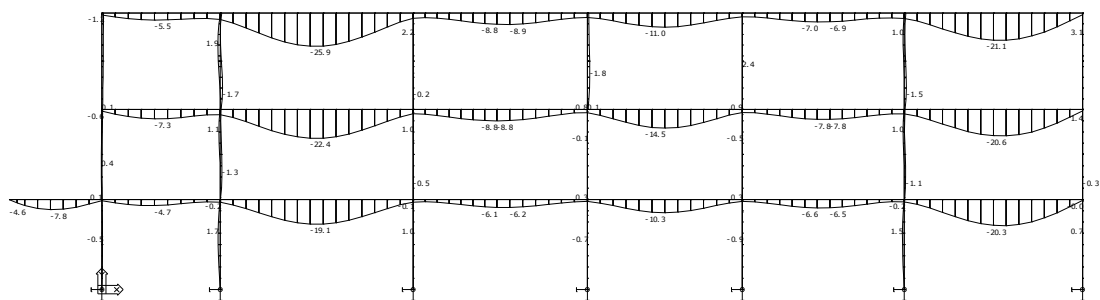
Skupina uzlů :24/26,29/31,33/47,49,51,53,55,57,59,61/92,94,98,122,124,127/146,148/149,152/154,163/184,
190,192,204,209/218,221/224,227,233,246/275,338,340,342,345,347,349,352,354,356,359,
361,363,366,368,370,373,477,480,483,521/526,529/530,543,545/546,550

Skupina kombinací na použitelnost :1/36

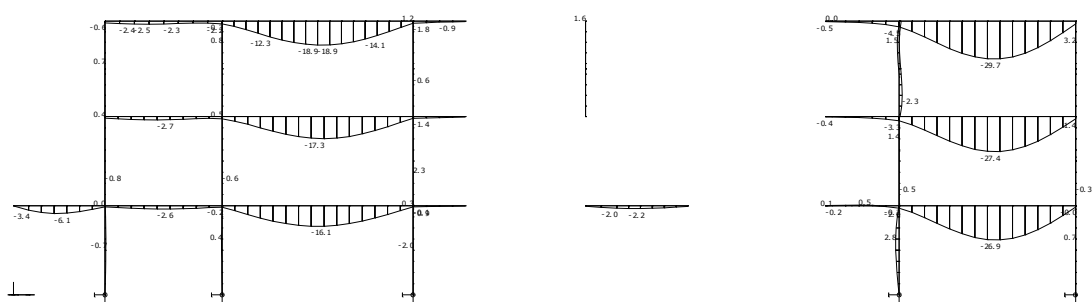
uzel	kombi	Ux [mm]	Uy [mm]	Uz [mm]	Fix [mrad]	Fiy [mrad]	Fiz [mrad]
272	30	2.41	-2.05	1.56	0.96	0.36	-0.09
223	26	-0.32	-1.35	-1.92	0.28	-0.24	-0.05
253	21	0.93	0.59	-1.32	-1.13	0.03	-0.07
268	25	2.15	-2.92	-1.68	2.07	0.34	-0.08
271	31	2.34	-2.30	5.11	4.89	1.01	-0.08
550	14	0.13	0.03	-24.78	3.41	0.66	-0.01



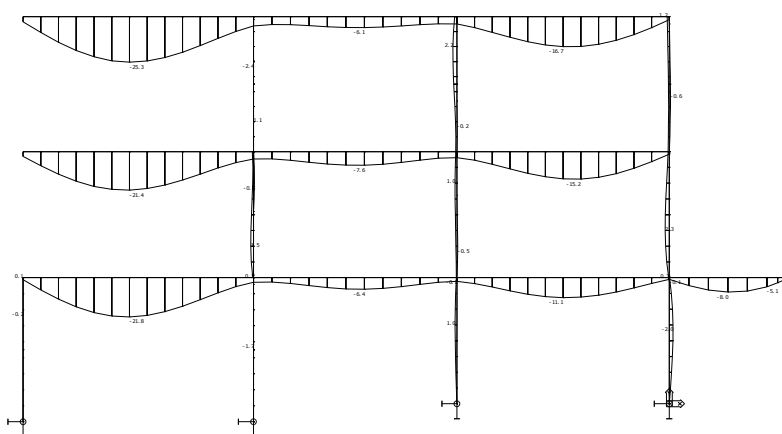
Deformace na makru(ech). _rez osa 2



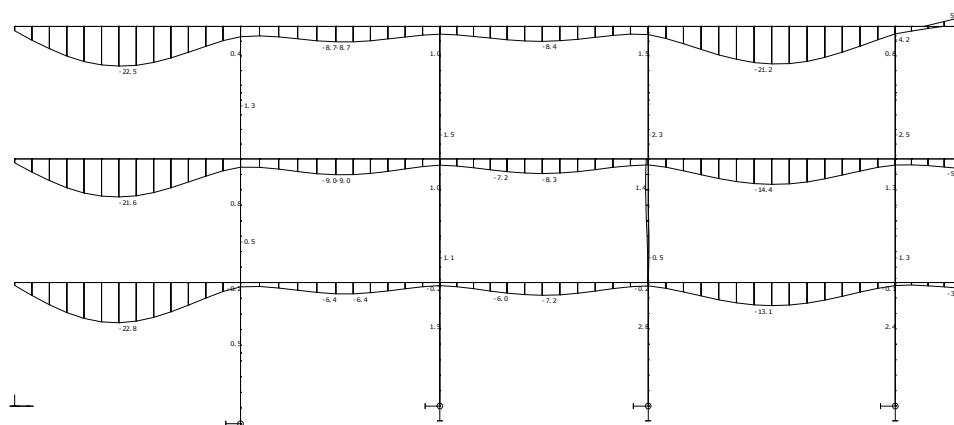
Deformace na makru(ech). _rez osa 3



Deformace na makru(ech). _rez osa 4



Deformace na makru(ech). _rez osa D



Deformace na makru(ech). _rez osa G

Deformace na makru(ech). Globální extrém

Lineární statický - nebezpečné nebo všechny kombinace

Skupina maker :27,34/40,48/63,66/78,141/165,167/168,170/190,220/240,289/305,309/338,350,388/409,412/427,431/448,450/462,705,710

Skupina kombinací na použitelnost :1/36

makro	prut	kombi	dx [mm]	ux [mm]	uy [mm]	uz [mm]	fix [mrad]	fiy [mrad]	fiz [mrad]
433	609	30	2900.0	2.26	-2.30	-4.15	4.75	4.12	-0.09
393	545	28	3750.0	-5.77	-2.34	-0.73	-0.07	0.50	-2.52
39	61	32	2222.2	-1.32	2.56	0.52	0.00	-0.03	0.09
405	557	27	2916.7	-4.21	-3.55	0.18	-0.07	0.29	0.35
454	640	31	1850.0	-2.30	-2.34	5.11	1.01	-4.89	-0.08
432	608	35	3957.1	1.63	-2.59	-29.67	-4.63	-1.49	-0.08

Relativní deformace na makru(ech) Globální extrém dle průřezů SP/PR:

SP22.10_pruhyb

Skupina maker :154/156,187/190

Skupina kombinací na použitelnost :1/36

makro	prut	kombi	dx [mm]	ux [mm]	uy [mm]	uz [mm]	fix [mrad]	fiy [mrad]	fiz [mrad]
155	224	27	2054.5	-0.00	-0.00	2.56	0.00	1.44	0.00
190	268	34	4130.7	-0.00	0.01	-25.97	-0.00	4.37	0.00

makro	prut	kombi	dx [mm]	ux	uy	uz	fix	fiy	fiz
190	268	34	4130.7	0.0	1 / 10000	1 / 298	0.00	0.00	0.00

SP22.20_pruhyb

Skupina maker :27,66,73,141,159,163,185/186,705,710

Skupina kombinací na použitelnost :1/36

makro	prut	kombi	dx [mm]	ux [mm]	uy [mm]	uz [mm]	fix [mrad]	fiy [mrad]	fiz [mrad]
710	1010	9	542.0	0.00	0.00	0.63	1.45	0.75	0.00
185	260	29	1626.0	0.00	0.00	-7.63	0.74	1.65	-0.00

makro	prut	kombi	dx [mm]	ux	uy	uz	fix	fiy	fiz
185	260	29	1626.0	0.0	0.0	1 / 434	0.00	0.00	0.00

SP27.10_pruhyb

Skupina maker :68,74,146/147,149/150,170,173/174,290,298,309/312,329/330,431/432

Skupina kombinací na použitelnost :1/36

makro	prut	kombi	dx [mm]	ux [mm]	uy [mm]	uz [mm]	fix [mrad]	fiy [mrad]	fiz [mrad]
431	607	36	1590.0	0.00	-0.00	1.68	0.22	-1.46	0.00
432	608	35	3957.1	0.00	-0.00	-26.50	-3.32	3.86	0.00

makro	prut	kombi	dx [mm]	ux	uy	uz	fix	fiy	fiz
432	608	35	3957.1	0.0	0.0	1 / 261	0.00	0.00	0.00

SP27.20_pruhyb

Skupina maker :69,75,78,157,160,164,167,291,299,302,316,319,322,324,326,413,420,424,433/434,438,441,444,447,450,453/454

Skupina kombinací na použitelnost :1/36

makro	prut	kombi	dx [mm]	ux [mm]	uy [mm]	uz [mm]	fix [mrad]	fiy [mrad]	fiz [mrad]
433	609	19	1933.3	-0.00	0.00	1.19	-0.52	-1.16	-0.00
434	610		3957.1	-0.00	0.01	-21.87	13.09	3.22	0.00

makro	prut	kombi	dx [mm]	ux	uy	uz	fix	fiy	fiz
441	626	30	2953.8	0.0	0.0	1 / 300	0.00	0.00	0.00

SP27.30_pruhyb

Skupina maker :70/72,76/77,142,144,162,171/172,177/178,183/184,292/294,300/301,304/305,318,321,327/328,331/332,337/338,414/417,421,426/427,440,443,446,455/456,461/462

Skupina kombinací na použitelnost :1/36

makro	prut	kombi	dx [mm]	ux [mm]	uy [mm]	uz [mm]	fix [mrad]	fiy [mrad]	fiz [mrad]
421	578	34	928.6	0.00	-0.00	1.07	1.54	3.33	-0.00
426	589	31	1875.0	-0.00	-0.00	-16.98	0.01	2.44	0.00

makro	prut	kombi	dx [mm]	ux	uy	uz	fix	fiy	fiz
440	625	19	3441.7	0.0	0.0	1 / 389	0.00	0.00	0.00

SP27.40_pruhyb

Skupina maker :67,153,158,161,165,168,179/182,289,297,303,313/315,317,320,323,325,333/336,412,419,422/423,425,435/437,439,442,445,448,451/452,457/460

Skupina kombinací na použitelnost :1/36

makro	prut	kombi	dx [mm]	ux [mm]	uy [mm]	uz [mm]	fix [mrad]	fiy [mrad]	fiz [mrad]
442	627	30	1027.3	0.00	-0.00	1.72	0.54	2.61	-0.00
435	612	29	1600.0	0.00	0.01	-9.61	0.00	-2.09	-0.00

makro	prut	kombi	dx [mm]	ux	uy	uz	fix	fiy	fiz
435	612	29	1600.0	0.0	1 / 10000	1 / 666	0.00	0.00	0.00

PR47_pruhyb

Skupina maker :143,145,151/152,175/176

Skupina kombinací na použitelnost :1/36

makro	prut	kombi	dx [mm]	ux [mm]	uy [mm]	uz [mm]	fix [mrad]	fiy [mrad]	fiz [mrad]
143	210	30	4000.0	0.00	-0.01	-15.07	0.00	-0.25	-0.00

makro	prut	kombi	dx [mm]	ux	uy	uz	fix	fiy	fiz
143	210	30	4000.0	0.0	0.0	1 / 498	0.00	0.00	0.00

PR60_pruhyb

Skupina maker :63,296,350

Skupina kombinací na použitelnost :1/36

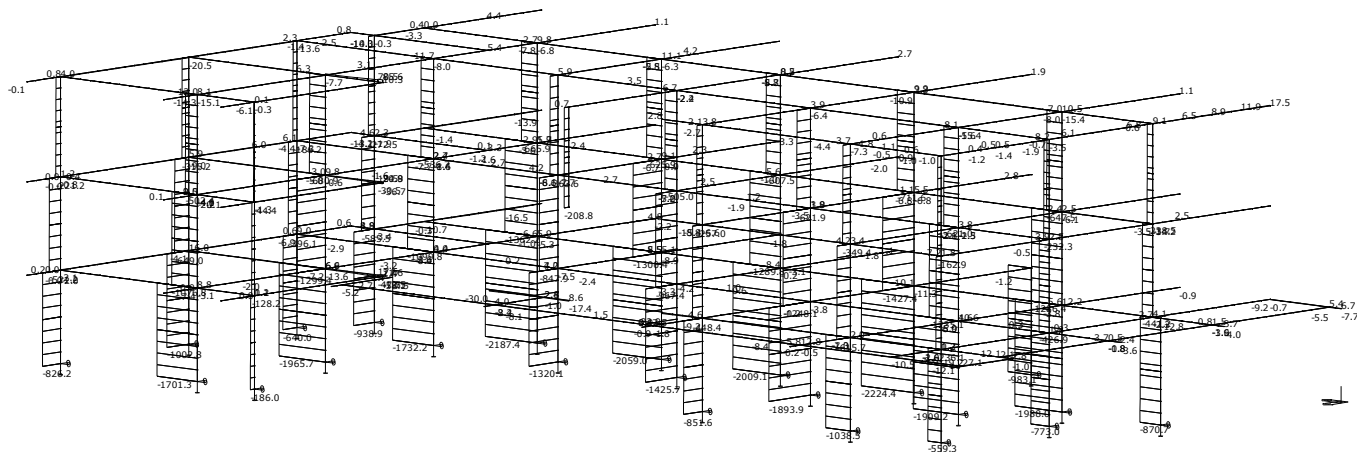
makro	prut	kombi	dx [mm]	ux [mm]	uy [mm]	uz [mm]	fix [mrad]	fiy [mrad]	fiz [mrad]
63	85	25	4430.8	-0.00	0.04	-14.32	-0.00	0.01	-0.02

makro	prut	kombi	dx [mm]	ux	uy	uz	fix	fiy	fiz
63	85	25	4430.8	0.0	1 / 10000	1 / 636	0.00	0.00	0.00

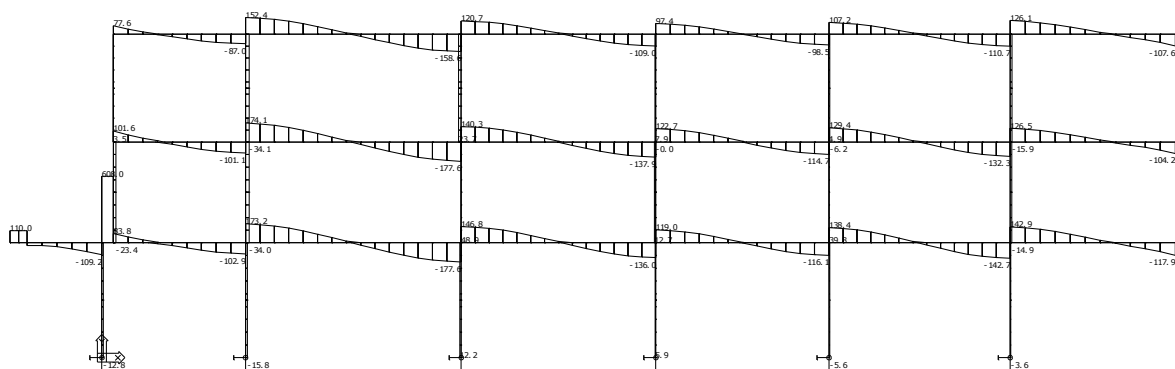
2.2.3 vnitřní síly (N-V-M)

Globální extrémy vnitřních sil na základě kombinací zatěžovacích stavů.

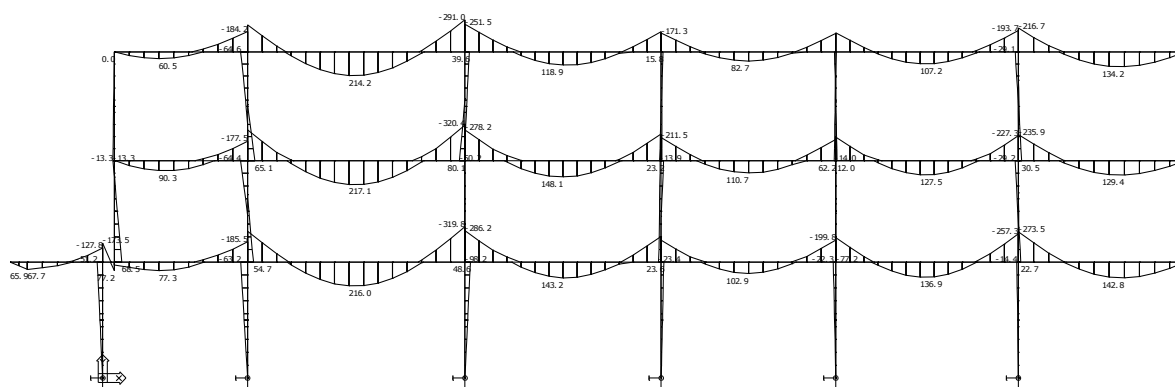
Hodnoty byly převzaty pro statické posouzení jednotlivých navržených průřezů, prvků a konstrukcí (návrhové hodnoty vnitřních sil jsou uvedeny ve statických posudcích, viz následující kapitoly). V této části jsou zobrazeny vybrané řezy a pohledy na průběhy ohybových momentů globálního statického modelu HNK.



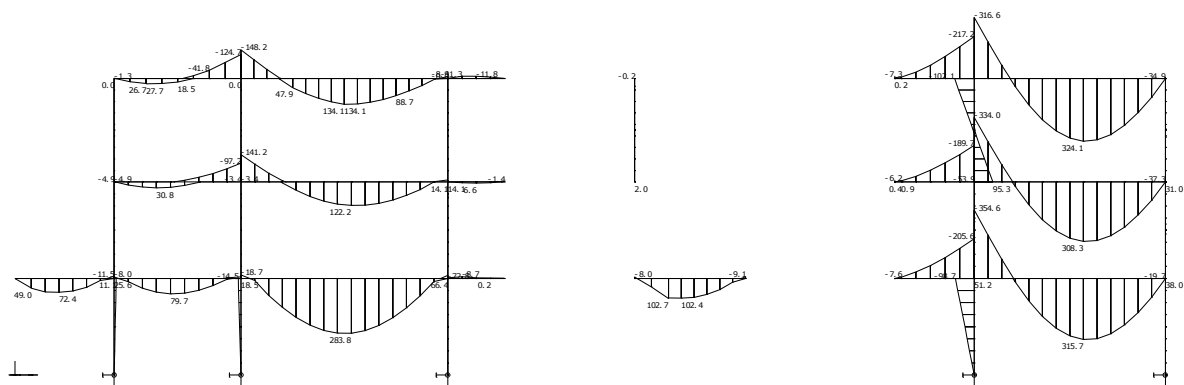
OB skelet_N



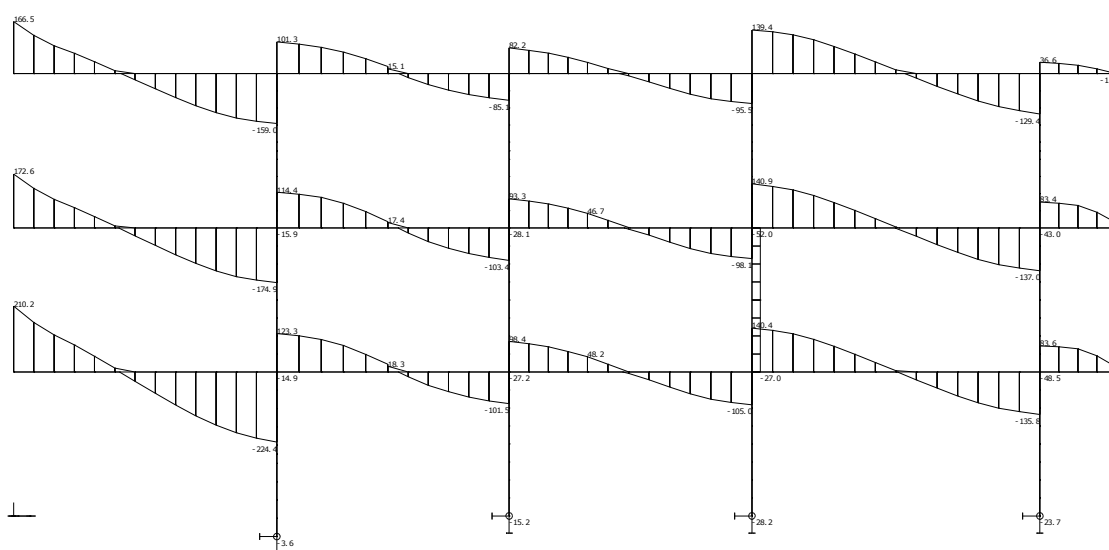
rez - osa 2_Vz



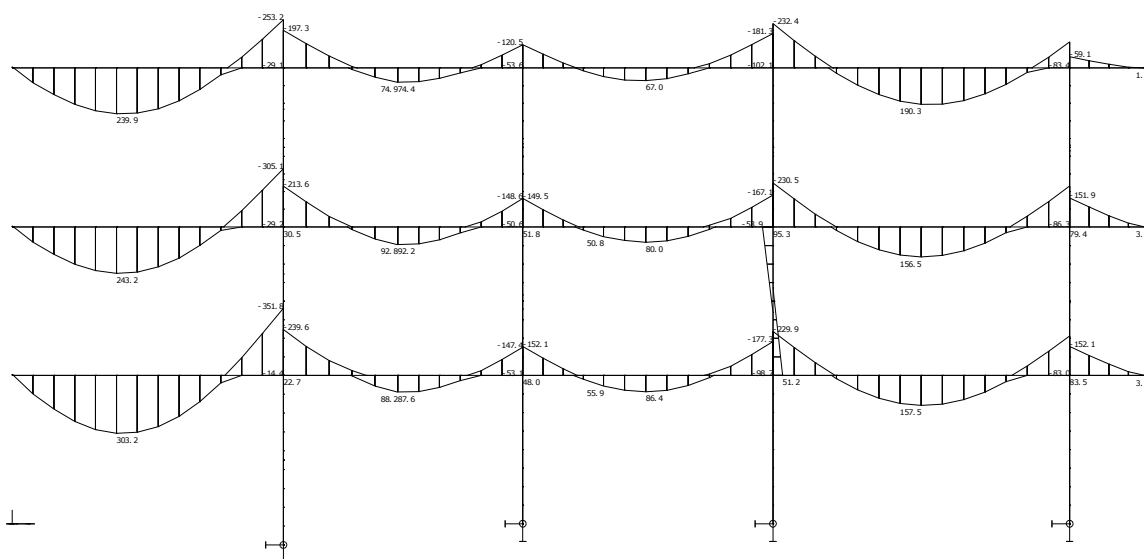
rez - osa 2_My



rez - osa 4_My



rez - osa G_Vz



rez - osa G_My

SL 1 _cc273-10

Skupina prutů :1/1010

Skupina kombinací na únosnost :1/112

Průřez : 11 - SL001-c273

prut	kombi	dx [mm]	N [kN]	Vy [kN]	Vz [kN]	Mx [kNm]	My [kNm]	Mz [kNm]
58	101	0.0	-2224.38	-10.88	4.91	0.00	0.00	0.00
	28	4000.0	-1894.06	-8.68	12.16	0.00	48.64	-34.74
81	109	3500.0	-1943.38	4.05	-28.19	-0.00	-98.67	14.18
	72		-1769.98	10.03	-22.47	0.00	-78.65	35.11
61	71	4000.0	-1905.67	-18.81	-3.59	0.00	-14.35	-75.25

SL 2 _cc245-7

Skupina prutů :1/1010

Skupina kombinací na únosnost :1/112

Průřez : 12 - SL002-c245

prut	kombi	dx [mm]	N [kN]	Vy [kN]	Vz [kN]	Mx [kNm]	My [kNm]	Mz [kNm]
314	104	0.0	-1362.23	-29.37	-3.27	0.09	7.13	54.26
557	107		-652.01	23.36	-51.96	0.18	95.25	-34.26
	112	3750.0	-662.72	22.64	-51.12	0.19	-102.09	46.14
314	31	0.0	-1131.57	-36.70	-14.85	0.04	22.74	71.44
560	110	3750.0	-478.44	-35.45	-42.62	0.18	-82.17	-84.90

SL 4 _hea240

Skupina prutů :1/1010

Skupina kombinací na únosnost :1/112

Průřez : 13 - SL004-Ha24

prut	kombi	dx [mm]	N [kN]	Vy [kN]	Vz [kN]	Mx [kNm]	My [kNm]	Mz [kNm]
71	59	0.0	-1909.18	4.15	-14.43	0.00	-0.00	0.00
311	12	3500.0	-1381.36	8.47	46.67	0.00	80.07	15.19
	5	0.0	-1251.84	13.55	48.93	0.00	-98.18	-18.67
325	106		-1263.39	-32.65	-18.58	0.00	32.80	56.87
	51	3500.0	-1227.83	-32.65	-18.76	0.00	-32.67	-57.44

SL 5 _hea220

Skupina prutů :1/1010

Skupina kombinací na únosnost :1/112

Průřez : 14 - SL005-Ha22

prut	kombi	dx [mm]	N [kN]	Vy [kN]	Vz [kN]	Mx [kNm]	My [kNm]	Mz [kNm]
548	61	0.0	-621.91	13.07	-19.89	0.00	33.13	-19.40
561	110	3750.0	-206.90	0.25	23.90	0.00	54.03	0.00
548	70		-530.21	16.49	-24.16	0.00	-54.58	29.47
575	63		-262.28	19.11	5.14	0.00	12.13	38.79
	60	0.0	-246.34	18.97	4.41	0.00	-6.35	-33.51

Vnitřní síly na prutu(ech). Globální extrém

Lineární statický - nebezpečné nebo všechny kombinace

Skupina prutů :1/1010

Skupina kombinací na únosnost :1/112

Průřez : 15 - sp27_10

prut	kombi	dx [mm]	N [kN]	Vy [kN]	Vz [kN]	Mx [kNm]	My [kNm]	Mz [kNm]
216	54	0.0	-10.02	-1.20	215.61	0.03	-354.64	-0.70
241	31	6400.0	6.15	-0.72	-224.44	0.03	-340.86	-0.74
608	111	3957.1	4.35	-0.33	7.03	-0.02	324.13	0.50

Vnitřní síly na prutu(ech). Globální extrém

Lineární statický - nebezpečné nebo všechny kombinace

Skupina prutů :1/1010

Skupina kombinací na únosnost :1/112

Průřez : 16 - sp27_20

prut	kombi	dx [mm]	N [kN]	Vy [kN]	Vz [kN]	Mx [kNm]	My [kNm]	Mz [kNm]
230	105	0.0	0.28	-0.26	188.05	0.01	-6.35	0.15
	112	6400.0	8.29	0.07	-181.66	-0.01	-308.57	-0.52
626	105	2461.5	-0.12	0.27	12.05	0.06	267.92	-0.97
238	51	6400.0	7.46	-0.70	-177.93	0.12	-327.26	-0.17

Vnitřní síly na prutu(ech). Globální extrém

Lineární statický - nebezpečné nebo všechny kombinace

Skupina prutů :1/1010

Skupina kombinací na únosnost :1/112

Průřez : 17 - sp27_30

prut	kombi	dx [mm]	N [kN]	Vy [kN]	Vz [kN]	Mx [kNm]	My [kNm]	Mz [kNm]
421	72	0.0	-0.34	-3.07	243.52	0.22	-273.24	0.39
	65	6025.0	-2.27	5.45	-223.22	-0.54	-245.35	1.92
625	62	3441.7	-0.08	0.01	3.38	0.03	185.66	-0.27
421	75	0.0	-2.80	-2.76	243.33	0.21	-273.74	0.51

Vnitřní síly na prutu(ech). Globální extrém

Lineární statický - nebezpečné nebo všechny kombinace

Skupina prutů :1/1010

Skupina kombinací na únosnost :1/112

Průřez : 18 - sp27_40

prut	kombi	dx [mm]	N [kN]	Vy [kN]	Vz [kN]	Mx [kNm]	My [kNm]	Mz [kNm]
446	28	0.0	-0.76	0.36	123.59	-0.11	-224.84	0.02
253	101	5745.0	8.71	-0.70	-163.22	-0.11	-98.70	-0.64
446	108	3081.8	0.38	-0.23	6.71	0.03	108.28	-0.03
	50	0.0	-1.23	0.36	123.45	-0.07	-226.04	0.07

Vnitřní síly na prutu(ech). Globální extrém

Lineární statický - nebezpečné nebo všechny kombinace

Skupina prutů :1/1010

Skupina kombinací na únosnost :1/112

Průřez : 19 - sp27_45

prut	kombi	dx [mm]	N [kN]	Vy [kN]	Vz [kN]	Mx [kNm]	My [kNm]	Mz [kNm]
256	52	0.0	5.03	0.03	59.72	-0.00	-72.91	0.24
614	58	1600.0	2.94	-0.25	-62.91	-0.00	-92.18	-0.01
613	106	0.0	7.73	0.29	-17.19	-0.00	84.23	-0.44
587	61	1150.0	2.38	0.03	-61.98	-0.00	-124.73	-0.07

Vnitřní síly na prutu(ech). Globální extrém

Lineární statický - nebezpečné nebo všechny kombinace

Skupina prutů :1/1010

Skupina kombinací na únosnost :1/112

Průřez : 22 - sp22_10

prut	kombi	dx [mm]	N [kN]	Vy [kN]	Vz [kN]	Mx [kNm]	My [kNm]	Mz [kNm]
268	106	0.0	-8.40	-1.15	87.53	0.02	-150.40	1.26
267	12	8000.0	-6.69	-0.59	-80.94	-0.00	-150.40	0.53
268	75	4647.0	0.89	-0.24	-2.05	0.02	114.38	-1.04
	104	0.0	-6.59	-0.54	87.52	0.02	-150.40	1.18

Vnitřní síly na prutu(ech). Globální extrém

Lineární statický - nebezpečné nebo všechny kombinace

Skupina prutů :1/1010

Skupina kombinací na únosnost :1/112

Průřez : 23 - sp22_20

prut	kombi	dx [mm]	N [kN]	Vy [kN]	Vz [kN]	Mx [kNm]	My [kNm]	Mz [kNm]
103	29	0.0	-2.63	1.58	139.75	0.04	-0.00	-0.17
261		600.0	-1.12	1.28	-196.42	0.03	-0.00	0.14
260	69	2710.0	0.17	0.07	16.11	-0.01	117.95	0.01
95	101	2600.0	-1.11	0.14	-107.78	0.02	-127.76	0.10

Vnitřní síly na prutu(ech). Globální extrém

Lineární statický - nebezpečné nebo všechny kombinace

Skupina prutů :1/1010

Skupina kombinací na únosnost :1/112

Průřez : 24 - sp22_X1

prut	kombi	dx [mm]	N [kN]	Vy [kN]	Vz [kN]	Mx [kNm]	My [kNm]	Mz [kNm]
96	102	0.0	-12.78	-0.62	608.04	-0.92	-173.49	0.11
	108	400.0	-10.85	-0.78	565.19	0.18	77.18	-0.17

2.3 kompozitní OB průřezy – SNK (sloupy)

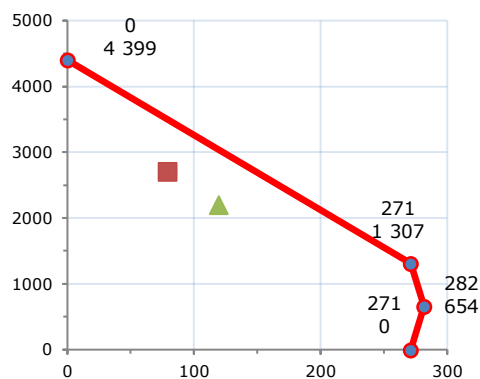
2.3.1 SL1 – TR 273

sloup Ø 273		l = 3945 mm	
kruhový uzavřený profil plněný betonem		systémová délka	
ocel	f_{ak}	355 MPa	E_a 2,10E+05 MPa
výztuž	f_{sk}	490 MPa	E_s 2,10E+05 MPa
beton	f_{ck}	40 MPa	E_{cm} 3,52E+04 MPa
		Ocelový profil	A_a 8262 mm²
			D 273 mm
			$D-t$ 253 mm
			t 10 mm
			r_v 126,5 mm
		Podélná výztuž	\emptyset 20 mm
			4 ks
			A_{s1} 314,2 mm ²
			e 90 mm
			2,50%
Výpočtové hodnoty pevnosti a pružnosti materiálů :			
$f_{ad} = f_{ak} / \gamma_a =$		355,0 MPa	γ_a 1,00
$f_{sd} = f_{sk} / \gamma_s =$		426,1 MPa	γ_s 1,15
$f_{cd} = f_{ck} / \gamma_c =$		26,7 MPa	γ_c 1,50
$E_{cd} = E_{cm} / \gamma_c =$		2,3E+04 MPa	$n = E_a/E_c =$ 11,92 ...Ø pro G i Q ($E_c = E_{cm}/2$)
Průřezové charakteristiky :			
Plochy :	A_a	8,26E+03 mm ²	I_a 7,154E+07 mm ⁴
	A_s	1,26E+03 mm ²	
	A_c	4,90E+04 mm ²	I_s 7,634E+06 mm ⁴
hmotnost oceli :	G	64,9 kg/m	
hmotnost OB pr.:	G_Σ	187,4 kg/m	I_c 1,935E+08 mm ⁴
VZPĚRNÁ ÚNOSNOST (M=0)			
dvouose symetrický profil - trubka			
vzpěrná délka	l	mm	3156,0
tuhost	$(EI)_e$	Nmm ²	2,026E+13
kritická síla	N_{cr}	kN	2,008E+07
		N	20077
	$N_{pl,R}$	kN	5,22E+06
			5215,3
poměrná štíhlost	λ'	-	0,510
křivka vzpěr. pevnosti		-	a
souč. imperfekce	α	-	0,21
redukční součinitel vzpěru	χ	-	0,921
	$N_{pl,Rd}$	N	4,78E+06
		kN	4775,5
	$\chi * N_{pl,Rd}$	kN	4399,4
$N_{Ed, max} = 2700 \text{ kN} \leq 4399,4 \text{ kN}$ Sloup VYHOVÍ na vzpěr			

ÚNOSNOST V KOMBINACI TLAKU A OHYBU

únosnost celé A_c :	$N_{pm,Rd} =$	1307,1 kN
Plastické průřezové moduly jednotlivých částí průřezu:	$W_{pa} =$	6,92E+05 mm ³
	$W_{ps} =$	0,00E+00 mm ³
	$W_{pc} =$	2,70E+06 mm ³
Vzdálenost N.O. od osy y ocel. profilu:	$h_n =$	31,2 mm
Plastické průřez. moduly částí průřezu v oblasti 2:	$W_{pan} =$	1,95E+04 mm ³
	$W_{psn} =$	0,00E+00 mm ³
	$W_{pcn} =$	2,46E+05 mm ³
maximální ohybová únosnost (bod D):	$M_{max,Rd,y} =$	281,7 kNm
	$M_{n,Rd,y} =$	10,2 kNm
Plastická ohybová únosnost (bod B):	$M_{pl,Rd,y} =$	271,5 kNm

ITERAČNÍ DIAGRAM



—●— Interakční křivka
—■— P75/C16
—▲— P74/C23

	M y	N
A	0	4399
C	271	1307
D	282	654
B	271	0

Vnitřní síly - kombinace N_{Ed} a $M_{y,Ed}$

č. prutu	kombinace - únosnost	N_{Ed} [kN]	
		$M_{y,Ed}$ [kNm]	
1		max.	2700,0
		odp.	80,0
2		odp.	2200,0
		max.	120
		max.	0
		max.	0

1. Posudek pro max. N_{Ed} a odp. $M_{y,Ed}$

$$\begin{aligned}
 \chi &= 0,921 & \mu_d &= 0,598 \\
 \mu_k &= 0,308 & \chi_n &= 0,461 \leq \chi_d & \mu &= 0,528 \\
 \chi_d &= 0,565 & r &= -1,0
 \end{aligned}$$

	M_{Ed}	\leq	$0,9 \mu * M_{pl,Rd}$	[kNm]
VYHOVÍ	80,0	\leq	129,1	[kNm]

2. Posudek pro max. $M_{y,Ed}$ a odp. N_{Ed}

$$\begin{aligned}
 \chi &= 0,921 & \mu_d &= 0,743 \\
 \mu_k &= 0,308 & \chi_n &= 0,461 \leq \chi_d & \mu &= 0,743 \\
 \chi_d &= 0,461 & r &= -1,0
 \end{aligned}$$

	M_{Ed}	\leq	$0,9 \mu * M_{pl,Rd}$	[kNm]
VYHOVÍ	120,0	\leq	181,4	[kNm]

R60 pož. odolnost	trubka plněná betonem	L = 3495 mm systémová délka
------------------------------------	------------------------------	---------------------------------------

Ocelobetonový profil (geometrie průřezu):

A_a	8262	mm²	D	273	mm
A_m	0,85765	m	t	10	mm
V	0,05853	m²	D-2t	253	mm
A_m/V	14,65	m⁻¹	r_c	126,5	mm
- podélná výztuž OB profilu:					
Ø [mm]	20	, počet ks:	6	/mimo osu:	2
A_{s1}	314,2	mm²	e_{y,z}	90	mm

Normová požární odolnost OBK: **R**

→ odvozené teploty:

- OK: $\theta_{0,t} = 680$ °C $k_t = 9,55$ m°C

$\theta_{f,t} = 819,93$ °C (teplota povrchu OK - pásnice)

- beton: $\theta_{c,t} = 367$ °C → $b_{c,fi} = 0$ mm

- OB konstrukce chráněna proti požáru:

NE způsob PO: ---

→ redukovaná teplota povrchu OBK:

$\theta_{D,t} = ---$ °C

- beton: $\theta_{D,c,t} = ---$ °C

Mechanické vlastnosti materiálů (za zvýšené teploty):

Charakteristické vlastnosti materiálu (při teplotě 20°C)	f_{ak}	355	MPa	E_a	2,10E+05	MPa	$\gamma_{a,fi}$	1,00
	f_{sk}	490	MPa	E_s	2,10E+05	MPa	$\gamma_{s,fi}$	1,00
	f_{ck}	40	MPa	E_{cm}	3,70E+04	MPa	$\gamma_{c,fi}$	1,00
Ocel (redukční souč.)	$k_{y,\theta,a} =$	0,100	→	$f_{ay,\theta} = f_{ak}/\gamma_{a,fi} * k_{y,\theta,a} =$	35,5 MPa			
	$k_{E,\theta,a} =$	0,085	→	$E_{a,\theta} = E_a * k_{E,\theta,a} =$	1,79E+04 MPa			
Beton (redukční souč.)	$k_{c,\theta} =$	0,800	→	$f_{c,\theta} = f_{ck}/\gamma_{c,fi} * k_{c,\theta} =$	32,0 MPa			
	$\epsilon_{cu,\theta} =$	7,00E-03	→	$E_{c,sec,\theta} = f_{c,\theta} / \epsilon_{cu,\theta} =$	4,57E+03 MPa			
Výztuž (redukční souč.)	$k_{y,t} =$	0,789	→	$f_{sy,\theta} = f_{sk}/\gamma_{s,fi} * k_{y,t} =$	386,6 MPa			
	$k_{E,t} =$	0,604	→	$E_{s,\theta} = E_s * k_{E,t} =$	1,27E+05 MPa			

Průřezové charakteristiky:

Plochy :	A_a	8,26E+03	mm ²	I_a	7,154E+07	mm ⁴	Momenty setrvačnosti
	A_s	1,88E+03	mm ²				
	$A_{c,fi}$	4,84E+04	mm ²	I_s	7,634E+06	mm ⁴	
hmotnost oceli :	G	64,9	kg/m				
hmotnost OB pr. :	G_{Σ}	185,8	kg/m	$I_{c,fi}$	1,935E+08	mm ⁴	

VZPĚRNÁ ÚNOSNOST (M=0)

dvouose symetrický profil - trubka

dvouděsí symetrický prvek trubka				
vzpěrná délka (dle obr. 4.6)	l_{θ}	mm	2446,5	
tuhost	$(EI)_{fi,eff}$	Nmm ²	2,728E+12	
kritická síla	N_{cr}	N	4,499E+06	
		kN	4499	
	$N_{fi,pl,R}$	N	2,35E+06	
		kN	2353,7	
poměrná štíhlost	λ'_{θ}	-	0,723	
křivka vzpěru / α	(za požáru)	-	c	0,49
redukční součinitel vzpěru	X_{θ}	-	0,710	
	$N_{fi,pl,Rd}$	N	2,35E+06	
		kN	2353,7	
$\chi * N_{fi,pl,Rd}$		kN	1671,6	

$N_{Ed, max, fi} = 1599,0$ kN ≤ 1671,6 kN Sloup VYHOVÍ

ÚNOSNOST V KOMBINACI TLAKU A OHYBU

únosnost celé A _c :		$N_{pm,Rd,\theta} =$	1331,6 kN
Plastické průřezové moduly jednotlivých částí průřezu :	$W_{pa} =$	6,92E+05	mm ³
	$W_{ps} =$	1,08E+03	mm ³
	$W_{pc} =$	2,70E+06	mm ³

Vzdálenost N.O. od osy y ocel. profilu :	$h_n =$		70,0 mm	
Plastické průřez. moduly částí průřezu v oblasti 2 :	$W_{pan} =$		9,7910E+04 mm ³	
	$W_{psn} =$		0,0000E+00 mm ³	
	$W_{pcn} =$		1,2386E+06 mm ³	
maximální ohybová únosnost (bod D) :	$M_{max.Rd,y} =$		68,2 kNm	
	$M_{n.Rd,y} =$		23,3 kNm	
Plastická ohybová únosnost (bod B):	$M_{pl.Rd,y} =$		44,9 kNm	
Návrhové účinky zatížení při požární situaci kombinace $N_{fi,d,t}$ a $M_{y,fi,d,t}$				
(odvozeno z vnitřních návrhových účinků za běžné teploty)				
Sloup	N_{Ed}	η_{fi}	$N_{fi,d,t}$	jedn.
Kombinace	$M_{y,Ed}$	[-]	$M_{y,fi,d,t}$	
	2460,0	0,65	1599,0	[kN]
	12,0		7,8	[kNm]
		0,65	0,0	[kN]
			0,0	[kNm]
		0,65	0,0	[kN]
			0,0	[kNm]
η_{fi} ... zjednodušeně použita hodnota 0,65 (dle kap. 2.4.2)				
bod C: $N_{pm,Rd,\theta}/N_{fi,pl,Rd} = 0,566$				
bod D: $M_{max,Rd,y}/M_{pl,Rd,y} = 1,519$				
<div><div></div><div></div><div></div><div></div></div>				
<u>Posudek:</u> 1	$\chi_{\theta} = 0,710$	$\mu_{d,\theta} = 0,738$	$\mu_{d,\theta} = 0,355$	$\leq \chi_d$
0	$\mu_{k,\theta} = 0,595$	$\chi_{n,\theta} = 0,679$	$r = -1,0$	
podmínka:	$M_{y,fi,d,t}$		\leq	$0,9 \mu_{\theta} * M_{pl,Rd}$ [kNm]
	7,8		\leq	7,9 [kNm]

VYHOVÍ

2.3.2 SL2 – TR 245

sloup Ø 245		CHS (TR) 245/7 + C40/50 + 4R		l = 3500 mm	
		kruhový uzavřený profil plněný betonem		systémová délka	
ocel	f_{ak}	355 MPa		Ea	2,10E+05 MPa
výztuž	f_{sk}	490 MPa		Es	2,10E+05 MPa
beton	f_{ck}	40 MPa		Ecm	3,52E+04 MPa
			Podélný profil	A_a	5234 mm ²
				D	245 mm
				D-t	231 mm
				t	7 mm
				r _v	115,5 mm
			Podélná výztuž	Ø	16 mm
					4 ks
				A _{s1}	201,1 mm ²
				e	75 mm
1,92%					

Výpočtové hodnoty pevnosti a pružnosti materiálů :

$f_{ad} = f_{ak} / \gamma_a =$	355,0 MPa	γ_a	1,00
$f_{sd} = f_{sk} / \gamma_s =$	426,1 MPa	γ_s	1,15
$f_{cd} = f_{ck} / \gamma_c =$	26,7 MPa	γ_c	1,50
$E_{cd} = E_{cm} / \gamma_c =$	2,3E+04 MPa	$n = E_a / E_c =$	11,92 ...Ø pro G i Q ($E_c = E_{cm} / 2$)

Průřezové charakteristiky :

Plochy :	A_a	5,23E+03	mm ²	I_a	3,709E+07	mm ⁴	Momenty setrvačnosti
	A_s	8,04E+02	mm ²				
	A_c	4,11E+04	mm ²	I_s	3,393E+06	mm ⁴	
hmotnost oceli :	G	41,1	kg/m				
hmotnost OB pr.:	G_s	143,9	kg/m	I_c	1,364E+08	mm ⁴	

VZPĚRNÁ ÚNOSNOST (M=0)

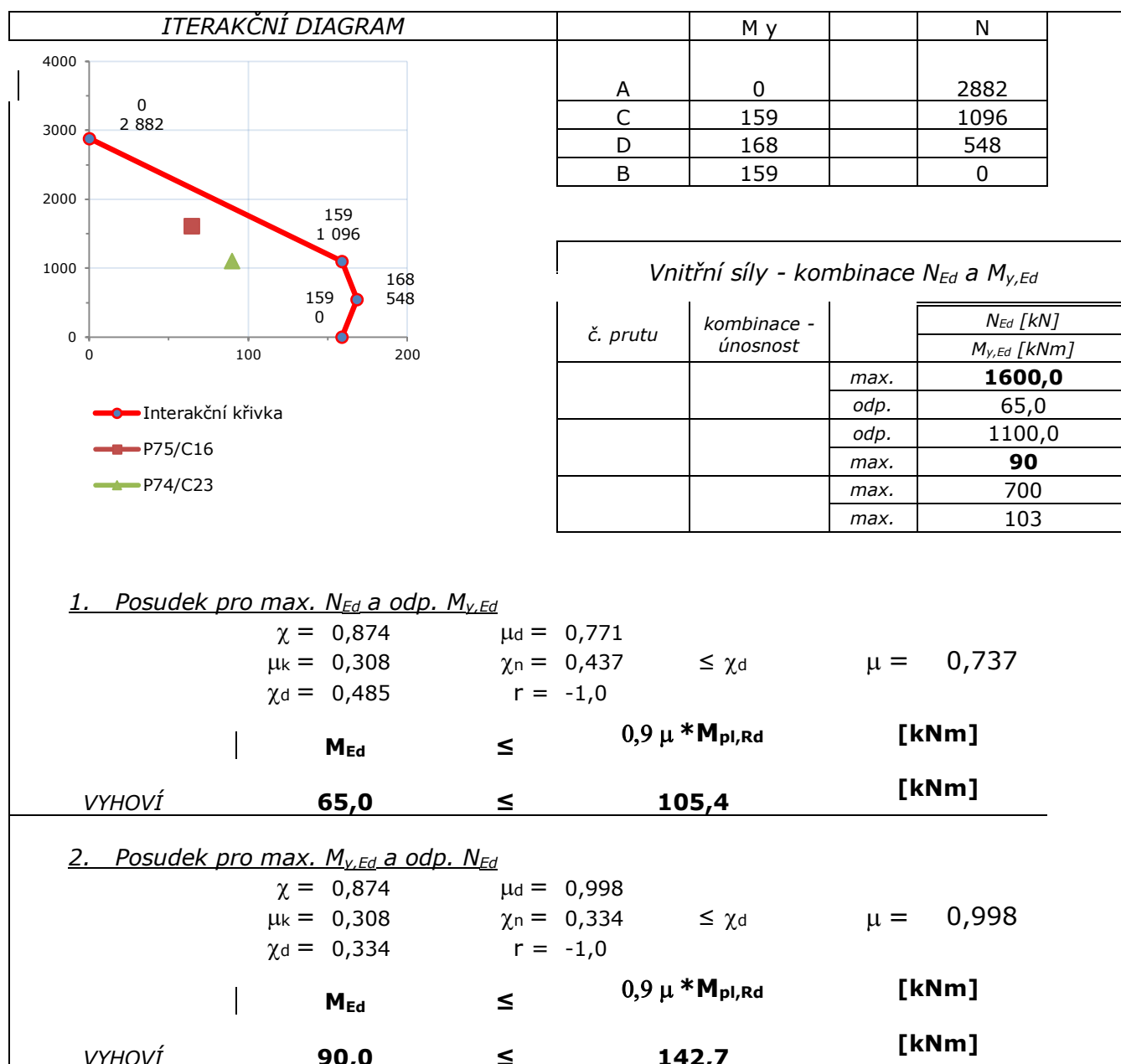
dvouose symetrický profil - trubka

vzpěrná délka	l	mm	3500,0
tuhost	$(EI)_e$	Nmm ²	1,106E+13
kritická síla	N_{cr}	N	8,914E+06
		kN	8914
	$N_{pl,R}$	N	3,65E+06
		kN	3649,7
poměrná štíhlost	λ'	-	0,640
křivka vzpěr. pevnosti		-	a
souč. imperfekce	α	-	0,21
redukční součinitel vzpěru	χ	-	0,874
	$N_{pl,Rd}$	N	3,30E+06
		kN	3296,9
	$\chi * N_{pl,Rd}$	kN	2882,2

$$N_{Ed, max} = \mathbf{1600 \text{ kN}} \leq \mathbf{2882,2 \text{ kN}} \quad \text{Sloup VYHOVÍ na vzpěr}$$

ÚNOSNOST V KOMBINACI TLAKU A OHYBU

únosnost celé A_c :	$N_{pm,Rd} =$	1096,1 kN
Plastické průřezové moduly jednotlivých částí průřezu :	$W_{pa} =$	3,97E+05 mm ³
	$W_{ps} =$	0,00E+00 mm ³
	$W_{pc} =$	2,05E+06 mm ³
Vzdálenost N.O. od osy y ocel. profilu :	$h_n =$	34,0 mm
Plastické průřez. moduly částí průřezu v oblasti 2 :	$W_{pan} =$	1,62E+04 mm ³
	$W_{psn} =$	0,00E+00 mm ³
	$W_{pcn} =$	2,68E+05 mm ³
maximální ohybová únosnost (bod D) :	$M_{max,Rd,y} =$	168,2 kNm
	$M_{n,Rd,y} =$	9,3 kNm
Plastická ohybová únosnost (bod B) :	$M_{pl,Rd,y} =$	158,9 kNm



sloup Ø 245	posudek OB-SL za zvýšené teploty		l = 3500 mm	
	požární situace		systémová délka	
Ocelobetonový profil (geometrie průřezu):				
A _a	5234	mm ²	D	245 mm
A _m =	0,76969	m	t	7 mm
V =	0,04714	m ²	D-2t	231 mm
A _m /V =	16,33	m ⁻¹	r _c	115,5 mm
- podélná výztuž OB profilu:				
Ø [mm]	16	, počet ks:	4	/mimo osu: 2
A _{s1}	201,1	mm ²	e _{y,z}	75 mm
Normová požární odolnost OBK: 45 ... požadavek (minut)				
→ odvozené teploty:				
- OK:	θ _{0,t} =	615 °C	k _t =	9,60 m°C
	θ _{f,t} =	771,73 °C (teplota povrchu OK - pásnice)		
- beton:	θ _{c,t} =	340 °C	→ b _{c,fi} =	0 mm
- OB konstrukce chráněna proti požáru: NE způsob PO: ---				
→ redukovaná teplota povrchu OBK: θ _{D,t} = --- °C				
- beton: θ _{D,c,t} = --- °C				

Mechanické vlastnosti materiálů (za zvýšené teploty):

Charakteristické vlastnosti materiálů (při teplotě 20°C)	f_{ak}	355	MPa	E_a	2,10E+05	MPa	$\gamma_{a,fi}$	1,00
	f_{sk}	490	MPa	E_s	2,10E+05	MPa	$\gamma_{s,fi}$	1,00
	f_{ck}	40	MPa	E_{cm}	3,52E+04	MPa	$\gamma_{c,fi}$	1,00
Ocel (redukční souč.)	$k_{y,\theta,a}$	0,140	→	$f_{ay,\theta} = f_{ak}/\gamma_{a,fi} * k_{y,\theta,a}$	49,7 MPa			
	$k_{E,\theta,a}$	0,110	→	$E_{a,\theta} = E_a * k_{E,\theta,a}$	2,31E+04 MPa			
Beton (redukční souč.)	$k_{c,\theta}$	0,820	→	$f_{c,\theta} = f_{ck}/\gamma_{c,fi} * k_{c,\theta}$	32,8 MPa			
	$\epsilon_{cu,\theta}$	7,50E-03	→	$E_{c,sec,\theta} = f_{c,\theta} / \epsilon_{cu,\theta}$	4,37E+03 MPa			
Výztuž (redukční souč.)	$k_{y,t}$	0,970	→	$f_{sy,\theta} = f_{sk}/\gamma_{s,fi} * k_{y,t}$	475,3 MPa			
	$k_{E,t}$	0,710	→	$E_{s,\theta} = E_s * k_{E,t}$	1,49E+05 MPa			

Průřezové charakteristiky:

Plochy :	A_a	5,23E+03	mm ²	I_a	3,709E+07	mm ⁴	Momenty setrvačnosti
	A_s	8,04E+02	mm ²				
	$A_{c,fi}$	4,11E+04	mm ²	I_s	3,393E+06	mm ⁴	
hmotnost oceli :	G	41,1	kg/m				
hmotnost OB pr. :	G_Σ	143,9	kg/m	$I_{c,fi}$	1,364E+08	mm ⁴	

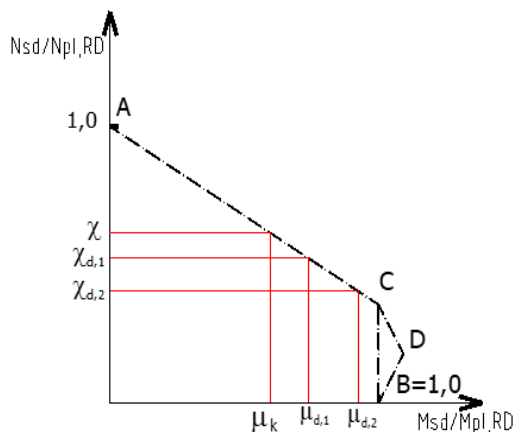
VZPĚRNÁ ÚNOSNOST (M=0)

dvouose symetrický profil - trubka

vzpěrná délka (dle obr. 4.6)	l_θ	mm	2450,0	
tuhost	$(EI)_{fi,eff}$	Nmm ²	1,704E+12	
kritická síla	N_{cr}	N	2,801E+06	
		kN	2801	
	$N_{fi,pl,R}$	N	1,80E+06	
		kN	1801,9	
poměrná štíhlost	λ'_θ	-	0,802	
křivka vzpěru / α	(za požáru)	-	c	0,49
redukční součinitel vzpěru	X_θ	-	0,661	
	$N_{fi,pl,Rd}$	N	1,80E+06	
		kN	1801,9	
$\chi * N_{fi,pl,Rd}$		kN	1190,8	
$N_{Ed, fi} = 0,8 * N_{Ed, max} =$ 770,0 kN < 1190,8 kN P.O. SL = R45				

ÚNOSNOST V KOMBINACI TLAKU A OHYBU

únosnost celé A_c :	$N_{pm,Rd,\theta} =$	1159,5 kN	
Plastické průřezové moduly jednotlivých částí průřezu :	$W_{pa} =$	3,97E+05	mm ³
	$W_{ps} =$	6,00E+02	mm ³
	$W_{pc} =$	2,05E+06	mm ³
Vzdálenost N.O. od osy y ocel. profilu :	$h_n =$	64,6 mm	
Plastické průřez. moduly částí průřezu v oblasti 2 :	$W_{pan} =$	5,8503E+04	mm ³
	$W_{psn} =$	0,0000E+00	mm ³
	$W_{pcn} =$	9,6530E+05	mm ³
maximální ohybová únosnost (bod D) :	$M_{max.Rd,y} =$	53,7 kNm	
	$M_{n.Rd,y} =$	18,7 kNm	
Plastická ohybová únosnost (bod B):	$M_{pl.Rd,y} =$	34,9 kNm	
ITERAČNÍ DIAGRAM			



Návrhové účinky zatížení při požární situaci kombinace $N_{fi,d,t}$ a $M_{y,fi,d,t}$

(odvozeno z vnitřních návrhových účinků za běžné teploty)

Sloup	N_{Ed}	η_{fi}	$N_{fi,d,t}$	jedn.
Kombinace	$M_{y,Ed}$	[-]	$M_{y,fi,d,t}$	
ge	1100,0	0,7	770,0	[kN]
c.u.-max	30,0		21,0	[kNm]
ge	800,0	0,6	480,0	[kN]
c.u.-max	52,0		31,2	[kNm]
ge	980,0	0,65	637,0	[kN]
	46,0		29,9	[kNm]

η_{fi} ... zjednodušeně použita hodnota 0,65 (dle kap. 2.4.2)

bod C: $N_{pm,Rd,\theta}/N_{fi,pl,Rd} = 0,643$

bod D: $M_{max,Rd,y}/M_{pl,Rd,y} = 1,536$



Posudek: 1	$\chi_{\theta} = 0,661$	$\mu_{d,\theta} = 1,000$				
ge	$\mu_{k,\theta} = 0,595$	$\chi_{n,\theta} = 0,330$	$\leq \chi_d$	$\mu_{\theta} = 0,826$		
	$\chi_{d,\theta} = 0,427$	$r = -1,0$				
podmínka:	$M_{y,fi,d,t} \leq 0,9 \mu_{\theta} * M_{pl,Rd}$				[kNm]	VYHOVÍ
	21,0		\leq	26,0	[kNm]	
Posudek: 2	$\chi_{\theta} = 0,661$	$\mu_{d,\theta} = 1,000$				
ge	$\mu_{k,\theta} = 0,595$	$\chi_{n,\theta} = 0,266$	$\leq \chi_d$	$\mu_{\theta} = 1,000$		
	$\chi_{d,\theta} = 0,266$	$r = -1,0$				
podmínka:	$M_{y,fi,d,t} \leq 1,0 \mu_{\theta} * M_{pl,Rd}$				[kNm]	VYHOVÍ
	31,2		\leq	34,9	[kNm]	
Posudek: 3	$\chi_{\theta} = 0,661$	$\mu_{d,\theta} = 1,000$				
ge	$\mu_{k,\theta} = 0,595$	$\chi_{n,\theta} = 0,330$	$\leq \chi_d$	$\mu_{\theta} = 0,958$		
	$\chi_{d,\theta} = 0,354$	$r = -1,0$				
podmínka:	$M_{y,fi,d,t} \leq 0,9 \mu_{\theta} * M_{pl,Rd}$				[kNm]	VYHOVÍ
	29,9		\leq	30,1	[kNm]	

sloup Ø 245	posudek OB-SL za zvýšené teploty	l = 3500 mm
	požární situace	systémová délka
Ocelobetonový profil (geometrie průřezu):		
A_a	5234 mm²	D 245 mm
A_m	0,76969 m	t 8 mm
V	0,04714 m ²	D-2t 229 mm
A_m/V	16,33 m⁻¹	r_c 114,5 mm
- podélná výztuž OB profilu:		
Ø [mm]	16	, počet ks: 4 /mimo osu: 2
A_{sl}	201,1 mm ²	e_{y,z} 75 mm
Normová požární odolnost OBK: R 30 ... požadavek (minut)		
→ <u>odvozené teploty:</u> - OK: $\theta_{0,t} = 550$ °C $k_t = 9,6$ m°C		
$\theta_{f,t} = 706,73$ °C (teplota povrchu OK - pásnice)		

- beton: $\theta_{c,t} = 277 \text{ }^{\circ}\text{C} \rightarrow b_{c,fi} = 4,0 \text{ mm}$

- OB konstrukce chráněna proti požáru: **NE** způsob PO: ---
→ redukovaná teplota povrchu OBK: $\theta_{D,t} = \text{--- }^{\circ}\text{C}$
- beton: $\theta_{D,c,t} = \text{--- }^{\circ}\text{C}$

Mechanické vlastnosti materiálů (za zvýšené teploty):

Charakteristické vlastnosti materiálů (při teplotě 20°C)	f_{ak}	355	MPa	E_a	2,10E+05	MPa	$\gamma_{a,fi}$	1,00
	f_{sk}	490	MPa	E_s	2,10E+05	MPa	$\gamma_{s,fi}$	1,00
	f_{ck}	40	MPa	E_{cm}	3,52E+04	MPa	$\gamma_{c,fi}$	1,00
Ocel (redukční souč.)	$k_{y,\theta,a} =$	0,230	→	$f_{ay,\theta} = f_{ak}/\gamma_{a,fi} * k_{y,\theta,a} =$	81,7 MPa			
	$k_{E,\theta,a} =$	0,130	→	$E_{a,\theta} = E_a * k_{E,\theta,a} =$	2,73E+04 MPa			
Beton (redukční souč.)	$k_{c,\theta} =$	0,900	→	$f_{c,\theta} = f_{ck}/\gamma_{c,fi} * k_{c,\theta} =$	36,0 MPa			
	$\epsilon_{cu,\theta} =$	5,00E-03	→	$E_{c,sec,\theta} = f_{c,\theta} / \epsilon_{cu,\theta} =$	7,20E+03 MPa			
Výztuž (redukční souč.)	$k_{y,t} =$	1,000	→	$f_{sy,\theta} = f_{sk}/\gamma_{s,fi} * k_{y,t} =$	490,0 MPa			
	$k_{E,t} =$	0,830	→	$E_{s,\theta} = E_s * k_{E,t} =$	1,74E+05 MPa			

Průřezové charakteristiky:

Plochy :	A_a	5,23E+03	mm ²	I_a	3,709E+07	mm ⁴	Momenty setrvačnosti
	A_s	8,04E+02	mm ²				
	$A_{c,fi}$	3,76E+04	mm ²	I_s	3,393E+06	mm ⁴	
hmotnost oceli :	G	41,1	kg/m				
hmotnost OB pr. :	G_{Σ}	135,0	kg/m	$I_{c,fi}$	1,137E+08	mm ⁴	

VZPĚRNÁ ÚNOSNOST (M=0)

dvouose symetrický profil - trubka

vzpěrná délka (dle obr. 4.6)	l_{θ}	mm	2450,0	
tuhost	$(EI)_{fi,eff}$	Nmm ²	2,098E+12	
kritická síla	N_{cr}	N	3,450E+06	
		kN	3450	
		N	1,98E+06	
	$N_{fi,pl,R}$	kN	1984,2	
poměrná štíhlost	λ'_{θ}	-	0,758	
křivka vzpěru / α	(za požáru)	-	c	0,49
redukční součinitel vzpěru	X_{θ}	-	0,688	
	$N_{fi,pl,Rd}$	N	1,98E+06	
		kN	1984,2	
$\chi * N_{fi,pl,Rd}$		kN	1365,7	

$$N_{Ed, fi} = 0,8 * N_{Ed, max} = \mathbf{1050,0 \text{ kN}} \leq \mathbf{1365,7 \text{ kN}} \quad \text{P.O. SL = R30}$$

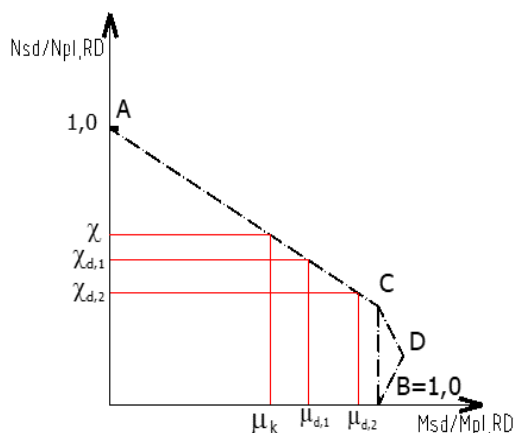
ÚNOSNOST V KOMBINACI TLAKU A OHYBU

únosnost celé A_c :	$N_{pm,Rd,\theta} =$	1162,7 kN
Plastické průřezové moduly jednotlivých částí průřezu :	$W_{pa} =$	3,97E+05 mm ³
	$W_{ps} =$	6,00E+02 mm ³
	$W_{pc} =$	1,76E+06 mm ³
Vzdálenost N.O. od osy y ocel. profilu :	$h_n =$	53,5 mm
Plastické průřez. moduly částí průřezu v oblasti 2 :	$W_{pan} =$	6,8817E+04 mm ³
	$W_{psn} =$	0,0000E+00 mm ³
	$W_{pcn} =$	6,3369E+05 mm ³
maximální ohybová únosnost (bod D) :	$M_{max,Rd,y} =$	64,3 kNm
	$M_{n,Rd,y} =$	17,0 kNm

Plastická ohybová únosnost
(bod B):

$$M_{pl,Rd,y} = 47,3 \text{ kNm}$$

ITERAČNÍ DIAGRAM



Návrhové účinky zatížení při požární situaci
kombinace $N_{fi,d,t}$ a $M_{y,fi,d,t}$

(odvozeno z vnitřních návrhových účinků za běžné teploty)

Sloup	N_{Ed}	η_{fi}	$N_{fi,d,t}$	jedn.
Kombinace	$M_{y,Ed}$	[-]	$M_{y,fi,d,t}$	
ge	1500,0	0,7	1050,0	[kN]
c.u.-max	40,0		28,0	[kNm]
ge	1000,0	0,6	600,0	[kN]
c.u.-max	75,0		45,0	[kNm]
ge	1300,0	0,65	845,0	[kN]
	56,0		36,4	[kNm]

η_{fi} ... zjednodušeně použita hodnota 0,65 (dle kap. 2.4.2)

bod C: $N_{pm,Rd,\theta}/N_{fi,pl,Rd} = 0,586$

bod D: $M_{max,Rd,y}/M_{pl,Rd,y} = 1,360$

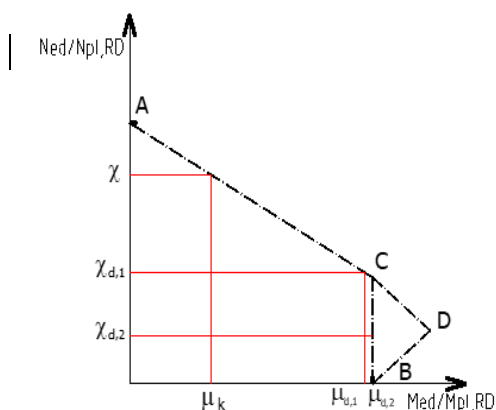


<u>Posudek: 1</u>	$\chi_{\theta} = 0,688$ $\mu_{k,\theta} = 0,595$ $\chi_{d,\theta} = 0,529$	$\mu_{d,\theta} = 1,000$ $\chi_{n,\theta} = 0,344$ $r = -1,0$	$\leq \chi_d$	$\mu_{\theta} = 0,680$	VYHOVÍ
ge					
podmínka:	$M_{y,fi,d,t} \leq 0,9 \mu_{\theta} * M_{pl,Rd}$ [kNm]				
	28,0 \leq 28,9 [kNm]				
<u>Posudek: 2</u>	$\chi_{\theta} = 0,688$ $\mu_{k,\theta} = 0,595$ $\chi_{d,\theta} = 0,302$	$\mu_{d,\theta} = 1,000$ $\chi_{n,\theta} = 0,302$ $r = -1,0$	$\leq \chi_d$	$\mu_{\theta} = 1,000$	VYHOVÍ
ge					
podmínka:	$M_{y,fi,d,t} \leq 1,0 \mu_{\theta} * M_{pl,Rd}$ [kNm]				
	45,0 \leq 47,3 [kNm]				
<u>Posudek: 3</u>	$\chi_{\theta} = 0,688$ $\mu_{k,\theta} = 0,595$ $\chi_{d,\theta} = 0,426$	$\mu_{d,\theta} = 1,000$ $\chi_{n,\theta} = 0,344$ $r = -1,0$	$\leq \chi_d$	$\mu_{\theta} = 0,859$	VYHOVÍ
ge					
podmínka:	$M_{y,fi,d,t} \leq 0,9 \mu_{\theta} * M_{pl,Rd}$ [kNm]				
	36,4 \leq 36,5 [kNm]				

ÚNOSNOST V KOMBINACI TLAKU A OHYBU - OSA Y (tuhá osa ocel. profilu)

únosnost celé A_c :	$N_{pm,Rd} = 1,05E+03$ kN	
Plastické průřezové moduly jednotlivých částí průřezu :	$W_{pa} = 7,446E+05$ mm ³	
	$W_{ps} = 8,796E+04$ mm ³	
	$W_{pc} = 2,341E+06$ mm ³	
Vzdálenost N.O. od osy y ocel. profilu :	$h_n = 26,0$ mm	$F_t = 1172$ kN $F_c = 1218$ kN
\Rightarrow N.O. prochází stojinou		$F_t \approx F_c$ ok
Plastické průřez. moduly částí průřezu v oblasti 2:	$W_{pan} = 5,070E+03$ mm ³	
	$W_{psn} = 2,290E+04$ mm ³	
	$W_{pcn} = 1,343E+05$ mm ³	
maximální ohybová únosnost (bod D) :	$M_{max,Rd,y} = 239,0$ kNm	
	$M_{n,Rd,y} = 12,5$ kNm	
Plastická ohybová únosnost (bod B):	$M_{pl,Rd,y} = 226,5$ kNm	

INTERAKČNÍ DIAGRAM



bod C: $N_{pm,Rd}/N_{pl,Rd} = 0,309$

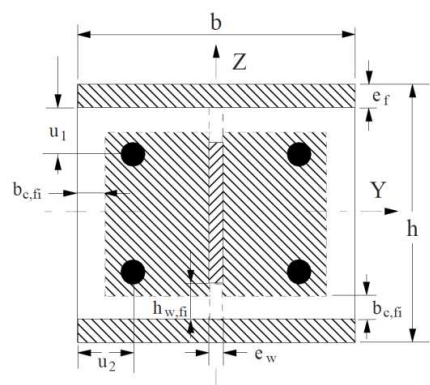
bod D: $M_{max,Rd,y}/M_{pl,Rd,y} = 1,055$

Návrhové účinky zatížení na OB sloupy (kombinace na únosnost pro N a M_y)

Sloup		N_{Ed}	jedn.
č. kombi.	makro/prut	$M_{y,Ed}$	
SL 24.2 - p1		1910,0 [kN]	
uls	ge	68,8 [kNm]	
SL 24.2 - p2		1330,0 [kN]	
uls	ge	98,0 [kNm]	
SL 24.2 - p3		1600,0 [kN]	
uls	ge	80,0 [kNm]	

Výpočtové (návrhové) N_{Ed} a M_{Ed} - viz výpočet vnitřních sil na prostorovém modelu k-ce.

Posudek: 1	$\chi = 0,835$	$\mu_d = 0,632$			
SL 24.2 - p1	$\mu_k = 0,238$	$\chi_n = 0,209 \leq \chi_d$	$\mu = 0,497$		
	$\chi_d = 0,563$	$r = 0$			
podmínka:	$M_{y,Ed} \leq 0,9 \mu * M_{pl,Rd}$		[kNm]		
	68,8	101,4	[kNm]		VÝHOVÍ
Posudek: 2	$\chi = 0,835$	$\mu_d = 0,880$			
SL 24.2 - p2	$\mu_k = 0,238$	$\chi_n = 0,209 \leq \chi_d$	$\mu = 0,810$		
	$\chi_d = 0,392$	$r = 0$			
podmínka:	$M_{y,Ed} \leq 0,9 \mu * M_{pl,Rd}$		[kNm]		
	98,0	165,1	[kNm]		VÝHOVÍ
Posudek: 3	$\chi = 0,835$	$\mu_d = 0,764$			
SL 24.2 - p3	$\mu_k = 0,238$	$\chi_n = 0,209 \leq \chi_d$	$\mu = 0,664$		
	$\chi_d = 0,472$	$r = 0$			
podmínka:	$M_{y,Ed} \leq 0,9 \mu * M_{pl,Rd}$		[kNm]		
	80,0	135,5	[kNm]		VÝHOVÍ

Výpočet únosnosti za požáru - částečně obetonovaný ocelový profil


normový požár, expozice sloupu ze 4 stran

součinitel průřezu:

$A_m =$	0,940	m
$V =$	0,055	m ²
$A_m/V =$	17,03	m ⁻¹

- OB konstrukce chráněna proti požáru:

ne

způsob PO: ---

→ redukovaná teplota povrchu OBK: ocel

 $\theta_{D,t} =$ --- °C

→ redukovaná teplota povrchu OBK: beton

 $\theta_{D,c,t} =$ --- °C

 Normová požární odolnost OBK: **R** **R 45** ... požadavek (minut)

 → odvozené teploty:

- OK:	$\theta_{0,t} =$	615 °C	$k_t =$	9,60 m°C
	$\theta_{f,t} =$	778,48 °C (teplota povrchu OK - pásnice)		
- beton:	$\theta_{c,t} =$	350,0 °C	→ $b_{c,fi} =$	9,50 mm

Mechanické vlastnosti materiálů (za zvýšené teploty):

Charakteristické vlastnosti materiálu (při teplotě 20°C)	f_{ak}	235	MPa	E_a	2,10E+05	MPa	$\gamma_{M,fi,a}$	1,00
	f_{sk}	490	MPa	E_s	2,10E+05	MPa	$\gamma_{M,fi,s}$	1,00
	f_{ck}	40	MPa	E_{cm}	3,52E+04	MPa	$\gamma_{M,fi,c}$	1,00
Ocel	$k_{y,\theta,a} =$	0,1340	→	$f_{ay,\theta} = f_{ak}/\gamma_{M,fi,a} * k_{y,\theta,a} =$	31,5	MPa		
(redukční souč.)	$k_{E,\theta,a} =$	0,0970	→	$E_{a,\theta} = E_a * k_{E,\theta,a} =$	2,04E+04	MPa		
Beton	$k_{c,\theta} =$	0,9400	→	$f_{c,\theta} = f_{ck}/\gamma_{M,fi,c} * k_{c,\theta} =$	37,6	MPa		
(redukční souč.)	$\epsilon_{cu,\theta} =$	8,30E-03	→	$E_{c,sec,\theta} = f_{c,\theta}/\epsilon_{cu,\theta} =$	4,53E+03	MPa		
Výztuž	$k_{y,t} =$	0,9000	→	$f_{sy,\theta} = f_{sk}/\gamma_{M,fi,s} * k_{y,t} =$	441,0	MPa		
(redukční souč.)	$k_{E,t} =$	0,7500	→	$E_{s,\theta} = E_s * k_{E,t} =$	1,58E+05	MPa		

G: Výpočet redukovaného průřezu vlivem požáru - vzpěrná únosnost k ose Z

G.1	Pásnice ocelového průřezu:	$N_{fi,pl,Rd,f} = 2 * (b * e_f * f_{ay,f,t}) / \gamma_{M,fi,a} =$	1,81E+05	N				
	$e_f =$	12,0	mm					
	$f_{ay,f,t} =$	31,5	N/mm ²	$E_{a,f,t} =$	20370,0	Nmm ⁻²		
	$(EI)_{fi,f,z} = E_{a,f,t} * (e_f * b^3) / 6 =$	5,63E+11	Nmm ²					
G.2	Stojina ocelového průřezu:	$H_t =$	560	mm				
	$h_{w,fi} = 0,5 * (h - 2 * e_f) * (1 - (1 - 0,16 * (H_t/h))^{0,5}) =$	22,5258	mm					
	$N_{fi,pl,Rd,w} = [e_w * (h - 2 * e_f - 2 * h_{w,fi}) * f_{ay,w,t}] / \gamma_{M,fi,a} =$	2,22E+05	N					
	$e_w =$	7,5	mm					
	$f_{ay,w,t} = f_{ak} * (1 - (0,16 * H_t/h))^{0,5} =$	183,6	N/mm ²	$E_{a,w} =$	2,10E+05	Nmm ⁻²		
	$(EI)_{fi,w,z} = [E_{a,w} * (h - 2 * e_f - 2 * h_{w,fi}) * e_w^3] / 12 =$	1,19E+09	Nmm ²					
G.3	Výplňový beton - C80/95:	$b_{c,fi} =$	9,50	mm				
	$N_{fi,pl,Rd,c} = 0,86 * [(h - 2 * e_f - 2 * b_{c,fi}) * (b - e_w - 2 * b_{c,fi}) * f_{c,\theta} / \gamma_{M,fi,c}] =$	1,25E+06	N					
	$(EI)_{fi,c,z} = E_{c,sec,\theta} * [(h - 2 * e_f - 2 * b_{c,fi}) * ((b - 2 * b_{c,fi})^3 - e_w^3) / 12] - I_{s,z} =$	7,30E+11	Nmm ²					
G.4	Výztuž:	$u = (u_1 * u_2)^{0,5} =$	38,54	mm	$u_1 =$	33,00	mm	
	$k_{y,t} =$	0,895	$k_{E,t} =$	0,717	(tab. G.5 + G.6)			
	$N_{fi,pl,Rd,s} = A_s * k_{y,t} * f_{sy} / \gamma_{M,fi,s} =$	5,51E+05	N					
	$(EI)_{fi,s,z} = k_{E,t} * E_s * I_{s,z} =$	1,06E+12	Nmm ²					

Vzpěrná únosnost při zvýšené teplotě:
 $N_{fi,Rd,z} = 1243,5$ kN

$N_{fi,pl,Rd} =$	2,20E+06	N	$l_\theta =$	2905,0	mm
$(EI)_{fi,eff,z} =$	2,05E+12	Nmm ²	vzpěrná délka (dle obr. 4.6)		
$N_{fi,cr,z} =$	2,40E+06	N	vzpěrnostní křivka: c		
$\lambda'_{\theta} = (N_{fi,pl,Rd} / N_{fi,cr,z})^{0,5} =$	0,959		→ $X_{\theta,y} = 0,564$		

Kombinace momentu a normálové síly - Sloup za požáru

použit zjednodušený výpočetní model = redukovaný průřez vlivem požáru s mechanickými vlastnostmi materiálů za zvýšené teploty

Vzdálenost N.O. od osy Y red. profilu: $h_{n,fi} = 65,89 \text{ mm}$
rovnováha vnitř. sil v reduk. průřezu: $F_{t,fi} - F_{c,fi} = 0,0 \text{ kN}$

Výpočet vzpěrné a ohybové únosnosti sloupu k tuhé ose (Y) za požáru:

$N_{fi,pl,Rd} = 2,204E+06 \text{ N}$	$N_{fi,pm,Rd} = 1,25E+06 \text{ N}$	
$(EI)_{fi,f,y} = 1,40E+12 \text{ Nmm}^2$	$N_{fi,cr,z} = 3,55E+06 \text{ N}$	
$(EI)_{fi,w,y} = 5,47E+11 \text{ Nmm}^2$	$l_{a,y} = 2905,0 \text{ mm} (= 0,7 \cdot L_{sys,y})$	
$(EI)_{fi,c,y} = 4,99E+11 \text{ Nmm}^2$	$\lambda'_{e} = (N_{fi,pl,R} / N_{fi,cr,z})^{0,5} = 0,788$	
$(EI)_{fi,s,y} = 9,27E+11 \text{ Nmm}^2$	vzpěrnostní křivka: b	
$(EI)_{fi,eff,y} = 3,04E+12 \text{ Nmm}^2$	$\rightarrow X_{e,y} = 0,732$	
$N_{fi,Rd,y} = 1613,4 \text{ kN}$	$M_{fi,pl,Rd,y} = 76,3 \text{ kNm}$	

Návrhové účinky zatížení při požární situaci

kombinace $N_{fi,d,t}$ a $M_{y,fi,d,t}$

(odvozeno z vnitřních návrhových účinků za běžné teploty)

Sloup	N_{Ed}	η_{fi}	$N_{fi,d,t}$	jednotky
Kombinace	$M(\text{makro}) / P(\text{prut})$	$M_{y,Ed}$	$M_{y,fi,d,t}$	
SL 24.2 - p1	1910	0,65	1241,5	[kN]
uls	ge		44,69	[kNm]
SL 24.2 - p2	1330	0,55	731,5	[kN]
uls	ge		53,90	[kNm]
SL 24.2 - p3	1600	0,65	1040,0	[kN]
uls	ge		52,00	[kNm]

Výpočtové N_{Ed} a M_{Ed} - výpočetní 3D model OBK za normální teploty (příloha SV)

η_{fi} ... zjednodušeně použita hodnota 0,65 (dle kap. 2.4.2)

Posouzení OB sloupu na únosnost za požáru

I. posouzení vzpěrné únosnosti za požární situace

$N_{fi,d,t, \max} = 1241,5 \text{ kN}$	\leq	$1243,5 \text{ kN}$	Sloup VYHOVÍ na vzpěr
--	--------	---------------------	-----------------------

II. posouzení sloupu na kombinaci vzpěru a ohybu za požární situace

SL 24.2 - p3	$\chi = 0,732$	$\mu_d = 1,000$	$\mu = 0,821$
ge	$\mu_k = 0,619$	$\chi_n = 0,366$	
uls	$\chi_d = 0,472$	$r = -1$	
podmínka EC4:	$M_{y,fi,d,t} \leq 0,95 \mu \cdot M_{fi,pl,Rd,y}$		

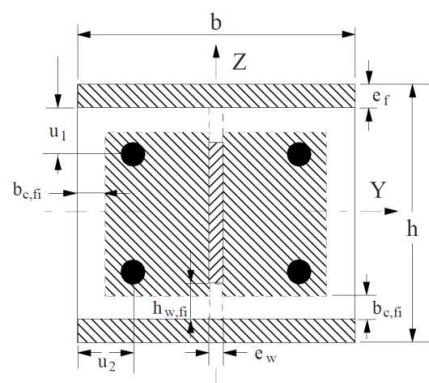
$M_{y,fi,d,t} = 52,0 \text{ kNm}$	\leq	$59,5 \text{ kNm}$	Sloup VYHOVÍ na kombi M+N
-----------------------------------	--------	--------------------	---------------------------

SL 24.2 - p2	$\chi = 0,732$	$\mu_d = 1,000$	$\mu = 0,832$
ge	$\mu_k = 0,619$	$\chi_n = 0,183$	
uls	$\chi_d = 0,332$	$r = 0$	
podmínka EC4:	$M_{y,fi,d,t} \leq 0,95 \mu \cdot M_{fi,pl,Rd,y}$		

$M_{y,fi,d,t} = 53,9 \text{ kNm}$	\leq	$60,3 \text{ kNm}$	Sloup VYHOVÍ na kombi M+N
-----------------------------------	--------	--------------------	---------------------------

resume: **SLOUP VYHOVÍ PODMÍNKÁM:**

R 45 min

Výpočet únosnosti za požáru - částečně obetonovaný ocelový profil


normový požár, expozice sloupu ze 4 stran

součinitel průřezu:

A_m	=	0,940	m
V	=	0,055	m ²
A_m/V	=	17,03	m ⁻¹

- OB konstrukce chráněna proti požáru:

ne

způsob PO: ---

→ redukovaná teplota povrchu OBK: ocel

→ redukovaná teplota povrchu OBK: beton

 $\theta_{D,t} =$ --- °C

 $\theta_{D,c,t} =$ --- °C

 Normová požární odolnost OBK: **R** **R 60** ... požadavek (minut)

→ odvozené teploty:

 - OK: $\theta_{0,t} =$ 680 °C

 $k_t =$ 9,55 m°C

 $\theta_{f,t} =$ 842,63 °C (teplota povrchu OK - pásnice)

 - beton: $\theta_{c,t} =$ 367,0 °C → $b_{c,fi} =$ 15,00 mm

Mechanické vlastnosti materiálů (za zvýšené teploty):

Charakteristické vlastnosti materiálu (při teplotě 20°C)	f_{ak}	235	MPa	E_a	2,10E+05	MPa	$\gamma_{M,fi,a}$	1,00
	f_{sk}	490	MPa	E_s	2,10E+05	MPa	$\gamma_{M,fi,s}$	1,00
	f_{ck}	40	MPa	E_{cm}	3,52E+04	MPa	$\gamma_{M,fi,c}$	1,00
Ocel (redukční souč.)	$k_{y,\theta,a} =$	0,0900	→	$f_{ay,\theta} = f_{ak} / \gamma_{M,fi,a} * k_{y,\theta,a} =$	21,2 MPa			
	$k_{E,\theta,a} =$	0,0800	→	$E_{a,\theta} = E_a * k_{E,\theta,a} =$	1,68E+04 MPa			
Beton (redukční souč.)	$k_{c,\theta} =$	0,8000	→	$f_{c,\theta} = f_{ck} / \gamma_{M,fi,c} * k_{c,\theta} =$	32,0 MPa			
	$\epsilon_{cu,\theta} =$	8,70E-03	→	$E_{c,sec,\theta} = f_{c,\theta} / \epsilon_{cu,\theta} =$	3,68E+03 MPa			
Výztuž (redukční souč.)	$k_{y,t} =$	0,7890	→	$f_{sy,\theta} = f_{sk} / \gamma_{M,fi,s} * k_{y,t} =$	386,6 MPa			
	$k_{E,t} =$	0,6040	→	$E_{s,\theta} = E_s * k_{E,t} =$	1,27E+05 MPa			

G: Výpočet redukovaného průřezu vlivem požáru - vzpěrná únosnost k ose Z

G.1	Pásnice ocelového průřezu:	$N_{fi,pl,Rd,f} = 2 * (b * e_f * f_{ay,f,t}) / \gamma_{M,fi,a} =$	1,22E+05 N				
		$e_f =$	12,0 mm				
		$f_{ay,f,t} =$	21,2 N/mm ²				
		$(EI)_{fi,f,z} = E_{a,f,t} * (e_f * b^3) / 6 =$	4,64E+11 Nmm ²				
G.2	Stojina ocelového průřezu:	$H_t =$	770 mm				
		$h_{w,fi} = 0,5 * (h - 2 * e_f) * (1 - (1 - 0,16 * (H_t/h))^{0,5}) =$	32,8126 mm				
		$N_{fi,pl,Rd,w} = [e_w * (h - 2 * e_f - 2 * h_{w,fi}) * f_{ay,w,t}] / \gamma_{M,fi,a} =$	1,69E+05 N				
		$e_w =$	7,5 mm				
		$f_{ay,w,t} = f_{ak} * (1 - (0,16 * H_t/h))^{0,5} =$	160,1 N/mm ²				
		$(EI)_{fi,w,z} = [E_{a,w} * (h - 2 * e_f - 2 * h_{w,fi}) * e_w^3] / 12 =$	1,04E+09 Nmm ²				
G.3	Výplňový beton - C80/95:	$b_{c,fi} =$	15,00 mm				
		$N_{fi,pl,Rd,c} = 0,86 * [(h - 2 * e_f - 2 * b_{c,fi}) * (b - e_w - 2 * b_{c,fi}) - A_s] * f_{c,\theta} / \gamma_{M,fi,c} =$	9,46E+05 N				
		$(EI)_{fi,c,z} = E_{c,sec,\theta} * [(h - 2 * e_f - 2 * b_{c,fi}) * ((b - 2 * b_{c,fi})^3 - e_w^3) / 12] - I_{s,z} =$	4,74E+11 Nmm ²				
G.4	Výztuž:	$u = (u_1 * u_2)^{0,5} =$	38,54 mm				
		$k_{y,t} =$	0,895				
		$k_{E,t} =$	0,717				
		$N_{fi,pl,Rd,s} = A_s * k_{y,t} * f_{sy} / \gamma_{M,fi,s} =$	5,51E+05 N				
		$(EI)_{fi,s,z} = k_{E,t} * E_s * I_{s,z} =$	1,06E+12 Nmm ²				

Vzpěrná únosnost při zvýšené teplotě:
 $N_{fi,Rd,z} = 1090,3$ kN
 $N_{fi,pl,Rd} =$ 1,79E+06 N

 $l_0 =$ 2751,0 mm

 $(EI)_{fi,eff,z} =$ 1,76E+12 Nmm²

vzpěrná délka (dle obr. 4.6)

 $N_{fi,cr,z} =$ 2,29E+06 N

vzpěrnostní křivka: c

 $\lambda'_{\theta} = (N_{fi,pl,Rd} / N_{fi,cr,z})^{0,5} =$ 0,884

 → $X_{\theta,y} =$ 0,610

Kombinace momentu a normálové síly - Sloup za požáru

použit zjednodušený výpočetní model = redukovaný průřez vlivem požáru s mechanickými vlastnostmi materiálů za zvýšené teploty

Vzdálenost N.O. od osy Y red. profilu:

$h_{n,fi} = 61,98 \text{ mm}$

rovnováha vnitř. sil v reduk. průřezu:

$F_{t,fi} - F_{c,fi} = 0,0 \text{ kN}$

Výpočet vzpěrné a ohybové únosnosti sloupu k tuhé ose (Y) za požáru:

$N_{fi,pl,Rd} = 1,787E+06 \text{ N}$	$N_{fi,pm,Rd} = 9,46E+05 \text{ N}$	
$(EI)_{fi,t,y} = 1,15E+12 \text{ Nmm}^2$	$N_{fi,cr,z} = 6,35E+06 \text{ N}$	
$(EI)_{fi,w,y} = 3,63E+11 \text{ Nmm}^2$	$l_{0,y} = 1965,0 \text{ mm}$	$(= 0,7 \cdot L_{sys,y})$
$(EI)_{fi,c,y} = 3,16E+11 \text{ Nmm}^2$	$\lambda'_{0,y} = (N_{fi,pl,Rd} / N_{fi,cr,z})^{0,5} = 0,530$	
$(EI)_{fi,s,y} = 9,27E+11 \text{ Nmm}^2$	vzpěrnostní křivka: b	
$(EI)_{fi,eff,y} = 2,49E+12 \text{ Nmm}^2$	$\rightarrow X_{0,y} = 0,871$	
$N_{fi,Rd,y} = 1556,0 \text{ kN}$	$M_{fi,pl,Rd,y} = 64,6 \text{ kNm}$	

Návrhové účinky zatížení při požární situaci

kombinace $N_{fi,d,t}$ a $M_{y,fi,d,t}$

(odvozeno z vnitřních návrhových účinků za běžné teploty)

Sloup	N_{Ed}	η_{fi}	$N_{fi,d,t}$	jednotky
Kombinace $M(\text{makro}) / P(\text{prut})$	$M_{y,Ed}$	$[-]$	$M_{y,fi,d,t}$	
SL 24.1 - p1	970	0,7	679,0	[kN]
uls	ge 58		40,74	[kNm]
SL 24 - p2	780	0,65	507,0	[kN]
uls	ge 65		42,25	[kNm]
SL 24 - p3	1	0,65	0,7	[kN]
uls	ge 1		0,65	[kNm]

Výpočtové N_{Ed} a M_{Ed} - výpočetní 3D model OBK za normální teploty (příloha SV)

η_{fi} ... zjednodušeně použita hodnota 0,65 (dle kap. 2.4.2)

Posouzení OB sloupu na únosnost za požáru

I. posouzení vzpěrné únosnosti za požární situace

$N_{fi,d,t, \max} = 679,0 \text{ kN} \leq 1090,3 \text{ kN}$ Sloup VYHOVÍ na vzpěr

II. posouzení sloupu na kombinaci vzpěru a ohybu za požární situace

SL 24 - p3	$\chi = 0,871$	$\mu_d = 1,000$	$\mu = 1,000$
ge	$\mu_k = 0,275$	$\chi_n = 0,000$	
uls	$\chi_d = 0,000$	$r = -1$	
podmínka EC4:	$M_{y,fi,d,t} \leq 0,95 \mu \cdot M_{fi,pl,Rd,y}$		

$M_{y,fi,d,t} = 0,7 \text{ kNm} \leq 61,3 \text{ kNm}$ Sloup VYHOVÍ na kombi M+N

SL 24 - p2	$\chi = 0,871$	$\mu_d = 1,000$	$\mu = 0,972$
ge	$\mu_k = 0,275$	$\chi_n = 0,218$	
uls	$\chi_d = 0,284$	$r = 0$	
podmínka EC4:	$M_{y,fi,d,t} \leq 0,95 \mu \cdot M_{fi,pl,Rd,y}$		

$M_{y,fi,d,t} = 42,3 \text{ kNm} \leq 59,6 \text{ kNm}$ Sloup VYHOVÍ na kombi M+N

resume: **SLoup VYHOVÍ PODMÍNKÁM:**

R 60 min

2.3.4 SL5 – H 220

sloup Ha 22	HEA 220 + C + 4ΦR16		l = 3800 mm	
	vybetonovaný mezi pásnicemi		systémová délka	

ocel:	f _{ak}	235 MPa	Ea	2,10E+05 MPa
výztuž:	f _{sk}	490 MPa	Es	2,10E+05 MPa
beton :	f _{ck}	40 MPa	Ecm	3,52E+04 MPa

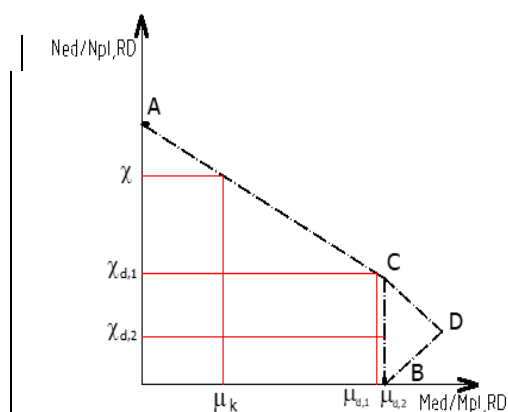
<

ROZHODUJE VZPĚŘ K OSE Z

$N_{Ed, max} =$	750,0 kN	\leq	1866,3 kN	Sloup VYHOVÍ na vzpěr
-----------------	-----------------	--------	------------------	-----------------------

ÚNOSNOST V KOMBINACI TLAKU A OHYBU - OSA Y (tuhá osa ocel. profilu)				
únosnost celé A_c :	$N_{pm,Rd} =$	8,83E+02 kN		
Plastické průřezové moduly jednotlivých částí průřezu:	$W_{pa} =$	5,685E+05 mm ³		
	$W_{ps} =$	5,228E+04 mm ³		
	$W_{pc} =$	1,805E+06 mm ³		
Vzdálenost N.O. od osy y ocel. profilu:	$h_n =$	29,0 mm	$F_t =$	942 kN
			$F_c =$	989 kN
\Rightarrow N.O. prochází stojinou				$F_t \approx F_c$ ok
Plastické průřez. moduly částí průřezu v oblasti 2:	$W_{pan} =$	5,887E+03 mm ³		
	$W_{psn} =$	2,397E+04 mm ³		
	$W_{pcn} =$	1,552E+05 mm ³		
maximální ohybová únosnost (bod D):	$M_{max,Rd,y} =$	176,3 kNm		
	$M_{n,Rd,y} =$	13,4 kNm		
Plastická ohybová únosnost (bod B):	$M_{pl,Rd,y} =$	163,0 kNm		

INTERAKČNÍ DIAGRAM



bod C: $N_{pm,Rd}/N_{pl,Rd} = 0,323$

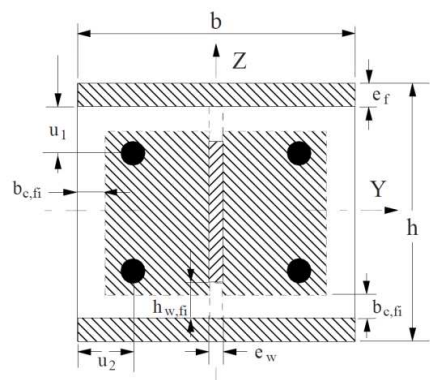
bod D: $M_{max,Rd,y}/M_{pl,Rd,y} = 1,082$

Návrhové účinky zatížení na OB sloupy (kombinace na únosnost pro N a M_y)

Sloup			N_{Ed}	jedn.
č. kombi.	makro/prut		$M_{y,Ed}$	
SL 24.2 - p1			750,0	[kN]
uls	ge		50,0	[kNm]
SL 24.2 - p2			600,0	[kN]
uls	ge		65,0	[kNm]
SL 24.2 - p3			650,0	[kN]
uls	ge		55,0	[kNm]

Výpočtové (návrhové) N_{Ed} a M_{Ed} - viz výpočet vnitřních sil na prostorovém modelu k-ce.

Posudek: 1	$\chi = 0,838$	$\mu_d = 1,000$	$\leq \chi_d$	$\mu = 0,975$	VYHOVÍ
SL 24.2 - p1	$\mu_k = 0,240$	$\chi_n = 0,209$			
	$\chi_d = 0,274$	$r = 0$			
podmínka:	$M_{y,Ed}$	\leq	$0,9 \mu * M_{pl,Rd}$	[kNm]	
	50,0	\leq	143,1	[kNm]	
Posudek: 2	$\chi = 0,838$	$\mu_d = 1,000$	$\leq \chi_d$	$\mu = 0,996$	VYHOVÍ
SL 24.2 - p2	$\mu_k = 0,240$	$\chi_n = 0,209$			
	$\chi_d = 0,219$	$r = 0$			
podmínka:	$M_{y,Ed}$	\leq	$0,9 \mu * M_{pl,Rd}$	[kNm]	
	65,0	\leq	146,1	[kNm]	
Posudek: 3	$\chi = 0,838$	$\mu_d = 1,000$	$\leq \chi_d$	$\mu = 0,989$	VYHOVÍ
SL 24.2 - p3	$\mu_k = 0,240$	$\chi_n = 0,209$			
	$\chi_d = 0,237$	$r = 0$			
podmínka:	$M_{y,Ed}$	\leq	$0,9 \mu * M_{pl,Rd}$	[kNm]	
	55,0	\leq	145,1	[kNm]	

Výpočet únosnosti za požáru - částečně obetonovaný ocelový profil


normový požár, expozice sloupu ze 4 stran

součinitel průřezu:

$A_m =$	0,860	m
$V =$	0,046	m ²
$A_m/V =$	18,61	m ⁻¹

- OB konstrukce chráněna proti požáru:

ne

způsob PO: ---

→ redukovaná teplota povrchu OBK: ocel

 $\theta_{D,t} =$ --- °C

→ redukovaná teplota povrchu OBK: beton

 $\theta_{D,c,t} =$ --- °C

 Normová požární odolnost OBK: **R** **R 30** ... požadavek (minut)

 → odvozené teploty:

 - OK: $\theta_{0,t} =$ 550 °C

 $k_t =$ 9,65 m°C

 $\theta_{f,t} =$ 729,63 °C (teplota povrchu OK - pásnice)

 - beton: $\theta_{c,t} =$ 300,0 °C → $b_{c,fi} =$ 4,00 mm

Mechanické vlastnosti materiálů (za zvýšené teploty):

Charakteristické vlastnosti materiálu (při teplotě 20°C)	f_{ak}	235	MPa	E_a	2,10E+05	MPa	$\gamma_{M,fi,a}$	1,00
	f_{sk}	490	MPa	E_s	2,10E+05	MPa	$\gamma_{M,fi,s}$	1,00
	f_{ck}	40	MPa	E_{cm}	3,52E+04	MPa	$\gamma_{M,fi,c}$	1,00
Ocel (redukční souč.)	$k_{y,\theta,a} =$	0,1950	→	$f_{ay,\theta} = f_{ak} / \gamma_{M,fi,a} * k_{y,\theta,a} =$	45,8	MPa		
	$k_{E,\theta,a} =$	0,1150	→	$E_{a,\theta} = E_a * k_{E,\theta,a} =$	2,42E+04	MPa		
Beton (redukční souč.)	$k_{c,\theta} =$	0,9400	→	$f_{c,\theta} = f_{ck} / \gamma_{M,fi,c} * k_{c,\theta} =$	37,6	MPa		
	$\epsilon_{cu,\theta} =$	8,30E-03	→	$E_{c,sec,\theta} = f_{c,\theta} / \epsilon_{cu,\theta} =$	4,53E+03	MPa		
Výztuž (redukční souč.)	$k_{y,t} =$	0,9500	→	$f_{sy,\theta} = f_{sk} / \gamma_{M,fi,s} * k_{y,t} =$	465,5	MPa		
	$k_{E,t} =$	0,8300	→	$E_{s,\theta} = E_s * k_{E,t} =$	1,74E+05	MPa		

G: Výpočet redukovaného průřezu vlivem požáru - vzpěrná únosnost k ose Z

G.1	Pásnice ocelového průřezu:							
	$N_{fi,pl,Rd,f} = 2 * (b * e_f * f_{ay,f,t}) / \gamma_{M,fi,a} =$	2,22E+05	N					
	$e_f =$	11,0	mm					
	$f_{ay,f,t} =$	45,8	N/mm ²	$E_{a,f,t} =$	24150,0	Nmm ⁻²		
	$(EI)_{fi,f,z} = E_{a,f,t} * (e_f * b^3) / 6 =$	4,71E+11	Nmm ²					
G.2	Stojina ocelového průřezu:			$H_t =$	350	mm		
	$h_{w,fi} = 0,5 * (h - 2 * e_f) * (1 - (0,16 * (H_t/h))^{0,5}) =$	13,5032	mm					
	$N_{fi,pl,Rd,w} = [e_w * (h - 2 * e_f - 2 * h_{w,fi}) * f_{ay,w,t}] / \gamma_{M,fi,a} =$	2,27E+05	N					
	$e_w =$	7,0	mm					
	$f_{ay,w,t} = f_{ak} * (1 - (0,16 * H_t/h))^{0,5} =$	201,2	N/mm ²	$E_{a,w} =$	2,10E+05	Nmm ⁻²		
	$(EI)_{fi,w,z} = [E_{a,w} * (h - 2 * e_f - 2 * h_{w,fi}) * e_w^3] / 12 =$	9,66E+08	Nmm ²					
G.3	Výplňový beton - C80/95:			$b_{c,fi} =$	4,00	mm		
	$N_{fi,pl,Rd,c} = 0,86 * [(h - 2 * e_f - 2 * b_{c,fi}) * (b - e_w - 2 * b_{c,fi}) - A_s] * f_{c,\theta} / \gamma_{M,fi,c} =$	1,17E+06	N					
	$(EI)_{fi,c,z} = E_{c,sec,\theta} * [(h - 2 * e_f - 2 * b_{c,fi}) * ((b - 2 * b_{c,fi})^3 - e_w^3) / 12 - I_{s,z}] =$	6,30E+11	Nmm ²					
G.4	Výztuž:			$u_1 =$	29,00	mm		
	$u = (u_1 * u_2)^{0,5} =$	34,06	mm	$u_2 =$	40,00	mm		
	$k_{y,t} =$	0,895		$k_{E,t} =$	0,717	(tab. G.5 + G.6)		
	$N_{fi,pl,Rd,s} = A_s * k_{y,t} * f_{sy} / \gamma_{M,fi,s} =$	3,53E+05	N					
	$(EI)_{fi,s,z} = k_{E,t} * E_s * I_{s,z} =$	5,93E+11	Nmm ²					

Vzpěrná únosnost při zvýšené teplotě:
 $N_{fi,Rd,z} = 1083,3$ kN
 $N_{fi,pl,Rd} = 1,97E+06$ N
 $(EI)_{fi,eff,z} = 1,46E+12$ Nmm²
 $N_{fi,cr,z} = 2,04E+06$ N

 $l_\theta = 2660,0$ mm
 vzpěrná délka (dle obr. 4.6)
 vzpěrnostní křivka: C

$$\lambda'_{\theta} = (N_{fi,pl,R} / N_{fi,cr,z})^{0,5} = 0,982 \rightarrow X_{\theta,y} = 0,550$$

Kombinace momentu a normálové síly - Sloup za požáru

použit zjednodušený výpočetní model = redukováný průřez vlivem požáru s mechanickými vlastnostmi materiálů za zvýšené teploty

Vzdálenost N.O. od osy Y red. profilu:

$$h_{n,fi} = 60,58 \text{ mm}$$

rovnováha vnitř. sil v reduk. průřezu:

$$F_{t,fi} - F_{c,fi} = 0,0 \text{ kN}$$

Výpočet vzpěrné a ohybové únosnosti sloupu k tuhé ose (Y) za požáru:

$N_{fi,pl,Rd} = 1,968E+06$	N	$N_{fi,pm,Rd} = 1,17E+06$	N
$(EI)_{fi,f,y} = 1,16E+12$	Nmm ²	$N_{fi,cr,z} = 3,30E+06$	N
$(EI)_{fi,w,y} = 5,11E+11$	Nmm ²	$l_{\theta,y} = 2660,0 \text{ mm}$	(= 0,7*L _{sys,y})
$(EI)_{fi,c,y} = 4,36E+11$	Nmm ²	$\lambda'_{\theta} = (N_{fi,pl,R} / N_{fi,cr,z})^{0,5} = 0,773$	
$(EI)_{fi,s,y} = 5,12E+11$	Nmm ²	vzpěrnostní křivka: b	
$(EI)_{fi,eff,y} = 2,36E+12$	Nmm ²	$\rightarrow X_{\theta,y} = 0,741$	
$N_{fi,Rd,y} = 1458,7 \text{ kN}$		$M_{fi,pl,Rd,y} = 62,6 \text{ kNm}$	

Návrhové účinky zatížení při požární situaci

kombinace $N_{fi,d,t}$ a $M_{y,fi,d,t}$

(odvozeno z vnitřních návrhových účinků za běžné teploty)

Sloup	N_{Ed}	η_{fi}	$N_{fi,d,t}$	jednotky
Kombinace	$M_{y,Ed}$	$[-]$	$M_{y,fi,d,t}$	
SL 24.2 - p1	750	0,7	525,0	[kN]
uls	ge		35,00	[kNm]
SL 24.2 - p2	600	0,65	390,0	[kN]
uls	ge		42,25	[kNm]
SL 24.2 - p3	650	0,65	422,5	[kN]
uls	ge		35,75	[kNm]

Výpočtové N_{Ed} a M_{Ed} - výpočetní 3D model OBK za normální teploty (příloha SV)

η_{fi} ... zjednodušeně použita hodnota 0,65 (dle kap. 2.4.2)

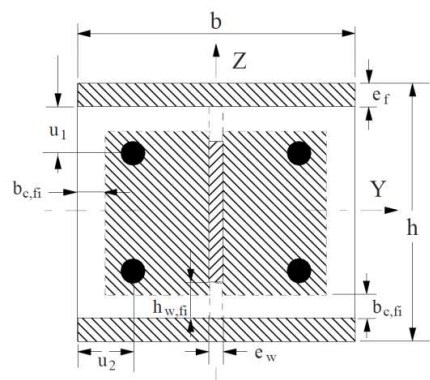
Posouzení OB sloupu na únosnost za požáru

I. posouzení vzpěrné únosnosti za požární situace

$$N_{fi,d,t, \max} = 525,0 \text{ kN} \leq 1083,3 \text{ kN} \quad \text{Sloup VYHOVÍ na vzpěr}$$

II. posouzení sloupu na kombinaci vzpěru a ohybu za požární situace

SL 24.2 - p3	$\chi = 0,741$	$\mu_d = 1,000$	$\mu = 1,000$	
ge	$\mu_k = 0,636$	$\chi_n = 0,215$		
uls	$\chi_d = 0,215$	$r = -1$		
podmínka EC4: $M_{y,fi,d,t} \leq 0,95 \mu * M_{fi,pl,Rd,y}$ <input type="checkbox"/>				
$M_{y,fi,d,t} =$		$35,8 \text{ kNm}$	$59,5 \text{ kNm}$	Sloup VYHOVÍ na kombi M+N
\leq				
SL 24.2 - p2	$\chi = 0,741$	$\mu_d = 1,000$	$\mu = 0,985$	
ge	$\mu_k = 0,636$	$\chi_n = 0,185$		
uls	$\chi_d = 0,198$	$r = 0$		
podmínka EC4: $M_{y,fi,d,t} \leq 0,95 \mu * M_{fi,pl,Rd,y}$ <input type="checkbox"/>				
$M_{y,fi,d,t} =$		$42,3 \text{ kNm}$	$58,6 \text{ kNm}$	Sloup VYHOVÍ na kombi M+N
\leq				
resume: <u>sloup vyhoví podmínkám:</u>				<u>R 30 min</u>

Výpočet únosnosti za požáru - částečně obetonovaný ocelový profil


normový požár, expozice sloupu ze 4 stran

součinitel průřezu:

A_m	=	0,860	m
V	=	0,046	m ²
A_m/V	=	18,61	m ⁻¹

- OB konstrukce chráněna proti požáru:

ne

způsob PO: ---

→ redukovaná teplota povrchu OBK: ocel

 $\theta_{D,t} =$ --- °C

→ redukovaná teplota povrchu OBK: beton

 $\theta_{D,c,t} =$ --- °C

 Normová požární odolnost OBK: **R** **R 60** ... požadavek (minut)

→ odvozené teploty:

 - OK: $\theta_{0,t} =$ 680 °C

 $k_t =$ 9,55 m°C

 $\theta_{f,t} =$ 857,77 °C (teplota povrchu OK - pásnice)

 - beton: $\theta_{c,t} =$ 350,0 °C → $b_{c,fi} =$ 15,00 mm

Mechanické vlastnosti materiálů (za zvýšené teploty):

Charakteristické vlastnosti materiálu (při teplotě 20°C)	f_{ak}	235	MPa	E_a	2,10E+05	MPa	$\gamma_{M,fi,a}$	1,00
	f_{sk}	490	MPa	E_s	2,10E+05	MPa	$\gamma_{M,fi,s}$	1,00
	f_{ck}	40	MPa	E_{cm}	3,52E+04	MPa	$\gamma_{M,fi,c}$	1,00
Ocel (redukční souč.)	$k_{y,\theta,a} =$	0,0830	→	$f_{ay,\theta} = f_{ak}/\gamma_{M,fi,a} * k_{y,\theta,a} =$	19,5	MPa		
	$k_{E,\theta,a} =$	0,0740	→	$E_{a,\theta} = E_a * k_{E,\theta,a} =$	1,55E+04	MPa		
Beton (redukční souč.)	$k_{c,\theta} =$	0,9400	→	$f_{c,\theta} = f_{ck}/\gamma_{M,fi,c} * k_{c,\theta} =$	37,6	MPa		
	$\epsilon_{cu,\theta} =$	8,30E-03	→	$E_{c,sec,\theta} = f_{c,\theta} / \epsilon_{cu,\theta} =$	4,53E+03	MPa		
Výztuž (redukční souč.)	$k_{y,t} =$	0,7890	→	$f_{sy,\theta} = f_{sk}/\gamma_{M,fi,s} * k_{y,t} =$	386,6	MPa		
	$k_{E,t} =$	0,6040	→	$E_{s,\theta} = E_s * k_{E,t} =$	1,27E+05	MPa		

G: Výpočet redukovaného průřezu vlivem požáru - vzpěrná únosnost k ose Z

G.1	Pásnice ocelového průřezu:	$N_{fi,pl,Rd,f} = 2 * (b * e_f * f_{ay,f,t}) / \gamma_{M,fi,a} =$	9,44E+04	N				
	$e_f =$	11,0	mm					
	$f_{ay,f,t} =$	19,5	N/mm ²		$E_{a,f,t} =$	15540,0	Nmm ⁻²	
	$(EI)_{fi,f,z} = E_{a,f,t} * (e_f * b^3) / 6 =$	3,03E+11	Nmm ²					
G.2	Stojina ocelového průřezu:	$H_t =$	770	mm				
	$h_{w,fi} = 0,5 * (h - 2 * e_f) * (1 - (0,16 * (H_t/h))^{0,5}) =$	33,5665	mm					
	$N_{fi,pl,Rd,w} = [e_w * (h - 2 * e_f - 2 * h_{w,fi}) * f_{ay,w,t}] / \gamma_{M,fi,a} =$	1,28E+05	N					
	$e_w =$	7,0	mm					
	$f_{ay,w,t} = f_{ak} * (1 - (0,16 * (H_t/h))^{0,5}) =$	151,1	N/mm ²		$E_{a,w} =$	2,10E+05	Nmm ⁻²	
	$(EI)_{fi,w,z} = [E_{a,w} * (h - 2 * e_f - 2 * h_{w,fi}) * e_w^3] / 12 =$	7,26E+08	Nmm ²					
G.3	Výplňový beton - C80/95:	$b_{c,fi} =$	15,00	mm				
	$N_{fi,pl,Rd,c} = 0,86 * [(h - 2 * e_f - 2 * b_{c,fi}) * (b - e_w - 2 * b_{c,fi}) - A_s] * f_{c,\theta} / \gamma_{M,fi,c} =$	9,09E+05	N					
	$(EI)_{fi,c,z} = E_{c,sec,\theta} * [(h - 2 * e_f - 2 * b_{c,fi}) * ((b - 2 * b_{c,fi})^3 - e_w^3) / 12] - I_{s,z} =$	3,91E+11	Nmm ²					
G.4	Výztuž:	$u = (u_1 * u_2)^{0,5} =$	34,06	mm	$u_1 =$	29,00	mm	
	$k_{y,t} =$	0,895		$k_{E,t} =$	0,717	(tab. G.5 + G.6)		
	$N_{fi,pl,Rd,s} = A_s * k_{y,t} * f_{sy} / \gamma_{M,fi,s} =$	3,53E+05	N					
	$(EI)_{fi,s,z} = k_{E,t} * E_s * I_{s,z} =$	5,93E+11	Nmm ²					

Vzpěrná únosnost při zvýšené teplotě:
 $N_{fi,Rd,z} = 682,8$ kN
 $N_{fi,pl,Rd} =$ 1,48E+06

N

 $l_\theta =$ 3130,0 mm

 $(EI)_{fi,eff,z} =$ 1,12E+12

 Nmm²

vzpěrná délka (dle obr. 4.6)

 $N_{fi,cr,z} =$ 1,13E+06

N

vzpěrnostní křivka: C

$$\lambda'_{\theta} = (N_{fi,pl,R} / N_{fi,cr,z})^{0,5} = 1,146 \rightarrow X_{\theta,y} = 0,460$$

Kombinace momentu a normálové síly - Sloup za požáru

použit zjednodušený výpočetní model = redukováný průřez vlivem požáru s mechanickými vlastnostmi materiálů za zvýšené teploty

Vzdálenost N.O. od osy Y red. profilu:

$$h_{n,fi} = 60,42 \text{ mm}$$

rovnováha vnitř. sil v reduk. průřezu:

$$F_{t,fi} - F_{c,fi} = 0,0 \text{ kN}$$

Výpočet vzpěrné a ohybové únosnosti sloupu k tuhé ose (Y) za požáru:

$N_{fi,pl,Rd} = 1,484E+06$	N	$N_{fi,pm,Rd} = 9,09E+05$	N
$(EI)_{fi,f,y} = 7,45E+11$	Nmm ²	$N_{fi,cr,z} = 3,19E+06$	N
$(EI)_{fi,w,y} = 2,16E+11$	Nmm ²	$l_{\theta,y} = 2191,0 \text{ mm}$	(= 0,7*L _{sys,y})
$(EI)_{fi,c,y} = 2,57E+11$	Nmm ²	$\lambda'_{\theta} = (N_{fi,pl,R} / N_{fi,cr,z})^{0,5} = 0,682$	
$(EI)_{fi,s,y} = 5,12E+11$	Nmm ²	vzpěrnostní křivka: b	
$(EI)_{fi,eff,y} = 1,55E+12$	Nmm ²	$\rightarrow X_{\theta,y} = 0,794$	
$N_{fi,Rd,y} = 1178,0 \text{ kN}$		$M_{fi,pl,Rd,y} = 41,2 \text{ kNm}$	

Návrhové účinky zatížení při požární situaci

kombinace $N_{fi,d,t}$ a $M_{y,fi,d,t}$

(odvozeno z vnitřních návrhových účinků za běžné teploty)

Sloup	N_{Ed}	η_{fi}	$N_{fi,d,t}$	jednotky
Kombinace	$M_{y,Ed}$	$[-]$	$M_{y,fi,d,t}$	
SL 5 - 1.pp	500	0,75	375,0	[kN]
uls	ge		37,50	[kNm]
SL 5 - 1.pp	300	0,75	225,0	[kN]
uls	ge		30,00	[kNm]
SL 5 - 1.pp	300	0,75	225,0	[kN]
uls	ge		30,00	[kNm]

Výpočtové N_{Ed} a M_{Ed} - výpočetní 3D model OBK za normální teploty (příloha SV)

η_{fi} ... zjednodušeně použita hodnota 0,65 (dle kap. 2.4.2)

Posouzení OB sloupu na únosnost za požáru

I. posouzení vzpěrné únosnosti za požární situace

$N_{fi,d,t, \max} = 375,0 \text{ kN}$	\leq	$682,8 \text{ kN}$	Sloup VYHOVÍ na vzpěr
---------------------------------------	--------	--------------------	-----------------------

II. posouzení sloupu na kombinaci vzpěru a ohybu za požární situace

SL 5 - 1.pp	$\chi = 0,794$	$\mu_d = 1,000$	$\leq \chi_d$	$\mu = 1,000$
ge	$\mu_k = 0,532$	$\chi_n = 0,152$		
uls	$\chi_d = 0,152$	$r = -1$		
podmínka EC4:	$M_{y,fi,d,t} \leq 0,95 \mu * M_{fi,pl,Rd,y}$			<input type="checkbox"/>

$M_{y,fi,d,t} = 30,0 \text{ kNm}$	\leq	$39,2 \text{ kNm}$	Sloup VYHOVÍ na kombi M+N
-----------------------------------	--------	--------------------	---------------------------

SL 5 - 1.pp	$\chi = 0,794$	$\mu_d = 1,000$	$\mu = 1,000$
ge	$\mu_k = 0,532$	$\chi_n = 0,152$	
uls	$\chi_d = 0,152$	$r = 0$	
podmínka EC4: $M_{y,fi,d,t} \leq 0.95 \mu * M_{fi,pl,Rd,y}$			

$M_{y,fi,d,t} = 30,0 \text{ kNm}$	\leq	$39,2 \text{ kNm}$	Sloup VYHOVÍ na kombi M+N
-----------------------------------	--------	--------------------	---------------------------

resume: **SLOUP VYHOVÍ PODMÍNKÁM:**

R 60 min

2.4 kompozitní OB průřezy – VNK (průvlaky a příčle)

2.4.1 SP22.10

SP-Střední část SP22.1 - S	Isn 220/60÷250 (D220) skrytá příčel spřažená s ŽB deskou (monolit)	L = 7500 mm c.b. - 2x neg. M
--------------------------------------	--	--

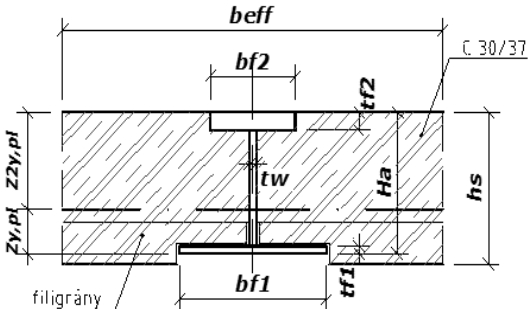
	$b_{eff,1}$ 656,250 mm $b_{eff,2}$ 525,000 mm b_{eff} 1181,3 mm
	Ocelový profil - rozměry: H_a 220 mm b_{f1} 60 mm b_{f2} 250 mm t_{f1} 6 mm t_{f2} 15 mm t_w 6 mm A_a 5304 mm ² I_{ya} 2,84E+07 mm ⁴ $Z_{Cg,a}$ 45,81 mm I_{za} 1,96E+07 mm ⁴ $I_{zc (cca)}$ 2,36E+09 mm ⁴ - tuhost desky (b_{eff}) \emptyset 12 mm

běžný beton SD (2500 kg/m³) - pev. tř.: C30/37			
betonová deska (monolit)	h_s 220 mm h_{su} 205 mm		
- spřažení :	Protažena horní výztuž desky (B500)		
	celková výška spřaž. profilu:	H	220 mm
	hmotnost oceli - 1bm profilu:	G_a	41,64 kgm⁻¹

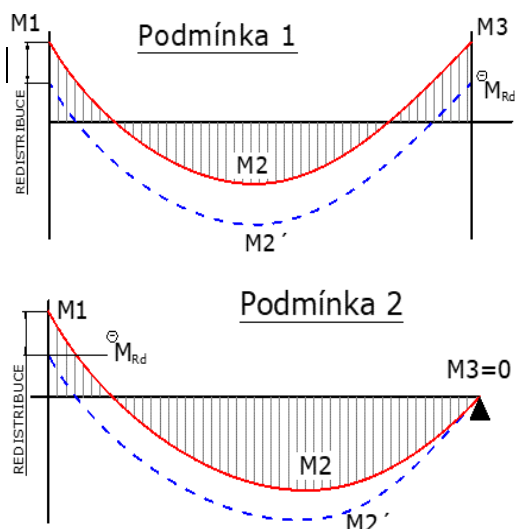
MATERIÁLOVÉ CHARAKTERISTIKY :			
	deska: f_{ck}	30 MPa	$\gamma_c = 1,5$
	f_{cd}	17,0 MPa	
	$\eta_{pl,c}$	0,072	
	- ocel: f_{ak}	235 MPa	$\gamma_a = 1,00$
	f_{ad}	235 MPa	

PLASTICKÁ ÚNOSNOST SPŘAŽENÉHO PROFILU (Kladný moment)			
poloha plastické osy	$Z_{y,pl}$	48,2 mm	
tahová síla na pr.	F_t	1102 kN	
tlaková síla na pr.	F_c	1102 kN	
	$F_t - F_c =$	0,00 kN	kontrola
osa prochází stojinou ocelového profilu:	$d_{w,t}$	156,8 mm	
	$d_{w,c}$	42,2 mm	
plocha tlačného betonu:	$A_{c,c}$	56361,4 mm ²	
	$z_{2y,pl}$	171,8 mm	
+	$M_{y,pl,Rd} =$	190,3	kNm

TUHOST SPŘAŽENÉHO PROFILU (moment setrvačnosti k ose y)			
modul pružnosti oceli:	E_{a+s}	2,10E+05 MPa	
seč. mod. pružnosti betonu:	E_{cm}	32837 MPa	
pracovní součinitel pro krat. i dlouhodobé zat.	$n =$	($E_{cm}/2$) / $E_{a+s} =$	0,0782
poloha elastické osy kompozitního průřezu :	$Z_{y,el}$	95,2 mm	(od h.hr. Oceli)
	$z_{2y,el} = (H_a - Z_{y,el})$	124,8 mm	(od d.hr. Oceli)
osa prochází stojinou ocelového profilu:	$d_{w,c}$	89,2 mm	
	$d_{w,t}$	109,8 mm	
	$F_{t,el.}$	896 kN	
	$F_{c,el.}$	896 kN	
	$F_{t,el} - F_{c,el} =$	0,00 kN	kontrola
plocha tlačného betonu:	$A_{c,c}$	111600,0 mm ²	
+	$I_{y,el,2} =$	8,793E+07	mm⁴
	$(EI_y)_{el,2} =$	1,85E+13 Nmm ²	

SP-koncová část SP22.0 - K		část spojená se sloupem - konzola skrytá příčel spřažená s ŽB deskou (monolit)	l = 7500 mm	
		beff,1	468,750 mm	
		beff,2	468,750 mm	
		beff	937,5 mm	
Ocelový profil - rozměry:				
		Ha	220 mm	
		bf1	250 mm	
		bf2	250 mm	
		tf1	10 mm	
		tf2	15 mm	
		tw	6 mm	
		Aa	7420 mm ²	
		Iya	6,98E+07 mm ⁴	
		těžiště oceli (od hor. H. oceli): ZCg,a	93,97 mm	
		Iza	3,26E+07 mm ⁴	
betonová deska		hs	220 mm	
(s filigrány)		hsu	205 mm	
- spřažení :		Protažena horní výztuž desky (B500)		Ø 12 mm
		celková výška spřaž. profilu:	H	220 mm
		hmotnost oceli - 1bm profilu:	Ga	58,2 kgm⁻¹
MATERIÁLOVÉ CHARAKTERISTIKY :				
		-		
deska:		f _{ck}	30 MPa	γ _c = 1,5
		f _{cd}	17,0 MPa	
		η _{pl,c}	0,072	
- ocel:		f _{ak}	235 MPa	γ _a = 1,00
		f _{ad}	235 MPa	
PLASTICKÁ ÚNOSNOST SPŘAŽENÉHO PROFILU (záporný moment)				
poloha plastické osy		Z _{y,pl}	34,2 mm	
tahová síla na pr.		F _t	1122 kN	
tlaková síla na pr.		F _c	1122 kN	
		F _t -F _c =	0,00 kN	kontrola
osa prochází stojinou ocelového profilu:		d _{w,t}	170,8 mm	
		d _{w,c}	24,2 mm	
plocha tlačného betonu:		A _{c,c}	29435,4 mm ²	
		z _{2y,pl}	185,8 mm	
		M_{y,pl,Rd} =	203,8	kNm
TUHOST SPŘAŽENÉHO PROFILU (moment setrvačnosti k ose y)				
		E _{a+s}	2,10E+05 MPa	
		E _{cm}	3,28E+04 MPa	
pracovní součinitel pro krat. i dlouhodobé zat.		n =	(E _{cm} /2) / E _{a+s} =	0,0782
poloha elastické osy kompozitního průřezu :		Z _{y,el}	87,9 mm	(od h.hr. Oceli)
		z _{2y,el} = (H _a -Z _{y,el})	132,1 mm	(od d.hr. Oceli)
osa prochází stojinou ocelového profilu:		d _{w,c}	77,9 mm	
		d _{w,t}	117,1 mm	
		F _{t,el.}	904 kN	
		F _{c,el.}	904 kN	
		F _{t,el} - F _{c,el} =	0,00 kN	kontrola
plocha tlačného betonu:		A _{c,c}	79423,7 mm ²	
		I_{y,el,2} =	9,671E+07	mm⁴
		(EI _y) _{el.2} =	2,03E+13 Nmm ²	

POSOUZENÍ MEZNÍHO STAVU ÚNOSNOSTI



Globální extrémny ohybového momentu (kombinace na únosnost)

$M_1 =$	130,0 kNm	G.E.
$M_2 =$	90,0 kNm	
$M_3 =$	130,0 kNm	Podmínka 1
$M_{y,Ed} =$	$(M_1 + M_3)/2 + M_2 =$	220,0 kNm
$M_1 =$	kNm	
$M_2 =$	kNm	
$M_3 =$	kNm	Podmínka 1
$M_{y,Ed} =$	$(M_1 + M_3)/2 + M_2 =$	0,0 kNm
$M_1 =$	150,0 kNm	G.E.
$M_2 =$	115,0 kNm	
$M_3 =$	0,0 kNm	Podmínka 2
$M_{y,Ed}$ po redistribuci:	$M_2' =$	115,0 kNm

Redistribuce momentů na příčly : $\leq \frac{(M_1 - M_{y,pl,Rd})}{M_1} = 0,0 \%$

Pružně-plastická analýza

$$\rightarrow M'_{y,pl,Rd} = M_{y,pl,Rd} + M_{y,Rd,red} /$$

<u>Podmínka 1:</u>	součtový moment od zat.	\leq	součtový moment únosnosti
	$M_{y,Ed}$ [kNm]		$M'_{y,pl,Rd}$ [kNm]
VYHOVÍ	220,0	\leq	344,0
$\rightarrow M'_{y,Ed} = M_2' = M_{y,2} + (M_{y,1} + M_{y,3} - M_{y,Rd,red})/2$			
<u>Podmínka 2:</u>	součtový moment od zat.	\leq	red. kladný moment únosnosti
	$M_{y,Ed} = M_2'$ [kNm]		$M^+_{y,Rd,red}$ [kNm]
VYHOVÍ	115,0	\leq	190,3

Únosnost průřezu ve smyku a smykovém boulení

Koncová část příčle: **K**

$d = 195 \text{ mm}$
 podmínka smykového boulení: $d / t_w > 124 \cdot \epsilon$
 $32,5 > 100,4$
 \Rightarrow **stěna účinkem smyku neboulí**

$A_v = 1170 \text{ mm}^2$...plocha účinná na smyk (stojna)

$$V_{pl,Rd} = \frac{A_v \cdot f_{yd}}{\sqrt{3}} =$$

$$158,7 \text{ kN} \geq V_{Ed} = 224 \text{ kN}$$

NOSNÍK NEVYHOVÍ - nutné lokální zesílení stojiny

$$50\% V_{pl,Rd} = 79,37 \geq V_{ed,M} = 202 \text{ [kN]}$$

REDUKCE MOMENTU ÚNOSNOSTI VLIVEM SMYKU

$$M_{y,Rd,red} = M_{f,Rd} + (M_{Rd} - M_{f,Rd}) \cdot (1 - (2V_{Ed}/V_{pl,Rd} - 1)^2) = 153,7 \text{ kNm}$$

$$\text{Momentová únosnost při odečtení stěny nosníku : } M_{f,Rd} = 182,8 \text{ kNm}$$

2.4.2 SP22.20

SP: S / (K)
skrytá příčel (lsn)

b_{eff}

b1 (K)

b1

Spřahovací výztuž
protážená skrz stojinu

Z_{y,pl}

h_{su}

t_w

t₁

t₁(K)

H

b2

t2

beton deska
monolit

běžný beton SD (2500 kg/m³) - pev. tř.: C30/37

betonová deska (monolit)	h_s	220 mm
	h_{su}	210 mm
- spřažení :	Protážená horní výztuž desky (B500)	
	celková výška spřaž. profilu:	
	hmotnost oceli - 1bm profilu:	

MATERIÁLOVÉ CHARAKTERISTIKY :	-	
	deska: f_{ck}	30 MPa
	f_{cd}	17,0 MPa
	$n_{pl,c}$	0,072
	- ocel: f_{ak}	235 MPa
	f_{ad}	235 MPa
		$\gamma_c = 1,5$
		$\gamma_a = 1,00$

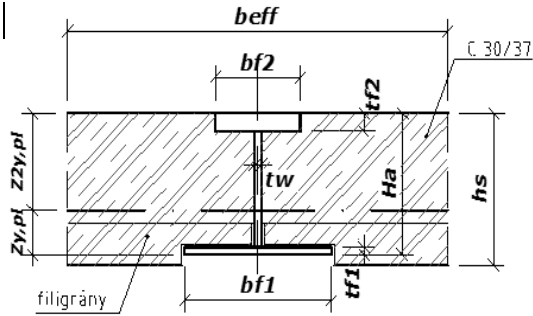
PLASTICKÁ ÚNOSNOST SPŘAŽENÉHO PROFILU (Kladný moment)

poloha plastické osy	Z_{y,pl}	58,9 mm
tahová síla na pr.	F_t	943 kN

$b_{eff,1}$	373,750 mm
$b_{eff,2}$	373,750 mm
b_{eff}	747,5 mm

Ocelový profil - rozměry:

H_a	220 mm
b_{f1}	60 mm
b_{f2}	250 mm
t_{f1}	6 mm
t_{f2}	10 mm
t_w	10 mm
A_a	4900 mm ²
I_{ya}	3,36E+07 mm ⁴
$Z_{Cg,a}$	65,12 mm
I_{za}	1,31E+07 mm ⁴
$I_{zc} (cca)$	5,99E+08 mm ⁴
	- tuhost desky (b_{eff})
\emptyset	12 mm
H	220 mm
G_a	38,47 kgm⁻¹

tlaková síla na pr. F_c		943 kN	
$F_t - F_c =$		0,00 kN	kontrola
osa prochází stojinou ocelového profilu: $d_{w,t}$		151,1 mm	
$d_{w,c}$		52,9 mm	
plocha tlačného betonu: $A_{c,c}$		43152,1 mm ²	
$z_{y,pl}$		161,1 mm	
+		$M_{y,pl,Rd} =$	148,2 kNm
TUHOST SPŘAŽENÉHO PROFILU (moment setrvačnosti k ose y)			
modul pružnosti oceli: E_{a+s}		2,10E+05 MPa	
seč. mod. pružnosti betonu: E_{cm}		32837 MPa	
pracovní součinitel pro krat. i dlouhodobé zat. $n =$		$(E_{cm}/2) / E_{a+s} =$	0,0782
poloha elastické osy kompozitního průřezu: $Z_{y,el}$		97,8 mm	(od h.hr. Oceli)
$z_{y,el} = (H_a - Z_{y,el})$		122,2 mm	(od d.hr. Oceli)
osa prochází stojinou ocelového profilu: $d_{w,c}$		91,8 mm	
$d_{w,t}$		112,2 mm	
$F_{t,el.}$		684 kN	
$F_{c,el.}$		684 kN	
$F_{t,el} - F_{c,el} =$		0,00 kN	kontrola
plocha tlačného betonu: $A_{c,c}$		71840,6 mm ²	
+		$I_{y,el,2} =$	6,751E+07 mm⁴
		$(EI_y)_{el.2} =$	1,42E+13 Nmm ²
SP-koncová část SP22.0 - K	část spojená se sloupem - konzola skrytá příčel spřažená s ŽB deskou (monolit)	$l =$	2990 mm
		$b_{eff,1}$	186,875 mm
		$b_{eff,2}$	186,875 mm
		b_{eff}	373,8 mm
Ocelový profil - rozměry:			
H_a		220 mm	
b_{f1}		250 mm	
b_{f2}		250 mm	
t_{f1}		10 mm	
t_{f2}		10 mm	
t_w		10 mm	
A_a		7000 mm ²	
I_{ya}		6,26E+07 mm ⁴	
těžiště oceli (od hor. H. oceli): $Z_{Cg,a}$		110,00 mm	
I_{za}		2,61E+07 mm ⁴	
betonová deska h_s	220 mm		
(s filigrány) h_{su}	210 mm		
- spřažení :	Protažena horní výztuž desky (B500)	\emptyset	12 mm
celková výška spřaž. Profilu:		H	220 mm
hmotnost oceli - 1bm profilu:		G_a	55,0 kgm⁻¹
MATERIÁLOVÉ CHARAKTERISTIKY :			
deska: f_{ck}		30 MPa	$\gamma_c = 1,5$
f_{cd}		17,0 MPa	
$\eta_{pl,c}$		0,072	
- ocel: f_{ak}		235 MPa	$\gamma_a = 1,00$
f_{ad}		235 MPa	
PLASTICKÁ ÚNOSNOST SPŘAŽENÉHO PROFILU (záporný moment)			
poloha plastické osy $Z_{y,pl}$		51,3 mm	
tahová síla na pr. F_t		961 kN	
tlaková síla na pr. F_c		961 kN	

	$F_t - F_c =$	0,00 kN	kontrola
osa prochází stojinou ocelového profilu:	$d_{w,t}$	158,7 mm	
	$d_{w,c}$	41,3 mm	
plocha tlačného betonu:	$A_{c,c}$	16242,4 mm ²	
	$z_{y,pl}$	168,7 mm	

$$- \quad M_{y,pl,Rd} = 162,1 \quad \text{kNm}$$

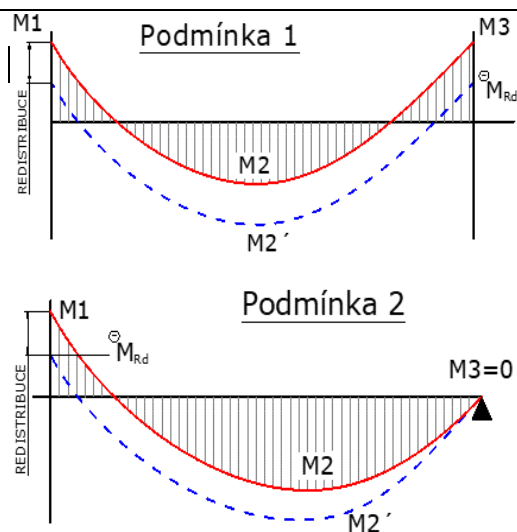
TUHOST SPŘAŽENÉHO PROFILU (moment setrvačnosti k ose y)

	E_{a+s}	2,10E+05 MPa	
	E_{cm}	3,28E+04 MPa	
pracovní součinitel pro krat. i dlouhodobé zat.	$n =$	$(E_{cm}/2) / E_{a+s} =$	0,0782
poloha elastické osy kompozitního průřezu:	$z_{y,el}$	92,2 mm	(od h.hr. Oceli)
	$z_{y,el} = (H_a - z_{y,el})$	127,8 mm	(od d.hr. Oceli)
osa prochází stojinou ocelového profilu:	$d_{w,c}$	82,2 mm	
	$d_{w,t}$	117,8 mm	
	$F_{t,el.}$	692 kN	
	$F_{c,el.}$	692 kN	
	$F_{t,el} - F_{c,el} =$	0,00 kN	kontrola
plocha tlačného betonu:	$A_{c,c}$	31152,8 mm ²	

$$- \quad I_{y,el,2} = 7,193E+07 \quad \text{mm}^4$$

$$(EI_y)_{el,2} = 1,51E+13 \quad \text{Nmm}^2$$

POSOUZENÍ MEZNÍHO STAVU ÚNOSNOSTI



Globální extrémy ohybového momentu (kombinace na únosnost)

$M_1 =$	150,0 kNm	G.E.
$M_2 =$	100,0 kNm	
$M_3 =$	150,0 kNm	Podmínka 1
$M_{y,Ed} =$	$(M_1 + M_3)/2 + M_2 =$	250,0 kNm
$M_1 =$	kNm	
$M_2 =$	kNm	
$M_3 =$	kNm	Podmínka 1
$M_{y,Ed} =$	$(M_1 + M_3)/2 + M_2 =$	0,0 kNm
$M_1 =$	130,0 kNm	G.E.
$M_2 =$	120,0 kNm	
$M_3 =$	0,0 kNm	Podmínka 2
M_y po redistribuci:	$M_{2'} =$	120,0 kNm

$$\text{Redistribuce momentů na příčly :} \quad \leq \quad \frac{(M_1 - M_{y,pl,Rd})}{M_1} = 0,0 \% \quad \text{Pružně-plastická analýza}$$

$$\rightarrow M'_{y,pl,Rd} = M_{y,pl,Rd} + |M_{y,Rd,red}^-|$$

Podmínka 1:	součtový moment od zat.		součtový moment únosnosti
	$M_{y,Ed}$ [kNm]	\leq	$M'_{y,pl,Rd}$ [kNm]
VYHOVÍ	250,0	\leq	302,7
$\rightarrow M'_{y,Ed} = M_{2'} = M_{y,2} + (M_{y,1} + M_{y,3} - M_{y,Rd,red}^-)/2$			
Podmínka 2:	součtový moment od zat.		red. kladný moment únosnosti
	$M_{y,Ed} = M_{2'}$ [kNm]	\leq	$M^+_{y,Rd,Red}$ [kNm]
VYHOVÍ	120,0	\leq	148,2

2.4.3 SP27.10

SP: S / (K)
skrytá příčel (lsn)

b_{eff}

b1 (K)

b1

Spřahovací výztuž
protahena skrz stojinu

Z_{y,pl}

H

h_{su}

t_w

t1

t2

t1(K)

b2

beton deska
monolit

běžný beton SD (2500 kg/m³) - pev. tř.: C30/37

betonová deska
(monolit)

h_s **270 mm**
h_{su} **248 mm**

- spřažení : *Protažena horní výztuž desky (B500)*

celková výška spřaž. profilu:
hmotnost oceli - 1bm profilu:

**MATERIÁLOVÉ
CHARAKTERISTIKY :**

-
deska: f_{ck} **30** MPa $\gamma_c = 1,5$
 f_{cd} 17,0 MPa
 $n_{pl,c}$ 0,072
- ocel: f_{ak} **235** MPa $\gamma_a = 1,00$
 f_{ad} 235 MPa

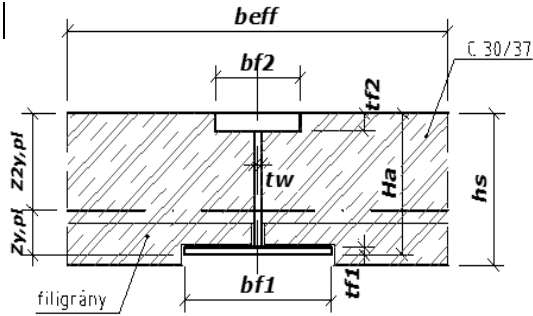
PLASTICKÁ ÚNOSNOST SPŘAŽENÉHO PROFILU (Kladný moment)

poloha plastické osy **Z_{y,pl}** **66,1 mm**
tahová síla na pr. **F_t** **1790 kN**

b _{eff,1}	656,250 mm
b _{eff,2}	656,250 mm
b_{eff}	1312,5 mm

Ocelový profil - rozměry:

H _a	270 mm
b _{f1}	100 mm
b _{f2}	280 mm
t _{f1}	10 mm
t _{f2}	22 mm
t _w	8 mm
A _a	9064 mm ²
I _{ya}	8,06E+07 mm ⁴
Z _{Cg,a}	66,33 mm
I _{za}	4,11E+07 mm ⁴
I _{zc} (cca)	3,98E+09 mm ⁴
	- tuhost desky (b _{eff})
∅	12 mm
H	270 mm
G_a	71,15 kgm⁻¹

tlaková síla na pr. F_c		1790 kN	
$F_t - F_c =$		0,00 kN	kontrola
osa prochází stojinou ocelového profilu: $d_{w,t}$		181,9 mm	
$d_{w,c}$		56,1 mm	
plocha tlačného betonu: $A_{c,c}$		85251,0 mm ²	
$z_{y,pl}$		203,9 mm	
+		$M_{y,pl,Rd} =$	375,6 kNm
TUHOST SPŘAŽENÉHO PROFILU (moment setrvačnosti k ose y)			
modul pružnosti oceli: E_{a+s}		2,10E+05 MPa	
seč. mod. pružnosti betonu: E_{cm}		32837 MPa	
pracovní součinitel pro krat. i dlouhodobé zat. $n =$		$(E_{cm}/2) / E_{a+s} =$	0,0782
poloha elastické osy kompozitního průřezu: $Z_{y,el}$		120,9 mm	(od h.hr. Oceli)
$z_{y,el} = (H_a - Z_{y,el})$		149,1 mm	(od d.hr. Oceli)
osa prochází stojinou ocelového profilu: $d_{w,c}$		110,9 mm	
$d_{w,t}$		127,1 mm	
$F_{t,el.}$		1443 kN	
$F_{c,el.}$		1443 kN	
$F_{t,el} - F_{c,el} =$		0,00 kN	kontrola
plocha tlačného betonu: $A_{c,c}$		156810,5 mm ²	
+		$I_{y,el,2} =$	2,026E+08 mm⁴
		$(EI_y)_{el,2} =$	4,25E+13 Nmm ²
SP-koncová část SP27.1 - K	část spojená se sloupem - konzola skrytá příčel spřažená s ŽB deskou (monolit)	$l =$	7500 mm
		$b_{eff,1}$	468,750 mm
		$b_{eff,2}$	468,750 mm
		b_{eff}	937,5 mm
		Ocelový profil - rozměry:	
		H_a	270 mm
		b_{f1}	280 mm
		b_{f2}	280 mm
		t_{f1}	12 mm
		t_{f2}	20 mm
		t_w	10 mm
		A_a	11340 mm ²
		I_{ya}	1,51E+08 mm ⁴
		těžiště oceli (od hor. H. oceli): $Z_{Cg,a}$	112,33 mm
		I_{za}	5,86E+07 mm ⁴
betonová deska	h_s	270 mm	
(s filigrány)	h_{su}	248 mm	
- spřažení :	Protažena horní výztuž desky (B500)		\emptyset 12 mm
		celková výška spřaž. Profilu:	H 270 mm
		hmotnost oceli - 1bm profilu:	G_a 89,0 kgm⁻¹
MATERIÁLOVÉ CHARAKTERISTIKY :			
		-	
deska: f_{ck}		30 MPa	$\gamma_c = 1,5$
f_{cd}		17,0 MPa	
$\eta_{pl,c}$		0,072	
- ocel: f_{ak}		235 MPa	$\gamma_a = 1,00$
f_{ad}		235 MPa	
PLASTICKÁ ÚNOSNOST SPŘAŽENÉHO PROFILU (záporný moment)			
poloha plastické osy $Z_{y,pl}$		58,5 mm	
tahová síla na pr. F_t		1766 kN	
tlaková síla na pr. F_c		1766 kN	

	$F_t - F_c =$	0,00 kN	kontrola
osa prochází stojinou ocelového profilu:	$d_{w,t}$	191,5 mm	
	$d_{w,c}$	46,5 mm	
plocha tlačného betonu:	$A_{c,c}$	51011,1 mm ²	
	$z_{y,pl}$	211,5 mm	

$$- \quad M_{y,pl,Rd} = 377,6 \quad \text{kNm}$$

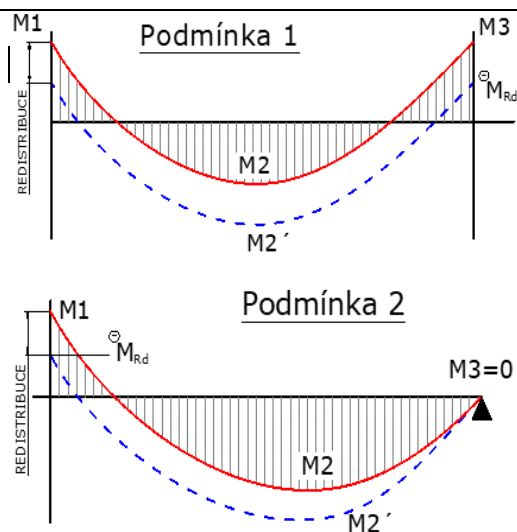
TUHOST SPŘAŽENÉHO PROFILU (moment setrvačnosti k ose y)

	E_{a+s}	2,10E+05 MPa	
	E_{cm}	3,28E+04 MPa	
pracovní součinitel pro krat. i dlouhodobé zat.	$n =$	$(E_{cm}/2) / E_{a+s} =$	0,0782
poloha elastické osy kompozitního průřezu:	$z_{y,el}$	115,0 mm	(od h.hr. Oceli)
	$z_{2y,el} = (H_a - z_{y,el})$	155,0 mm	(od d.hr. Oceli)
osa prochází stojinou ocelového profilu:	$d_{w,c}$	103,0 mm	
	$d_{w,t}$	135,0 mm	
	$F_{t,el.}$	1369 kN	
	$F_{c,el.}$	1369 kN	
	$F_{t,el} - F_{c,el} =$	0,00 kN	kontrola
plocha tlačného betonu:	$A_{c,c}$	103383,6 mm ²	

$$- \quad I_{y,el,2} = 2,073E+08 \quad \text{mm}^4$$

$$(EI_y)_{el,2} = 4,35E+13 \quad \text{Nmm}^2$$

POSOUZENÍ MEZNÍHO STAVU ÚNOSNOSTI



Globální extrémy ohybového momentu (kombinace na únosnost)

$M_1 =$	330,0 kNm	G.E.
$M_2 =$	270,0 kNm	
$M_3 =$	310,0 kNm	Podmínka 1
$M_{y,Ed} =$	$(M_1 + M_3)/2 + M_2 =$	590,0 kNm
$M_1 =$	kNm	
$M_2 =$	kNm	
$M_3 =$	kNm	Podmínka 1
$M_{y,Ed} =$	$(M_1 + M_3)/2 + M_2 =$	0,0 kNm
$M_1 =$	354,0 kNm	G.E.
$M_2 =$	325,0 kNm	
$M_3 =$	0,0 kNm	Podmínka 2
M_y po redistribuci:	$M_{2'} =$	336,0 kNm

Redistribuce momentů na příčly : $\leq 20 \%$ $(M_1 - M_{y,pl,Rd})/M_1 = 0,0 \%$

Pružně-plastická analýza

$$\rightarrow M'_{y,pl,Rd} = M_{y,pl,Rd} + |M_{y,Rd,red}^-|$$

Podmínka 1:	součtový moment od zat.		součtový moment únosnosti
	$M_{y,Ed}$ [kNm]	\leq	$M'_{y,pl,Rd}$ [kNm]
VYHOVÍ	590,0	\leq	739,5
$\rightarrow M'_{y,Ed} = M_{2'} = M_{y,2} + (M_{y,1} + M_{y,3} - M_{y,Rd,red}^-)/2$			
Podmínka 2:	součtový moment od zat.		red. kladný moment únosnosti
	$M_{y,Ed} = M_{2'}$ [kNm]	\leq	$M^+_{y,Rd,Red}$ [kNm]
VYHOVÍ	336,0	\leq	375,6

Únosnost průřezu ve smyku a smykovém boulení

$$\begin{aligned} d &= 238 \text{ mm} \\ \text{podmínka smykového boulení: } d / t_w &> 124 \cdot \varepsilon \\ 29,8 &> 100,4 \\ \Rightarrow &\text{stěna účinkem smyku neboulí} \end{aligned}$$

koncová část SP

$$A_v = 2380 \text{ mm}^2 \quad \dots \text{plocha účinná na smyk (stojna)}$$

$$V_{pl,Rd} = \frac{A_v \cdot f_{yd}}{\sqrt{3}} =$$

$$322,9 \text{ kN} \geq V_{Ed} = 250 \text{ kN}$$

Nosník vyhoví na smyk

$$50\% V_{pl,Rd} = 161,46 \geq V_{ed,M} = 250 \text{ [kN]}$$

REDUKCE MOMENTU ÚNOSNOSTI VLIVEM SMYKU

$$\begin{aligned} M_{y,Rd,red} &= M_{f,Rd} + (M_{Rd} - M_{f,Rd}) \cdot (1 - (2V_{Ed}/V_{pl,Rd} - 1)^2) = 363,9 \text{ kNm} \\ \text{Momentová únosnost při odečtení stěny nosníku: } M_{f,Rd} &= 332,0 \text{ kNm} \end{aligned}$$

středová část SP

$$A_v = 1904 \text{ mm}^2 \quad \dots \text{plocha účinná na smyk (stojna)}$$

$$V_{pl,Rd} = \frac{A_v \cdot f_{yd}}{\sqrt{3}} =$$

$$258,3 \text{ kN} \geq V_{Ed} = 220 \text{ kN}$$

Nosník vyhoví na smyk

Smykové spojení nosníku s deskou - Návrh spřažení

- pro úplné smykové spojení

$$\begin{aligned} \text{Celkový podélný smyk: } V_I &= F_{cf} + A_s \cdot f_{sk} / \gamma_s = 1449 \text{ kN} & A_s &= 0,00 \text{ mm}^2 \\ F_{cf,1} &= A_a \cdot f_y / \gamma_a = 1790 \text{ kN} & f_{sk} &= 490 \text{ MPa} \\ F_{cf,2} &= 0,85 A_c \cdot f_{ck} / \gamma_c = 1449 \text{ kN} & \gamma_s &= 1,15 \end{aligned}$$

$$F_{cf} = \min(F_{cf,1}; F_{cf,2})$$

Návrh spřahovacích prostředků	betonářská výztuž					
	- protažena horní výztuž desek skrz stojinu ocel. profilu					
	$d =$	12	mm	$f_u =$	490	MPa
	$d_{b,a} =$	12,00	mm	$f_{u,a} =$	510	MPa
	$l_1 =$	3000	mm	$\gamma_v =$	1,25	
	$l_1/d =$	250,0	\rightarrow	$\alpha =$	1,00	

horní výztuž bude v otoku přivařena v úhlu 120°: $a = 0 \text{ mm}$ (char. svaru)

\rightarrow zohledněno ve výpočtu otláčení - zvětšením \varnothing prutu spřah. výztuže: $d_{b,a} = d + a\sqrt{2}$

Výpočtová smyková únosnost 1 spřahovacího prostředku:

$$P_{Rd} = \min[P_{Rd,1}; P_{Rd,3}] = 70,93 \text{ kN}$$

$$P_{Rd,1} = 2 \cdot 0,8 f_u (\pi d^2 / 4) / \gamma_v = 70,93 \text{ kN}$$

$$P_{Rd,2} = 0,29 \alpha d^2 (f_{ck} E_{cm})^{0,5} / \gamma_v = 33,16 \text{ kN}$$

- nerozhoduje porušení betonu - výztuž je dostatečně zakotvena!

$$P_{Rd,3} = 2,5 \cdot \alpha_0 \cdot f_{u,a} \cdot (d \cdot t_w) / \gamma_v = 97,92 \text{ kN} \quad (\text{otláčení stojiny})$$

$$\alpha_0 = 1,00$$

NUTNÝ POČET S.P. (trnů, prutů):

pro přenos podélného smyku

42 ks

- rovnoměrně rozdělit po délce nosníku

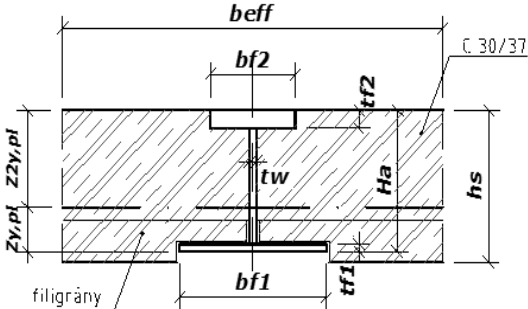
délka nosníku [m]:
(efektivní)

7,30

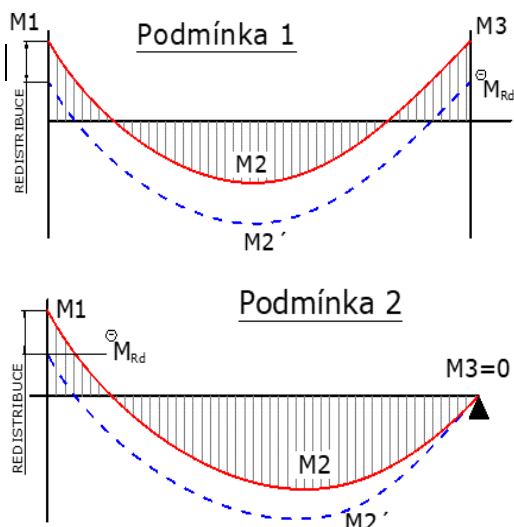
\rightarrow (min.)

pruty $\varnothing 12 \text{ R po}$

170 mm

SP-koncová část SP27.2 - K		část spojená se sloupem - konzola skrytá přičel spřažená s ŽB deskou (monolit)	I = 6400 mm	
		$b_{eff,1}$	400,000	mm
		$b_{eff,2}$	400,000	mm
		b_{eff}	800,0	mm
Ocelový profil - rozměry:				
		H_a	270	mm
		b_{f1}	280	mm
		b_{f2}	280	mm
		t_{f1}	10	mm
		t_{f2}	18	mm
		t_w	8	mm
		A_a	9776	mm ²
		I_{ya}	1,32E+08	mm ⁴
		těžiště oceli (od hor. H. oceli):	$Z_{Cg,a}$	108,07 mm
			I_{za}	5,12E+07 mm ⁴
betonová deska		h_s	270	mm
(s filigrány)		h_{su}	252	mm
- spřažení :		Protáhena horní výztuž desky (B500)		\emptyset 12 mm
		celková výška spřaž. profilu:	H	270 mm
		hmotnost oceli - 1bm profilu:	G_a	76,7 kgm ⁻¹
MATERIÁLOVÉ CHARAKTERISTIKY :				
		-		
		deska: f_{ck}	30 MPa	$\gamma_c = 1,5$
		f_{cd}	17,0 MPa	
		$\eta_{pl,c}$	0,072	
		- ocel: f_{ak}	235 MPa	$\gamma_a = 1,00$
		f_{ad}	235 MPa	
PLASTICKÁ ÚNOSNOST SPŘAŽENÉHO PROFILU (záporný moment)				
poloha plastické osy		$Z_{y,pl}$	61,8	mm
tahová síla na pr.		F_t	1542	kN
tlaková síla na pr.		F_c	1542	kN
		$F_t - F_c =$	0,00	kN kontrola
osa prochází stojinou ocelového profilu:		$d_{w,t}$	190,2	mm
		$d_{w,c}$	51,8	mm
plocha tláčeného betonu:		$A_{c,c}$	46260,4	mm ²
		$z_{2y,pl}$	208,2	mm
		M_{y,pl,Rd} =	334,1	kNm
TUHOST SPŘAŽENÉHO PROFILU (moment setrvačnosti k ose y)				
		E_{a+s}	2,10E+05	MPa
		E_{cm}	3,28E+04	MPa
pracovní součinitel pro krat. i dlouhodobé zat.		$n =$	(E _{cm} /2) / E _{a+s} =	0,0782
poloha elastické osy kompozitního průřezu :		$Z_{y,el}$	117,7	mm (od h.hr. Oceli)
		$z_{2y,el} = (H_a - Z_{y,el})$	152,3	mm (od d.hr. Oceli)
osa prochází stojinou ocelového profilu:		$d_{w,c}$	107,7	mm
		$d_{w,t}$	134,3	mm
		$F_{t,el}$	1226	kN
		$F_{c,el}$	1226	kN
		$F_{t,el} - F_{c,el} =$	0,00	kN kontrola
plocha tláčeného betonu:		$A_{c,c}$	90460,9	mm ²
		I_{y,el,2} =	1,837E+08	mm ⁴
		(EI _y) _{el.2} =	3,86E+13	Nmm ²

POSOUZENÍ MEZNÍHO STAVU ÚNOSNOSTI



Globální extrémy ohybového momentu (kombinace na únosnost)

M ₁ =	286,0 kNm	G.E.
M ₂ =	225,0 kNm	
M ₃ =	235,0 kNm	Podmínka 1
M_{y,Ed} =	(M₁+M₃)/2+M₂=	485,5 kNm
M ₁ =	kNm	
M ₂ =	kNm	
M ₃ =	kNm	Podmínka 1
M_{y,Ed} =	(M₁+M₃)/2+M₂=	0,0 kNm
M ₁ =	330,0 kNm	G.E.
M ₂ =	260,0 kNm	
M ₃ =	0,0 kNm	Podmínka 2
M_y po redistribuci: M₂' =	276,2 kNm	

Redistribuce momentů na příčly : $\leq 20 \%$ $(M_1 - M_{y,pl,Rd})/M_1 = 0,0 \%$

Pružně-plastická analýza

$$\rightarrow M'_{y,pl,Rd} = M_{y,pl,Rd} + |M_{y,Rd,red}|$$

Podmínka 1:	součtový moment od zat.		součtový moment únosnosti
	M_{y,Ed} [kNm]	≤	M'_{y,pl,Rd} [kNm]
VYHOVÍ	485,5	≤	645,9

$$\rightarrow M'_{y,Ed} = M_{2'} = M_{y,2} + (M_{y,1} + M_{y,3} - M_{y,Rd,red})/2$$

Podmínka 2:	součtový moment od zat.		red. kladný moment únosnosti
	M_{y,Ed} = M₂' [kNm]	≤	M'_{y,Rd,Red} [kNm]
VYHOVÍ	276,2	≤	319,1

Únosnost průřezu ve smyku a smykovém boulení

Koncová část příčle:

K

$$\begin{aligned} d &= 242 \text{ mm} \\ \text{podmínka smykového boulení: } d/t_w &> 124 \cdot \epsilon \\ 34,6 &> 100,4 \\ \Rightarrow \text{stěna účinkem smyku neboulí} \end{aligned}$$

$$A_v = 1936 \text{ mm}^2 \quad \dots \text{plocha účinná na smyk (stojna)}$$

$$V_{pl,Rd} = \frac{A_v \cdot f_{yd}}{\sqrt{3}} =$$

$$262,7 \text{ kN}$$

$$\geq$$

$$V_{Ed} = 190 \text{ kN}$$

Nosník vyhoví na smyk

$$50\% V_{pl,Rd} =$$

$$\Rightarrow$$

$$131,34$$

$$\geq$$

$$V_{ed,M} =$$

$$190 \text{ [kN]}$$

REDUKCE MOMENTU ÚNOSNOSTI VLIVEM SMYKU

$$\begin{aligned} M_{y,Rd,red} &= M_{f,Rd} + (M_{Rd} - M_{f,Rd}) \cdot (1 - (2V_{Ed}/V_{pl,Rd} - 1)^2) = 326,8 \text{ kNm} \\ \text{Momentová únosnost při odečtení stěny nosníku: } M_{f,Rd} &= 297,6 \text{ kNm} \end{aligned}$$

středová část SP

$$A_v = 1715 \text{ mm}^2 \quad \dots \text{plocha účinná na smyk (stojna)}$$

$$V_{pl,Rd} = \frac{A_v \cdot f_{yd}}{\sqrt{3}} =$$

232,7 kN

≥

$V_{Ed} = 190$ kN

Nosník vyhoví na smyk

Smykové spojení nosníku s deskou - Návrh spřažení

- pro úplné smykové spojení

Celkový podélný smyk :	$V_l = F_{cf} + A_s \cdot f_{sk} / \gamma_s =$	1293 kN	$A_s =$	0,00 mm ²
	$F_{cf,1} = A_a \cdot f_y / \gamma_a =$	1506 kN	$f_{sk} =$	490 MPa
$F_{cf} = \min(F_{cf,1}; F_{cf,2})$:	$F_{cf,2} = 0,85 A_c \cdot f_{ck} / \gamma_c =$	1293 kN	$\gamma_s =$	1,15

Návrh spřahovacích prostředků	betonářská výztuž				
	- protažena horní výztuž desek skrz stojinu ocel. profilu				
	$d =$	12 mm	$f_u =$	490	MPa
	$d_{b,a} =$	12,00 mm	$f_{u,a} =$	510	MPa
	$l_1 =$	3000 mm	$\gamma_v =$	1,25	

horní výztuž bude v otvoru přivařena v úhlu 120°: $a = 0$ mm (char. svaru)

→ zohledněno ve výpočtu otláčení - zvětšením \emptyset prutu spřah. výztuže: $d_{b,a} = d + a\sqrt{2}$

Výpočtová smyková únosnost 1
spřahovacího prostředku:

$$P_{Rd} = \min[P_{Rd,1}; P_{Rd,3}] = \mathbf{70,93 \text{ kN}}$$

$$P_{Rd,1} = 2 \cdot 0,8 f_u (\pi d^2 / 4) / \gamma_v = 70,93 \text{ kN}$$

$$P_{Rd,2} = 0,29 \alpha d^2 (f_{ck} E_{cm})^{0,5} / \gamma_v = 33,16 \text{ kN}$$

- nerozhoduje porušení betonu - výztuž je dostatečně zakotvena!

$$P_{Rd,3} = 2,5 \cdot \alpha_0 \cdot f_{u,a} \cdot (d \cdot t_w) / \gamma_v = 85,68 \text{ kN} \quad (\text{otláčení stojiny})$$

$$\alpha_0 = 1,00$$

NUTNÝ POČET S.P. (trnů, prutů):

pro přenos podélného smyku

38 ks

- rovnoměrně rozdělit po délce nosníku

délka nosníku [m]:
(efektivní)

7,30

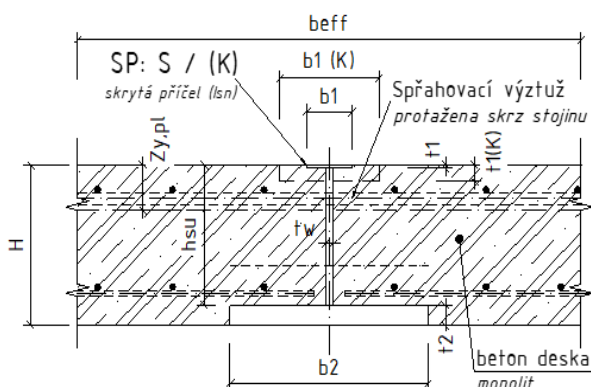
→ (min.)

pruty \emptyset 12 R po

190 mm

2.4.5 SP27.30

SP-Střední část SP27.3 - S	Isn 270/80÷280 (D270) skrytá příčel spřažená s ŽB deskou (monolit)	$L =$ 5900 mm c.b. - 1x neg. M
--------------------------------------	--	--



$b_{eff,1} = 626,875$ mm

$b_{eff,2} = 626,875$ mm

$b_{eff} = 1253,8$ mm

Ocelový profil - rozměry:

$H_a = 270$ mm

$b_{f1} = 80$ mm

$b_{f2} = 280$ mm

$t_{f1} = 6$ mm

$t_{f2} = 12$ mm

$t_w = 7$ mm

$A_a = 5604$ mm²

$I_{ya} = 5,48E+07$ mm⁴

$Z_{Cg,a} = 69,91$ mm

$I_{za} = 2,22E+07$ mm⁴

$I_{zc} (cca) = 3,47E+09$ mm⁴

- tuhost desky (b_{eff})

$\emptyset = 12$ mm

$H = 270$ mm

$G_a = 43,99$ kgm⁻¹

běžný beton SD (2500 kg/m3) - pev. tř.: C30/37

betonová deska h_s **270 mm**

(monolit) h_{su} **258 mm**

- spřažení : Protažena horní výztuž desky (B500)

celková výška spřah. profilu:

hmotnost oceli - 1bm profilu:

MATERIÁLOVÉ

CHARAKTERISTIKY :

deska: f_{ck}

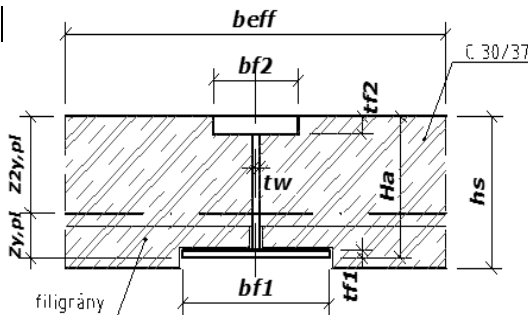
30 MPa

$\gamma_c = 1,5$

f_{cd}

17,0 MPa

		$n_{pl,c}$	0,072	
- ocel:	f_{ak}	235	MPa	$\gamma_a = 1,00$
	f_{ad}	235	MPa	
PLASTICKÁ ÚNOSNOST SPŘAŽENÉHO PROFILU (Kladný moment)				
poloha plastické osy $Z_{y,pl}$		45,7	mm	
tahová síla na pr. F_t		1139	kN	
tlaková síla na pr. F_c		1139	kN	
$F_t - F_c =$		0,00	kN	kontrola
osa prochází stojinou ocelového profilu: $d_{w,t}$		212,3	mm	
$d_{w,c}$		39,7	mm	
plocha tlačného betonu: $A_{c,c}$		56516,7	mm ²	
$z_{y,pl}$		224,3	mm	
+		$M_{y,pl,Rd} =$	237,5	kNm
TUHOST SPŘAŽENÉHO PROFILU (moment setrvačnosti k ose y)				
modul pružnosti oceli: E_{a+s}		2,10E+05	MPa	
seč. mod. pružnosti betonu: E_{cm}		32837	MPa	
pracovní součinitel pro krat. i dlouhodobé zat. $n =$		$(E_{cm}/2) / E_{a+s} =$		0,0782
poloha elastické osy kompozitního průřezu : $Z_{y,el}$		104,5	mm	(od h.hr. Oceli)
$z_{y,el} = (H_a - Z_{y,el})$		165,5	mm	(od d.hr. Oceli)
osa prochází stojinou ocelového profilu: $d_{w,c}$		98,5	mm	
$d_{w,t}$		153,5	mm	
$F_{t,el.}$		878	kN	
$F_{c,el.}$		878	kN	
$F_{t,el} - F_{c,el} =$		0,00	kN	kontrola
plocha tlačného betonu: $A_{c,c}$		129886,9	mm ²	
+		$I_{y,el,2} =$	1,431E+08	mm ⁴
		$(EI_y)_{el,2} =$	3,00E+13	Nmm ²
SP-koncová část SP27.3 - K		část spojená se sloupem - konzola skrytá příčel spřažená s ŽB deskou (monolit)		$l =$ 5900 mm



$b_{eff,1}$ 368,750 mm

$b_{eff,2}$ 368,750 mm

b_{eff} 737,5 mm

Ocelový profil - rozměry:

H_a 270 mm

b_{f1} 280 mm

b_{f2} 280 mm

t_{f1} 10 mm

t_{f2} 12 mm

t_w 8 mm

A_a 8144 mm²

I_{ya} 1,14E+08 mm⁴

$t_{\text{ž}} \text{ oceli (od hor. H. oceli): } Z_{Cg,a}$ 126,72 mm

I_{za} 4,03E+07 mm⁴

betonová deska

h_s 270 mm

(s filigrány)

h_{su} 258 mm

- spřažení :

Protažena horní výztuž desky (B500)

\varnothing 12 mm

celková výška spřaž. profilu:

H 270 mm

hmotnost oceli - 1bm profilu:

G_a 63,9 kgm⁻¹

MATERIÁLOVÉ

CHARAKTERISTIKY :

-

deska: f_{ck} 30 MPa

f_{cd} 17,0 MPa

$n_{pl,c}$ 0,072

$\gamma_c = 1,5$

- ocel: f_{ak} **235 MPa**
 f_{ad} **235 MPa**

$\gamma_a = 1,00$

PLASTICKÁ ÚNOSNOST SPŘAŽENÉHO PROFILU (záporný moment)

poloha plastické osy $Z_{y,pl}$ **42,2 mm**
tahová síla na pr. F_t **1195 kN**
tlaková síla na pr. F_c **1195 kN**
 $F_t - F_c =$ **0,00 kN** kontrola
osa prochází stojinou ocelového profilu: $d_{w,t}$ **215,8 mm**
 $d_{w,c}$ **32,2 mm**
plocha tlačného betonu: $A_{c,c}$ **28049,8 mm²**
 $z_{2y,pl}$ **227,8 mm**

- **$M_{y,pl,Rd} = 254,4$ kNm**

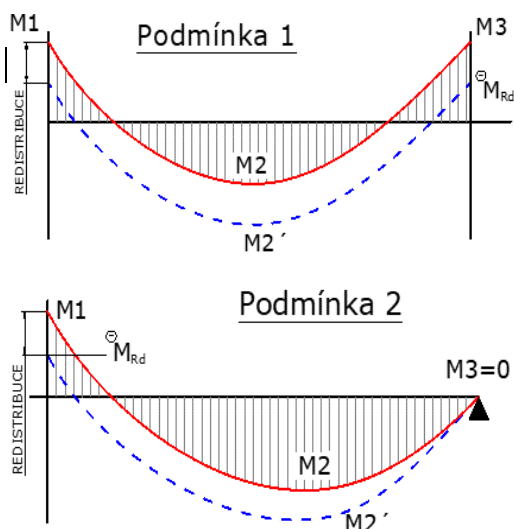
TUHOST SPŘAŽENÉHO PROFILU (moment setrvačnosti k ose y)

E_{a+s} **2,10E+05 MPa**
 E_{cm} **3,28E+04 MPa**
pracovní součinitel pro krat. i dlouhodobé zat. $n = (E_{cm}/2) / E_{a+s} = 0,0782$
poloha elastické osy kompozitního průřezu: $Z_{y,el}$ **104,6 mm** (od h.hr. Oceli)
 $z_{2y,el} = (H_a - Z_{y,el})$ **165,4 mm** (od d.hr. Oceli)
osa prochází stojinou ocelového profilu: $d_{w,c}$ **94,6 mm**
 $d_{w,t}$ **153,4 mm**
 $F_{t,el.}$ **895 kN**
 $F_{c,el.}$ **895 kN**
 $F_{t,el} - F_{c,el} =$ **0,00 kN** kontrola
plocha tlačného betonu: $A_{c,c}$ **73565,3 mm²**

- **$I_{y,el,2} = 1,476E+08$ mm⁴**

$(EI_y)_{el,2} = 3,10E+13$ Nmm²

POSOUZENÍ MEZNÍHO STAVU ÚNOSNOSTI



Globální extrémy ohybového momentu (kombinace na únosnost)

$M_1 =$	270,0 kNm	G.E.
$M_2 =$	160,0 kNm	
$M_3 =$	210,0 kNm	Podmínka 1
$M_{y,Ed} =$	$(M_1 + M_3)/2 + M_2 =$	400,0 kNm
$M_1 =$	kNm	
$M_2 =$	kNm	
$M_3 =$	kNm	Podmínka 1
$M_{y,Ed} =$	$(M_1 + M_3)/2 + M_2 =$	0,0 kNm
$M_1 =$	240,0 kNm	G.E.
$M_2 =$	192,0 kNm	
$M_3 =$	0,0 kNm	Podmínka 2
M_y po redistribuci: $M_2' =$	207,2 kNm	

Redistribuce momentů na příčly: $(M_1 - M_{y,pl,Rd})/M_1 = 5,8 \%$
 $\leq 20 \%$

Pružně-plastická analýza

$$\rightarrow M'_{y,pl,Rd} = M_{y,pl,Rd} + |M_{y,Rd,red}|$$

Podmínka 1:	součtový moment od zat. $M_{y,Ed}$ [kNm]	\leq	součtový moment únosnosti $M'_{y,pl,Rd}$ [kNm]
VYHOVÍ	400,0	\leq	459,0

$\rightarrow M'_{y,Ed} = M_2' = M_{y,2} + (M_{y,1} + M_{y,3} - M_{y,Rd,red})/2$			
<u>Podmínka 2:</u>	součtový moment od zat.		red. kladný moment únosnosti
	$M_{y,Ed} = M_2' \text{ [kNm]}$	\leq	$M_{y,Rd,Red}^+ \text{ [kNm]}$
VYHOVÍ	207,2	\leq	237,5

Únosnost průřezu ve smyku a smykovém boulení

Koncová část příčle:
K

$$\begin{aligned} d &= 248 \text{ mm} \\ \text{podmínka smykového boulení: } d / t_w &> 124 \cdot \varepsilon \\ 35,4 &> 100,4 \end{aligned}$$

\Rightarrow **stěna účinkem smyku neboulí**

$$A_v = 1984 \text{ mm}^2 \quad \dots \text{plocha účinná na smyk (stojna)}$$

$$V_{pl,Rd} = \frac{A_v \cdot f_{yd}}{\sqrt{3}} =$$

$$269,2 \text{ kN} \geq V_{Ed} = 223 \text{ kN}$$

Nosník vyhoví na smyk

$$50\% V_{pl,Rd} = 134,59 \geq V_{ed,M} = 250 \text{ [kN]}$$

\Rightarrow REDUKCE MOMENTU ÚNOSNOSTI VLIVEM SMYKU

$$\begin{aligned} M_{y,Rd,red} &= M_{f,Rd} + (M_{Rd} - M_{f,Rd}) \cdot (1 - (2V_{Ed}/V_{pl,Rd} - 1)^2) = 221,5 \text{ kNm} \\ \text{Momentová únosnost při odečtení stěny nosníku: } M_{f,Rd} &= 209,7 \text{ kNm} \end{aligned}$$

středová část SP

$$A_v = 1764 \text{ mm}^2 \quad \dots \text{plocha účinná na smyk (stojna)}$$

$$V_{pl,Rd} = \frac{A_v \cdot f_{yd}}{\sqrt{3}} =$$

$$239,3 \text{ kN} \geq V_{Ed} = 160 \text{ kN}$$

Nosník vyhoví na smyk

Smykové spojení nosníku s deskou - Návrh spřažení

- pro úplné smykové spojení

$$\begin{aligned} \text{Celkový podélný smyk: } V_l &= F_{cf} + A_s \cdot f_{sk} / \gamma_s = 960,8 \text{ kN} & A_s &= 0,00 \text{ mm}^2 \\ F_{cf,1} &= A_a \cdot f_y / \gamma_a = 1139 \text{ kN} & f_{sk} &= 490 \text{ MPa} \\ F_{cf,2} &= 0,85 A_c \cdot f_{ck} / \gamma_c = 961 \text{ kN} & \gamma_s &= 1,15 \end{aligned}$$

Návrh spřahovacích prostředků	betonářská výztuž					
	- protažena horní výztuž desek skrz stojinu ocel. profilu					
	$d =$	12	mm	$f_u =$	490	MPa
	$d_{b,a} =$	12,00	mm	$f_{u,a} =$	510	MPa
	$l_1 =$	3000	mm	$\gamma_v =$	1,25	

horní výztuž bude v otvoru přivařena v úhlu 120°: $a = 0 \text{ mm}$ (char. svaru)

\rightarrow zohledněno ve výpočtu otláčení - zvětšením \emptyset prutu spřah. výztuže: $d_{b,a} = d + a \cdot v_2$

Výpočtová smyková únosnost 1 spřahovacího prostředku:

$$P_{Rd} = \min[P_{Rd,1}; P_{Rd,3}] = 70,93 \text{ kN}$$

$$P_{Rd,1} = 2 \cdot 0,8 f_u (\pi d^2 / 4) / \gamma_v = 70,93 \text{ kN}$$

$$P_{Rd,2} = 0,29 \alpha d^2 (f_{ck} E_{cm})^{0,5} / \gamma_v = 33,16 \text{ kN}$$

- nerozhoduje porušení betonu - výztuž je dostatečně zakotvena!

$$P_{Rd,3} = 2,5 \cdot \alpha_0 \cdot f_{u,a} \cdot (d \cdot t_w) / \gamma_v = 85,68 \text{ kN} \quad (\text{otlačení stojiny})$$

$$\alpha_0 = 1,00$$

NUTNÝ POČET S.P. (trnů, prutů):

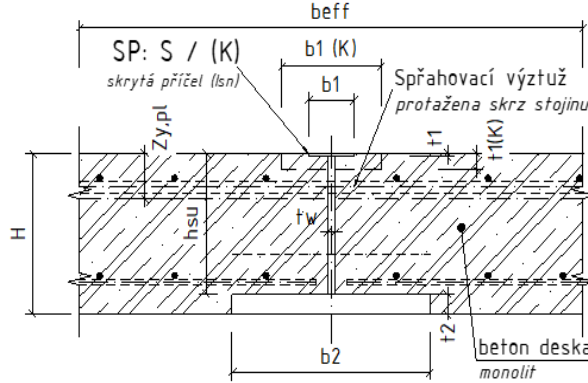
28 ks

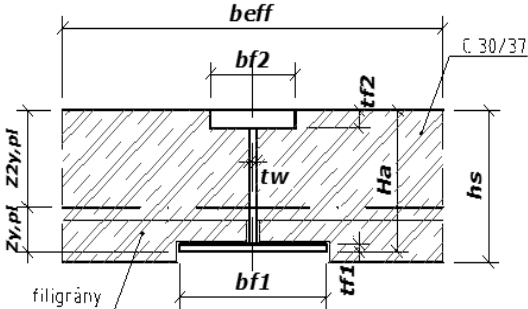
pro přenos podélného smyku

- rovnoměrně rozdělit po délce nosníku

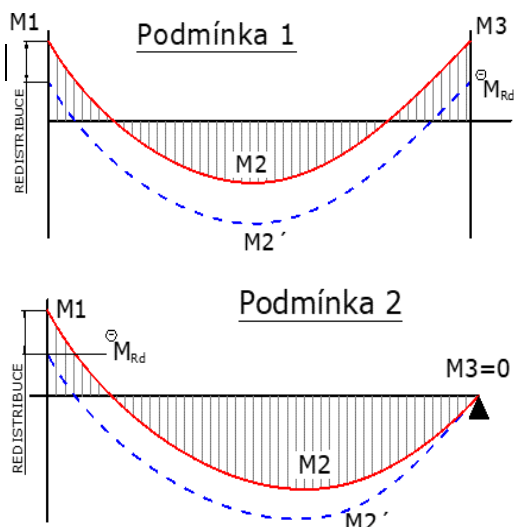
délka nosníku [m]: 5,60 \rightarrow (min.) pruty \emptyset 12 R po 200 mm (efektivní)

2.4.6 SP27.35

SP-Střední část SP27.3 - S		Isn 270/80÷280 (D270) skrytá příčel spřažená s ŽB deskou (monolit)		L = 7000 mm c.b. - 2x neg. M	
				$b_{eff,1}$ 612,500 mm $b_{eff,2}$ 220,000 mm b_{eff} 832,5 mm	
				Ocelový profil - rozměry:	
				H_a 270 mm b_{f1} 80 mm b_{f2} 280 mm t_{f1} 6 mm t_{f2} 12 mm t_w 7 mm A_a 5604 mm ² I_{ya} 5,48E+07 mm ⁴ $Z_{Cg,a}$ 69,91 mm I_{za} 2,22E+07 mm ⁴ $I_{zc (cca)}$ 1,01E+09 mm ⁴ - tuhost desky (b_{eff}) \emptyset 12 mm	
běžný beton SD (2500 kg/m3) - pev. tř.: C30/37				H 270 mm	
betonová deska (monolit) - spřažení : celková výška spřaž. Profilu: hmotnost oceli - 1bm profilu:				G_a 43,99 kgm⁻¹	
MATERIÁLOVÉ CHARAKTERISTIKY :					
deska: f_{ck} 30 MPa f_{cd} 17,0 MPa $n_{pl,c}$ 0,072 - ocel: f_{ak} 235 MPa f_{ad} 235 MPa				$\gamma_c = 1,5$ $\gamma_a = 1,00$	
PLASTICKÁ ÚNOSNOST SPŘAŽENÉHO PROFILU (Kladný moment)					
poloha plastické osy $Z_{y,pl}$				64,6 mm	
tahová síla na pr. F_t				1108 kN	
tlaková síla na pr. F_c				1108 kN	
$F_t - F_c =$				0,00 kN kontrola	
osa prochází stojinou ocelového profilu: $d_{w,t}$				193,4 mm	
$d_{w,c}$				58,6 mm	
plocha tlačného betonu: $A_{c,c}$				52862,0 mm ²	
$z_{y,pl}$				205,4 mm	
+				$M_{y,pl,Rd} = 227,0$ kNm	
TUHOST SPŘAŽENÉHO PROFILU (moment setrvačnosti k ose y)					
modul pružnosti oceli: E_{a+s}				2,10E+05 MPa	
seč. mod. pružnosti betonu: E_{cm}				32837 MPa	
pracovní součinitel pro krat. i dlouhodobé zat. $n =$				(Ecm/2) / Ea+s = 0,0782	
poloha elastické osy kompozitního průřezu : $Z_{y,el}$				118,5 mm (od h.hr. Oceli)	
$z_{y,el} = (H_a - Z_{y,el})$				151,5 mm (od d.hr. Oceli)	
osa prochází stojinou ocelového profilu: $d_{w,c}$				112,5 mm	
$d_{w,t}$				139,5 mm	
$F_{t,el}$				864 kN	
$F_{c,el}$				864 kN	
$F_{t,el} - F_{c,el} =$				0,00 kN kontrola	
plocha tlačného betonu: $A_{c,c}$				97400,6 mm ²	
+				$I_{y,el,2} = 1,279E+08$ mm⁴	
$(EI_y)_{el,2} =$				2,69E+13 Nmm ²	

SP-koncová část SP27.3 - K		část spojená se sloupem - konzola skrytá přičel spřažená s ŽB deskou (monolit)	I = 7000 mm	
		$b_{eff,1}$	437,500	mm
		$b_{eff,2}$	220,000	mm
		b_{eff}	657,5	mm
		Ocelový profil - rozměry:		
		H_a	270	mm
		b_{f1}	280	mm
		b_{f2}	280	mm
		t_{f1}	10	mm
		t_{f2}	12	mm
		t_w	7	mm
		A_a	7896	mm ²
		I_{ya}	1,13E+08	mm ⁴
		těžiště oceli (od hor. H. oceli): $Z_{Cg,a}$	126,43	mm
		I_{za}	4,03E+07	mm ⁴
betonová deska		h_s	270	mm
(s filigrány)		h_{su}	258	mm
- spřažení :		Protažena horní výztuž desky (B500)		\emptyset 12 mm
		celková výška spřaž. profilu:	H	270 mm
		hmotnost oceli - 1bm profilu:	G_a	62,0 kgm ⁻¹
MATERIÁLOVÉ				
CHARAKTERISTIKY :				
		deska: f_{ck}	30	MPa
		f_{cd}	17,0	MPa
		$\eta_{pl,c}$	0,072	
		- ocel: f_{ak}	235	MPa
		f_{ad}	235	MPa
			$\gamma_c = 1,5$	
			$\gamma_a = 1,00$	
PLASTICKÁ ÚNOSNOST SPŘAŽENÉHO PROFILU (záporný moment)				
poloha plastické osy $Z_{y,pl}$		43,1	mm	
tahová síla na pr. F_t		1143	kN	
tlaková síla na pr. F_c		1143	kN	
		$F_t - F_c =$	0,00	kN kontrola
osa prochází stojinou ocelového profilu: $d_{w,t}$		214,9	mm	
		$d_{w,c}$	33,1	mm
plocha tlaceného betonu: $A_{c,c}$		25326,9	mm ²	
		$z_{2y,pl}$	226,9	mm
		M_{y,pl,Rd} =	247,7	kNm
TUHOST SPŘAŽENÉHO PROFILU (moment setrvačnosti k ose y)				
		E_{a+s}	2,10E+05	MPa
		E_{cm}	3,28E+04	MPa
pracovní součinitel pro krat. i dlouhodobé zat. $n =$		(E _{cm} /2) / E _{a+s} =	0,0782	
poloha elastické osy kompozitního průřezu : $Z_{y,el}$		106,6	mm	(od h.hr. Oceli)
$z_{2y,el} = (H_a - Z_{y,el})$		163,4	mm	(od d.hr. Oceli)
osa prochází stojinou ocelového profilu: $d_{w,c}$		96,6	mm	
		$d_{w,t}$	151,4	mm
		$F_{t,el.}$	876	kN
		$F_{c,el.}$	876	kN
		$F_{t,el} - F_{c,el} =$	0,00	kN kontrola
plocha tlaceného betonu: $A_{c,c}$		66607,4	mm ²	
		I_{y,el,2} =	1,436E+08	mm⁴
		(EI _y) _{el.2} =	3,01E+13	Nmm ²

POSOUZENÍ MEZNÍHO STAVU ÚNOSNOSTI



Globální extrémy ohybového momentu (kombinace na únosnost)

$M_1 =$	170,0 kNm	G.E.
$M_2 =$	130,0 kNm	
$M_3 =$	170,0 kNm	Podmínka 1
$M_{y,Ed} =$	$(M_1 + M_3)/2 + M_2 =$	300,0 kNm
$M_1 =$	kNm	
$M_2 =$	kNm	
$M_3 =$	kNm	Podmínka 1
$M_{y,Ed} =$	$(M_1 + M_3)/2 + M_2 =$	0,0 kNm
$M_1 =$	160,0 kNm	G.E.
$M_2 =$	160,0 kNm	
$M_3 =$	0,0 kNm	Podmínka 2
M_y po redistribuci:	$M_2' =$	160,0 kNm

Redistribuce momentů na příčly : $\leq 20 \%$ $(M_1 - M_{y,pl,Rd})/M_1 = 0,0 \%$

Pružně-plastická analýza

$$\rightarrow M'_{y,pl,Rd} = M_{y,pl,Rd} + |M_{y,Rd,red}|$$

<u>Podmínka 1:</u>	součtový moment od zat.		součtový moment únosnosti
	$M_{y,Ed}$ [kNm]	\leq	$M'_{y,pl,Rd}$ [kNm]
VYHOVÍ	300,0	\leq	471,8

$$\rightarrow M'_{y,Ed} = M_2' = M_{y,2} + (M_{y,1} + M_{y,3} - M_{y,Rd,red})/2$$

<u>Podmínka 2:</u>	součtový moment od zat.		red. kladný moment únosnosti
	$M_{y,Ed} = M_2'$ [kNm]	\leq	$M^+_{y,Rd,red}$ [kNm]
VYHOVÍ	160,0	\leq	227,0

Únosnost průřezu ve smyku a smykovém boulení

podmínka smykového boulení: $d = 248 \text{ mm}$
 $d / t_w > 124 \cdot \epsilon$
 $35,4 > 100,4$

\Rightarrow **stěna účinkem smyku neboulí**

$A_v = 1736 \text{ mm}^2$...plocha účinná na smyk (stojna)

$$V_{pl,Rd} = \frac{A_v \cdot f_{yd}}{\sqrt{3}} =$$

235,5 kN

\geq

$V_{Ed} = 150 \text{ kN}$

50% $V_{pl,Rd} =$

117,77

\geq

$V_{Ed,M} =$

150 [kN]

\Rightarrow

REDUKCE MOMENTU ÚNOSNOSTI VLIVEM SMYKU

$$M_{y,Rd,red} = M_{f,Rd} + (M_{Rd} - M_{f,Rd}) \cdot (1 - (2V_{Ed}/V_{pl,Rd} - 1)^2) =$$

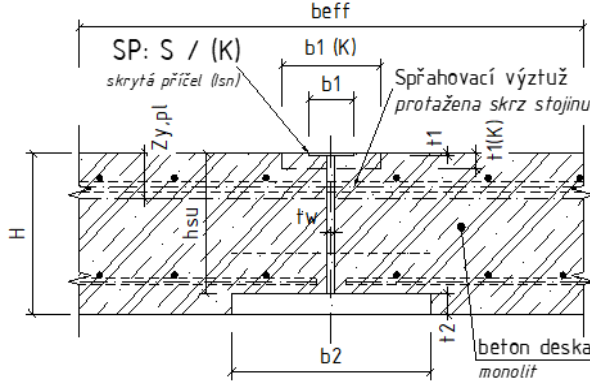
244,7 kNm

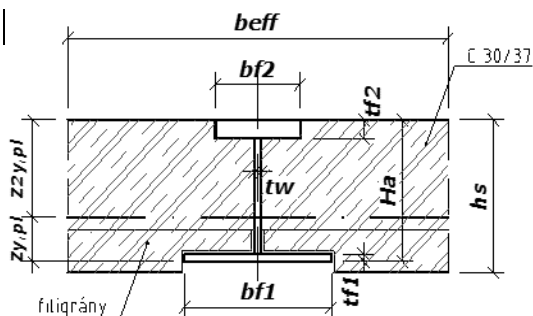
Momentová únosnost při odečtení stěny nosníku :

$M_{f,Rd} =$ **208,8 kNm**

Smykové spojení nosníku s deskou - Návrh spřažení			
- pro úplné smykové spojení			
Celkový podélný smyk :	$V_l = F_{cf} + A_s * f_{sk} / \gamma_s =$	898,7 kN	$A_s = 0,00 \text{ mm}^2$
	$F_{cf,1} = A_a * f_y / \gamma_a =$	1108 kN	$f_{sk} = 490 \text{ MPa}$
$F_{cf} = \min(F_{cf,1}; F_{cf,2})$:	$F_{cf,2} = 0,85 A_c * f_{ck} / \gamma_c =$	899 kN	$\gamma_s = 1,15$
betonářská výztuž			
- protažena horní výztuž desek skrz stojinu ocel. profilu			
Návrh spřahovacích prostředků	$d =$	12 mm	$f_u = 490 \text{ MPa}$
	$d_{b,a} =$	12,00 mm	$f_{u,a} = 510 \text{ MPa}$
	$l_1 =$	3000 mm	$\gamma_v = 1,25$
	$l_1/d =$	250,0	$\alpha = 1,00$
horní výztuž bude v otoru přivařena v úhlu 120°: $a = 0 \text{ mm}$ (char. svaru)			
→ zohledněno ve výpočtu otlacení - zvětšením \varnothing prutu spřah. výztuže: $d_{b,a} = d + a v_2$			
Výpočtová smyková únosnost 1 spřahovacího prostředku:	$P_{Rd} = \min[P_{Rd,1}; P_{Rd,3}] =$	70,93 kN	
	$P_{Rd,1} = 2 * 0,8 f_u (\pi d^2 / 4) / \gamma_v =$	70,93 kN	
	$P_{Rd,2} = 0,29 \alpha d^2 (f_{ck} E_{cm})^{0,5} / \gamma_v =$	33,16 kN	
	- nerozhoduje porušení betonu - výztuž je dostatečně zakotvena!		
	$P_{Rd,3} = 2.5 * \alpha_0 * f_{u,a} * (d * t_w) / \gamma_v =$	85,68 kN	(otlacení stojiny)
	$\alpha_0 =$	1,00	
NUTNÝ POČET S.P. (trnů, prutů):		26 ks	- rovnoměrně rozdělit po délce nosníku
pro přenos podélného smyku			
délka nosníku [m]:	6,00	→ (min.)	pruty $\varnothing 12 \text{ R po } 230 \text{ mm}$
(efektivní)			

2.4.7 SP27.40

SP-Střední část SP27.4 - S		Isn 270/70÷280 (D270) skrytá příčel spřažená s ŽB deskou (monolit)		L = 5650 mm c.b. - 2x neg. M	
				$b_{eff,1}$ 494,375 mm $b_{eff,2}$ 494,375 mm b_{eff} 988,8 mm	
				Ocelový profil - rozměry:	
				H_a 270 mm b_{f1} 70 mm b_{f2} 280 mm t_{f1} 6 mm t_{f2} 10 mm t_w 6 mm A_a 4744 mm ² I_{ya} 4,78E+07 mm ⁴ $Z_{Cg,a}$ 70,60 mm I_{za} 1,85E+07 mm ⁴ $I_{zc (cca)}$ 1,70E+09 mm ⁴ - tuhost desky (b_{eff}) \varnothing 12 mm	
běžný beton SD (2500 kg/m3) - pev. tř.: C30/37					
betonová deska (monolit)		h_s 270 mm h_{su} 260 mm			
- spřažení :		Protážená horní výztuž desky (B500)			
		celková výška spřaž. profilu:		H	270 mm
		hmotnost oceli - 1bm profilu:		G_a	37,24 kgm⁻¹
MATERIÁLOVÉ CHARAKTERISTIKY :					
		deska: f_{ck}	30 MPa	$\gamma_c = 1,5$	
		f_{cd}	17,0 MPa		
		$n_{pl,c}$	0,072		
		- ocel: f_{ak}	235 MPa	$\gamma_a = 1,00$	
		f_{ad}	235 MPa		
PLASTICKÁ ÚNOSNOST SPŘAŽENÉHO PROFILU (Kladný moment)					
		poloha plastické osy $Z_{y,pl}$	48,2 mm		
		tahová síla na pr. F_t	957 kN		

tlaková síla na pr. F_c		957 kN	
$F_t - F_c =$		0,00 kN	kontrola
osa prochází stojinou ocelového profilu: $d_{w,t}$		211,8 mm	
$d_{w,c}$		42,2 mm	
plocha tlačného betonu: $A_{c,c}$		46969,4 mm ²	
$z_{y,pl}$		221,8 mm	
+		$M_{y,pl,Rd} =$	199,2 kNm
TUHOST SPŘAŽENÉHO PROFILU (moment setrvačnosti k ose y)			
modul pružnosti oceli: E_{a+s}		2,10E+05 MPa	
seč. mod. pružnosti betonu: E_{cm}		32837 MPa	
pracovní součinitel pro krat. i dlouhodobé zat. $n =$		$(E_{cm}/2) / E_{a+s} =$	0,0782
poloha elastické osy kompozitního průřezu: $z_{y,el}$		106,7 mm	(od h.hr. Oceli)
$z_{y,el} = (H_a - z_{y,el})$		163,3 mm	(od d.hr. Oceli)
osa prochází stojinou ocelového profilu: $d_{w,c}$		100,7 mm	
$d_{w,t}$		153,3 mm	
$F_{t,el.}$		739 kN	
$F_{c,el.}$		739 kN	
$F_{t,el} - F_{c,el} =$		0,00 kN	kontrola
plocha tlačného betonu: $A_{c,c}$		104454,7 mm ²	
+		$I_{y,el,2} =$	1,197E+08 mm⁴
		$(EI_y)_{el.2} =$	2,51E+13 Nmm ²
SP-koncová část SP27.4 - K		část spojená se sloupem - konzola skrytá příčel spřažená s ŽB deskou (monolit)	$l =$ 5650 mm
		$b_{eff,1}$	353,125 mm
		$b_{eff,2}$	353,125 mm
		b_{eff}	706,3 mm
		Ocelový profil - rozměry:	
		H_a	270 mm
		b_{f1}	280 mm
		b_{f2}	280 mm
		t_{f1}	10 mm
		t_{f2}	10 mm
		t_w	7 mm
		A_a	7350 mm ²
		I_{ya}	1,05E+08 mm ⁴
		těžiště oceli (od hor. H. oceli): $Z_{Cg,a}$	135,00 mm
		I_{za}	3,66E+07 mm ⁴
betonová deska h_s 270 mm			
(s filigrány) h_{su} 260 mm			
- spřažení: Protážená horní výztuž desky (B500)		\emptyset	12 mm
celková výška spřaž. profilu:		H	270 mm
hmotnost oceli - 1bm profilu:		G_a	57,7 kgm⁻¹
MATERIÁLOVÉ CHARAKTERISTIKY:			
deska: f_{ck}		30 MPa	$\gamma_c = 1,5$
f_{cd}		17,0 MPa	
$n_{pl,c}$		0,072	
- ocel: f_{ak}		235 MPa	$\gamma_a = 1,00$
f_{ad}		235 MPa	
PLASTICKÁ ÚNOSNOST SPŘAŽENÉHO PROFILU (záporný moment)			
poloha plastické osy $z_{y,pl}$		32,3 mm	
tahová síla na pr. F_t		1033 kN	
tlaková síla na pr. F_c		1033 kN	

	$F_t - F_c =$	0,00 kN	kontrola
osa prochází stojinou ocelového profilu:	$d_{w,t}$	227,7 mm	
	$d_{w,c}$	22,3 mm	
plocha tlačného betonu:	$A_{c,c}$	19871,2 mm ²	
	$z_{y,pl}$	237,7 mm	

$$- \quad M_{y,pl,Rd} = 219,6 \quad \text{kNm}$$

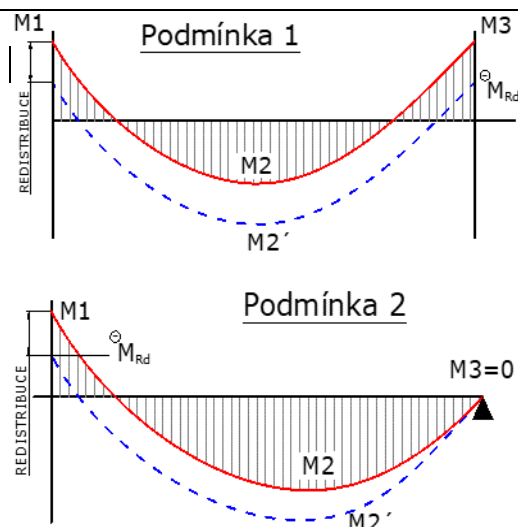
TUHOST SPŘAŽENÉHO PROFILU (moment setrvačnosti k ose y)

	E_{a+s}	2,10E+05 MPa	
	E_{cm}	3,28E+04 MPa	
pracovní součinitel pro krat. i dlouhodobé zat.	$n =$	$(E_{cm}/2) / E_{a+s} =$	0,0782
poloha elastické osy kompozitního průřezu :	$z_{y,el}$	98,5 mm	(od h.hr. Oceli)
	$z_{2y,el} = (H_a - z_{y,el})$	171,5 mm	(od d.hr. Oceli)
osa prochází stojinou ocelového profilu:	$d_{w,c}$	88,5 mm	
	$d_{w,t}$	161,5 mm	
	$F_{t,el.}$	764 kN	
	$F_{c,el.}$	764 kN	
	$F_{t,el} - F_{c,el} =$	0,00 kN	kontrola
plocha tlačného betonu:	$A_{c,c}$	66168,7 mm ²	

$$- \quad I_{y,el,2} = 1,312E+08 \quad \text{mm}^4$$

$$(EI_y)_{el.2} = 2,76E+13 \quad \text{Nmm}^2$$

POSOUZENÍ MEZNÍHO STAVU ÚNOSNOSTI



Globální extrémy ohybového momentu (kombinace na únosnost)

$M_1 =$	150,0 kNm	G.E.
$M_2 =$	130,0 kNm	
$M_3 =$	150,0 kNm	Podmínka 1
$M_{y,Ed} =$	$(M_1 + M_3)/2 + M_2 =$	280,0 kNm
$M_1 =$	kNm	
$M_2 =$	kNm	
$M_3 =$	kNm	Podmínka 1
$M_{y,Ed} =$	$(M_1 + M_3)/2 + M_2 =$	0,0 kNm
$M_1 =$	200,0 kNm	G.E.
$M_2 =$	160,0 kNm	
$M_3 =$	0,0 kNm	Podmínka 2
M_y po redistribuci:	$M_{2'} =$	171,7 kNm

$$\text{Redistribuce momentů na příčly :} \quad \leq \quad \frac{(M_1 - M_{y,pl,Rd})/M_1}{20} \% \quad 0,0 \%$$

Pružně-plastická analýza

$$\rightarrow M'_{y,pl,Rd} = M_{y,pl,Rd} + M_{y,Rd,red}^- /$$

Podmínka 1:	součtový moment od zat.		součtový moment únosnosti
	$M_{y,Ed}$ [kNm]	\leq	$M'_{y,pl,Rd}$ [kNm]
VYHOVÍ	280,0	\leq	415,8

$$\rightarrow M'_{y,Ed} = M_{2'} = M_{y,2} + (M_{y,1} + M_{y,3} - M_{y,Rd,red}^-)/2$$

Podmínka 2:	součtový moment od zat.		red. kladný moment únosnosti
	$M_{y,Ed} = M_{2'}$ [kNm]	\leq	$M_{y,Rd,red}^+$ [kNm]
VYHOVÍ	171,7	\leq	199,2

Únosnost průřezu ve smyku a smykovém boulení

Koncová část příčle:
K

$$\begin{aligned} d &= 250 \text{ mm} \\ \text{podmínka smykového boulení: } d / t_w &> 124 \cdot \varepsilon \\ 41,7 &> 100,4 \\ \Rightarrow &\text{stěna účinkem smyku neboulí} \end{aligned}$$

$$A_v = 1750 \text{ mm}^2 \quad \dots \text{plocha účinná na smyk (stojna)}$$

$$V_{pl,Rd} = \frac{A_v \cdot f_{yd}}{\sqrt{3}} =$$

$$237,4 \text{ kN}$$

≥

$$V_{Ed} = 165 \text{ kN}$$

Nosník vyhoví na smyk

$$50\% V_{pl,Rd} =$$

$$118,72$$

≥

$$V_{ed,M} =$$

$$150 \text{ [kN]}$$

⇒

REDUKCE MOMENTU ÚNOSNOSTI VLIVEM SMYKU

$$M_{y,Rd,red} = M_{f,Rd} + (M_{Rd} - M_{f,Rd}) \cdot (1 - (2V_{Ed}/V_{pl,Rd} - 1)^2) = 216,6 \text{ kNm}$$

Momentová únosnost při odečtení stěny nosníku :

$$M_{f,Rd} = 176,5 \text{ kNm}$$

Smykové spojení nosníku s deskou - Návrh spřažení

- pro úplné smykové spojení

Celkový podélný smyk :

$$V_l = F_{cf} + A_s \cdot f_{sk} / \gamma_s = 798,5 \text{ kN}$$

$$A_s = 0,00 \text{ mm}^2$$

$$F_{cf,1} = A_a \cdot f_y / \gamma_a = 957 \text{ kN}$$

$$f_{sk} = 490 \text{ MPa}$$

$$F_{cf} = \min(F_{cf,1}; F_{cf,2})$$

$$F_{cf,2} = 0,85 A_c \cdot f_{ck} / \gamma_c = 798 \text{ kN}$$

$$\gamma_s = 1,15$$

-

Návrh spřahovacích
prostředků

betonářská výztuž

- protažena horní výztuž desek skrz stojinu ocel. profilu

$d =$	12	mm	$f_u =$	490	MPa
$d_{b,a} =$	12,00	mm	$f_{u,a} =$	510	MPa
$l_1 =$	3000	mm	$\gamma_v =$	1,25	
$l_1/d =$	250,0	→	$\alpha =$	1,00	

horní výztuž bude v oturu přivařena v úhlu 120°: $a = 0 \text{ mm}$ (char. svaru)

→ zohledněno ve výpočtu otláčení - zvětšením \emptyset prutu spřah. výztuže: $d_{b,a} = d + a\sqrt{2}$

Výpočtová smyková únosnost 1
spřahovacího prostředku:

$$P_{Rd} = \min[P_{Rd,1}; P_{Rd,3}] = 70,93 \text{ kN}$$

$$P_{Rd,1} = 2 \cdot 0,8 f_u (\pi d^2 / 4) / \gamma_v = 70,93 \text{ kN}$$

$$P_{Rd,2} = 0,29 \alpha d^2 (f_{ck} E_{cm})^{0,5} / \gamma_v = 33,16 \text{ kN}$$

- nerozhoduje porušení betonu - výztuž je dostatečně zakotvena!

$$P_{Rd,3} = 2,5 \cdot \alpha_0 \cdot f_{u,a} \cdot (d \cdot t_w) / \gamma_v = 73,44 \text{ kN} \quad (\text{otlačení stojiny})$$

$$\alpha_0 = 1,00$$

NUTNÝ POČET S.P. (trnů, prutů):

pro přenos podélného smyku

24 ks

- rovnoměrně rozdělit po délce nosníku

délka nosníku [m]:
(efektivní)

$$3,50$$

→ (min.)

pruty Ø 12 R po

$$145 \text{ mm}$$

2.5 posouzení atypických OK

dle ČSN 1993-1-1

2.5.1 speciální SP22-X.1

Jedná se o speciální příčel v místě neprůběžného sloupu, mimostyčné uložení SL z 2.np o 400 mm, příčel má výrazné zatížení smykovou silou -> **nutná dvojitá stojna + ocel vyšší pevnosti S355.**

Průřez : 24 - sp22_X1 (300,20,200,12,150)

Makro 67	Prut 96	sp22_X1	S 355	Únos. kom 102	0.60
----------	---------	---------	-------	---------------	------

NSd [kN]	Vy.Sd [kN]	Vz.Sd [kN]	Mt.Sd [kNm]	My.Sd [kNm]	Mz.Sd [kNm]
-12.78	-0.62	608.04	-0.92	-173.49	0.11

Kritický posudek v místě 0.00 m

Parametry vzpěru	yy	zz	
typ	neposuvné	neposuvné	
Štíhlost	3.44	4.67	
Redukovaná štíhlost	0.04	0.06	
Vzpěr. křivka	b	c	
Imperfekce	0.34	0.49	
Redukční součinitel	1.00	1.00	
Délka	0.40	0.40	m
Součinitel vzpěru	0.84	0.99	
Vzpěrná délka	0.34	0.40	m
Kritické Eulerovo zatížení	2945883.39	1595683.59	kN

LTB		
Délka klopení	0.40	m
k	1.00	
kw	1.00	
C1	2.53	
C2	0.00	
C3	0.68	

zatížení v těžišti

POSUDEK ÚNOSNOSTI	
Vy	0.00 < 1
Vz	0.56 < 1
M	0.60 < 1

Stabilitní posudek	
Vzpěr	0.00 < 1
Prostorový vzpěr	0.00 < 1
Klopení	0.36 < 1
Tlak + moment	0.37 < 1
Tlak + klopení	0.37 < 1

2.5.2 průvlak PR 47

Průvlak v linii změny tloušťky a výškového odskoku stropní desky (napojení desky pod terasou).

Průřez : 20 - pr47_Z1 (470,8,240,14,240,14)

Makro 143	Prut 210	pr47_Z1	S 235	Únos. kom 111	0.70
-----------	----------	---------	-------	---------------	------

NSd [kN]	Vy.Sd [kN]	Vz.Sd [kN]	Mt.Sd [kNm]	My.Sd [kNm]	Mz.Sd [kNm]
-4.64	-0.00	-10.51	-0.03	283.80	-0.01

Kritický posudek v místě 4.00 m

Parametry vzpěru	yy	zz	
typ	neposuvné	neposuvné	
Štíhlost	26.49	97.51	
Redukovaná štíhlost	0.28	1.04	
Vzpěr. křivka	b	c	
Imperfekce	0.34	0.49	
Redukční součinitel	0.97	0.52	
Délka	7.50	7.50	m
Součinitel vzpěru	0.70	0.73	
Vzpěrná délka	5.28	5.47	m
Kritické Eulerovo zatížení	30294.96	2235.59	kN

LTB		
Délka klopení	1.50	m
k	1.00	
kw	1.00	
C1	1.17	
C2	0.71	
C3	0.53	

zatížení v těžišti

POSUDEK ÚNOSNOSTI	
Vz	0.02 < 1
M	0.70 < 1

Stabilitní posudek	
Vzpěr	0.00 < 1
Prostorový vzpěr	0.00 < 1
Klopení	0.70 < 1
Tlak + moment	0.70 < 1
Tlak + klopení	0.70 < 1

2.5.3 průvlak PR 60

Průvlaky nad průjezdem na krytý venkovní prostor (parking, vstupy). **Rozpon 9100 mm.**

Průřez : 21 - pr60X (600,10,280,20,280,20)

Makro 63	Prut 85	pr60X	S 235	Únos. kom 104	0.71
----------	---------	-------	-------	---------------	------

NSd [kN]	Vy.Sd [kN]	Vz.Sd [kN]	Mt.Sd [kNm]	My.Sd [kNm]	Mz.Sd [kNm]
-13.92	0.02	8.78	0.05	455.26	-0.05

Kritický posudek v místě 4.43 m

Parametry vzpěru	yy	zz	
typ	neposuvné	neposuvné	
Štíhlost	23.42	75.95	
Redukovaná štíhlost	0.25	0.81	
Vzpěr. křivka	b	c	
Imperfekce	0.34	0.49	
Redukční součinitel	0.98	0.66	
Délka	6.40	6.40	m
Součinitel vzpěru	0.93	0.78	
Vzpěrná délka	5.96	5.01	m
Kritické Eulerovo zatížení	63476.01	6036.32	kN

LTB		
Délka klopení	6.40	m
k	1.00	
kw	1.00	
C1	1.63	
C2	0.16	
C3	2.64	

zatížení v těžišti

POSUDEK ÚNOSNOSTI	
Vy	0.00 < 1
Vz	0.01 < 1
M	0.54 < 1

Stabilitní posudek	
Vzpěr	0.01 < 1
Prostorový vzpěr	0.00 < 1
Klopení	0.70 < 1
Tlak + moment	0.54 < 1
Tlak + klopení	0.71 < 1

Navržené průřezy OK mají dostatečnou únosnost a **vyhoví** na I. mezní stav.

2.6 monolitické stropní desky

2.6.1 Model

Model včetně zatížení viz. kap.xx. Tuhost desek byla nahrazena ortotopií

- vstupní údaje

- zatížení

$$M_{Ed} = 50 \text{ kNm}$$

- beton C30/37 XC1

$$f_{ck} = 30 \text{ MPa}$$

$$f_{cd} = 17 \text{ MPa}$$

$$f_{ctm} = 2,90 \text{ MPa}$$

- ocel B500

$$f_{yk} = 490 \text{ MPa}$$

$$f_{yd} = 426,087 \text{ MPa}$$

- průřez

$$b = 1,00 \text{ m}$$

$$d = 0,237 \text{ m}$$

$$h_{bet} = 280,00 \text{ mm}$$

- odhad výztuže

$$A_{sd} = 5,09E-04 \text{ m}^2$$

- výztuž

$$\phi = 12 \text{ mm}$$

$$1 \phi R / 200 \text{ mm}$$

- krytí výztuže

$$c = 25 \text{ mm}$$

- návrh výztuže

$$A_s = 5,65E-04 \text{ m}^2$$

- posouzení

- min. vyztužení

$$A_s \geq A_{s,min} = 0,26 \cdot (f_{ctm}/f_{yk}) \cdot b \cdot d = 3,6E-04 \text{ m}^2$$

$$A_s \geq 0,0013 \cdot b \cdot d = 3,08E-04 \text{ m}^2$$

$$A_s \leq A_{s,max} = 0,04 \cdot b \cdot d = 9,48E-03 \text{ m}^2$$

$$A_s \geq A_{s,min} \rightarrow 5,65E-04 > 3,64E-04 \text{ m}^2$$

- neutrální osa

$$x = (A_s \cdot f_{yd}) / (\lambda \cdot b \cdot f_{cd}) = 0,0177 \text{ m}$$

$$x \leq x_{lim} = x_{lim} \cdot d = 0,147 \text{ m}$$

$$x \leq x_{max} = 0,45 \cdot d = 0,10665 \text{ m}$$

- posouzení momentu

$$M_{Rd} = A_s \cdot f_{yd} \cdot Z_c = 55,40 \text{ kNm}$$

- rameno vnitřních sil

$$Z_c = d \cdot (0,5 \cdot \lambda \cdot x) = 0,22991 \text{ m}$$

$$M_{Rd} \geq M_{Ed} \rightarrow 55,40 > 50,00 \text{ kNm}$$

→ vyhovuje

- ortotropie

- vstupní hodnoty

- spodní výztuž směr x

$h_{bet,x} = 270$ mm
 $b = 1$ m
 $1/n = 0,069$
 $E_x = 4,609E+12$ Nmm²

- E_{polest}

$\phi = 12$ mm
 $c = 30$ mm
 $\phi R = 200$ mm
 $h_u = 234$ mm
 $A_s = 565,49$ mm²
 $x = 54,259$ mm

$h_u - x = 179,74$ mm

$F_s = 565,49$ kN

$F_c = 565,49$ kN

$F_s - F_c = 0,00$ kN

$I = 21945650$ mm⁴

$E_{pole} = 4,609E+12$ Nmm²

$E_c = 15000$ MPa #

$\mu = 0,2$

$E'_c = E = 15625,0$ MPa

$G = E = 6250$ MPa

$\beta = 1,2$

$I_x = 0,0003072$ mm⁴

$I_y = 0,0002741$ mm⁴

$h_x = 270$

$h_y = 270$

- spodní výztuž směr y

$h_{bet,y} = 270$ mm
 $f_{ck} = 17$ MPa
 $f_{yd} = 426,09$ MPa
 $E_y = 4,11115E+12$ Nmm²

- $E_{podproray}$

$f = 12$ mm
 $c = 42$ mm
 $fR = 200$ mm
 $h_s = 222$ mm
 $A_s = 565,4867$ mm²
 $x = 52,66534$ mm

$h_s - x = 169,3347$ mm

$F_s = 565,4867$ kN

$F_c = 565,487$ kN

$F_s - F_c = 0,00$ kN = 0

$I = 19576927,62$ mm⁴

$E_{podp.} = 4,11115E+12$ Nmm²

$D_{11} = 4,801$

$D_{22} = 4,282$

$D_{33} = 1,814$

$D_{44} = 1406,3$

$D_{55} = 1406,3$

$D_{12} = 0,907$

$D_{11} = E' \cdot I_x$

$D_{22} = E' \cdot I_y$

$D_{33} = (1-\mu)/2 \cdot (D_{11} \cdot D_{22})^{0,5}$

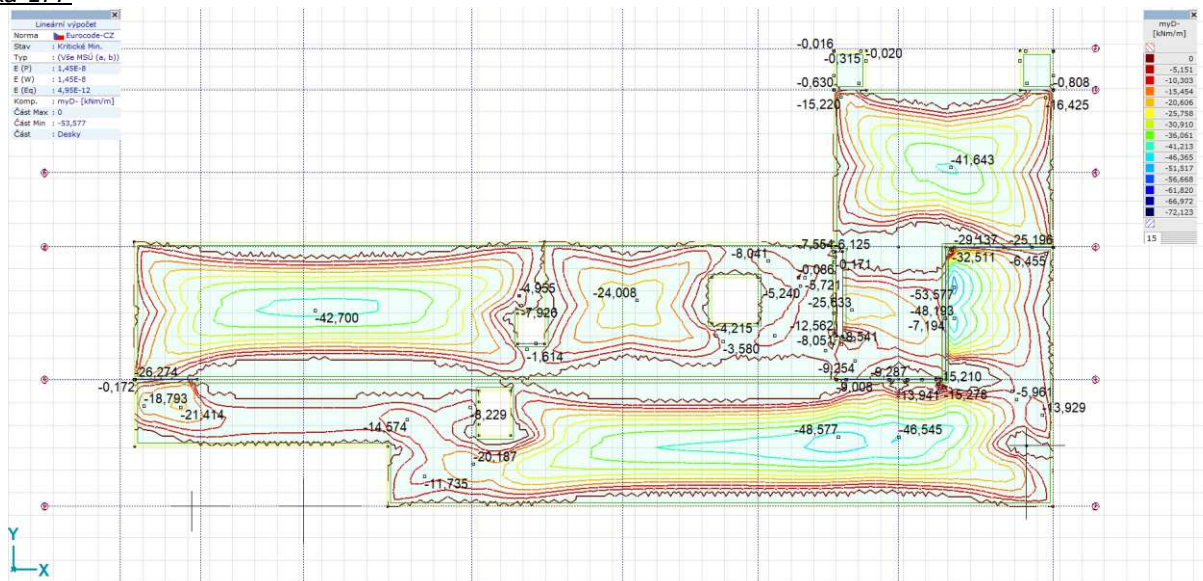
$D_{44} = 1/\beta \cdot G \cdot h$

$D_{55} = 1/\beta \cdot G \cdot h$

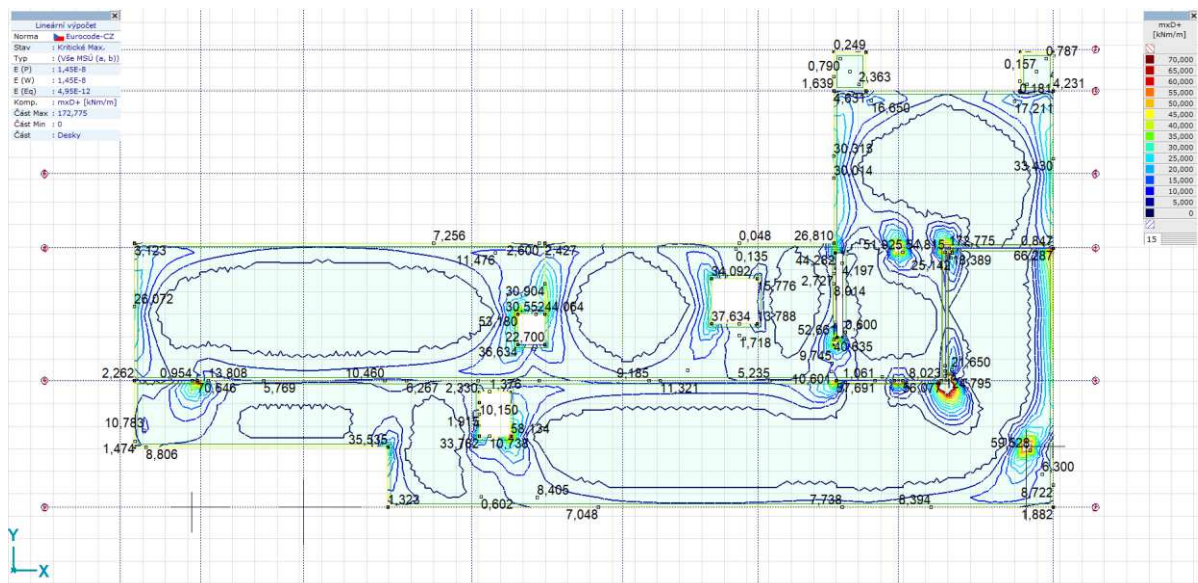
$D_{12} = \mu \cdot (D_{11} \cdot D_{22})^{0,5}$

2.6.2 Vnitřní síly na deskách

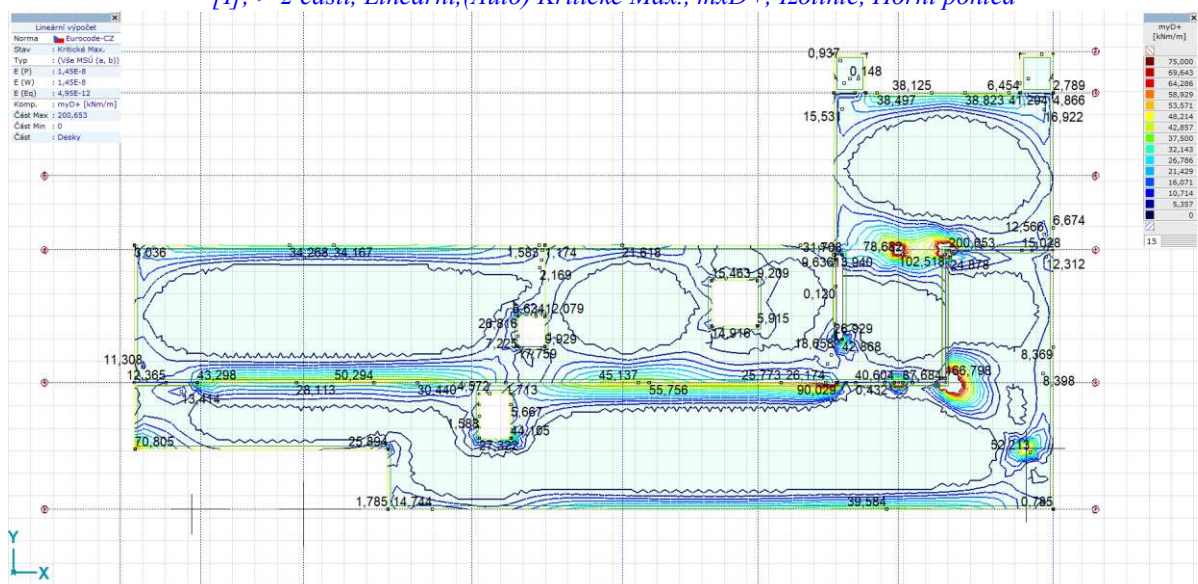
Deska 1PP



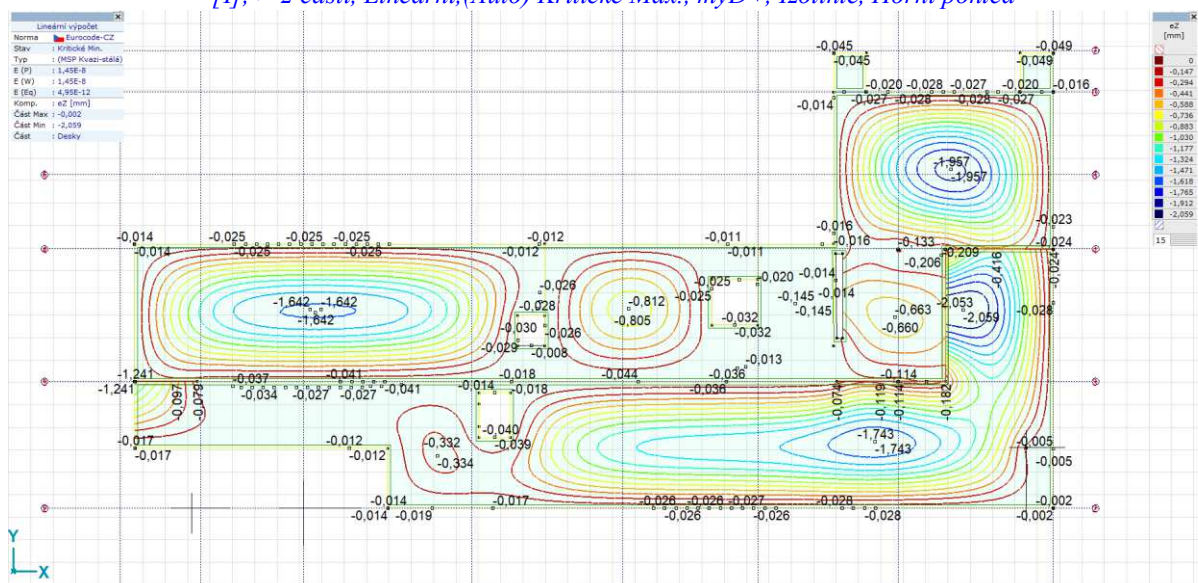
[I], > 2 části, Lineární, (Auto) Kritické Min., myD-, Izolinie, Horní pohled



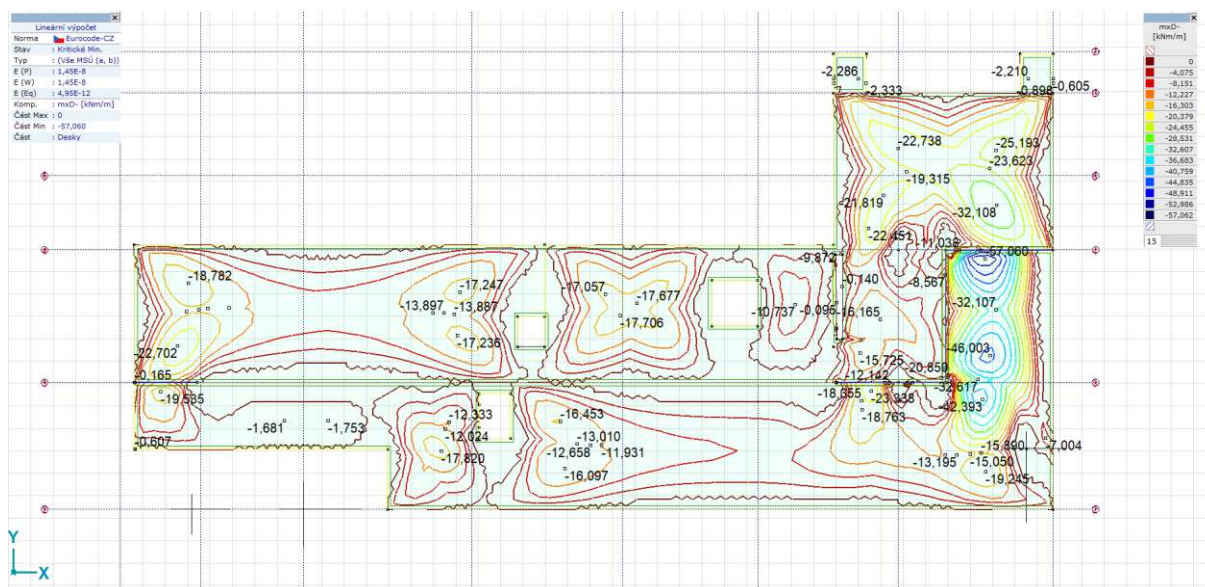
[I], > 2 části, Lineární, (Auto) Kritické Max., mxD+, Izolinie, Horní pohled



[II], > 2 části, Lineární, (Auto) Kritické Min., eZ, Izolinie, Horní pohled

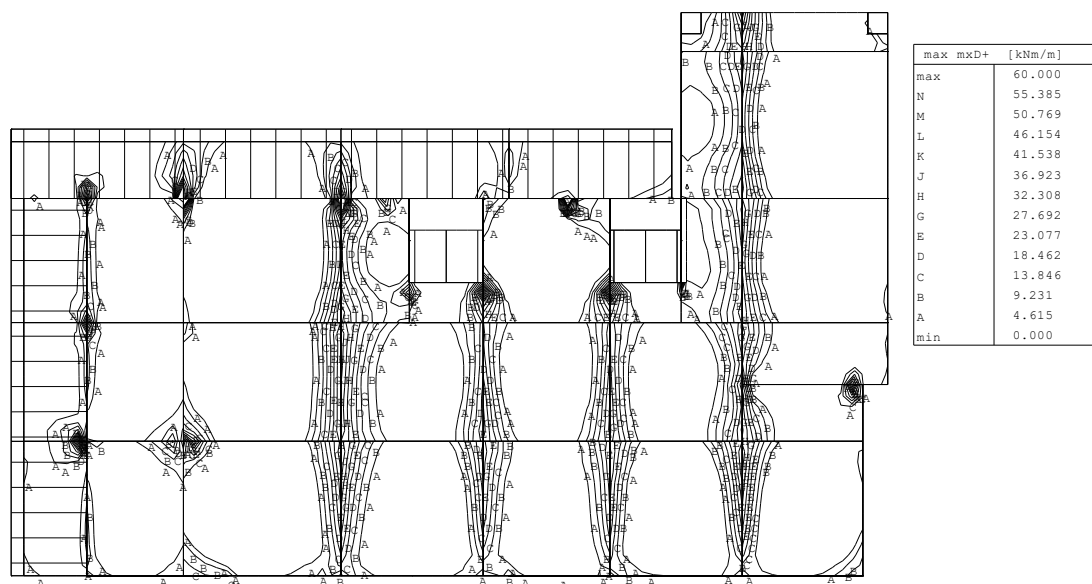


[I], > 2 části, Lineární, (Auto) Kritické Min., eZ, Izolinie, Horní pohled

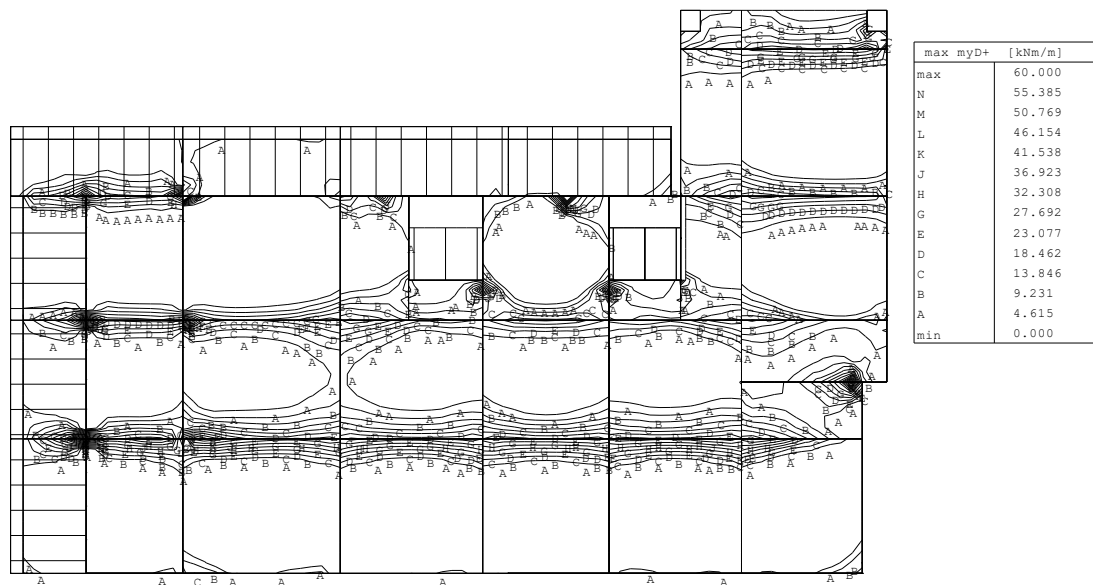


[I], > 2 části, Lineární, (Auto) Kritické Min., mxD-, Izolinie, Horní pohled

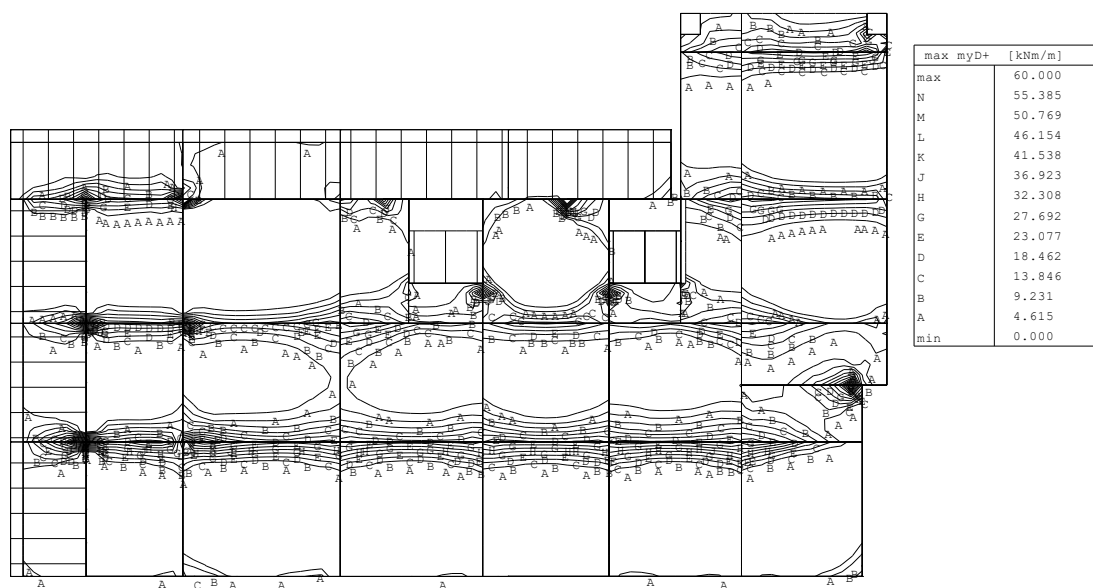
Stropní deska nad 1np



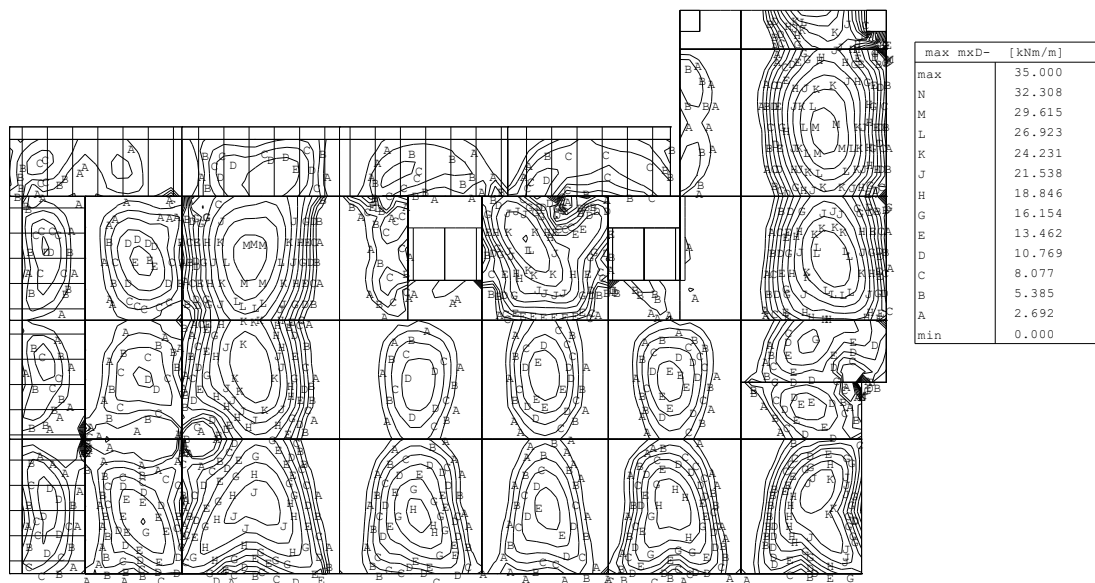
Vnitřní síla - max mxD+ - Kombi FEM : 1/5



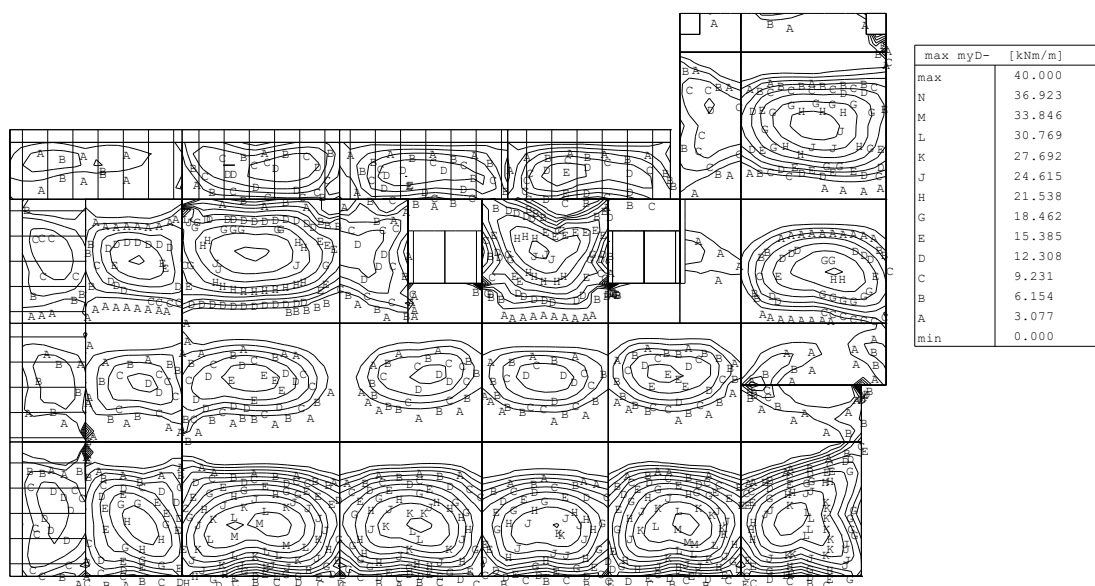
Vnitřní síla - max myD+ - Kombi FEM : 1/5



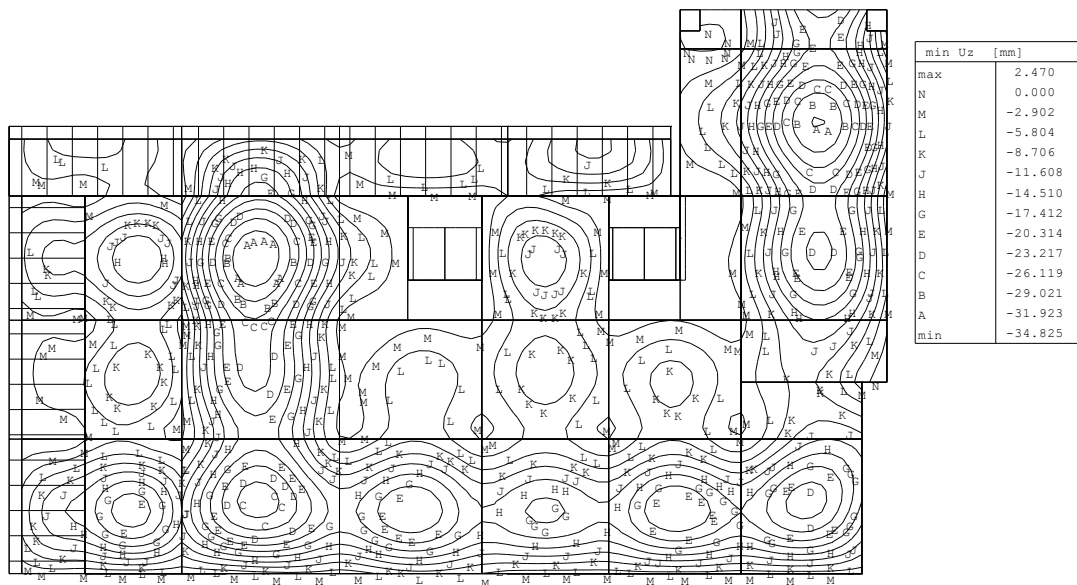
Vnitřní síla - max myD+ - Kombi FEM : 1/5



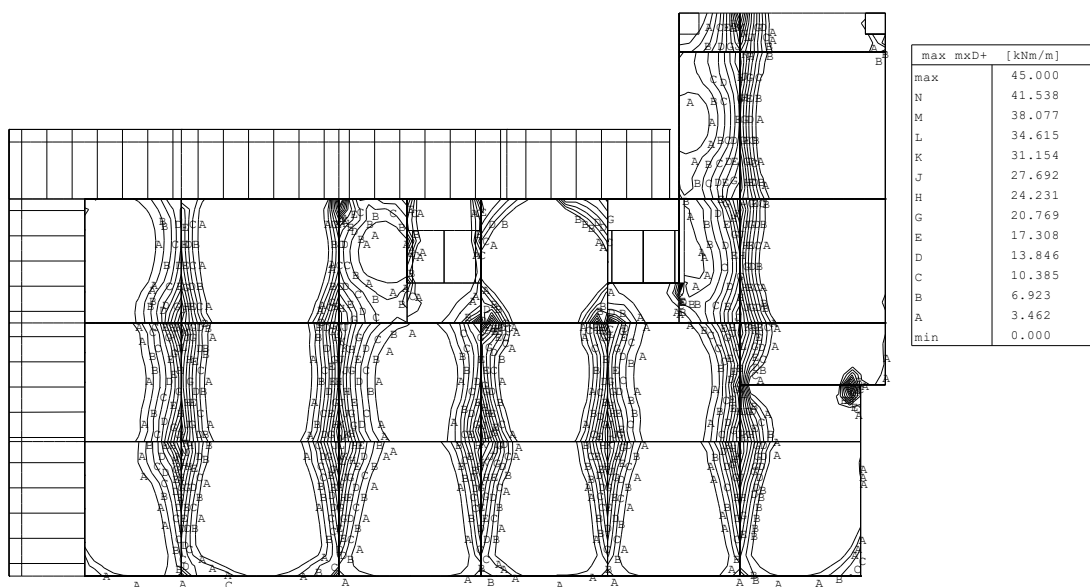
Vnitřní síla - max myD- - Kombi FEM : 1/5



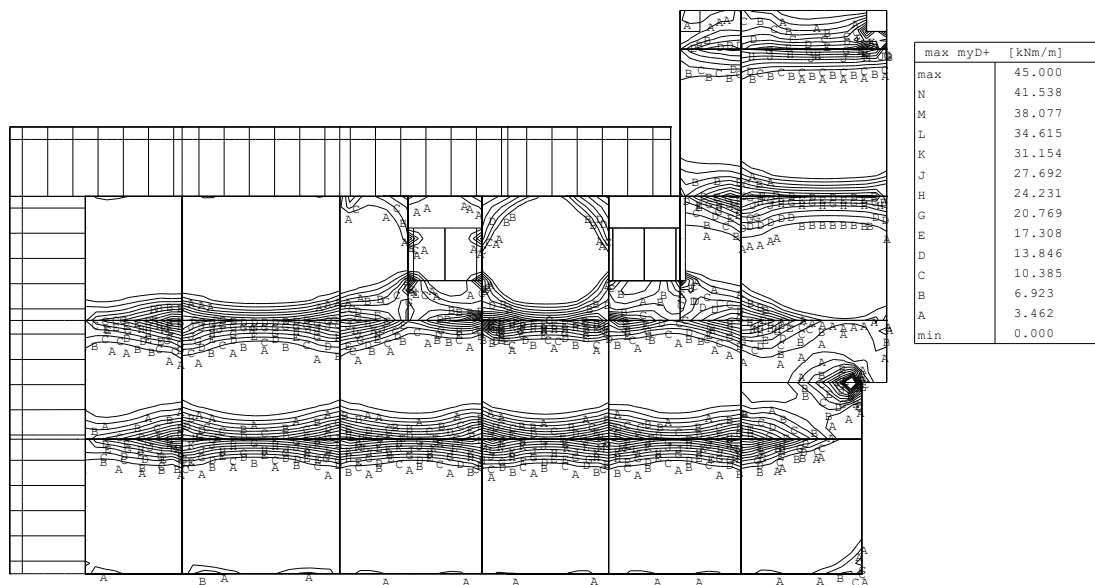
Vnitřní síla - max mxD- - Kombi FEM : 1/5



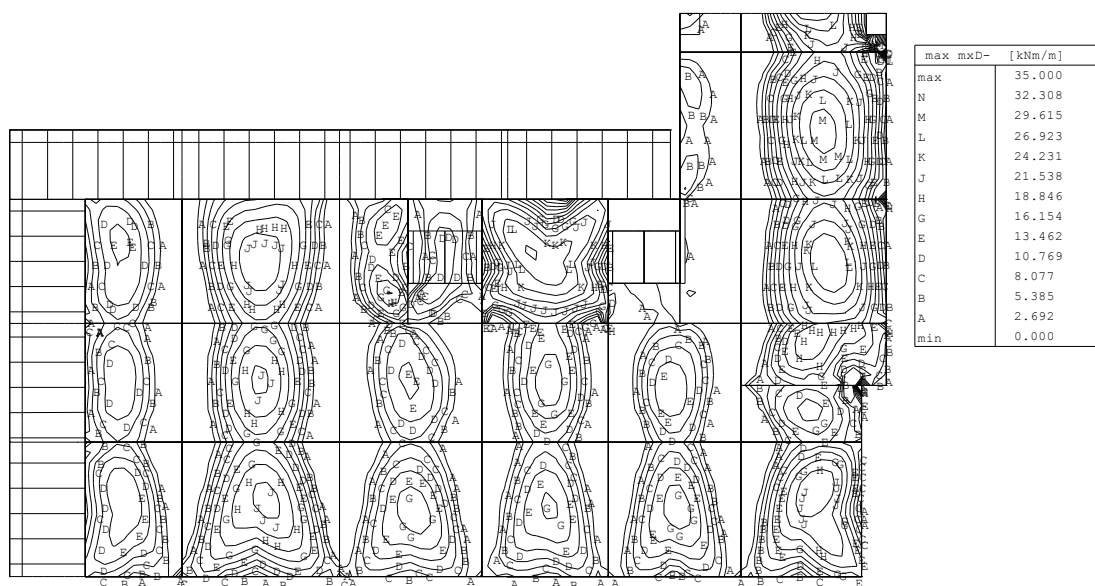
Deformace - min Uz - Kombi FEM : 5

Stropní deska 2np

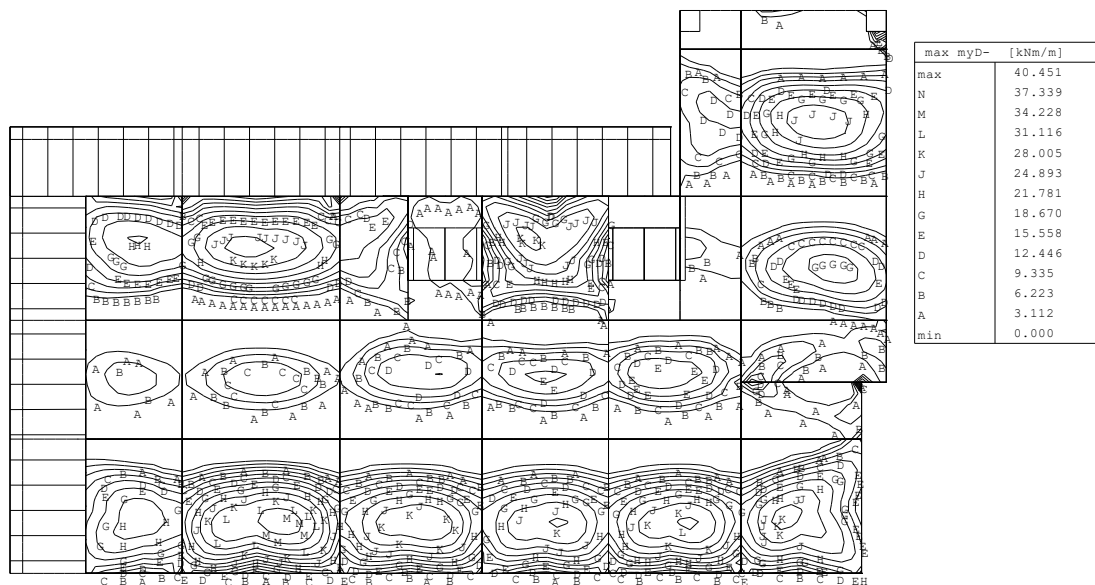
Vnitřní síla - max mxD+ - Kombi FEM : 1/5_2np



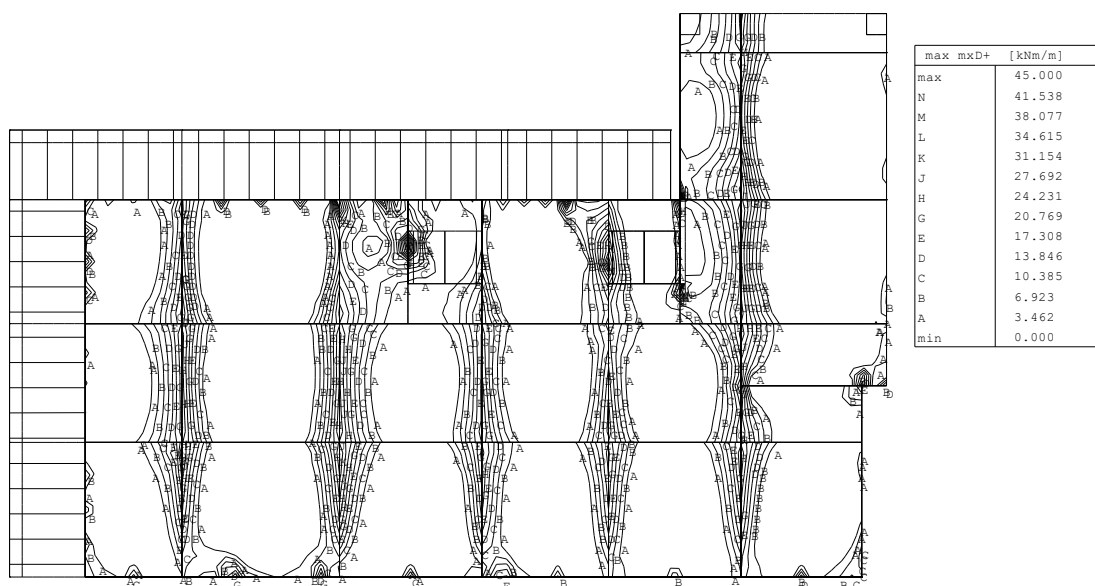
Vnitřní síla - max myD+ - Kombi FEM : 1/5_2np



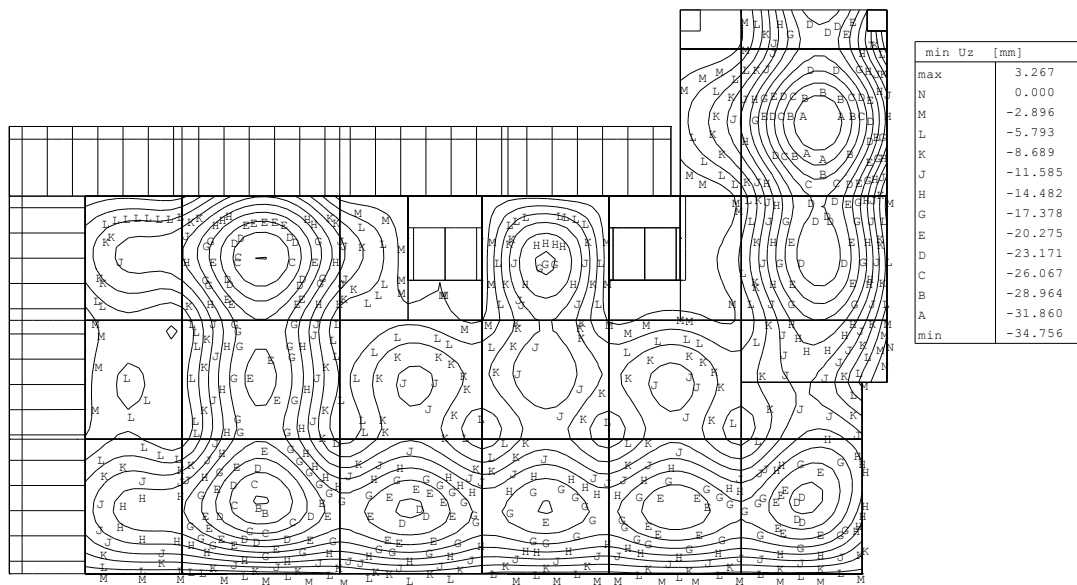
Vnitřní síla - max mxD- - Kombi FEM : 1/5_2np



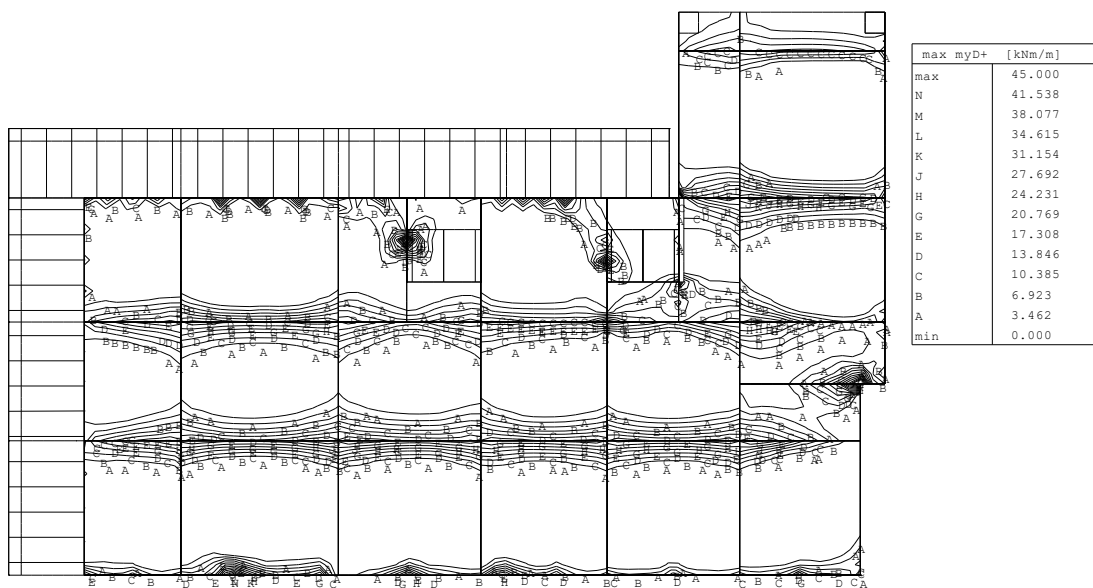
Vnitřní síla - max myD- - Kombi FEM : 1/5_2np



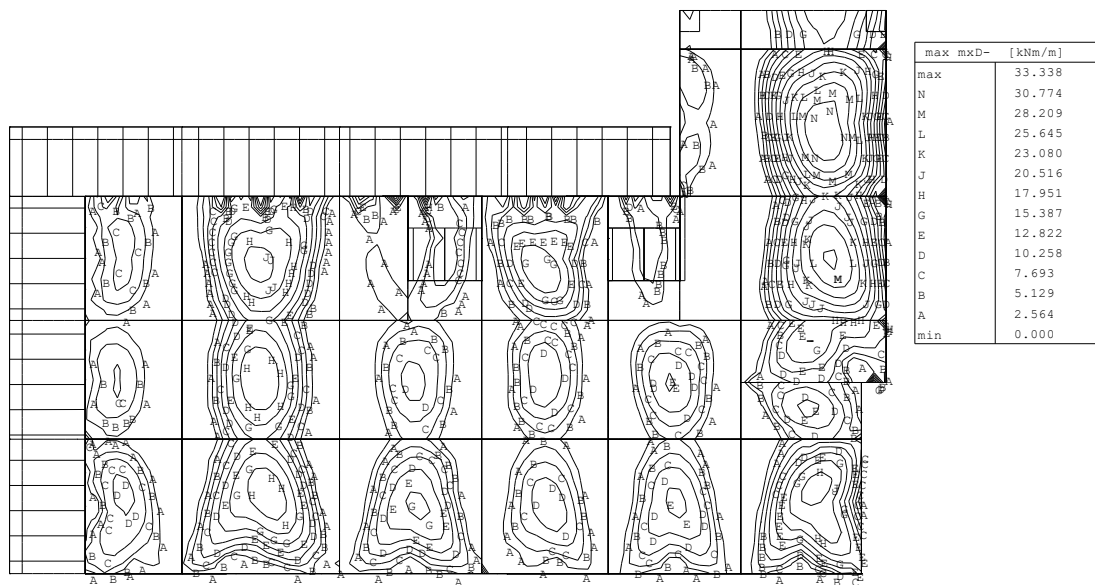
Vnitřní síla - max mxD+ - Kombi FEM : 1/5_3np



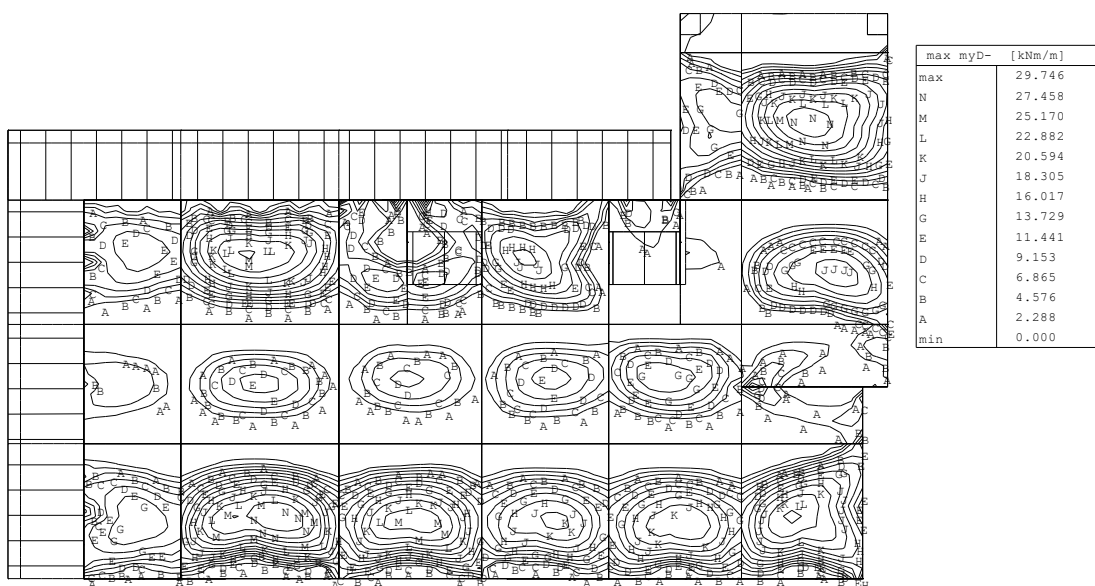
Deformace - min Uz - Kombi FEM : 5_2np

Stropní deska 3np (střecha)

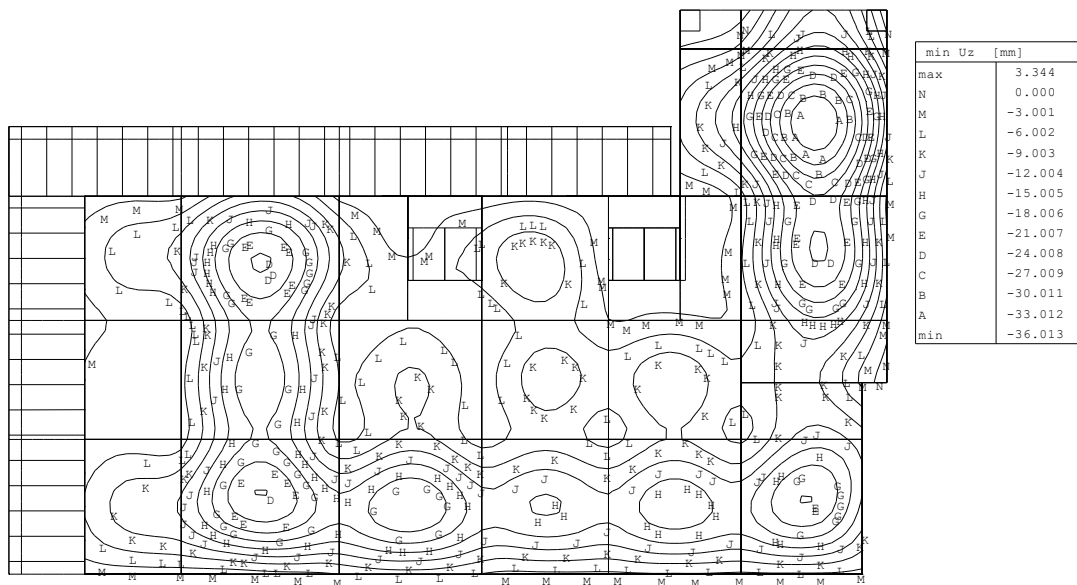
Vnitřní síla - max myD+ - Kombi FEM : 1/5_3np



Vnitřní síla - max mxD- - Kombi FEM : 1/5_3np



Vnitřní síla - max myD- - Kombi FEM : 1/5_3np



Deformace - min Uz - Kombi FEM : 5_3np

2.6.3 Posudky stropní desky

1np – tl. 220mm

Deska 1np	horní výztuž x	
	- beton C 30/37	- ocel B500 b
	$f_{ck} = 30,0 \text{ MPa}$	$f_{yk} = 490,0 \text{ MPa}$
	$f_{cd} = 17,0 \text{ MPa}$	$f_{yd} = 426,1 \text{ MPa}$
	$f_{ctm} = 2,03 \text{ MPa}$	$\gamma_y = 1,15$
	$\gamma_c = 1,5$	$E_s = 210 \text{ GPa}$
- zatížení	$E_{cm} = 32,84 \text{ GPa}$	
$M_{Ed} = 31,0 \text{ kNm}$	$\nu_1 = 0,528$	
‘ - maximum		
$M_{Ed} = 31,0 \text{ kNm}$		
‘ - redistribuce		
$V_{Ed} = 50,0 \text{ kNm}$		
	- krytí výztuže	- průřez
- odhad výztuže	$c = 35 \text{ mm}$	$b = 1,00 \text{ m}$
$A_{sd} = 4,19E-04 \text{ m}^2$	- výztuž	$d = 0,179 \text{ m}$
$A_s = 6,28E-04 \text{ m}^2$	$\phi = 12 \text{ mm}$	$h_{bet} = 220 \text{ mm}$
- min. vyztužení	1 / ϕR 180 mm	
$A_{s,min} = 1,93E-04 \text{ m}^2$		
$0,0013.b.d = 2,33E-04 \text{ m}^2$		
$A_s > A_{s,min} \rightarrow$ vyhovuje		
$A_{s,max} = 7,16E-03 \text{ m}^2$		
- rameno vnitřních sil	- posouvající síla	- kotvení délka výztuže
$z_c = 0,171 \text{ m}$	$V_{Rd,cm} = 94,2 \text{ kN}$	$f_{bd} = 3,0 \text{ MPa}$
- neutrální osa	$C_{Rd,c} = 0,12$	$l_{b,rqd} = 284 \text{ mm}$
$x = 0,020 \text{ m}$	$k = 2,00$	$\sigma_{sd} = 288 \text{ MPa}$
$x_{lim} = x_{lim} . d = 0,111 \text{ m}$	$\rho_1 = 3,51E-03$	$l_{bd} = 203 \text{ mm}$
$x_{max} = 0,45 . d = 0,081 \text{ m}$	$v_{min} . b_w . d = 97,1 \text{ kN}$	$l_{b,min} = 171 \text{ mm}$
$M_{Rd} = 45,81 \text{ kNm}$	$V_{Rd,cm} = 97,1 \text{ kN}$	- kotvení délka $\rightarrow 250 \text{ mm}$
$M_{Ed} = 31,00 \text{ kNm}$	$V_{Ed} = 50,0 \text{ kN}$	- stykování výztuže
\rightarrow <u>vyhovuje</u>	\rightarrow není nutné navrh. smyk. výztuž	$l_{bd} = 203 \text{ mm}$
		$l_{b,min} = 120 \text{ mm}$
		- procento stykování
		$\rho_1 = 100\%$

deska

spodní výztuž

	- beton C 30/37	- ocel B500 b
	$f_{ck} = 30,0 \text{ MPa}$	$f_{yk} = 490,0 \text{ MPa}$
	$f_{cd} = 17,0 \text{ MPa}$	$f_{yd} = 426,1 \text{ MPa}$
- zatížení	$f_{ctm} = 2,03 \text{ MPa}$	$\gamma_y = 1,15$
$M_{Ed} = 30,0 \text{ kNm}$	$\gamma_c = 1,5$	$E_s = 210 \text{ GPa}$
	$E_{cm} = 32,84 \text{ GPa}$	
- zatížení redistribuce	$v_1 = 0,528$	
$M_{Ed} = 30,0 \text{ kNm}$		
$V_{Ed} = 30,0 \text{ kNm}$	- krytí výztuže	- průřez
- odhad výztuže	$c = 30 \text{ mm}$	$b = 1,00 \text{ m}$
$A_{sd} = 3,93\text{E-}04 \text{ m}^2$	- výztuž	$d = 0,184 \text{ m}$
$A_s = 5,65\text{E-}04 \text{ m}^2$	$\phi = 12 \text{ mm}$	$h_{bet} = 220 \text{ mm}$
- min. vyztužení	1 / ϕR 200 mm	
$A_{s,min} = 1,98\text{E-}04 \text{ m}^2$		- kotevní délka výztuže
$0,0013 \cdot b \cdot d = 2,39\text{E-}04 \text{ m}^2$		$f_{bd} = 3,0 \text{ MPa}$
$A_s > A_{s,min} \rightarrow$ vyhovuje		$l_{b,rqd} = 296 \text{ mm}$
$A_{s,max} = 7,36\text{E-}03 \text{ m}^2$		$\sigma_{sd} = 299,9 \text{ MPa}$
- rameno vnitřních sil	- posouvající síla	$l_{bd} = 229 \text{ mm}$
$z_c = 0,177 \text{ m}$	$V_{Rd,cm} = 92,6 \text{ kN}$	$l_{b,min} = 177 \text{ mm}$
- neutrální osa	$C_{Rd,c} = 0,12$	- kotevní délka \rightarrow 250 mm
$x = 0,018 \text{ m}$	$k = 2,00$	- stykování výztuže
$x_{lim} = x_{lim} \cdot d = 0,114 \text{ m}$	$\rho_1 = 3,07\text{E-}03$	$l_{bd} = 239 \text{ mm}$
$x_{max} = 0,45 \cdot d = 0,083 \text{ m}$	$v_{min} \cdot b_w \cdot d = 99,8 \text{ kN}$	$l_{b,min} = 120 \text{ mm}$
$M_{Rd} = 42,63 \text{ kNm}$	$V_{Rd,cm} = 99,8 \text{ kN}$	- procento stykování
$M_{Ed} = 30,00 \text{ kNm}$	$V_{ed} = 30,0 \text{ kN}$	$\rho_1 = 100\%$
\rightarrow <u>vyhovuje</u>	\rightarrow není nutné navrh. smyk. výztuž	

Deska tl. 270mm

Deska 1pp	horní výztuž x	
	- beton C 30/37	- ocel B500 b
	$f_{ck} = 30,0 \text{ MPa}$	$f_{yk} = 490,0 \text{ MPa}$
- zatížení	$f_{cd} = 17,0 \text{ MPa}$	$f_{yd} = 426,1 \text{ MPa}$
$M_{Ed} = 45,0 \text{ kNm}$	$f_{ctm} = 2,03 \text{ MPa}$	$\gamma_y = 1,15$
' - maximum	$\gamma_c = 1,5$	$E_s = 210 \text{ GPa}$
$M_{Ed} = 50,0 \text{ kNm}$	$E_{cm} = 32,84 \text{ GPa}$	
' - redistribuce	$v_1 = 0,528$	
$V_{Ed} = 50,0 \text{ kNm}$	- krytí výztuže	- průřez
- odhad výztuže	$c = 35 \text{ mm}$	$b = 1,00 \text{ m}$
$A_{sd} = 4,76\text{E-}04 \text{ m}^2$	- výztuž	$d = 0,228 \text{ m}$
$A_s = 8,55\text{E-}04 \text{ m}^2$	$\phi = 14 \text{ mm}$	$h_{bet} = 270 \text{ mm}$
- min. vyztužení	1 / ϕR 180 mm	
$A_{s,min} = 2,45\text{E-}04 \text{ m}^2$		- kotevní délka výztuže
$0,0013 \cdot b \cdot d = 2,96\text{E-}04 \text{ m}^2$		$f_{bd} = 3,0 \text{ MPa}$
$A_s > A_{s,min} \rightarrow$ vyhovuje		$l_{b,rqd} = 310 \text{ mm}$
$A_{s,max} = 9,12\text{E-}03 \text{ m}^2$		$\sigma_{sd} = 269 \text{ MPa}$
- rameno vnitřních sil	- posouvající síla	$l_{bd} = 240 \text{ mm}$
$z_c = 0,217 \text{ m}$	$V_{Rd,cm} = 118,7 \text{ kN}$	$l_{b,min} = 186 \text{ mm}$
- neutrální osa	$C_{Rd,c} = 0,12$	

$x =$	0,027 m	$k =$	1,94	- kotevní délka \rightarrow	250 mm
$x_{lim} = x_{lim} \cdot d =$	0,142 m	$\rho_1 =$	3,75E-03	- stykování výztuže	
$x_{max} = 0,45 \cdot d =$	0,103 m	$v_{min} \cdot b_w \cdot d =$	117,8 kN	$l_{bd} =$	200 mm
$M_{Rd} =$	79,18 kNm	$V_{Rd,cm} =$	118,7 kN	$l_{b,min} =$	140 mm
$M_{Ed} =$	50,00 kNm	$V_{ed} =$	50,0 kN	- procento stykování	
\rightarrow	<u>vyhovuje</u>	\rightarrow	není nutné navrh. smyk. výztuž	$\rho_1 =$	100%

deska		spodní výztuž	
		- beton C 30/37	- ocel B500 b
		$f_{ck} =$ 30,0 MPa	$f_{yk} =$ 490,0 MPa
		$f_{cd} =$ 17,0 MPa	$f_{yd} =$ 426,1 MPa
<u>- zatížení</u>		$f_{ctm} =$ 2,03 MPa	$\gamma_y =$ 1,15
$M_{Ed} =$ 35,0 kNm		$\gamma_c =$ 1,5	$E_s =$ 210 GPa
		$E_{cm} =$ 32,84 GPa	
<u>- zatížení redistribuce</u>		$v_1 =$ 0,528	
$M_{Ed} =$ 35,0 kNm			
$V_{ed} =$ 30,0 kNm			
	- krytí výztuže		- průřez
- odhad výztuže	$c =$ 30 mm		$b =$ 1,00 m
$A_{sd} =$ 3,56E-04 m²	- výztuž		$d =$ 0,235 m
$A_s =$ 5,24E-04 m²	$\phi =$ 10 mm		$h_{bet} =$ 270 mm
- min. vyztužení	1 / ϕR 150 mm		
$A_{s,min} =$ 2,53E-04 m²			
0,0013.b.d			
$=$ 3,06E-04 m²			
A_s			
$> A_{s,min} \rightarrow$	vyhovuje		
$A_{s,max} =$ 9,40E-03 m²			
- rameno vnitřních sil	- posouvající síla		
$z_c =$ 0,228 m	$V_{Rd,cm} =$ 102,1 kN		
	$C_{Rd,c} =$ 0,12		
- neutrální osa	$k =$ 1,92		
$x =$ 0,016 m	$\rho_1 =$ 2,23E-03		
$x_{lim} = x_{lim} \cdot d =$ 0,146 m	$v_{min} \cdot b_w \cdot d =$ 120,1 kN		
$x_{max} = 0,45 \cdot d =$ 0,106 m	$V_{Rd,cm} =$ 120,1 kN		
$M_{Rd} =$ 50,96 kNm	$V_{ed} =$ 30,0 kN		
$M_{Ed} =$ 35,00 kNm			
\rightarrow	\rightarrow není nutné navrh. smyk. výztuž		

deska 2np		horní výztuž x	
		- beton C 30/37	- ocel B500 b
		$f_{ck} = 30,0$ MPa	$f_{yk} = 490,0$ MPa
		$f_{cd} = 17,0$ MPa	$f_{yd} = 426,1$ MPa
		$f_{ctm} = 2,03$ MPa	$\gamma_y = 1,15$
		$\gamma_c = 1,5$	$E_s = 210$ GPa
		$E_{cm} = 32,84$ GPa	
		$v_1 = 0,528$	
- <u>zatížení</u>		- <u>krytí výztuže</u>	- <u>průřez</u>
$M_{Ed} = 50,0$ kNm		$c = 45$ mm	$b = 1,00$ m
$V_{ed} = 140,0$ kNm		- <u>výztuž</u>	$d = 0,219$ m
- <u>odhad výztuže</u>		$\phi = 12$ mm	$h_{bet} = 270$ mm
$A_{sd} = 5,53E-04$ m ²		1 / ϕR 170 mm	
$A_s = 6,65E-04$ m ²			
- <u>min. vyztužení</u>			
$A_{s,min} = 2,36E-04$ m ²			
$0,0013.b.d = 2,85E-04$ m ²			
$A_s > A_{s,min} \rightarrow$ vyhovuje			
$A_{s,max} = 8,76E-03$ m ²			
- <u>rameno vnitřních sil</u>		- <u>posouvající síla</u>	- <u>kotevní délka výztuže</u>
$z_c = 0,211$ m		$V_{Rd,cm} = 107,4$ kN	$f_{bd} = 3,0$ MPa
- <u>neutrální osa</u>		$C_{Rd,c} = 0,12$	$l_{b,rqd} = 352$ mm
$x = 0,021$ m		$k = 1,96$	$\sigma_{sd} = 357$ MPa
$x_{lim} = x_{lim} . d = 0,136$ m		$\rho_1 = 3,04E-03$	$l_{bd} = 246$ mm
$x_{max} = 0,45 . d = 0,099$ m		$v_{min}.b_w . d = 114,8$ kN	$l_{b,min} = 211$ mm
			- kotevní délka $\rightarrow 250$ mm
			- <u>stykování výztuže</u>
			$l_{bd} = 307$ mm

$M_{Rd} = 59,72 \text{ kNm}$	$V_{Rd,cm} = 114,8 \text{ kN}$	$l_{b,min} = 120 \text{ mm}$
$M_{Ed} = 50,00 \text{ kNm}$	$V_{ed} = 140,0 \text{ kN}$	- procento stykování
→ <u>vyhovuje</u>	→ je nutno navrhnout smykovou výztuž	$\rho_1 = 100\%$

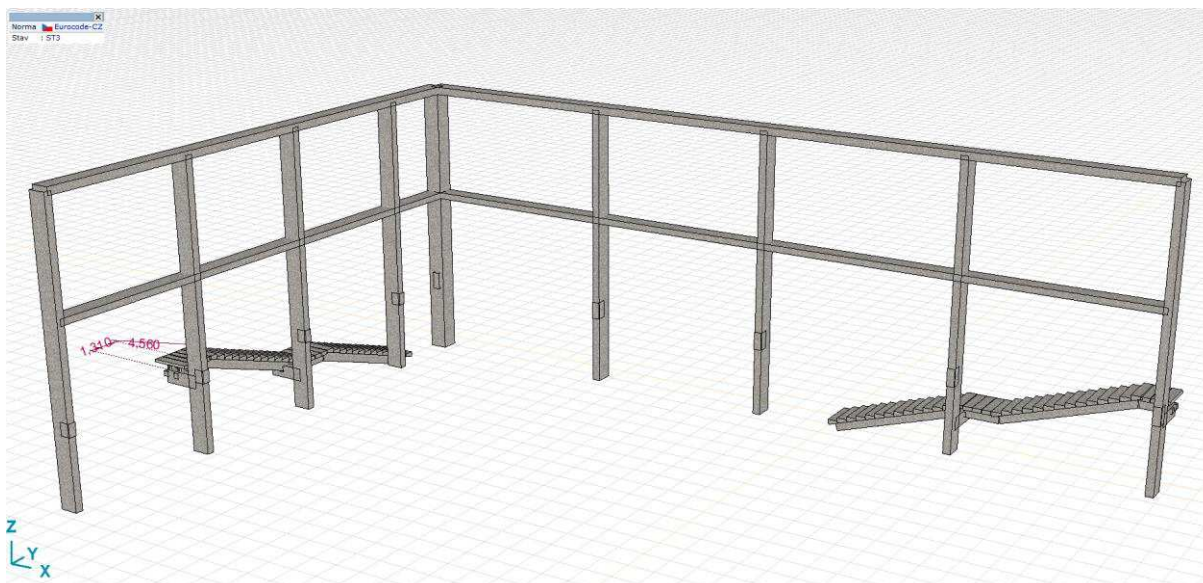
deska	spodní výztuž – 2np	
- beton C30/37 XC1	- ocel B500 b	
$f_{ck} = 30,0 \text{ MPa}$	$f_{yk} = 490,0 \text{ MPa}$	
$f_{cd} = 17,0 \text{ MPa}$	$f_{yd} = 426,1 \text{ MPa}$	
$f_{ctm} = 2,03 \text{ MPa}$	$\gamma_y = 1,15$	
$\gamma_c = 1,5$	$E_s = 210 \text{ GPa}$	
$E_{cm} = 32,84 \text{ GPa}$		
$v_1 = 0,528$		
- <u>zatížení</u>	- <u>průřez</u>	
$M_{Ed} = 35,0 \text{ kNm}$	$b = 1,00 \text{ m}$	
$V_{ed} = 30,0 \text{ kNm}$	$d = 0,235 \text{ m}$	
- <u>odhad výztuže</u>	$h_{bet} = 270 \text{ mm}$	
$A_{sd} = 3,56E-04 \text{ m}^2$		
$A_s = 5,24E-04 \text{ m}^2$		
- <u>min. vyztužení</u>		
$A_{s,min} = 2,53E-04 \text{ m}^2$		
$0,0013 \cdot b \cdot d = 3,06E-04 \text{ m}^2$		
$A_s > A_{s,min} \rightarrow$ vyhovuje	- <u>kotevní délka výztuže</u>	
$A_{s,max} = 9,40E-03 \text{ m}^2$	$f_{bd} = 3,0 \text{ MPa}$	
- <u>rameno vnitřních sil</u>	$l_{b,rqd} = 241 \text{ mm}$	
$z_c = 0,228 \text{ m}$	$\sigma_{sd} = 292,6 \text{ MPa}$	
- <u>neutrální osa</u>	$l_{bd} = 168 \text{ mm}$	
$x = 0,016 \text{ m}$	$l_{b,min} = 144 \text{ mm}$	
$x_{lim} = x_{lim} \cdot d = 0,146 \text{ m}$	- <u>kotevní délka</u> → 200 mm	
$x_{max} = 0,45 \cdot d = 0,106 \text{ m}$	- <u>stykování výztuže</u>	
$M_{Rd} = 50,96 \text{ kNm}$	$l_{bd} = 172 \text{ mm}$	
$M_{Ed} = 35,00 \text{ kNm}$	$l_{b,min} = 100 \text{ mm}$	
→ <u>vyhovuje</u>	- <u>procento stykování</u>	
	$\rho_1 = 100\%$	

deska střecha	horní výztuž x	
- beton C 30/37	- ocel B500 b	
$f_{ck} = 30,0 \text{ MPa}$	$f_{yk} = 490,0 \text{ MPa}$	
$f_{cd} = 17,0 \text{ MPa}$	$f_{yd} = 426,1 \text{ MPa}$	
$f_{ctm} = 2,03 \text{ MPa}$	$\gamma_y = 1,15$	
$\gamma_c = 1,5$	$E_s = 210 \text{ GPa}$	
$E_{cm} = 32,84 \text{ GPa}$		
$v_1 = 0,528$		
- <u>zatížení</u>	- <u>průřez</u>	
$M_{Ed} = 30,0 \text{ kNm}$	$b = 1,00 \text{ m}$	
$V_{ed} = 85,0 \text{ kNm}$	$d = 0,224 \text{ m}$	
- <u>odhad výztuže</u>	$h_{bet} = 270 \text{ mm}$	
$A_{sd} = 3,20E-04 \text{ m}^2$		
$A_s = 6,28E-04 \text{ m}^2$		
- <u>min. vyztužení</u>		
$A_{s,min} = 2,41E-04 \text{ m}^2$		
$0,0013 \cdot b \cdot d = 2,91E-04 \text{ m}^2$		
$A_s > A_{s,min} \rightarrow$ vyhovuje	- <u>kotevní délka výztuže</u>	
$A_{s,max} = 8,96E-03 \text{ m}^2$	$f_{bd} = 3,0 \text{ MPa}$	
	$l_{b,rqd} = 218 \text{ mm}$	

- rameno vnitřních sil	- posouvající síla	$\sigma_{sd} =$	221 MPa
$z_c =$	$V_{Rd,cm} =$	$l_{bd} =$	153 mm
$z_c =$	$0,216$ m	$C_{Rd,c} =$	0,12
- neutrální osa	$k =$	$l_{b,min} =$	131 mm
$x =$	1,94	- kotevní délka \rightarrow	200 mm
$x_{lim} = x_{lim} \cdot d =$	$\rho_1 =$	- stykování výztuže	
$0,139$ m	2,80E-03	$l_{bd} =$	117 mm
$x_{max} = 0,45 \cdot d =$	$v_{min} \cdot b_w \cdot d =$	$l_{b,min} =$	120 mm
$0,101$ m	116,5 kN	- procento stykování	
$M_{Rd} =$	$V_{Rd,cm} =$	$\rho_1 =$	100%
57,86 kNm	116,5 kN		
$M_{Ed} =$	$V_{ed} =$		
30,00 kNm	85,0 kN		
\rightarrow	<u>vyhovuje</u>		
	\rightarrow není nutné navrh. smyk. výztuž		

deska	spodní výztuž
- zatížení	- beton C30/37 XC1
$M_{Ed} =$	$f_{ck} =$
30,0 kNm	30,0 MPa
$V_{ed} =$	$f_{cd} =$
30,0 kNm	17,0 MPa
- odhad výztuže	$f_{ctm} =$
$A_{sd} =$	2,03 MPa
$3,05E-04$ m ²	$\gamma_c =$
$A_s =$	1,5
$4,36E-04$ m ²	$E_{cm} =$
- min. vyztužení	32,84 GPa
$A_{s,min} =$	$v_1 =$
$2,53E-04$ m ²	0,528
$0,0013 \cdot b \cdot d =$	- krytí výztuže
$3,06E-04$ m ²	$c =$
$A_s > A_{s,min} \rightarrow$	30 mm
vyhovuje	- výztuž
$A_{s,max} =$	$\phi =$
$9,40E-03$ m ²	10 mm
- rameno vnitřních sil	1 / ϕR 180 mm
$z_c =$	- posouvající síla
$0,230$ m	$V_{Rd,cm} =$
- neutrální osa	96,1 kN
$x =$	$C_{Rd,c} =$
$0,014$ m	0,12
$x_{lim} = x_{lim} \cdot d =$	$k =$
$0,146$ m	1,92
$x_{max} = 0,45 \cdot d =$	$\rho_1 =$
$0,106$ m	1,86E-03
$M_{Rd} =$	$v_{min} \cdot b_w \cdot d =$
42,67 kNm	120,1 kN
$M_{Ed} =$	$V_{Rd,cm} =$
30,00 kNm	120,1 kN
\rightarrow	$V_{ed} =$
<u>vyhovuje</u>	30,0 kN
	\rightarrow není nutné navrh. smyk. výztuž
	- průřez
	$b =$
	1,00 m
	$d =$
	0,235 m
	$h_{bet} =$
	270 mm
	- kotevní délka výztuže
	$f_{bd} =$
	3,0 MPa
	$l_{b,rqd} =$
	246 mm
	$\sigma_{sd} =$
	299,5 MPa
	$l_{bd} =$
	172 mm
	$l_{b,min} =$
	148 mm
	- kotevní délka \rightarrow
	200 mm
	- stykování výztuže
	$l_{bd} =$
	180 mm
	$l_{b,min} =$
	100 mm
	- procento stykování
	$\rho_1 =$
	100%

3 venkovní montovaná ŽB konstrukce (prefa)



Dokument Přehled

3.1 Data modelu

Materiály

Jméno	Typ	Národní návrhová norma	Norma materiálu	Model	E_x [N/mm ²]	E_y [N/mm ²]
1 C30/37	Beton	Eurocode-CZ	EN 206	Lineární	32800	32800
2 C40/50	Beton	Eurocode-CZ	EN 206	Lineární	35200	35200

Jméno	ν	α_T [1/°C]	ρ [kg/m ³]	Materiál barva	Obrys barva	Textura	P_1	P_2	P_3
1 C30/37	0,20	1E-5	2500	■	Concrete A	f_{ck} [N/mm ²] = 30,00	$\gamma_c = 1,500$	$\alpha_{cc} = 1,00$
2 C40/50	0,20	1E-5	2500	■	Concrete A	f_{ck} [N/mm ²] = 40,00	$\gamma_c = 1,500$	$\alpha_{cc} = 1,00$

Zatěžovací stavy

Jméno	Skupina	Typ skupiny
1 ST1	PERM1	Stálé
2 ST2	PERM1	Stálé
3 ST3	PERM1	Stálé
4 Q1	INC1	Nahodilé
5 Q2	INC1	Nahodilé
6 Q3	INC1	Nahodilé

Skupiny zatížení (Eurocode-CZ)

Skupina	Typ	$\gamma_{G,sup}$	$\gamma_{G,inf}$	ξ	γ	Ψ_0	Ψ_1	Ψ_2	Současné zat.
1 PERM1	Stálé	1,350	1,000	0,850					1
2 INC1	Nahodilé				1,500	1,000	1,000	1,000	0

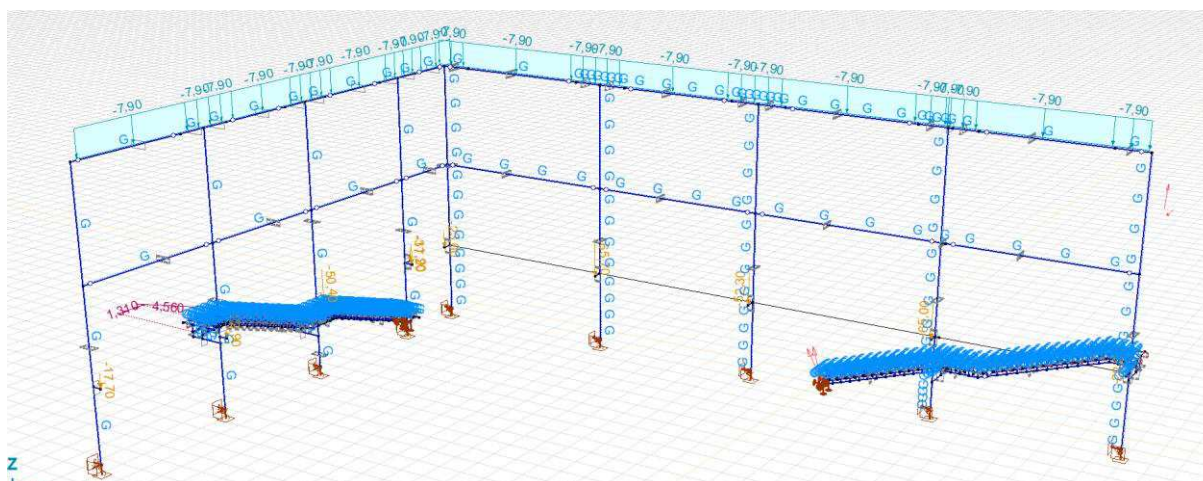
Uzlové podpory

	Uzel	X [m]	Y [m]	Z [m]	Typ	Jméno _x	K _x [kN/m]	K _{xv} [kN/m]	Jméno _y	K _y [kN/m]	K _{yv} [kN/m]
1	71	0	0,250	-0,300	Glob.	Tuhý - Translační	1E+10	1E+10	Tuhý - Translační	1E+10	1E+10
2	105	0	-0,250	-0,300	Glob.	Tuhý - Translační	1E+10	1E+10	Tuhý - Translační	1E+10	1E+10
3	146	-18,625	-1,200	0	Glob.	Tuhý - Translační	1E+10	1E+10	Tuhý - Translační	1E+10	1E+10
4	144	-10,425	-1,200	0	Glob.	Tuhý - Translační	1E+10	1E+10	Tuhý - Translační	1E+10	1E+10
5	142	-2,925	-1,200	0	Glob.	Tuhý - Translační	1E+10	1E+10	Tuhý - Translační	1E+10	1E+10
6	140	5,075	-1,200	0	Glob.	Tuhý - Translační	1E+10	1E+10	Tuhý - Translační	1E+10	1E+10
7	138	12,670	-1,200	0	Glob.	Tuhý - Translační	1E+10	1E+10	Tuhý - Translační	1E+10	1E+10
8	735	-18,625	-22,460	0	Glob.	Tuhý - Translační	1E+10	1E+10	Tuhý - Translační	1E+10	1E+10
9	733	-18,625	-16,060	0	Glob.	Tuhý - Translační	1E+10	1E+10	Tuhý - Translační	1E+10	1E+10
10	731	-18,625	-10,410	0	Glob.	Tuhý - Translační	1E+10	1E+10	Tuhý - Translační	1E+10	1E+10
11	729	-18,625	-4,510	0	Glob.	Tuhý - Translační	1E+10	1E+10	Tuhý - Translační	1E+10	1E+10
12	763	-19,575	-3,090	-0,300	Glob.	Tuhý - Translační	1E+10	1E+10	Tuhý - Translační	1E+10	1E+10
13	796	-20,075	-3,090	-0,300	Glob.	Tuhý - Translační	1E+10	1E+10	Tuhý - Translační	1E+10	1E+10

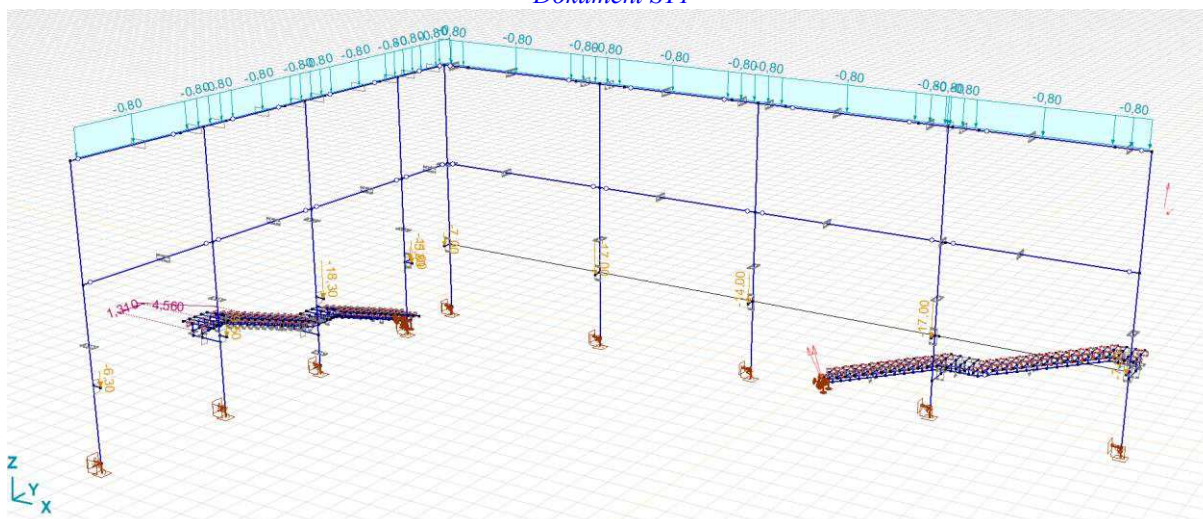
	Uzel	Jméno _z	K _z [kN/m]	K _{zv} [kN/m]	Jméno _{xx}	K _{xx} [kNm/rad]	K _{xxv} [kNm/rad]	Jméno _{yy}	K _{yy} [kNm/rad]
1	71	Tuhý - Translační	1E+10	1E+10	—	—	—	—	—
2	105	Tuhý - Translační	1E+10	1E+10	—	—	—	—	—
3	146	Tuhý - Translační	1E+10	1E+10	Tuhý - Rotační	1E+10	1E+10	Tuhý - Rotační	1E+10
4	144	Tuhý - Translační	1E+10	1E+10	Tuhý - Rotační	1E+10	1E+10	Tuhý - Rotační	1E+10
5	142	Tuhý - Translační	1E+10	1E+10	Tuhý - Rotační	1E+10	1E+10	Tuhý - Rotační	1E+10
6	140	Tuhý - Translační	1E+10	1E+10	Tuhý - Rotační	1E+10	1E+10	Tuhý - Rotační	1E+10
7	138	Tuhý - Translační	1E+10	1E+10	Tuhý - Rotační	1E+10	1E+10	Tuhý - Rotační	1E+10
8	735	Tuhý - Translační	1E+10	1E+10	Tuhý - Rotační	1E+10	1E+10	Tuhý - Rotační	1E+10
9	733	Tuhý - Translační	1E+10	1E+10	Tuhý - Rotační	1E+10	1E+10	Tuhý - Rotační	1E+10
10	731	Tuhý - Translační	1E+10	1E+10	Tuhý - Rotační	1E+10	1E+10	Tuhý - Rotační	1E+10
11	729	Tuhý - Translační	1E+10	1E+10	Tuhý - Rotační	1E+10	1E+10	Tuhý - Rotační	1E+10
12	763	Tuhý - Translační	1E+10	1E+10	—	—	—	—	—
13	796	Tuhý - Translační	1E+10	1E+10	—	—	—	—	—

	Uzel	K _{yyv} [kNm/rad]	Jméno _{zz}	K _{zz} [kNm/rad]	K _{zzv} [kNm/rad]
1	71	—	—	—	—
2	105	—	—	—	—
3	146	1E+10	Tuhý - Rotační	1E+10	1E+10
4	144	1E+10	Tuhý - Rotační	1E+10	1E+10
5	142	1E+10	Tuhý - Rotační	1E+10	1E+10
6	140	1E+10	Tuhý - Rotační	1E+10	1E+10
7	138	1E+10	Tuhý - Rotační	1E+10	1E+10
8	735	1E+10	Tuhý - Rotační	1E+10	1E+10
9	733	1E+10	Tuhý - Rotační	1E+10	1E+10
10	731	1E+10	Tuhý - Rotační	1E+10	1E+10
11	729	1E+10	Tuhý - Rotační	1E+10	1E+10
12	763	—	—	—	—
13	796	—	—	—	—

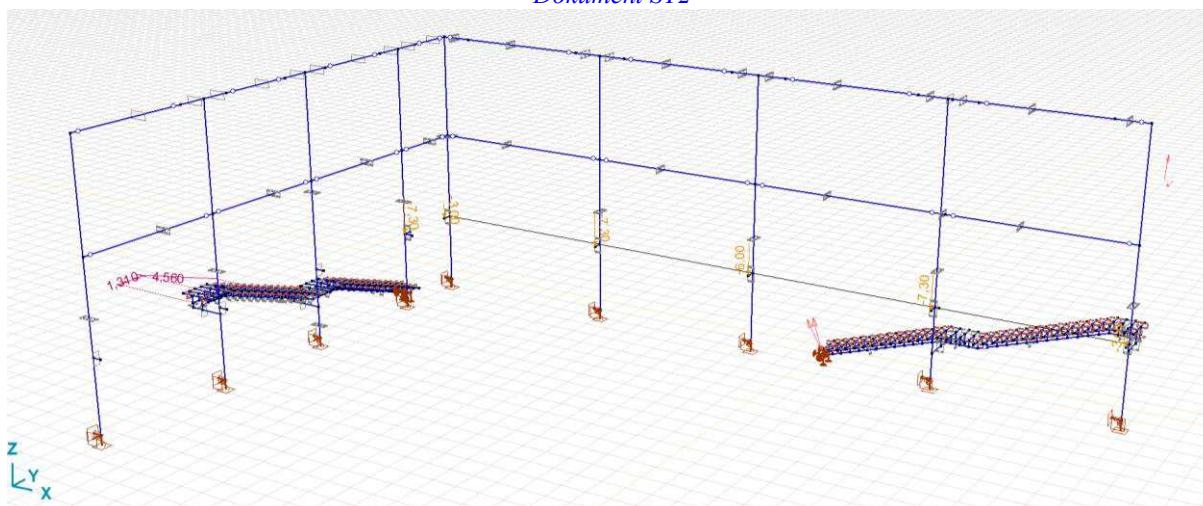
Celý model



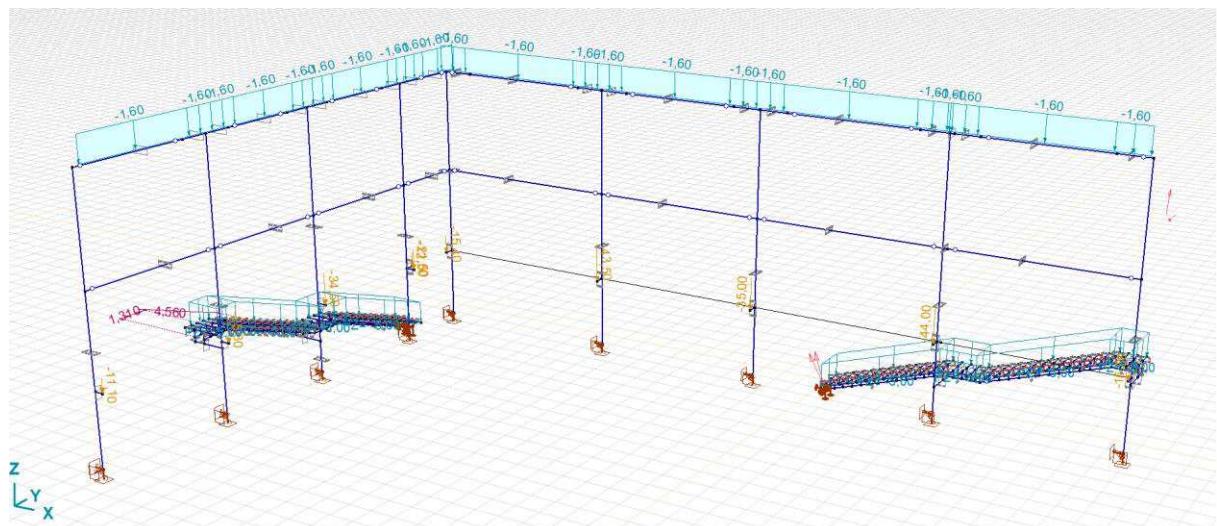
Dokument ST1



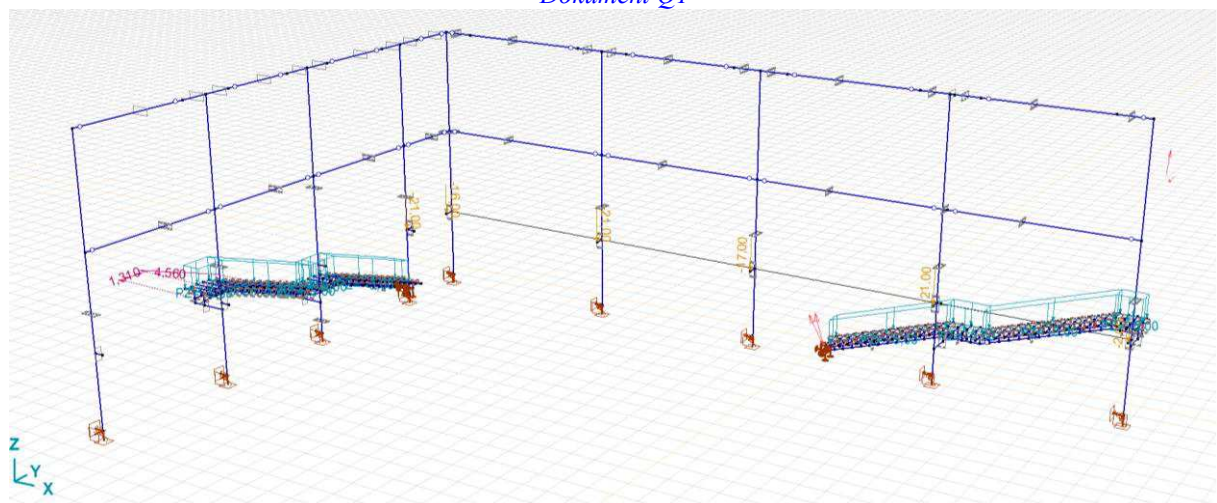
Dokument ST2



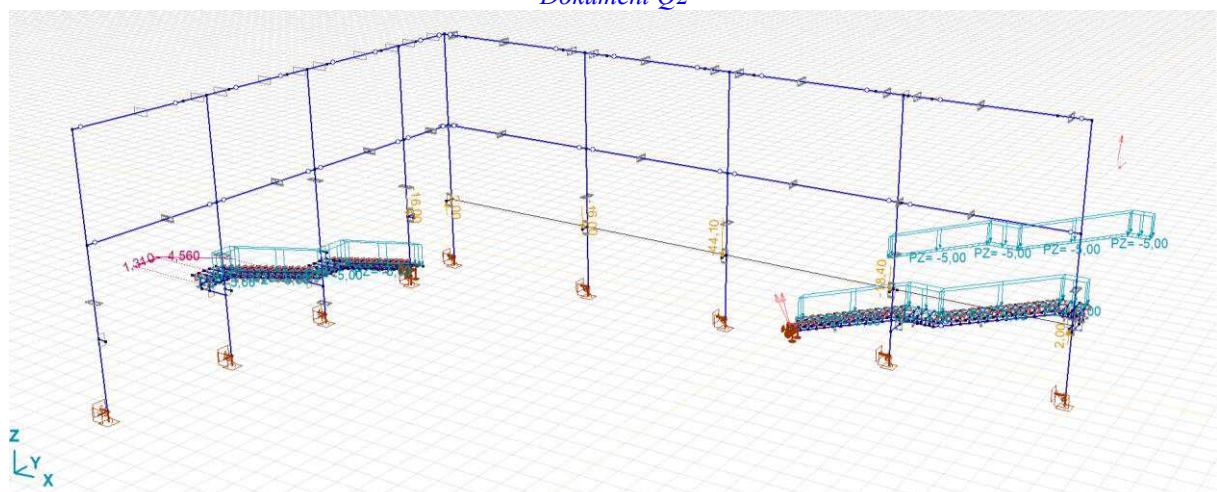
Dokument ST3



Dokument Q1



Dokument Q2



Dokument Q3

3.2 Lineární statická analýza

Posuny

Uzlové posunutí

Uzlové posunutí [Lineární, (MSP Kvazi-stálá) Kritická]

	C	min. max.	eX [mm]	eY [mm]	eZ [mm]	eR [mm]	fX [rad]	fY [rad]	fZ [rad]	fR [rad]	Kritická kombinace
—	—	—	—	—	—	—	—	—	—	—	—
850	eX	min	-3,444	-1,520	-5,920	7,015	-0,00090	-0,00475	0,00115	0,00497	[ST1+ST2+ST3] Q2
851		min	-3,444	-0,946	-3,553	5,038	-0,00090	-0,00472	0,00115	0,00494	[ST1+ST2+ST3] Q2
952		min	-3,444	-0,373	-1,193	3,664	-0,00090	-0,00472	0,00115	0,00494	[ST1+ST2+ST3] Q2
953		min	-3,444	-0,516	-1,783	3,913	-0,00090	-0,00472	0,00115	0,00494	[ST1+ST2+ST3] Q2
954		min	-3,444	-0,659	-2,373	4,234	-0,00090	-0,00472	0,00115	0,00494	[ST1+ST2+ST3] Q2
955		min	-3,444	-0,802	-2,963	4,613	-0,00090	-0,00472	0,00115	0,00494	[ST1+ST2+ST3] Q2
1022		min	-3,444	-2,095	-8,300	9,227	-0,00090	-0,00476	0,00115	0,00498	[ST1+ST2+ST3] Q2
1023		min	-3,444	-1,951	-7,705	8,662	-0,00090	-0,00476	0,00115	0,00498	[ST1+ST2+ST3] Q2
1024		min	-3,444	-1,807	-7,109	8,104	-0,00090	-0,00476	0,00115	0,00498	[ST1+ST2+ST3] Q2
1025		min	-3,444	-1,663	-6,514	7,554	-0,00090	-0,00476	0,00115	0,00498	[ST1+ST2+ST3] Q2
1026		min	-3,444	-1,089	-4,143	5,497	-0,00090	-0,00473	0,00115	0,00495	[ST1+ST2+ST3] Q2
1027		min	-3,444	-1,232	-4,735	5,983	-0,00090	-0,00473	0,00115	0,00495	[ST1+ST2+ST3] Q2
1028		min	-3,444	-1,376	-5,327	6,491	-0,00090	-0,00474	0,00115	0,00496	[ST1+ST2+ST3] Q2
730		max	4,834	-6,698	-0,248	8,264	0,00125	0,00068	0	0,00142	[ST1+ST2+ST3] Q1
1324		max	4,834	-6,698	-2,128	8,530	0,00171	0,00083	0	0,00190	[ST1+ST2+ST3] Q1
1325		max	4,834	-6,698	0,995	8,320	0,00094	0,00068	0	0,00116	[ST1+ST2+ST3] Q1
145	eY	min	3,022	-10,124	-0,331	10,571	0,00141	-0,00001	0	0,00141	[ST1+ST2+ST3] Q1
308		min	3,023	-10,124	-0,974	10,611	0,00158	-0,00079	0	0,00177	[ST1+ST2+ST3] Q1
309		min	3,023	-10,124	-0,805	10,596	0,00160	0,00058	0	0,00170	[ST1+ST2+ST3] Q1
708		min	3,022	-10,124	-0,404	10,573	0,00147	-0,00040	0	0,00152	[ST1+ST2+ST3] Q1
709		min	3,023	-10,124	-0,584	10,582	0,00151	-0,00065	0	0,00165	[ST1+ST2+ST3] Q1
710		min	3,023	-10,124	-0,827	10,598	0,00156	-0,00077	0	0,00174	[ST1+ST2+ST3] Q1
711		min	3,022	-10,124	-0,383	10,573	0,00147	0,00029	0	0,00150	[ST1+ST2+ST3] Q1
712		min	3,022	-10,124	-0,516	10,578	0,00153	0,00048	0	0,00160	[ST1+ST2+ST3] Q1
713		min	3,023	-10,124	-0,696	10,589	0,00157	0,00057	0	0,00167	[ST1+ST2+ST3] Q1
176		max	2,560	5,595	-18,056	19,075	-0,01563	-0,00025	-0,00197	0,01576	[ST1+ST2+ST3] Q3
177		max	1,578	5,595	-10,247	11,781	-0,01559	-0,00025	-0,00196	0,01571	[ST1+ST2+ST3] Q3
178		max	2,834	5,590	-18,213	19,261	-0,01581	0,00013	-0,00217	0,01596	[ST1+ST2+ST3] Q3
179		max	1,748	5,590	-10,314	11,861	-0,01577	0,00013	-0,00217	0,01592	[ST1+ST2+ST3] Q3
208		max	-0,378	5,595	5,295	7,713	-0,01553	-0,00024	-0,00195	0,01565	[ST1+ST2+ST3] Q3
209		max	0,599	5,595	-2,469	6,144	-0,01553	-0,00024	-0,00195	0,01566	[ST1+ST2+ST3] Q3
210		max	-0,415	5,590	5,409	7,789	-0,01571	0,00013	-0,00216	0,01586	[ST1+ST2+ST3] Q3
211		max	0,665	5,590	-2,446	6,138	-0,01571	0,00013	-0,00216	0,01586	[ST1+ST2+ST3] Q3
537		max	2,314	5,595	-16,102	17,203	-0,01563	-0,00025	-0,00197	0,01575	[ST1+ST2+ST3] Q3
538		max	2,069	5,595	-14,149	15,355	-0,01562	-0,00025	-0,00197	0,01575	[ST1+ST2+ST3] Q3
539		max	1,823	5,595	-12,197	13,542	-0,01561	-0,00025	-0,00196	0,01573	[ST1+ST2+ST3] Q3
540		max	2,562	5,590	-16,237	17,362	-0,01581	0,00013	-0,00217	0,01596	[ST1+ST2+ST3] Q3
541		max	2,291	5,590	-14,261	15,488	-0,01580	0,00013	-0,00217	0,01595	[ST1+ST2+ST3] Q3
542		max	2,019	5,590	-12,286	13,648	-0,01579	0,00013	-0,00217	0,01594	[ST1+ST2+ST3] Q3
603		max	-0,134	5,595	3,355	6,525	-0,01553	-0,00024	-0,00195	0,01565	[ST1+ST2+ST3] Q3
604		max	0,110	5,595	1,414	5,771	-0,01553	-0,00024	-0,00195	0,01565	[ST1+ST2+ST3] Q3
605		max	0,355	5,595	-0,528	5,631	-0,01553	-0,00024	-0,00195	0,01565	[ST1+ST2+ST3] Q3
606		max	1,333	5,595	-8,299	10,097	-0,01557	-0,00024	-0,00196	0,01569	[ST1+ST2+ST3] Q3
607		max	1,088	5,595	-6,355	8,536	-0,01555	-0,00024	-0,00196	0,01568	[ST1+ST2+ST3] Q3
608		max	0,843	5,595	-4,411	7,174	-0,01554	-0,00024	-0,00196	0,01567	[ST1+ST2+ST3] Q3
609		max	-0,145	5,590	3,445	6,568	-0,01571	0,00013	-0,00216	0,01586	[ST1+ST2+ST3] Q3
610		max	0,125	5,590	1,482	5,784	-0,01571	0,00013	-0,00216	0,01586	[ST1+ST2+ST3] Q3
611		max	0,395	5,590	-0,482	5,625	-0,01571	0,00013	-0,00216	0,01586	[ST1+ST2+ST3] Q3
612		max	1,477	5,590	-8,344	10,151	-0,01575	0,00013	-0,00217	0,01590	[ST1+ST2+ST3] Q3
613		max	1,206	5,590	-6,377	8,565	-0,01573	0,00013	-0,00216	0,01588	[ST1+ST2+ST3] Q3
614		max	0,936	5,590	-4,411	7,182	-0,01572	0,00013	-0,00216	0,01587	[ST1+ST2+ST3] Q3
178	eZ	min	2,834	5,590	-18,213	19,261	-0,01581	0,00013	-0,00217	0,01596	[ST1+ST2+ST3] Q3
210		max	-0,415	5,590	5,409	7,789	-0,01571	0,00013	-0,00216	0,01586	[ST1+ST2+ST3] Q3

	C	min. max.	eX [mm]	eY [mm]	eZ [mm]	eR [mm]	fX [rad]	fY [rad]	fZ [rad]	fR [rad]	Kritická kombinace
71	eR	min	0	0	0	<u>0</u>	-0,00046	0,00023	-0,00012	0,00053	[ST1+ST2+ST3]
178		max	2,834	5,590	-18,213	19,261	-0,01581	0,00013	-0,00217	0,01596	[ST1+ST2+ST3] Q3
178	fX	min	2,834	5,590	-18,213	19,261	-0,01581	0,00013	-0,00217	0,01596	[ST1+ST2+ST3] Q3
540		min	2,562	5,590	-16,237	17,362	-0,01581	0,00013	-0,00217	0,01596	[ST1+ST2+ST3] Q3
541		min	2,291	5,590	-14,261	15,488	-0,01580	0,00013	-0,00217	0,01595	[ST1+ST2+ST3] Q3
796		max	0	0	0	0	0,00312	-0,00306	0,00048	0,00439	[ST1+ST2+ST3] Q1
1043	fY	min	-3,260	-2,852	-9,417	10,365	0,00006	-0,00557	0,00155	0,00578	[ST1+ST2+ST3] Q2
1044		min	-3,260	-2,658	-8,721	9,683	0,00006	-0,00557	0,00155	0,00578	[ST1+ST2+ST3] Q2
1045		min	-3,260	-2,464	-8,025	9,006	0,00006	-0,00556	0,00155	0,00578	[ST1+ST2+ST3] Q2
102		max	0,589	0,462	-6,611	6,653	-0,00117	0,00371	-0,00001	0,00389	[ST1+ST2+ST3] Q3
180	fZ	min	2,964	5,466	-17,935	18,982	-0,01560	0,00047	-0,00226	0,01577	[ST1+ST2+ST3] Q3
543		min	2,682	5,466	-15,985	17,105	-0,01560	0,00047	-0,00226	0,01577	[ST1+ST2+ST3] Q3
544		min	2,399	5,465	-14,036	15,252	-0,01559	0,00047	-0,00226	0,01576	[ST1+ST2+ST3] Q3
1057		max	-2,884	-3,029	-8,944	9,874	0,00079	-0,00538	0,00163	0,00568	[ST1+ST2+ST3] Q2
1058		max	-2,884	-2,825	-8,272	9,204	0,00079	-0,00538	0,00163	0,00568	[ST1+ST2+ST3] Q2
1059		max	-2,884	-2,620	-7,599	8,540	0,00079	-0,00538	0,00163	0,00568	[ST1+ST2+ST3] Q2
1060		max	-2,884	-2,416	-6,927	7,883	0,00079	-0,00537	0,00163	0,00567	[ST1+ST2+ST3] Q2
138	fR	min	0	0	0	0	0	0	0	<u>0</u>	[ST1+ST2+ST3]
178		max	2,834	5,590	-18,213	19,261	-0,01581	0,00013	-0,00217	0,01596	[ST1+ST2+ST3] Q3
540		max	2,562	5,590	-16,237	17,362	-0,01581	0,00013	-0,00217	0,01596	[ST1+ST2+ST3] Q3
541		max	2,291	5,590	-14,261	15,488	-0,01580	0,00013	-0,00217	0,01595	[ST1+ST2+ST3] Q3

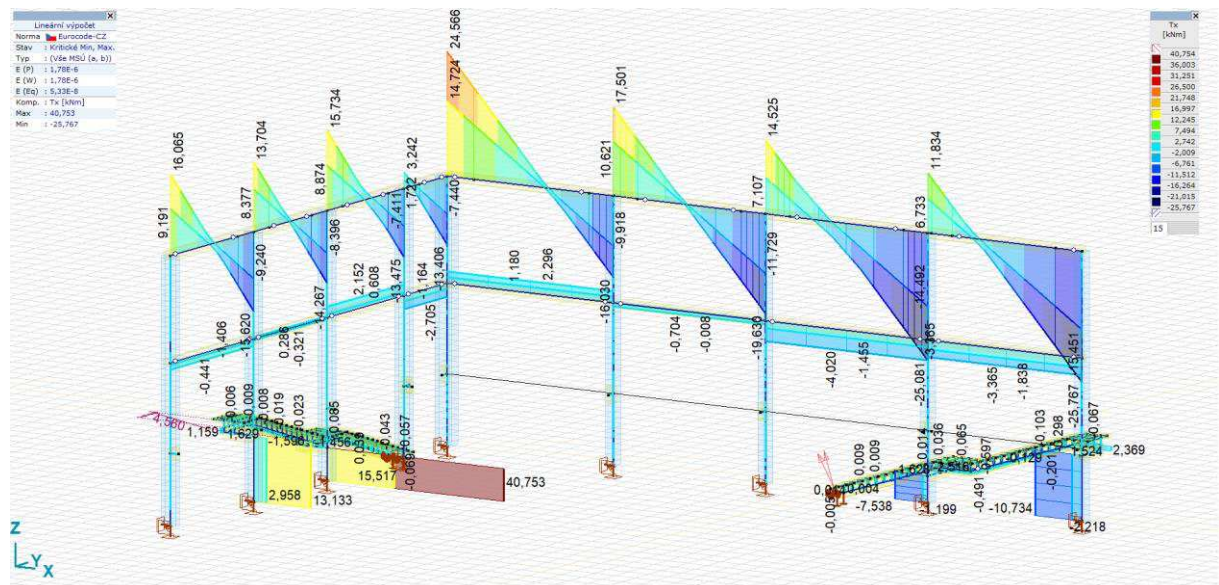
Vnitřní síly

Vnitřní síly v uzlové podpoře

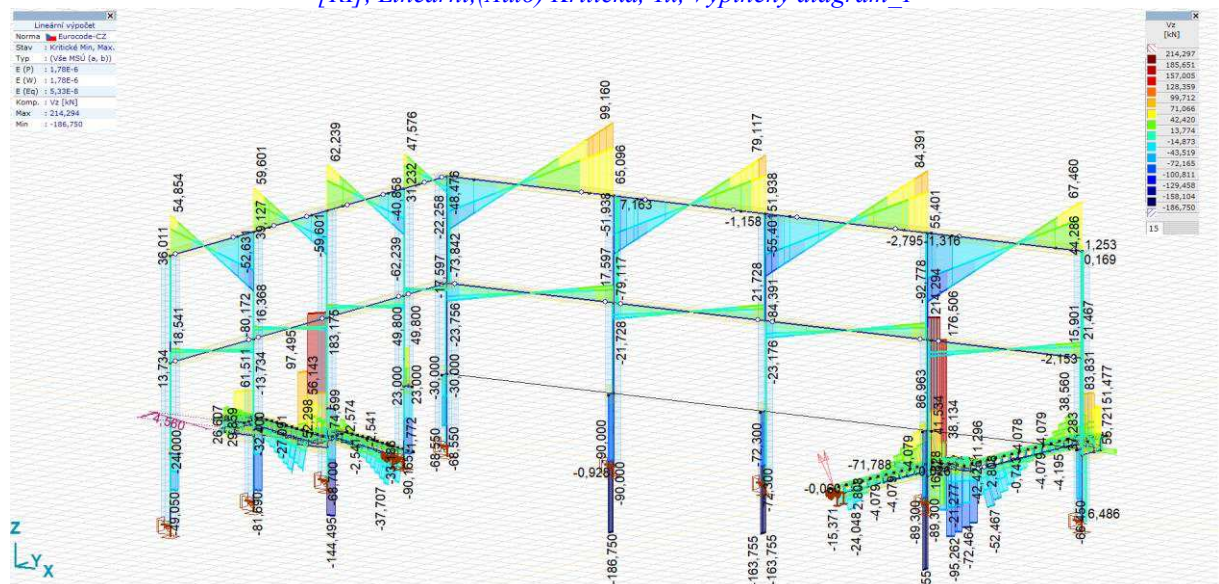
Vnitřní síly v uzlové podpoře [Lineární, (Vše MSÚ (a, b)) Kritická]

	Uzel	X [m]	Y [m]	Z [m]	Typ	C	min. max.	Rx [kN]	Ry [kN]	Rz [kN]	Rr [kN]
—	—	—	—	—	—	—	—	—	—	—	—
2	105	0	-0,250	-0,300	Glob. Rx	min	-34,338	-0,372	-9,470	35,622	
6	140	5,075	-1,200	0	Glob. max		25,543	1,522	-468,190	468,889	
10	731	-18,625	-10,410	0	Glob. Ry	min	1,118	-39,194	-561,885	563,251	
12	763	-19,575	-3,090	-0,300	Glob. max		-0,161	73,774	-58,715	94,287	
6	140	5,075	-1,200	0	Glob. Rz	min	-6,314	0,229	-702,647	702,676	
13	796	-20,075	-3,090	-0,300	Glob. max		-0,080	-29,703	-2,740	29,829	
6	140	5,075	-1,200	0	Glob. Rxx	min	24,591	1,545	-602,901	603,404	
4	144	-10,425	-1,200	0	Glob. max		-0,877	0	-489,425	489,425	
10	731	-18,625	-10,410	0	Glob. Ryy	min	1,118	-39,194	-561,885	563,251	
11	729	-18,625	-4,510	0	Glob. max		0	-5,014	-365,230	365,265	
7	138	12,670	-1,200	0	Glob. Rzz	min	-0,701	-0,722	-274,736	274,738	
10	731	-18,625	-10,410	0	Glob. max		1,118	-39,194	-561,885	563,251	

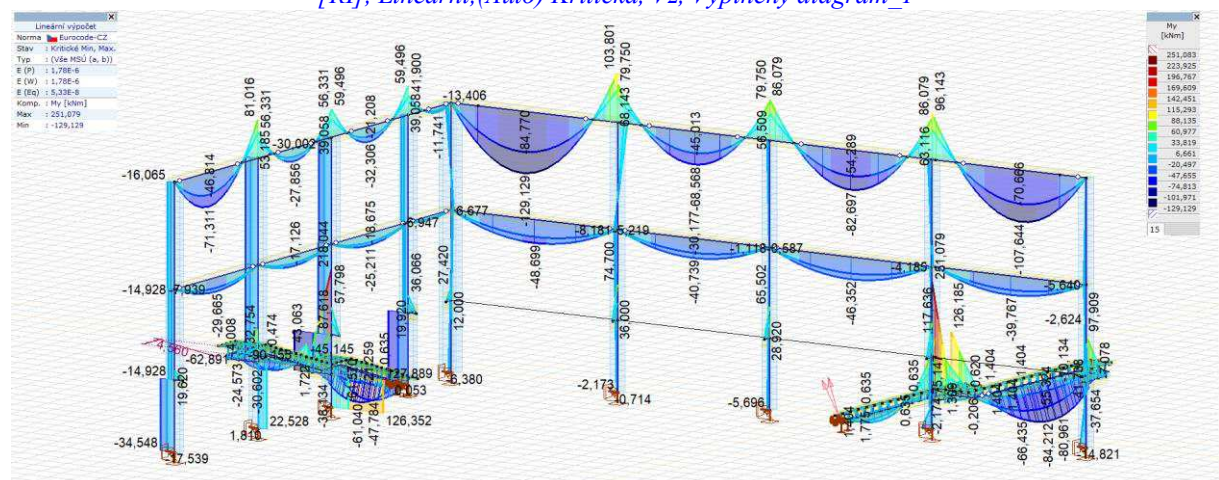
	Rxx [kNm]	Ryy [kNm]	Rzz [kNm]	Rrr [kNm]	Kritická kombinace
—	—	—	—	—	—
2					[ST1+ST2+ST3] 1,5*1*Q3
6	-145,726	25,208	-7,118	148,061	[ST1+ST2+ST3] 1,5*1*Q3
10	48,312	-126,352	40,753	141,279	[1,35*ST1+1,35*ST2+1,35*ST3] 1,5*1*Q1
12					[1,35*ST1+1,35*ST2+1,35*ST3] 1,5*1*Q3
6	-138,931	-0,747	-3,914	138,988	[1,35*ST1+1,35*ST2+1,35*ST3] 1,5*1*Q1
13					[ST1+ST2+ST3] 1,5*1*Q3
6	-160,794	25,238	-7,538	162,937	[1,35*ST1+1,35*ST2+1,35*ST3] 1,5*1*Q3
4	105,230	2,173	0	105,253	[1,35*ST1+1,35*ST2+1,35*ST3] 1,5*1*Q1
10	48,312	-126,352	40,753	141,279	[1,35*ST1+1,35*ST2+1,35*ST3] 1,5*1*Q1
11	13,555	47,709	0	49,597	[1,35*ST1+1,35*ST2+1,35*ST3] 1,5*1*Q1
7	-54,020	2,323	-10,734	55,125	[1,35*ST1+1,35*ST2+1,35*ST3] 1,5*1*Q3
10	48,312	-126,352	40,753	141,279	[1,35*ST1+1,35*ST2+1,35*ST3] 1,5*1*Q1



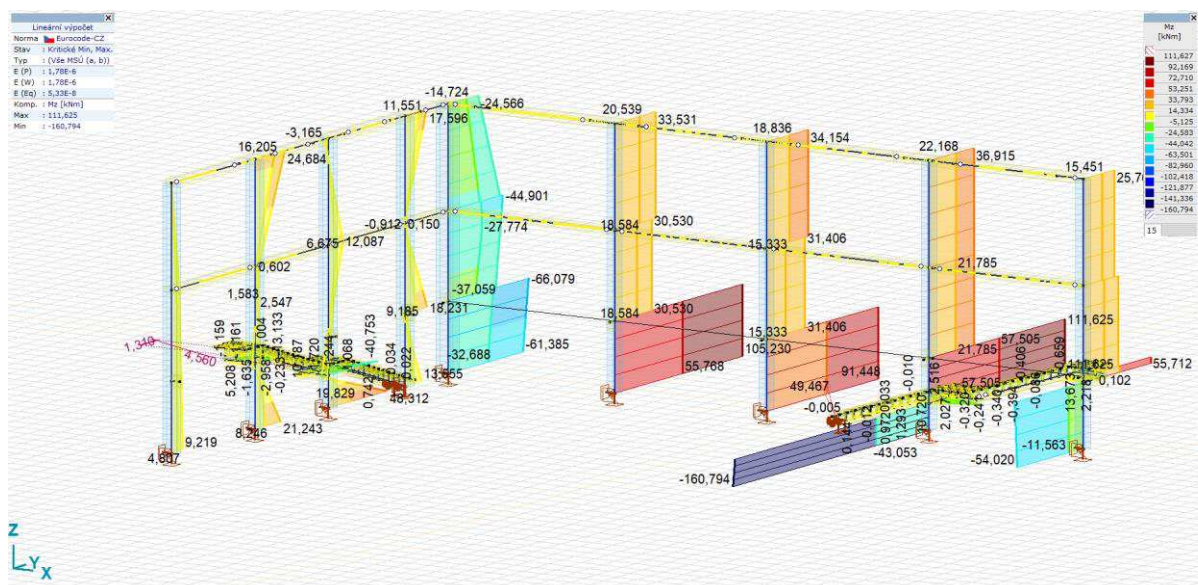
[RI], Lineární, (Auto) Kritická, Tx, Vyplněný diagram_1



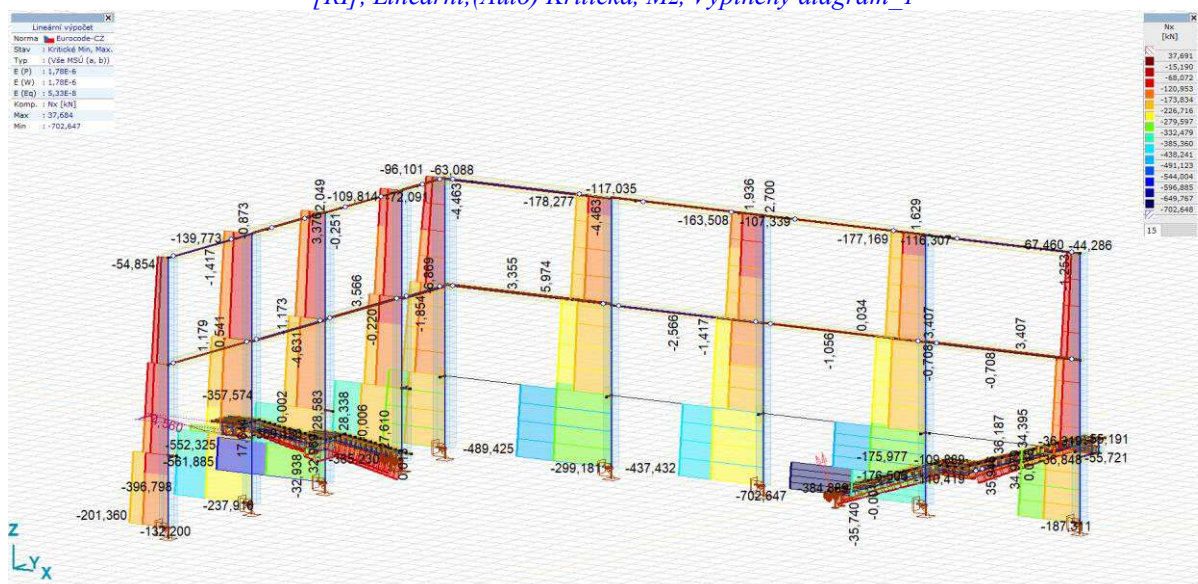
[RI], Lineární, (Auto) Kritická, Vz, Vyplněný diagram 1



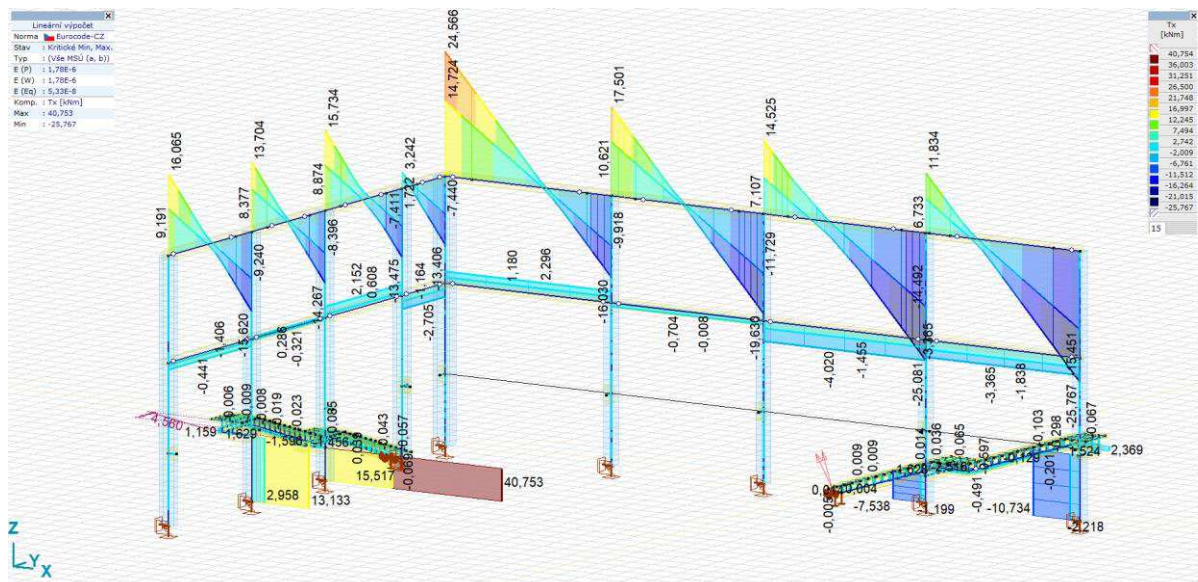
[RI], Lineární, (Auto) Kritická, My, Vyplněný diagram I



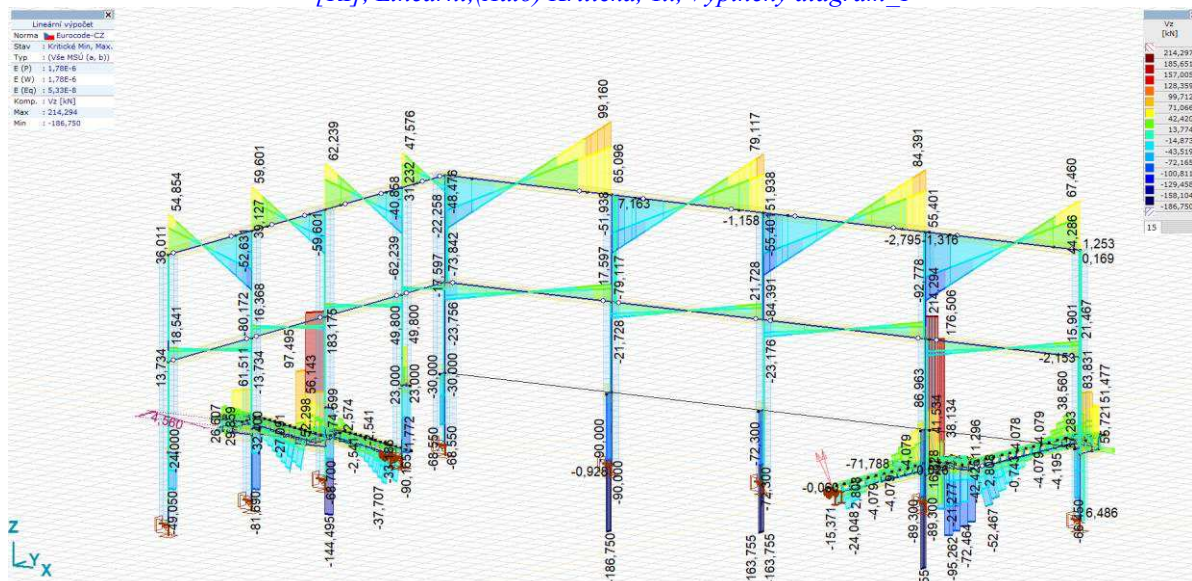
[RI], Lineární, (Auto) Kritická, Mz, Vyplněný diagram 1



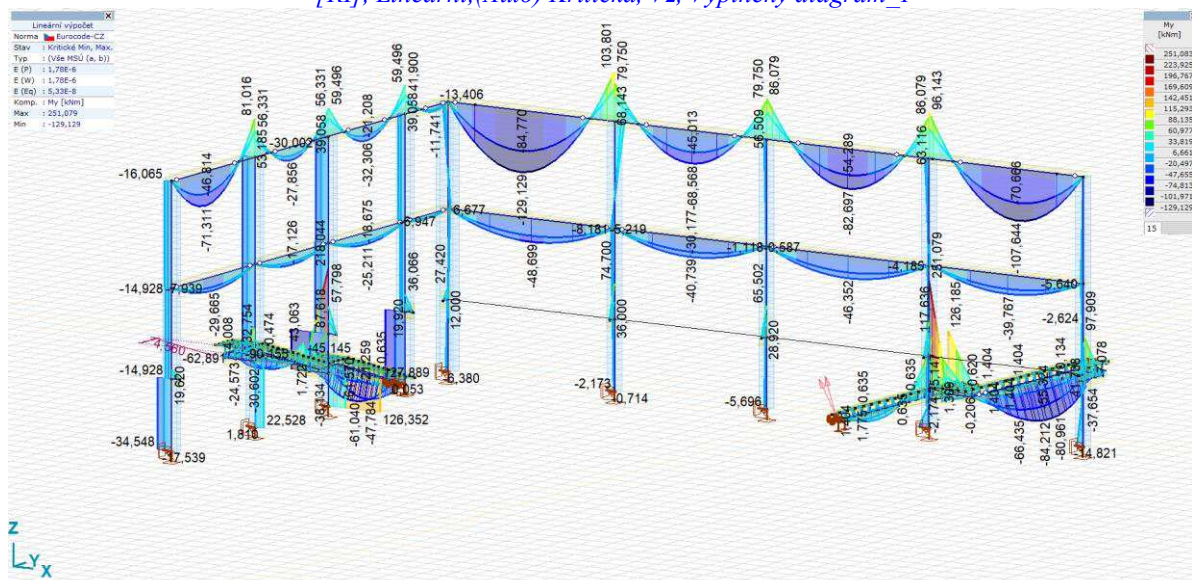
[RI], Lineární, (Auto) Kritická, Nx, Vyplněný diagram 1



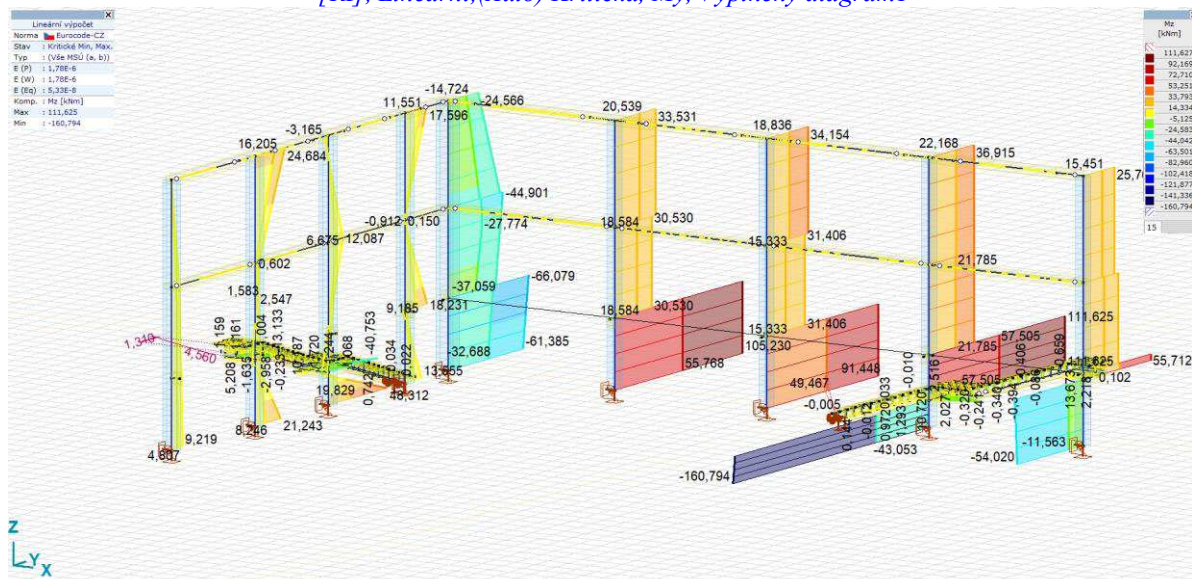
[RI], Lineární, (Auto) Kritická, Tx, Vyplněný diagram_1



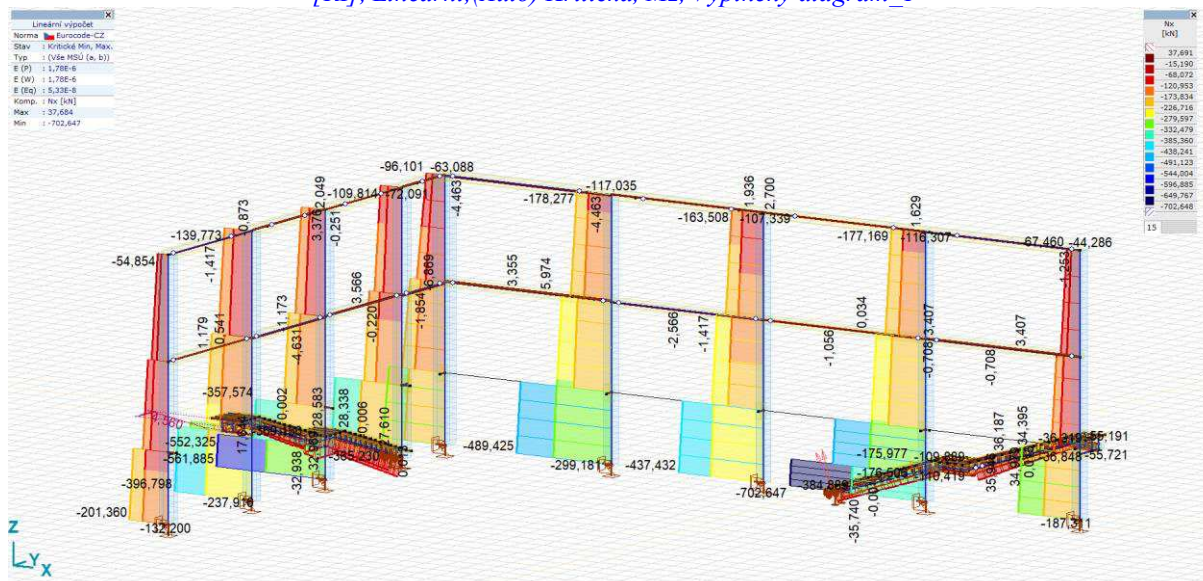
[RI], Lineární, (Auto) Kritická, Vz, Vyplněný diagram_1



[RI], Lineární, (Auto) Kritická, My, Vyplněný diagram_1



[RI], Lineární, (Auto) Kritická, Mz, Vyplněný diagram_1



[RI], Lineární, (Auto) Kritická, Nx, Vyplněný

4 spodní stavba a ZK – statické výpočty a posouzení

4.1 Inženýrsko-geologický průzkum

Přímo na místě stavby prozatím **nemohl být realizován podrobný geologický průzkum** (IGp + HGP), neboť zde stojí stávající bytový dům. Po jeho demolici, před realizací samotného objektu, musí investor zajistit dostatečně podrobný IGp a HGP přímo na staveništi. Byť neočekáváme zásadní odlišnosti v geologické skladbě základové půdy a tedy ani změnu koncepce zakládání, tak podrobný lokální IGp je zcela zásadní pro ověření správnosti dimenzí základových konstrukcí. Na základě výsledků průzkumu dojde k pře-posouzení návrhu založení stavby, zajištění stavební jámy a interakcí se spodní stavbou. Mohou být upraveny dimenze navržených konstrukcí, délky pilot a upřesněny materiály s ohledem na zjištěné agresivní vlivy zemního prostředí (dle laboratorních rozborů v rámci HGP).

Prezentovaný předběžný návrh založení a spodní stavby vychází hlavně z provedené rešerše základových poměrů [2]. Také jsme pro upřesnění geologického profilu využili archivní data z historických geologických sond. V blízkém okolí stavby jsme dohledali 2 historické vrty _vrt ID 439995 a ID 606533 z www.geology.cz [3].

4.1.1 geologie, IG profil, provedené průzkumy

Text je výňatkem anebo výtahem podstatných informací z geologické rešerše [2]:

Vlastní lokalita se nachází v prostoru okrajové části nízké terasy lemuující rozlehlou údolní nivou řeky Svitavy. Okraj údolní nivy není morfologicky patrný, poněvadž je maskován mocnými polohami navážek a vlastními historickými objekty. V jejich podloží se nacházejí středně plastické jíly – svrchní horizont náplavových sedimentů. Konzistence svrchního horizontu soudržných zemín je v rozsahu od tuhé, polotuhé až měkké. Jak vyplývá z výsledků průzkumných prací a archivních materiálů mocnost těchto souvrství jemnozrnných zemín zařazeny do třídy CI, místy se štěrkopísčitémi polohami, která jsou relativně stálá a jejich báze je vyvinuta v hloubkovém horizontu cca 3-4 m p.t. V jejich podloží se nachází horizont zvodnělých středně až hrubozrnných písků se štěrky, kdy se jedná o okraj údolní terasy. Zahliněné písky se štěrky a písčité štěrky, jsou středně ulehle s dobře opracovanými valouny třídy GM. Mocnost tohoto horizontu, která se pohybuje v dané části území v rozmezí cca 0,5-1,0 m, je závislá na úrovni svrchní vrstevní plochy podložních neogenních jíků, které jsou vápnité, vysoce plastické, tuhé směrem do podloží pevné konzistence a jsou zařazeny do třídy CH.

Hladina podzemní vody se vyskytuje v hloubkové úrovni cca 5,0-6,0 m p.t., je vázaná na horizonty průlinčitého kolektoru podložních štěrkopísků v daných hloubkových úrovních. Ve smyslu ČSN EN 206-1, tabulka 2 se z hlediska chemického působení vody na beton vyskytuje na lokalitě slabě agresivní chemické prostředí (XA1) a to vzhledem k zvýšené koncentraci síranů a výskytu CO₂, z hlediska chemického působení vody na ocel je agresivita podle tab. 1 a 2 velmi vysoká (IV.)

Uvažovaný IG profil – rešerše / geofond:

0,00 ÷ 0,50 m	Navážka GT1
0,50 ÷ 3,80 m	Hlína jílovitá písčité tuhá CI
3,80 ÷ 4,70 m	Zahliněné písky se štěrky
4,70 ÷ 5,70 m	Písčité štěrky GM – středně ulehlý
5,70 ÷ 10,0 m	Plastické jíly – konzistence tuhá až pevná CH-CV

➔ hladina podzemní vody je odhadována na úrovni 5,0 m.

4.2 spodní stavba

Spodní stavba budovy školy zahrnuje suterénní prostory a venkovní technologický prostor v anglickém dvorku, který slouží k přívodu vzduchu k zařízením ve strojovně VZT. Spodní stavba je prakticky výhradně navržena jako monolitické ŽB konstrukce z betonu pevnostní třídy C30/37 a skládá se ze základové desky, snížených jímek, pro VŠ, obvodových stěn s nosnou i opěrnou funkcí a vnitřních nosných stěn i stropní desky suterénu. SS funguje jako tuhý celek, který transponuje reakce horní stavby, skeletu a betonových stěn, do pilot, odolává okolnímu zemnímu tlaku a izoluje proti vnikání podzemní vody do stavby. ZD i suterénní stěny jsou z vnější strany doplněny hydroizolací. Základová deska mezi osami 4-5 na úrovni -0,250 je stejně jako konstrukce anglického dvorku oddílována od hlavní hmoty podzemní konstrukce stavby.

4.3 založení - piloty

Založení objektu je navrženo jako hlubinné na vrtaných velkopřůměrových pilotách, které budou v hlavě ukončené v monolitické hlavici, pásu nebo kalichu, jestliže se jedná o piloty pod sloupky. V případě pilot pod ZD suterénu končí zarovnáním ve vrstvě podkladního betonu. Piloty jsou navrženy jako osamělé, průměru 900 a 630 mm. Statický výpočet pilot byl proveden podle 2. mezního stavu (použitelnosti). Deformace a vnitřní síly v pilotách byly stanoveny výpočtem podle mezní zatěžovací křivky (dle teorie výpočtu Doc. Masopusta). Piloty byly posouzeny na 1. mezní stav dle výpočtu Šimek – Sedlecký. Geologie byla odhadnuta viz. 3.1.1. Návrh pilot vychází ze zatížení od horní stavby. Poloha pilot dle umístění sloupů a stěn. Piloty jsou navrženy na maximální sedání 10 mm. Podrobné informace o každé pilotě jsou uvedeny ve statickém výpočtu (d.1.2. 02), v „tabulce pilot“.

Piloty budou vyztuženy armokošem kruhového průřezu z oceli B500 B. Vrtání se předpokládá spirálovým vrtákem, popřípadě šapou, pod ochranou ocelových výpažnic ve štěrčích. Po provedení vrtu do požadované hloubky bude osazen armokoš a následně se pilota zabetonuje betonem C25/30. Technologický postup v souladu s ČSN EN 1536.

Atypicky bude založena ŽB stěna v ose 1, kdy mezi E – H nelze z důvodu blízkosti sousedního domu provést vrtání velkopřůměrových pilot. Zde navrhujeme založení pásu pod stěnou pomocí 9 mikropilot, které tvoří ocelová silnostěnná trubka, přes kterou se provede tlaková betonáž kořene mikropiloty. Poukazuji na nutnost ověření tvaru i stavu zákalových konstrukcí stávajícího objektu a případně musí být návrh adekvátně upraven.

Konstrukční řešení založení

Založení objektu je navrženo jako hlubinné na vrtaných velkopřůměrových pilotách, které budou v hlavě chycené do monolitického roštu s hlavicemi v místě sloupů. Piloty jsou navrženy jako osamělé, průměru 900 a 630 mm. Veškeré podrobné informace o každé pilotě jsou uvedeny v příloze statického výpočtu - Tabulka pilot. Všechny piloty jsou vyztuženy armokošem kruhového průřezu z oceli B500 B. Vodorovná i výšková poloha pilot odpovídá koncepci a uspořádání konstrukce horní stavby budovy. Piloty budou vrtány spirálovým vrtákem, popřípadě šapou, pod ochranou ocelových výpažnic ve štěrčích. Po provedení vrtu do požadované hloubky bude osazen armokoš a následně se pilota zabetonuje betonem C25/30 XA1, S4 za použití sypákové roury, betonáž pod hladinou vody. Hlava piloty bude dostatečně přebetonována, aby v úrovni projektované hlavy piloty byl kvalitní beton (cca 0,3 m). Znehodnocená betonová směs se před zahájením prací na základovém roštu odbourá na požadovanou úroveň. Povolené odchylky jsou půdorysně v hlavě piloty 100 mm pro prům. 630 i 900 mm; úklon od svislice max. 2%. Technologický postup v souladu s ČSN EN 1536 pro provádění prací bude předán objednateli před zahájením prací. O každé pilotě bude vypracován protokol o vrtané pilotě. Pro provádění pilotového založení objektu musí dodavatel zemních prací zajistit zpevněnou a odvodněnou pracovní plošinu tak, aby umožnila pojezd pilotážní soupravy o hmotnosti cca 60 t.

4.3.1 Tabulka pilot

Číslo piloty	Maximální svislá tlaková síla návrhová F_{zd-max}	Maximální svislá tlaková síla charakteristická $F_{zch-max}$	Označení statického výpočtu	Úroveň hlavy piloty	Úroveň hlavy piloty	Průměr piloty	Počet pilot	Délka piloty	Výztuž piloty	Typ armokoše
[-]	[kN]	[kN]	[-]	[m]	[m n.m.]	[mm]	[ks]	[m]	[-]	[-]
19	2907	2122	A01	-4,050	197,850	900	1	20,0		
6	2694	1966	A02	-4,050	197,850	900	1	18,0		
9	2659	1941	A02	-4,050	197,850	900	1	18,0		
8	2493	1820	A02	-4,050	197,850	900	1	18,0		
7	2466	1800	A02	-4,050	197,850	900	1	18,0		
16	2348	1714	A02	-4,050	197,850	900	1	18,0		
18	2281	1665	A03	-4,900	197,000	900	1	15,0		
33	2170	1584	A03	-4,050	197,850	900	1	15,0		
20	2158	1575	A03	-4,050	197,850	900	1	15,0		
5	2000	1460	A04	-1,500	200,400	900	1	12,0		
37	1883	1374	A04	-4,050	197,850	900	1	12,0		
30	1871	1365	A04	-4,050	197,850	900	1	12,0		
31	1823	1331	A04	-4,050	197,850	900	1	12,0		
21	1700	1241	A04	-4,050	197,850	900	1	12,0		
32	1688	1232	A05	-4,050	197,850	900	1	11,0		
34	1652	1205	A05	-4,050	197,850	900	1	11,0		
29	1624	1185	A05	-4,050	197,850	900	1	11,0		
15	1547	1129	A05	-4,050	197,850	900	1	11,0		
27	1398	1020	A06	-4,050	197,850	900	1	9,0		
38	1361	993	A06	-4,050	197,850	900	1	9,0		
26	1347	983	A06	-4,850	197,050	900	1	9,0		
17	1346	982	A06	-4,050	197,850	900	1	9,0		
2	1200	876	A06	-1,500	200,400	630	1	10,0		
24	1102	804	A06	-4,050	197,850	900	1	9,0		
3	1100	803	A06	-1,500	200,400	900	1	9,0		
4	1100	803	A06	-1,500	200,400	900	1	9,0		
25	1092	797	A06	-4,050	197,850	900	1	9,0		
14	1000	730	A07	-4,050	197,850	900	1	7,0		
28	978	714	A07	-4,050	197,850	900	1	7,0		
22	912	666	A07	-4,050	197,850	900	1	7,0		
1	800	584	A07	-1,500	200,400	630	1	10,0		
39	800	584	0	0,000	201,900	630	1	9,0		
35	664	485	A08	-4,050	197,850	900	1	6,0		
36	624	455	A08	-4,050	197,850	900	1	5,0		
10	502	366	A08	-4,050	197,850	900	1	5,0		

45	500	365	B01	-1,700	200,200	630	1	7,0		
46	500	365	B01	-1,700	200,200	630	1	7,0		
47	500	365	B01	-1,700	200,200	630	1	7,0		
48	500	365	B01	-4,050	197,850	630	1	7,0		
49	500	365	B01	-4,050	197,850	630	1	7,0		
13	452	330	A07	-4,050	197,850	630	1	7,0		
42	450	328	B01	-4,050	197,850	630	1	7,0		
44	450	328	B01	-1,700	200,200	630	1	7,0		
23	434	317	A07	-4,050	197,850	630	1	7,0		
12	424	309	A07	-4,050	197,850	630	1	7,0		
41	400	292	B01	-1,700	200,200	630	1	7,0		
43	400	292	B01	-4,050	197,850	630	1	7,0		
40	300	219	B01	-1,700	200,200	630	1	7,0		
11	245	179	A07	-4,050	197,850	630	1	7,0		

4.3.2 výpočet a posouzení pilot

Posouzení piloty – A01

Vstupní data

Nastavení

Česká republika - původní normy ČSN (73 1001, 73 1002, 73 0037)

Materiály a normy

Betonové konstrukce : ČSN 73 1201 R
Ocelové konstrukce : ČSN 73 1401
Dřevěné konstrukce : EN 1995-1-1 (EC5)
Dílčí součinitel vlastností dřeva : $\gamma_M = 1,30$
Součinitel vlivu zatížení a vlhkosti (dřevo) : $k_{mod} = 0,50$
Součinitel šířky průřezu ve smyku (dřevo) : $k_{cr} = 0,67$






Piloty

Výpočet pro neodvodněné podmínky : Tomlinson
Zatěžovací křivka : lineární (Poulos)
Vodorovná únosnost : pružný poloprostor
Metodika posouzení : mezní stavy
Součinitele určit podle Komentáře k ČSN 73 1002




Součinitele redukce parametrů zemin			
Trvalá návrhová situace			
Součinitel redukce objemové tíhy zeminy :	$\gamma_{m\gamma} =$	1,00	[-]



Součinitele redukce únosnosti			
Trvalá návrhová situace			
Součinitel redukce odporu na plášti :	$\gamma_s =$	1,00	[-]
Součinitel redukce odporu na patě :	$\gamma_b =$	1,00	[-]
Součinitel redukce celkové svislé únosnosti :	$\gamma_t =$	1,10	[-]
Součinitel redukce únosnosti tažené piloty :	$\gamma_{st} =$	1,50	[-]






Základní parametry zemin

Číslo	Název	Vzorek	γ [kN/m ³]	ν [-]
1	Třída F8, konzistence měkká-tuhá		20,50	0,42
2	Třída S3, středně ulehlá		17,50	0,30
3	Třída G4		19,00	0,30
4	Třída F8, konzistence tuhá-pevná		20,50	0,42
5	Třída F8, konzistence pevná, $S_r > 0,8$		20,50	0,42





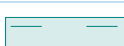
Pro výpočet tlaku v klidu jsou všechny zeminy zadány jako nesoudržné.

Číslo	Název	Vzorek	E_{oed} [MPa]	E_{def} [MPa]	γ_{sat} [kN/m ³]	γ_s [kN/m ³]	n [-]
1	Třída F8, konzistence měkká-tuhá		7,50	-	20,50	-	-
2	Třída S3, středně ulehlá		21,00	-	17,50	-	-
3	Třída G4		94,50	-	19,00	-	-

Číslo	Název	Vzorek	E_{oed} [MPa]	E_{def} [MPa]	γ_{sat} [kN/m ³]	γ_s [kN/m ³]	n [-]
4	Třída F8, konzistence tuhá-pevná		7,50	-	20,50	-	-
5	Třída F8, konzistence pevná, $S_r > 0,8$		-	8,00	20,50	-	-

Číslo	Název	Vzorek	c_u [kPa]	α [-]
1	Třída F8, konzistence měkká-tuhá		40,00	-
2	Třída S3, středně ulehlá		0,00	-
3	Třída G4		0,00	-
4	Třída F8, konzistence tuhá-pevná		40,00	-
5	Třída F8, konzistence pevná, $S_r > 0,8$		100,00	-

Parametry zemín pro výpočet modulu reakce podloží

Číslo	Název	Vzorek	β
1	Třída F8, konzistence měkká-tuhá		10,00
2	Třída S3, středně ulehlá		19,70
3	Třída G4		17,00
4	Třída F8, konzistence tuhá-pevná		8,00
5	Třída F8, konzistence pevná, $S_r > 0,8$		8,00

Geometrie

Profil piloty: kruhová

Rozměry

Průměr $d = 0,90$ m

Délka $l = 20,00$ m

Spočtené průřezové charakteristiky

Plocha $A = 6,36E-01$ m²

Moment setrvačnosti $I = 3,22E-02$ m⁴

Umístění

Vysazení $h = 0,00$ m

Hloubka upraveného terénu $h_z = 0,00$ m

Typ technologie: Vrtané piloty

Modul reakce podloží uvažován jako konstantní.

Materiál konstrukce

Objemová tíha $\gamma = 23,00$ kN/m³

Výpočet betonových konstrukcí proveden podle normy ČSN 73 1201 R.

Beton : B 25

Pevnost v tlaku $R_{bd} = 14,50$ MPa

Pevnost v tahu $R_{btd} = 1,05$ MPa

Modul pružnosti $E_b = 30000,00$ MPa

Modul pružnosti ve smyku $G = 12600,00 \text{ MPa}$

Ocel podélná : 10 505 R

Pevnost v tlaku $R_{scd} = 420,00 \text{ MPa}$

Pevnost v tahu $R_{sd} = 450,00 \text{ MPa}$

Ocel příčná: 10 505 R

Pevnost v tlaku $R_{scd} = 420,00 \text{ MPa}$

Pevnost v tahu $R_{sd} = 450,00 \text{ MPa}$

Geologický profil a přiřazení zemin

Číslo	Vrstva [m]	Přiřazená zemina	Vzorek
1	3,70	Třída S3, středně ulehlá	
2	0,50	Třída G4	
3	-	Třída F8, konzistence pevná, $S_r > 0,8$	

Zatížení

Číslo	Zatížení		Název	Typ	N [kN]	M_x [kNm]	M_y [kNm]	H_x [kN]	H_y [kN]
	nové	změna							
1	Ano		Zatížení č. 1	Návrhové	2900,00	0,00	0,00	10,00	10,00
2	Ano		Zatížení č. 2	Užitné	2120,00	0,00	0,00	10,00	10,00

Hladina podzemní vody

Hladina podzemní vody je v hloubce 0,50 m od původního terénu.

Celkové nastavení výpočtu

Výpočet svislé únosnosti : analytické řešení

Typ výpočtu : výpočet pro neodvodněné podmínky

Nastavení výpočtu fáze

Návrhová situace : trvalá

Metodika posouzení : bez redukce vstupních dat

Posouzení čís. 1

Posouzení svislé únosnosti piloty, metoda Tomlinson - mezivýsledky

Výpočet únosnosti v patě:

Návrhová neodvodněná smyková pevnost $c_u = 71,43 \text{ kPa}$

Plocha příčného řezu piloty $A_p = 6,36E-01 \text{ m}^2$

Únosnost na plášti piloty:

Hloubka [m]	Mocnost [m]	c_{ud} [kPa]	α [-]	R_{si} [kN]
0,50	0,50	0,00	0,00	0,00
3,70	3,20	0,00	0,00	0,00
4,20	0,50	0,00	0,00	0,00
20,00	15,80	71,43	0,89	2828,37

Posouzení svislé únosnosti : Tomlinson

Výpočet proveden s automatickým výběrem nejnepríznivějších zatěžovacích stavů.

Posouzení tlačené piloty:

Nejnepríznivější zatěžovací stav číslo 1. (Zatížení č. 1)

Únosnost piloty na plášti $R_s = 2828,37 \text{ kN}$

Únosnost piloty v patě $R_b = 408,97 \text{ kN}$

Únosnost piloty $R_c = 2943,04 \text{ kN}$

Extrémní svislá síla $V_d = 2900,00 \text{ kN}$

$$R_c = 2943,04 \text{ kN} > 2900,00 \text{ kN} = V_d$$

Svislá únosnost piloty VYHOVUJE

Posouzení čís. 1

Výpočet zatěžovací křivky piloty - vstupní data

Vrstva číslo	E_s [MPa]
1	17,26
2	27,23
3	40,64

Limitní sedání piloty $s_{lim} = 25,0 \text{ mm}$

Výpočet zatěžovací křivky piloty - výsledky

Zatížení na mezi mobilizace pláštětření	$R_{yu} = 3322,38 \text{ kN}$
Velikost sedání odpovídající síle R_{yu}	$s_y = 9,8 \text{ mm}$
Celková únosnost	$R_c = 3322,38 \text{ kN}$
Maximální sednutí	$s_{lim} = 19,6 \text{ mm}$

Pro maximální užité svislé zatížení $V = 2120,00 \text{ kN}$ je sednutí piloty 6,2 mm.

Posouzení čís. 1

Vstupní data pro výpočet vodorovné únosnosti piloty

Výpočet proveden s automatickým výběrem nejnepriznivějších zatěžovacích stavů.
Vodorovná únosnost posouzena ve směru maximálního účinku zatížení.

Maximální vnitřní síly a deformace:

Max.deformace piloty	= 0,5 mm
Max.posouvající síla	= 14,14 kN
Maximální moment	= 20,11 kNm

Posouzení na tlak a ohyb

Vyztužení - 8 ks profil 16,0 mm; krytí 70,0 mm
Typ konstrukce (stupně vyztužení) : sloup
Stupeň vyztužení $\mu_{st} = 0,253 \% > 0,050 \% = \mu_{st,min}$
Zatížení : $N_d = -2900,00 \text{ kN}$ (tlak) ; $M_d = 20,11 \text{ kNm}$
Únosnost : $N_u = -7885,59 \text{ kN}$; $M_u = 54,67 \text{ kNm}$

Navržená výztuž piloty VYHOVUJE

Posouzení na smyk

Posouvající síla na mezi únosnosti: $Q_u = 412,88 \text{ kN} > 14,14 \text{ kN} = Q_d$

Průřez VYHOVUJE.

Posouzení piloty – A02

Vstupní data

Geometrie

Profil piloty: kruhová

Rozměry

Průměr $d = 0,90 \text{ m}$
Délka $l = 18,00 \text{ m}$

Spočtené průřezové charakteristiky

Plocha $A = 6,36 \text{E-01 m}^2$
Moment setrvačnosti $I = 3,22 \text{E-02 m}^4$

Umístění

Vysazení $h = 0,00 \text{ m}$
Hloubka upraveného terénu $h_z = 0,00 \text{ m}$

Typ technologie: Vrtané piloty
Modul reakce podloží uvažován jako konstantní.

Materiál konstrukce

Objemová tíha $\gamma = 23,00 \text{ kN/m}^3$

Výpočet betonových konstrukcí proveden podle normy ČSN 73 1201 R.

Beton : B 25

Pevnost v tlaku	$R_{bd} =$	14,50 MPa
Pevnost v tahu	$R_{btd} =$	1,05 MPa
Modul pružnosti	$E_b =$	30000,00 MPa
Modul pružnosti ve smyku	$G =$	12600,00 MPa

Ocel podélná : 10 505 R

Pevnost v tlaku	$R_{scd} =$	420,00 MPa
Pevnost v tahu	$R_{sd} =$	450,00 MPa

Ocel příčná: 10 505 R

Pevnost v tlaku	$R_{scd} =$	420,00 MPa
Pevnost v tahu	$R_{sd} =$	450,00 MPa

Geologický profil a přiřazení zemín

Číslo	Vrstva [m]	Přiřazená zemina	Vzorek
1	3,70	Třída S3, středně ulehlá	
2	0,50	Třída G4	
3	-	Třída F8, konzistence pevná, $S_r > 0,8$	

Zatížení

Číslo	Zatížení		Název	Typ	N [kN]	M_x [kNm]	M_y [kNm]	H_x [kN]	H_y [kN]
	nové	změna							
1	Ano		Zatížení č. 1	Návrhové	2700,00	0,00	0,00	10,00	10,00
2	Ano		Zatížení č. 2	Užitné	1970,00	0,00	0,00	10,00	10,00

Hladina podzemní vody

Hladina podzemní vody je v hloubce 0,50 m od původního terénu.

Celkové nastavení výpočtu

Výpočet svislé únosnosti : analytické řešení

Typ výpočtu : výpočet pro neodvodněné podmínky

Nastavení výpočtu fáze

Návrhová situace : trvalá

Metodika posouzení : bez redukce vstupních dat

Posouzení čís. 1

Posouzení svislé únosnosti piloty, metoda Tomlinson - mezivýsledky

Výpočet únosnosti v patě:

Návrhová neodvodněná smyková pevnost $c_u =$ 71,43 kPa

Plocha příčného řezu piloty $A_p =$ 6,36E-01 m²

Únosnost na plášti piloty:

Hloubka [m]	Mocnost [m]	c_{ud} [kPa]	α [-]	R_{si} [kN]
0,50	0,50	0,00	0,00	0,00
3,70	3,20	0,00	0,00	0,00
4,20	0,50	0,00	0,00	0,00
18,00	13,80	71,43	0,87	2437,73

Posouzení svislé únosnosti : Tomlinson

Výpočet proveden pro zatěžovací stav číslo 1. (Zatížení č. 1)

Posouzení tlačené piloty:

Únosnost piloty na plášti $R_s = 2437,73 \text{ kN}$
Únosnost piloty v patě $R_b = 408,97 \text{ kN}$

Únosnost piloty $R_c = 2711,14 \text{ kN}$
Extrémní svislá síla $V_d = 2700,00 \text{ kN}$

$R_c = 2711,14 \text{ kN} > 2700,00 \text{ kN} = V_d$

Svislá únosnost piloty VYHOVUJE

Posouzení čís. 1

Výpočet zatěžovací křivky piloty - vstupní data

Vrstva číslo	E_s [MPa]
1	17,26
2	27,23
3	40,64

Limitní sedání piloty $s_{lim} = 25,0 \text{ mm}$

Výpočet zatěžovací křivky piloty - výsledky

Zatížení na mezi mobilizace pláště-tření $R_{yu} = 2835,35 \text{ kN}$
Velikost sedání odpovídající síle R_{yu} $s_y = 8,9 \text{ mm}$
Celková únosnost $R_c = 2835,35 \text{ kN}$
Maximální sednutí $s_{lim} = 17,8 \text{ mm}$

Pro maximální užité svslé zatížení $V = 1970,00 \text{ kN}$ je sednutí piloty 6,2mm.

Posouzení čís. 1

Vstupní data pro výpočet vodorovné únosnosti piloty

Výpočet proveden s automatickým výběrem nejnepriznivějších zatěžovacích stavů.
Vodorovná únosnost posouzena ve směru maximálního účinku zatížení.

Maximální vnitřní síly a deformace:

Max.deformace piloty = 0,5 mm
Max.posouvající síla = 14,14 kN
Maximální moment = 19,93 kNm

Posouzení na tlak a ohyb

Vyztužení - 7 ks profil 16,0 mm; krytí 70,0 mm
Typ konstrukce (stupně vyztužení) : sloup
Stupeň vyztužení $\mu_{st} = 0,221 \% > 0,050 \% = \mu_{st,min}$
Zatížení : $N_d = -2700,00 \text{ kN}$ (tlak) ; $M_d = 19,93 \text{ kNm}$
Únosnost : $N_u = -7802,92 \text{ kN}$; $M_u = 57,58 \text{ kNm}$

Navržená výztuž piloty VYHOVUJE

Posouzení na smyk

Posouvající síla na mezi únosnosti: $Q_u = 399,54 \text{ kN} > 14,14 \text{ kN} = Q_d$

Průřez VYHOVUJE.

Posouzení piloty – A03

Vstupní data

Geometrie

Profil piloty: kruhová

Rozměry

Průměr $d = 0,90 \text{ m}$
Délka $l = 15,50 \text{ m}$

Spočtené průřezové charakteristiky

Plocha $A = 6,36 \text{E-01 m}^2$

Moment setrvačnosti $I = 3,22E-02 \text{ m}^4$

Umístění

Vysazení $h = 0,00 \text{ m}$

Hloubka upraveného terénu $h_z = 0,00 \text{ m}$

Typ technologie: Vrtané piloty

Modul reakce podloží uvažován jako konstantní.

Materiál konstrukce

Objemová tíha $\gamma = 23,00 \text{ kN/m}^3$

Výpočet betonových konstrukcí proveden podle normy ČSN 73 1201 R.

Beton : B 25

Pevnost v tlaku $R_{bd} = 14,50 \text{ MPa}$

Pevnost v tahu $R_{btd} = 1,05 \text{ MPa}$

Modul pružnosti $E_b = 30000,00 \text{ MPa}$

Modul pružnosti ve smyku $G = 12600,00 \text{ MPa}$

Ocel podélná : 10 505 R

Pevnost v tlaku $R_{scd} = 420,00 \text{ MPa}$

Pevnost v tahu $R_{sd} = 450,00 \text{ MPa}$

Ocel příčná: 10 505 R

Pevnost v tlaku $R_{scd} = 420,00 \text{ MPa}$

Pevnost v tahu $R_{sd} = 450,00 \text{ MPa}$

Geologický profil a přiřazení zemín

Číslo	Vrstva [m]	Přiřazená zemina	Vzorek
1	3,20	Třída S3, středně ulehlá	
2	1,00	Třída G4	
3	-	Třída F8, konzistence pevná, $S_r > 0,8$	

Zatížení

Číslo	Zatížení		Název	Typ	N [kN]	M_x [kNm]	M_y [kNm]	H_x [kN]	H_y [kN]
	nové	změna							
1	Ano		Zatížení č. 1	Návrhové	2200,00	0,00	0,00	10,00	10,00
2	Ano		Zatížení č. 2	Užitné	1660,00	0,00	0,00	10,00	10,00

Hladina podzemní vody

Hladina podzemní vody je v hloubce 0,50 m od původního terénu.

Celkové nastavení výpočtu

Výpočet svislé únosnosti : analytické řešení

Typ výpočtu : výpočet pro neodvodněné podmínky

Nastavení výpočtu fáze

Návrhová situace : trvalá

Metodika posouzení : bez redukce vstupních dat

Posouzení čís. 1

Posouzení svislé únosnosti piloty, metoda Tomlinson - mezivýsledky

Výpočet únosnosti v patě:

Návrhová neodvodněná smyková pevnost $c_u = 71,43 \text{ kPa}$

Plocha příčného řezu piloty $A_p = 6,36E-01 \text{ m}^2$

Únosnost na plášti piloty:

Hloubka [m]	Mocnost [m]	c_{ud} [kPa]	α [-]	R_{si} [kN]
0,50	0,50	0,00	0,00	0,00
3,20	2,70	0,00	0,00	0,00
4,20	1,00	0,00	0,00	0,00
15,50	11,30	71,43	0,86	1962,73

Posouzení svislé únosnosti : Tomlinson

Výpočet proveden s automatickým výběrem nejnepriznivějších zatěžovacích stavů.

Posouzení tlačené piloty:

Nejnepriznivější zatěžovací stav číslo 1. (Zatížení č. 1)

Únosnost piloty na plášti $R_s = 1962,73$ kN

Únosnost piloty v patě $R_b = 408,97$ kN

Únosnost piloty $R_c = 2258,76$ kN

Extrémní svislá síla $V_d = 2200,00$ kN

$R_c = 2258,76$ kN > $2200,00$ kN = V_d

Svislá únosnost piloty VYHOVUJE

Posouzení čís. 1

Výpočet zatěžovací křivky piloty - vstupní data

Vrstva číslo	E_s [MPa]
1	17,26
2	27,23
3	40,64

Limitní sedání piloty $s_{lim} = 25,0$ mm

Výpočet zatěžovací křivky piloty - výsledky

Zatížení na mezi mobilizace pláště tření $R_{yu} = 2253,66$ kN

Velikost sedání odpovídající síle R_{yu} $s_y = 7,5$ mm

Celková únosnost $R_c = 2253,66$ kN

Maximální sednutí $s_{lim} = 15,1$ mm

Pro maximální užité svislé zatížení $V = 1660,00$ kN je sednutí piloty 5,6 mm.

Posouzení čís. 1

Vstupní data pro výpočet vodorovné únosnosti piloty

Výpočet proveden s automatickým výběrem nejnepriznivějších zatěžovacích stavů.

Vodorovná únosnost posouzena ve směru maximálního účinku zatížení.

Maximální vnitřní síly a deformace:

Max.deformace piloty = 0,5 mm

Max.posouvající síla = 14,14 kN

Maximální moment = 21,72 kNm

Posouzení na tlak a ohyb

Vyztužení - 8 ks profil 16,0 mm; krytí 70,0 mm

Typ konstrukce (stupně vyztužení) : sloup

Stupeň vyztužení $\mu_{st} = 0,253$ % > $0,050$ % = $\mu_{st,min}$

Zatížení : $N_d = -2200,00$ kN (tlak) ; $M_d = 21,72$ kNm

Únosnost : $N_u = -7885,59$ kN; $M_u = 77,86$ kNm

Navržená výztuž piloty VYHOVUJE

Posouzení na smyk

Posouvající síla na mezi únosnosti: $Q_u = 366,21$ kN > $14,14$ kN = Q_d

Průřez VYHOVUJE.

Posouzení piloty –A04

Vstupní data

Geometrie

Profil piloty: kruhová

Rozměry

Průměr $d = 0,90 \text{ m}$

Délka $l = 13,50 \text{ m}$

Spočtené průřezové charakteristiky

Plocha $A = 6,36\text{E-}01 \text{ m}^2$

Moment setrvačnosti $I = 3,22\text{E-}02 \text{ m}^4$

Umístění

Vysazení $h = 0,00 \text{ m}$

Hloubka upraveného terénu $h_z = 0,00 \text{ m}$

Typ technologie: Vrtané piloty

Modul reakce podloží uvažován jako konstantní.

Materiál konstrukce

Objemová tíha $\gamma = 23,00 \text{ kN/m}^3$

Výpočet betonových konstrukcí proveden podle normy ČSN 73 1201 R.

Beton : B 25

Pevnost v tlaku $R_{bd} = 14,50 \text{ MPa}$

Pevnost v tahu $R_{btd} = 1,05 \text{ MPa}$

Modul pružnosti $E_b = 30000,00 \text{ MPa}$

Modul pružnosti ve smyku $G = 12600,00 \text{ MPa}$

Ocel podélná : 10 505 R

Pevnost v tlaku $R_{scd} = 420,00 \text{ MPa}$

Pevnost v tahu $R_{sd} = 450,00 \text{ MPa}$

Ocel příčná: 10 505 R

Pevnost v tlaku $R_{scd} = 420,00 \text{ MPa}$

Pevnost v tahu $R_{sd} = 450,00 \text{ MPa}$

Geologický profil a přiřazení zemín

Číslo	Vrstva [m]	Přiřazená zemina	Vzorek
1	3,20	Třída S3, středně ulehlá	
2	1,00	Třída G4	
3	-	Třída F8, konzistence pevná, $S_r > 0,8$	

Zatížení

Číslo	Zatížení		Název	Typ	N [kN]	M_x [kNm]	M_y [kNm]	H_x [kN]	H_y [kN]
	nové	změna							
1	Ano		Zatížení č. 1	Návrhové	1880,00	0,00	0,00	10,00	10,00
2	Ano		Zatížení č. 2	Užitné	1460,00	0,00	0,00	10,00	10,00

Hladina podzemní vody

Hladina podzemní vody je v hloubce 1,50 m od původního terénu.

Celkové nastavení výpočtu

Výpočet svislé únosnosti : analytické řešení

Typ výpočtu : výpočet pro neodvodněné podmínky

Nastavení výpočtu fáze

Návrhová situace : trvalá

Metodika posouzení : bez redukce vstupních dat

Posouzení čís. 1

Posouzení svislé únosnosti piloty, metoda Tomlinson - mezivýsledky

Výpočet únosnosti v patě:

Návrhová neodvodněná smyková pevnost $c_u = 71,43 \text{ kPa}$

Plocha příčného řezu piloty $A_p = 6,36E-01 \text{ m}^2$

Únosnost na plášti piloty:

Hloubka [m]	Mocnost [m]	c_{ud} [kPa]	α [-]	R_{si} [kN]
1,50	1,50	0,00	0,00	0,00
3,20	1,70	0,00	0,00	0,00
4,20	1,00	0,00	0,00	0,00
13,50	9,30	71,43	0,85	1593,36

Posouzení svislé únosnosti : Tomlinson

Výpočet proveden s automatickým výběrem nejnepriznivějších zatěžovacích stavů.

Posouzení tlačené piloty:

Nejnepriznivější zatěžovací stav číslo 1. (Zatížení č. 1)

Únosnost piloty na plášti $R_s = 1593,36 \text{ kN}$

Únosnost piloty v patě $R_b = 408,97 \text{ kN}$

Únosnost piloty $R_c = 1906,98 \text{ kN}$

Extrémní svislá síla $V_d = 1880,00 \text{ kN}$

$R_c = 1906,98 \text{ kN} > 1880,00 \text{ kN} = V_d$

Svislá únosnost piloty VYHOVUJE

Posouzení čís. 1

Výpočet zatěžovací křivky piloty - vstupní data

Vrstva číslo	E_s [MPa]
1	17,26
2	27,23
3	40,64

Limitní sedání piloty $s_{lim} = 25,0 \text{ mm}$

Výpočet zatěžovací křivky piloty - výsledky

Zatížení na mezi mobilizace pláště, tření $R_{yu} = 1809,98 \text{ kN}$

Velikost sedání odpovídající síle R_{yu} $s_y = 6,4 \text{ mm}$

Celková únosnost $R_c = 1809,98 \text{ kN}$

Maximální sednutí $s_{lim} = 12,8 \text{ mm}$

Pro maximální užité svislé zatížení $V = 1460,00 \text{ kN}$ je sednutí piloty 5,2mm.

Posouzení čís. 1

Vstupní data pro výpočet vodorovné únosnosti piloty

Výpočet proveden s automatickým výběrem nejnepriznivějších zatěžovacích stavů.

Vodorovná únosnost posouzena ve směru maximálního účinku zatížení.

Maximální vnitřní síly a deformace:

Max.deformace piloty = 0,5 mm

Max.posouvající síla = 14,14 kN

Maximální moment = 21,69 kNm

Posouzení na tlak a ohyb

Vyztužení - 8 ks profil 16,0 mm; krytí 70,0 mm

Typ konstrukce (stupně vyztužení) : sloup

Stupeň vyztužení $\mu_{st} = 0,253 \% > 0,050 \% = \mu_{st,min}$
Zatížení : $N_d = -1880,00 \text{ kN}$ (tlak) ; $M_d = 21,69 \text{ kNm}$
Únosnost : $N_u = -7885,59 \text{ kN}$; $M_u = 90,96 \text{ kNm}$

Navržená výztuž piloty VYHOVUJE

Posouzení na smyk

Posouvající síla na mezi únosnosti: $Q_u = 344,88 \text{ kN} > 14,14 \text{ kN} = Q_d$

Průřez VYHOVUJE.

Posouzení piloty – A05

Vstupní data

Geometrie

Profil piloty: kruhová

Rozměry

Průměr $d = 0,90 \text{ m}$

Délka $l = 12,00 \text{ m}$

Spočtené průřezové charakteristiky

Plocha $A = 6,36E-01 \text{ m}^2$

Moment setrvačnosti $I = 3,22E-02 \text{ m}^4$

Umístění

Vysazení $h = 0,00 \text{ m}$

Hloubka upraveného terénu $h_z = 0,00 \text{ m}$

Typ technologie: Vrtané piloty

Modul reakce podloží uvažován jako konstantní.

Materiál konstrukce

Objemová tíha $\gamma = 23,00 \text{ kN/m}^3$

Výpočet betonových konstrukcí proveden podle normy ČSN 73 1201 R.

Beton : B 25

Pevnost v tlaku $R_{bd} = 14,50 \text{ MPa}$

Pevnost v tahu $R_{btd} = 1,05 \text{ MPa}$

Modul pružnosti $E_b = 30000,00 \text{ MPa}$

Modul pružnosti ve smyku $G = 12600,00 \text{ MPa}$

Ocel podélná : 10 505 R

Pevnost v tlaku $R_{scd} = 420,00 \text{ MPa}$

Pevnost v tahu $R_{sd} = 450,00 \text{ MPa}$

Ocel příčná: 10 505 R

Pevnost v tlaku $R_{scd} = 420,00 \text{ MPa}$

Pevnost v tahu $R_{sd} = 450,00 \text{ MPa}$

Geologický profil a přiřazení zemin

Číslo	Vrstva [m]	Přiřazená zemina	Vzorek
1	3,20	Třída S3, středně ulehlá	
2	1,00	Třída G4	
3	-	Třída F8, konzistence pevná, $S_r > 0,8$	

Zatížení

Číslo	Zatížení		Název	Typ	N [kN]	M_x [kNm]	M_y [kNm]	H_x [kN]	H_y [kN]
	nové	změna							
1	Ano		Zatížení č. 1	Návrhové	1630,00	0,00	0,00	10,00	10,00
2	Ano		Zatížení č. 2	Užitné	1230,00	0,00	0,00	10,00	10,00

Hladina podzemní vody

Hladina podzemní vody je v hloubce 1,50 m od původního terénu.

Celkové nastavení výpočtu

Výpočet svislé únosnosti : analytické řešení

Typ výpočtu : výpočet pro neodvodněné podmínky

Nastavení výpočtu fáze

Návrhová situace : trvalá

Metodika posouzení : bez redukce vstupních dat

Posouzení čís. 1

Posouzení svislé únosnosti piloty, metoda Tomlinson - mezivýsledky

Výpočet únosnosti v patě:

Návrhová neodvodněná smyková pevnost $c_u = 71,43 \text{ kPa}$

Plocha příčného řezu piloty $A_p = 6,36E-01 \text{ m}^2$

Únosnost na plášti piloty:

Hloubka [m]	Mocnost [m]	c_{ud} [kPa]	α [-]	R_{si} [kN]
1,50	1,50	0,00	0,00	0,00
3,20	1,70	0,00	0,00	0,00
4,20	1,00	0,00	0,00	0,00
12,00	7,80	71,43	0,84	1322,54

Posouzení svislé únosnosti : Tomlinson

Výpočet proveden s automatickým výběrem nejnepriznivějších zatěžovacích stavů.

Posouzení tlačené piloty:

Nejnepriznivější zatěžovací stav číslo 1. (Zatížení č. 1)

Únosnost piloty na plášti $R_s = 1322,54 \text{ kN}$

Únosnost piloty v patě $R_b = 408,97 \text{ kN}$

Únosnost piloty $R_c = 1649,05 \text{ kN}$

Extrémní svislá síla $V_d = 1630,00 \text{ kN}$

$R_c = 1649,05 \text{ kN} > 1630,00 \text{ kN} = V_d$

Svislá únosnost piloty VYHOVUJE

Posouzení čís. 1

Výpočet zatěžovací křivky piloty - vstupní data

Vrstva číslo	E_s [MPa]
1	15,84
2	26,33
3	40,64

Limitní sedání piloty $s_{lim} = 25,0 \text{ mm}$

Výpočet zatěžovací křivky piloty - výsledky

Zatížení na mezi mobilizace plášť.tření $R_{yu} = 1489,87 \text{ kN}$

Velikost sedání odpovídající síle R_{yu} $s_y = 6,2 \text{ mm}$

Celková únosnost $R_c = 1489,87 \text{ kN}$

Maximální sednutí $s_{lim} = 12,3 \text{ mm}$

Pro maximální užité svislé zatížení $V = 1230,00 \text{ kN}$ je sednutí piloty 5,1mm.

Posouzení čís. 1

Vstupní data pro výpočet vodorovné únosnosti piloty

Výpočet proveden s automatickým výběrem nejnepríznivějších zatěžovacích stavů.
Vodorovná únosnost posouzena ve směru maximálního účinku zatížení.

Maximální vnitřní síly a deformace:

Max.deformace piloty = 0,5 mm
Max.posouvající síla = 14,14 kN
Maximální moment = 21,40 kNm

Posouzení na tlak a ohyb

Vyztužení - 8 ks profil 16,0 mm; krytí 70,0 mm
Typ konstrukce (stupně vyztužení) : sloup
Stupeň vyztužení $\mu_{st} = 0,253 \% > 0,050 \% = \mu_{st,min}$
Zatížení : $N_d = -1630,00$ kN (tlak) ; $M_d = 21,40$ kNm
Únosnost : $N_u = -7885,59$ kN; $M_u = 103,54$ kNm

Navržená výztuž piloty VYHOVUJE

Posouzení na smyk

Posouvající síla na mezi únosnosti: $Q_u = 328,21$ kN $> 14,14$ kN = Q_d

Průřez VYHOVUJE.

Posouzení piloty – A06

Vstupní data

Geometrie

Profil piloty: kruhová

Rozměry

Průměr $d = 0,90$ m
Délka $l = 10,50$ m

Spočtené průřezové charakteristiky

Plocha $A = 6,36E-01$ m²
Moment setrvačnosti $I = 3,22E-02$ m⁴

Umístění

Vysazení $h = 0,00$ m
Hloubka upraveného terénu $h_z = 0,00$ m

Typ technologie: Vrtané piloty
Modul reakce podloží uvažován jako konstantní.

Materiál konstrukce

Objemová tíha $\gamma = 23,00$ kN/m³
Výpočet betonových konstrukcí proveden podle normy ČSN 73 1201 R.

Beton : B 25

Pevnost v tlaku $R_{bd} = 14,50$ MPa
Pevnost v tahu $R_{btd} = 1,05$ MPa
Modul pružnosti $E_b = 30000,00$ MPa
Modul pružnosti ve smyku $G = 12600,00$ MPa


Ocel podélná : 10 505 R

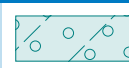

Pevnost v tlaku $R_{scd} = 420,00$ MPa
Pevnost v tahu $R_{sd} = 450,00$ MPa

Ocel příčná: 10 505 R

Pevnost v tlaku $R_{scd} = 420,00$ MPa
Pevnost v tahu $R_{sd} = 450,00$ MPa

Geologický profil a přiřazení zemín

Číslo	Vrstva [m]	Přiřazená zemina	Vzorek
1	3,20	Třída S3, středně ulehlá	

Číslo	Vrstva [m]	Přiřazená zemina	Vzorek
2	1,00	Třída G4	
3	-	Třída F8, konzistence pevná, $S_r > 0,8$	

Zatížení

Číslo	Zatížení		Název	Typ	N [kN]	M_x [kNm]	M_y [kNm]	H_x [kN]	H_y [kN]
	nové	změna							
1	Ano		Zatížení č. 1	Návrhové	1370,00	0,00	0,00	10,00	10,00
2	Ano		Zatížení č. 2	Užitné	1020,00	0,00	0,00	10,00	10,00

Hladina podzemní vody

Hladina podzemní vody je v hloubce 1,50 m od původního terénu.

Celkové nastavení výpočtu

Výpočet svislé únosnosti : analytické řešení

Typ výpočtu : výpočet pro neodvodněné podmínky

Nastavení výpočtu fáze

Návrhová situace : trvalá

Metodika posouzení : bez redukce vstupních dat

Posouzení čís. 1

Posouzení svislé únosnosti piloty, metoda Tomlinson - mezivýsledky

Výpočet únosnosti v patě:

Návrhová neodvodněná smyková pevnost $c_u = 71,43$ kPa

Plocha příčného řezu piloty $A_p = 6,36E-01$ m²

Únosnost na plášti piloty:

Hloubka [m]	Mocnost [m]	c_{ud} [kPa]	α [-]	R_{si} [kN]
1,50	1,50	0,00	0,00	0,00
3,20	1,70	0,00	0,00	0,00
4,20	1,00	0,00	0,00	0,00
10,50	6,30	71,43	0,83	1057,04

Posouzení svislé únosnosti : Tomlinson

Výpočet proveden s automatickým výběrem nejnepříznivějších zatěžovacích stavů.

Posouzení tlačené piloty:

Nejnepříznivější zatěžovací stav číslo 1. (Zatížení č. 1)

Únosnost piloty na plášti $R_s = 1057,04$ kN

Únosnost piloty v patě $R_b = 408,97$ kN

Únosnost piloty $R_c = 1396,19$ kN

Extrémní svislá síla $V_d = 1370,00$ kN

$$R_c = 1396,19 \text{ kN} > 1370,00 \text{ kN} = V_d$$

Svislá únosnost piloty VYHOVUJE

Posouzení čís. 1

Výpočet zatěžovací křivky piloty - vstupní data

Vrstva číslo	E_s [MPa]
1	15,84

Vrstva číslo	E_s [MPa]
2	26,33
3	40,64

Limitní sedání piloty $s_{lim} = 25,0$ mm

Výpočet zatěžovací křivky piloty - výsledek

Zatížení na mezi mobilizace pláště.tření $R_{yu} = 1180,59$ kN
Velikost sedání odpovídající síle R_{yu} $s_y = 5,6$ mm
Celková únosnost $R_c = 1180,59$ kN
Maximální sednutí $s_{lim} = 11,2$ mm

Pro maximální užité svislé zatížení $V = 1020,00$ kN je sednutí piloty 4,8mm.

Posouzení čís. 1

Vstupní data pro výpočet vodorovné únosnosti piloty

Výpočet proveden s automatickým výběrem nejnepriznivějších zatěžovacích stavů.
Vodorovná únosnost posouzena ve směru maximálního účinku zatížení.

Maximální vnitřní síly a deformace:

Max.deformace piloty = 0,5 mm
Max.posouvající síla = 14,14 kN
Maximální moment = 20,74 kNm

Posouzení na tlak a ohyb

Vyztužení - 8 ks profil 16,0 mm; krytí 70,0 mm
Typ konstrukce (stupně vyztužení) : sloup
Stupeň vyztužení $\mu_{st} = 0,253 \% > 0,050 \% = \mu_{st,min}$
Zatížení : $N_d = -1370,00$ kN (tlak) ; $M_d = 20,74$ kNm
Únosnost : $N_u = -7885,59$ kN; $M_u = 119,39$ kNm

Navržená výztuž piloty VYHOVUJE

Posouzení na smyk

Posouvající síla na mezi únosnosti: $Q_u = 310,88$ kN $> 14,14$ kN = Q_d

Průřez VYHOVUJE.

4.3.3 výpočet a posouzení mikropilot

Výpočet Mikropiloty

Vstupní data

Nastavení

Česká republika - původní normy ČSN (73 1001, 73 1002, 73 0037)

Materiály a normy

Betonové konstrukce : ČSN 73 1201 R
Napětí pro dimenzaci výstupku : lichoběžníkové
Ocelové konstrukce : ČSN 73 1401

Mikropiloty

Výpočet únosnosti dřívku : geometrická (Eulerova) metoda
Výpočet únosnosti kořene : metoda Lizziho
Metodika posouzení : stupně bezpečnosti

Stupně bezpečnosti			
Trvalá návrhová situace			
Stupeň bezpečnosti kritické síly :	$SF_f =$	1,50	[-]
Stupeň bezpečnosti únosnosti průřezu :	$SF_s =$	1,50	[-]
Stupeň bezpečnosti únosnosti kořene :	$SF_r =$	1,50	[-]

Parametry zemín

Třída F8, konzistence měkká-tuhá

Objemová tíha : $\gamma = 20,50$ kN/m³
Úhel vnitřního tření : $\varphi_{ef} = 15,00$ °

Soudržnost zeminy : $c_{ef} = 5,00 \text{ kPa}$
Obj.tíha sat.zeminy : $\gamma_{sat} = 20,50 \text{ kN/m}^3$

Třída S3, středně ulehlá

Objemová tíha : $\gamma = 17,50 \text{ kN/m}^3$
Úhel vnitřního tření : $\varphi_{ef} = 29,50^\circ$
Soudržnost zeminy : $c_{ef} = 0,00 \text{ kPa}$
Obj.tíha sat.zeminy : $\gamma_{sat} = 17,50 \text{ kN/m}^3$

Třída G4

Objemová tíha : $\gamma = 19,00 \text{ kN/m}^3$
Úhel vnitřního tření : $\varphi_{ef} = 32,50^\circ$
Soudržnost zeminy : $c_{ef} = 4,00 \text{ kPa}$
Obj.tíha sat.zeminy : $\gamma_{sat} = 19,00 \text{ kN/m}^3$

Třída F8, konzistence tuhá-pevná

Objemová tíha : $\gamma = 20,50 \text{ kN/m}^3$
Úhel vnitřního tření : $\varphi_{ef} = 15,00^\circ$
Soudržnost zeminy : $c_{ef} = 5,00 \text{ kPa}$
Obj.tíha sat.zeminy : $\gamma_{sat} = 20,50 \text{ kN/m}^3$

Třída F8, konzistence pevná, $S_r > 0,8$

Objemová tíha : $\gamma = 20,50 \text{ kN/m}^3$
Úhel vnitřního tření : $\varphi_{ef} = 15,00^\circ$
Soudržnost zeminy : $c_{ef} = 10,00 \text{ kPa}$
Obj.tíha sat.zeminy : $\gamma_{sat} = 20,50 \text{ kN/m}^3$

Geometrie

Průměr = 108,0 mm
Tloušťka stěny = 10,0 mm

Volná délka mikropiloty $l = 4,00 \text{ m}$
Délka kořene $l_r = 7,00 \text{ m}$
Průměr kořene $d_r = 0,35 \text{ m}$
Odklon mikropiloty od svislice $\alpha = 0,00^\circ$
Vysazení mikropiloty nad terén $l_a = 0,00 \text{ m}$

Materiál konstrukce

Objemová tíha $\gamma = 23,00 \text{ kN/m}^3$
Výpočet betonových konstrukcí proveden podle normy ČSN 73 1201 R.

Beton : B 20

Pevnost v tlaku $R_{bd} = 11,50 \text{ MPa}$
Modul pružnosti $E_b = 27000,00 \text{ MPa}$

Ocel konstrukční: Konstrukční ocel 52

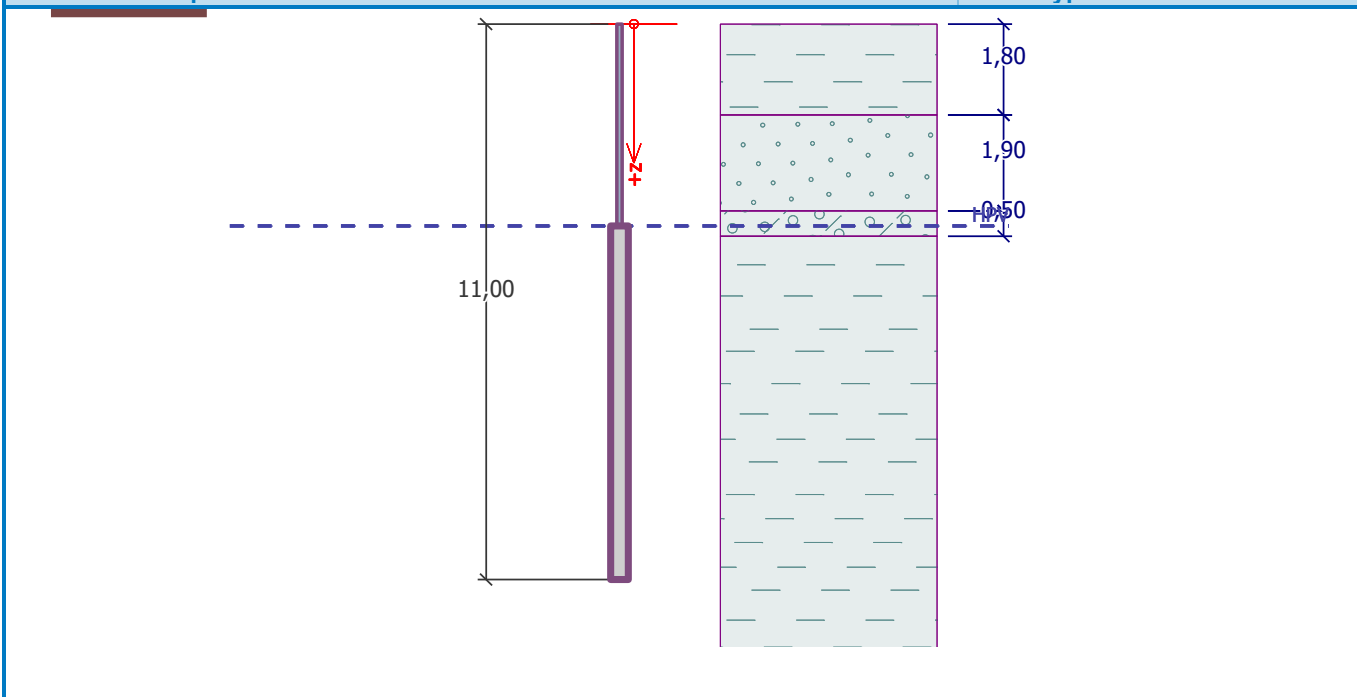
Výpočtová pevnost v tahu $R_d = 290,00 \text{ MPa}$
Mez kluzu $f_y = 355,00 \text{ MPa}$
Modul pružnosti $E = 210000,00 \text{ MPa}$

Geologický profil a přiřazení zemin

Číslo	Vrstva [m]	Přiřazená zemina	Vzorek
1	1,80	Třída F8, konzistence měkká-tuhá	
2	1,90	Třída S3, středně ulehlá	
3	0,50	Třída G4	
4	-	Třída F8, konzistence pevná, $S_r > 0,8$	

Název : Profil a přiřazení

Fáze - výpočet : 1 - 0



Zatížení

Číslo	Zatížení nové	změna	Název	Síla N [kN]	Moment M [kNm]
1	Ano		Zatížení č. 1	500,00	0,00

Hladina podzemní vody

Hladina podzemní vody je v hloubce 4,00 m od původního terénu.

Posouzení čís. 1

Posouzení průřezu 1

Výpočet proveden s automatickým výběrem nejnepříznivějších zatěžovacích stavů.

Posouzení vnitřní stability průřezu: geometrická (Eulerova) metoda

Výpočet vzpěrné délky průřezu - uložení (kloub-kloub).

Modul reakce podloží $E_p = 10,00 \text{ MN/m}^3$

Spočtený počet půlvln $n = 2,52$

Vzpěrná délka $l_{cr} = 2,04 \text{ m}$

Kritická normálová síla $N_{cr} = 2047,87 \text{ kN}$

Maximální normálová síla $N_{max} = 500,00 \text{ kN}$

Stupeň bezpečnosti = 4,10 > 1,50

Vnitřní stabilita průřezu mikropiloty VYHOVUJE

Posouzení únosnosti spřaženého průřezu:

Plocha ideálního průřezu $A_i = 3,86E+03 \text{ mm}^2$

Moment setrvačnosti ideálního průřezu $J_i = 4,11E+06 \text{ mm}^4$

Štíhlost prutu $\lambda = 62,509$

Součinitel vzpěrnosti $\kappa = 0,701$

Napětí v oceli = 217,83 MPa

Výpočtová pevnost oceli = 355,00 MPa

Stupeň bezpečnosti = 1,63 > 1,50

Spřažený průřez mikropiloty VYHOVUJE

Posouzení čís. 1

Posouzení kořene

Způsob výpočtu - metoda Lizziho.

Součinitel vlivu průměru kořene = 0,80

Plášťové tření na kořeni

Číslo	Pořadnice [m]	Tření [kPa]
1	0,00	60,00
2	1,80	150,00
3	4,20	150,00
4	5,00	150,00
5	6,00	125,00
6	7,00	125,00

Posouzení tlačené mikropiloty

Únosnost pláště mikropiloty $R_s = 819,39 \text{ kN}$

Maximální normálová síla $N_{\max} = 500,00 \text{ kN}$

Stupeň bezpečnosti $= 1,64 > 1,50$

Únosnost tlačené mikropiloty VYHOVUJE

1.1.1 Anglický dvorek

Nastavení

Česká republika - původní normy ČSN (73 1001, 73 1002, 73 0037)

Materiály a normy

Betonové konstrukce : ČSN 73 1201 R

Napětí pro dimenzaci výstupku : lichoběžníkové

Výpočet zdí

Výpočet aktivního tlaku : Coulomb (ČSN 730037)

Výpočet pasivního tlaku : Caquot-Kerisel (ČSN 730037)

Výpočet zemětřesení : Mononobe-Okabe

Tvar zemního klínu : počítat šikmý

Výstupek základu : výstupek uvažovat jako šikmou základovou spáru

Dovolená excentricita : 0,333

Metodika posouzení : mezní stavy

Součinitele redukce parametrů zemin			
Trvalá návrhová situace			
Součinitel redukce úhlu vnitřního tření :	$\gamma_{m\phi} =$	1,10	[-]
Součinitel redukce soudržnosti :	$\gamma_{mc} =$	1,40	[-]
Součinitel redukce Poissonova čísla :	$\gamma_{mv} =$	0,90	[-]
Součinitel redukce objemové tíhy za konstrukcí :	$\gamma_{m\gamma} =$	1,00	[-]
Součinitel redukce objemové tíhy před konstrukcí :	$\gamma_{m\gamma} =$	1,00	[-]

Součinitele redukce únosnosti			
Trvalá návrhová situace			
Součinitel redukce únosnosti na překlopení :	$\gamma_o =$	1,10	[-]
Součinitel redukce únosnosti na posunutí :	$\gamma_s =$	1,10	[-]
Součinitel redukce únosnosti základové půdy :	$\gamma_b =$	1,00	[-]

Materiál konstrukce

Objemová tíha $\gamma = 23,00 \text{ kN/m}^3$

Výpočet betonových konstrukcí proveden podle normy ČSN 73 1201 R.

Beton : B 35

Pevnost v tlaku $R_{bd} = 19,50 \text{ MPa}$

Pevnost v tahu $R_{btd} = 1,30 \text{ MPa}$

Ocel podélná : 10 505 R

Pevnost v tlaku $R_{scd} = 420,00 \text{ MPa}$

Pevnost v tahu $R_{sd} = 450,00 \text{ MPa}$

Geometrie konstrukce







Číslo	Pořadnice X [m]	Hloubka Z [m]
1	0,00	0,00
2	0,00	3,20
3	0,00	3,45
4	-2,25	3,45
5	-2,25	3,20
6	-0,25	3,20
7	-0,25	0,00

Počátek [0,0] je v nejhořejším pravém bodu zdi.
Plocha řezu zdi = 1,36 m².

Základní parametry zemín

Číslo	Název	Vzorek	φ_{ef} [°]	c_{ef} [kPa]	γ [kN/m ³]	γ_{su} [kN/m ³]	δ [°]
1	Třída F8, konzistence měkká-tuhá		15,00	5,00	20,50	10,50	11,25
2	Třída S3, středně ulehlá		29,50	0,00	17,50	7,50	22,10
3	Třída G4		32,50	4,00	19,00	9,00	20,00
4	Třída F8, konzistence tuhá-pevná		15,00	5,00	20,50	10,50	24,38
5	Třída F8, konzistence pevná, $S_r > 0,8$		15,00	10,00	20,50	10,50	24,38
6	Třída F1, konzistence tuhá		29,00	8,00	19,00	9,00	18,00


Parametry zemín pro výpočet tlaku v klidu




Číslo	Název	Vzorek	Typ výpočtu	φ_{ef} [°]	ν [-]	OCR [-]	K_r [-]
1	Třída F8, konzistence měkká-tuhá		nesoudržná	15,00	-	-	-
2	Třída S3, středně ulehlá		nesoudržná	29,50	-	-	-
3	Třída G4		nesoudržná	32,50	-	-	-
4	Třída F8, konzistence tuhá-pevná		nesoudržná	15,00	-	-	-
5	Třída F8, konzistence pevná, $S_r > 0,8$		nesoudržná	15,00	-	-	-
6	Třída F1, konzistence tuhá		soudržná	-	0,35	-	-

Zásyp za konstrukcí

Zemina na lici konstrukce - Třída G4

Geologický profil a přiřazení zemín

Číslo	Vrstva [m]	Přiřazená zemina	Vzorek
1	2,00	Třída F8, konzistence měkká-tuhá	

Číslo	Vrstva [m]	Přiřazená zemina	Vzorek
2	2,15	Třída F8, konzistence měkká-tuhá	
3	0,50	Třída G4	
4	-	Třída F8, konzistence tuhá-pevná	

Založení

Typ založení : zemina - geologický profil

Tvar terénu

Terén za konstrukcí je rovný.

Vliv vody

Hladina podzemní vody za konstrukcí je v hloubce 4,50 m
Vztlak v základové spáře od rozdílných tlaků není uvažován.

Zadaná plošná přitížení

Číslo	Přítížení		Působ.	Vel.1 [kN/m ²]	Vel.2 [kN/m ²]	Poř.x x [m]	Délka l [m]	Hloubka z [m]
	nové	změna						
1	Ano		stálé	15,00				na terénu

Číslo	Název
1	auta

Odpor na líci konstrukce

Odpor na líci konstrukce není uvažován.

Zadané síly působící na konstrukci

Číslo	Síla		Název	Působ.	F _x [kN/m]	F _z [kN/m]	M [kNm/m]	x [m]	z [m]
	nová	změna							
1	Ano		Síla č. 1	stálé	25,00	0,00	0,00	-2,00	3,30

Nastavení výpočtu fáze

Návrhová situace : trvalá
Zed' se může přemístit, je počítána na zatížení aktivním tlakem.

Posouzení čís. 1

Spočtené síly působící na konstrukci

Název	F _{hor} [kN/m]	Působíště z [m]	F _{vert} [kN/m]	Působíště x [m]	Výpočtový koeficient
Tíh.- zed'	0,00	-1,14	31,34	1,71	1,000
Aktivní tlak	23,93	-0,98	7,86	2,25	1,000
Tlak vody	0,00	-3,45	0,00	2,25	1,000
auta	14,26	-1,65	4,90	2,25	1,000
Síla č. 1	-25,00	-0,15	0,00	0,25	1,000

Posouzení celé zdi

Posouzení na překlpení

Moment vzdorující M_{res} = 78,29 kNm/m

Moment klopící M_{ovr} = 47,11 kNm/m

Zed' na překlpení VYHOVUJE

Posouzení na posunutí

Vodor. síla vzdorující H_{res} = 15,47 kN/m

Vodor. síla posunující H_{act} = 13,18 kN/m

Zed' na posunutí VYHOVUJE

Celkové posouzení - ZEĎ VYHOVUJE

Únosnost základové půdy

Síly působící ve středu základové spáry

Číslo	Moment [kNm/m]	Norm. síla [kN/m]	Pos. síla [kN/m]	Excentricita [-]	Napětí [kPa]
1	10,60	44,10	13,18	0,107	24,93

Normové síly působící ve středu základové spáry (výpočet sedání)

Číslo	Moment [kNm/m]	Norm. síla [kN/m]	Pos. síla [kN/m]
1	-0,17	42,61	4,66

Dimenzace čís. 1

Posouzení dříku - přední výztuž

Spočtené síly působící na konstrukci

Název	F_{hor} [kN/m]	Působíště z [m]	F_{vert} [kN/m]	Působíště x [m]	Výpočtový koeficient
Tíh.- zeď	0,00	-1,60	18,39	0,12	1,000
Tlak v klidu	49,27	-1,07	0,00	0,25	1,000
Tlak vody	0,00	-3,20	0,00	0,25	1,000
auta	24,32	-1,60	0,00	0,25	1,000

Posouzení dříku - přední výztuž

Přední výztuž není nutná.

Posouzení dříku - zadní výztuž

Spočtené síly působící na konstrukci

Název	F_{hor} [kN/m]	Působíště z [m]	F_{vert} [kN/m]	Působíště x [m]	Výpočtový koeficient
Tíh.- zeď	0,00	-1,60	18,39	0,12	1,000
Tlak v klidu	49,27	-1,07	0,00	0,25	1,000
Tlak vody	0,00	-3,20	0,00	0,25	1,000
auta	24,32	-1,60	0,00	0,25	1,000

Posouzení dříku - zadní výztuž

Posouzení zdi v pracovní spáře 3,20 m od koruny zdi

Vyztužení a rozměry průřezu

7 ks profil 16,0 mm, krytí 40,0 mm

Šířka průřezu = 1,00 m

Výška průřezu = 0,25 m

Stupeň vyztužení

$$\mu_{st} = 0,56 \% > 0,10 \% = \mu_{st,min}$$

Poloha neutrální osy

$$x_u = 0,03 \text{ m} < 0,09 \text{ m} = x_{u,lim}$$

Posouvající síla na mezi únosnosti

$$Q_u = 133,61 \text{ kN} > 73,59 \text{ kN} = Q_d$$

Moment na mezi únosnosti

$$M_u = 109,88 \text{ kNm} > 91,44 \text{ kNm} = M_d$$

Průřez VYHOVUJE.

Posouzení výstupku

Spočtené síly působící na konstrukci

Název	F_{hor} [kN/m]	Působíště z [m]	F_{vert} [kN/m]	Působíště x [m]	Výpočtový koeficient
Tíh.- zeď	0,00	-1,14	31,34	1,71	1,000
Aktivní tlak	23,93	-0,98	7,86	2,25	1,000
Tlak vody	0,00	-3,45	0,00	2,25	1,000
auta	14,26	-1,65	4,90	2,25	1,000
Síla č. 1	-25,00	-0,15	0,00	0,25	1,000

Posouzení výstupku

Napětí v základové spáře pro dimenzaci výstupku je uvažováno jako lichoběžníkové.

Vyztužení a rozměry průřezu

7 ks profil 12,0 mm, krytí 25,0 mm

Šířka průřezu = 1,00 m

Výška průřezu = 0,25 m

Stupeň vyztužení	$\mu_{st} = 0,32 \%$	$> 0,10 \%$	$= \mu_{st,min}$
Poloha neutrálné osy	$x_u = 0,02 \text{ m}$	$< 0,09 \text{ m}$	$= x_{u,lim}$
Posouvající síla na mezi únosnosti	$Q_u = 133,61 \text{ kN}$	$> 30,49 \text{ kN}$	$= Q_d$
Moment na mezi únosnosti	$M_u = 69,78 \text{ kNm}$	$> 37,94 \text{ kNm}$	$= M_d$

Průřez VYHOVUJE.

5 závěr

Návrh nosných konstrukcí a statické posouzení stávajících konstrukcí bylo provedeno v souladu s předpisy a doporučeními platných norem ČSN EN.

Navržené nové konstrukce vyhovují požadavkům mechanické odolnosti a stability (I. MS) a to s požadovanou mírou bezpečnosti! Rovněž je statickou analýzou prokázána dostatečná tuhost primárních prvků, kdy deformace a průhyby splňují normové limity použitelnosti (II. MS).

Projekt **předepisuje doplnění podrobného inženýrsko-geologického a hydro-geologického průzkumu** (IGp + HGp), který je zcela zásadní pro ověření správnosti výpočtů a návrhu základových konstrukcí, zajištění stavební jámy a interakcí se spodní stavbou. Dále se předepisují **kopané sondy v místech stávajících sousedních domů** (osa 1 a 7), kterými se musí přesně zdokumentovat tvar základových, popřípadě suterénních konstrukcí těchto domů, jejich stavebně technický stav a především hloubka základové spáry. I tyto poznatky musí být zohledněny v dodatkovém posouzení návrhu založení a podzemních konstrukcí řešené novostavby.

Veškeré nejasnosti a případné změny v navrženém statickém a konstrukčním řešení, jakož to i změny zatížení, vyžadují souhlas statika. Následné úpravy zadání a nové požadavky mohou vést k nutnosti dodatečných úprav projektu; respektive úpravu SKř v navazujících stupních PD.

Stavebně konstrukční řešení rekonstrukce vyžaduje zpracování podrobného realizačního projektu – **dokumentace pro provedení stavby (DPS)**. Kromě požadavku vypracování podrobného realizačního projektu – dokumentace pro provedení stavby (DPS) – bude pro realizaci vhodné zajistit dozor statika, který bude průběžně kontrolovat provádění NK.

počet stran SV: -131-

vypracoval: Ing. Jan Lukáš

SV autorizoval: **Ing. Jan Lukáš**
(autorizovaný inženýr pro obor statika a dynamika staveb, 1103418)

V Ostravě, dne 07. 12. 2021